



Universitat Oberta  
de Catalunya

# Mutaciones recurrentes en la leucemia linfática crónica: análisis genómico y evolutivo y evaluación de fármacos existentes

**María Ruth Freire Álvarez**

Máster en Bioinformática y Bioestadística  
Biología Molecular y Estructural

**Director: Laia Rosich Moya**

**Profesor Responsable de la Asignatura: Antoni Pérez Navarro y David Merino Arranz**

24 de Mayo 2017



Esta obra está sujeta a una licencia de  
Reconocimiento-NoComercial-  
SinObraDerivada [3.0 España de Creative  
Commons](#)

## FICHA DEL TRABAJO FINAL

<b>Título del trabajo:</b>	<i>Mutaciones recurrentes en la leucemia linfática crónica: análisis genómico y evolutivo y evaluación de fármacos existentes</i>
<b>Nombre del autor:</b>	<i>María Ruth Freire Álvarez</i>
<b>Nombre del consultor/a:</b>	<i>Laia Rosich Moya</i>
<b>Nombre del PRA:</b>	<i>Antoni Pérez Navarro y David Merino Arranz</i>
<b>Fecha de entrega (mm/aaaa):</b>	<i>05/2017</i>
<b>Titulación::</b>	<i>Máster en Bioinformática y Bioestadística</i>
<b>Área del Trabajo Final:</b>	<i>Biología Molecular y Estructural</i>
<b>Idioma del trabajo:</b>	<i>Español</i>
<b>Palabras clave</b>	<i>Localización genómica, estructura proteica, farmacología</i>

**Resumen del Trabajo (máximo 250 palabras):** *Con la finalidad, contexto de aplicación, metodología, resultados y conclusiones del trabajo.*

La leucemia linfática crónica (LLC) es el tipo de leucemia más frecuente en adultos en países del Oeste. Diferentes estudios de secuenciación masiva han puesto de manifiesto la existencia de mutaciones recurrentes en varios genes. En el presente trabajo se han empleado diferentes herramientas web para el análisis genómico y proteómico de los genes que codifican para las proteínas NOTCH1, SF3B1 y MYD88, en los que se han encontrado mutaciones recurrentes asociadas a la LLC. El empleo de diferentes servidores y herramientas web ha permitido acceder a información como la localización genómica de los genes y sus mutaciones, la homología de la secuencia de estos genes con los de otras especies, la estructura terciaria de las proteínas para las que codifican estos genes, y la existencia de fármacos asociados a estas proteínas que potencialmente puedan ser empleados en la terapia de la LLC. Estos análisis permiten la interpretación de las mutaciones recurrentes tanto a nivel genómico como proteómico.

**Abstract (in English, 250 words or less):**

Chronic lymphocytic leukemia (CLL) is the most frequent leukemia in adults from Western countries. Different massive sequencing studies have shown the existence of recurrent mutations associated with CLL in several genes. In this work different web tools have been employed for the genomic and proteomic analysis of genes for NOTCH1, SF3B1 and MYD88 proteins. In these genes recurrent mutations associated with CLL have been found. With the use of different servers and web tools, information about genomic location of these genes and their mutations has been reported. The same for homology with other genes in different species and tertiary structure of the proteins coded by these genes. Web tools let us know about different drugs associated with these proteins, with a potential use in CLL therapy. All these analysis allow for the genomic and proteomic interpretation of the recurrent mutations.

## Índice

1. Introducción.....	1
1.1 Contexto y justificación del Trabajo.....	1
1.2 Objetivos del Trabajo.....	5
1.3 Enfoque y método seguido.....	5
1.4 Planificación del Trabajo.....	5
1.5 Breve sumario de productos obtenidos.....	7
1.6 Breve descripción de los otros capítulos de la memoria.....	7
2. Trabajo realizado.....	9
2.1 Metodología a seguir.....	9
2.2 Resultados obtenidos.....	12
2.2.1 Localización genómica de los genes NOTCH1, SF3B1 y MYD88 y de sus mutaciones recurrentes.....	12
2.2.2 Localización de regiones similares en el genoma.....	16
2.2.3 Búsqueda de pseudogenes.....	27
2.2.4 Análisis evolutivo de los genes NOTCH1, SF3B1 y MYD88.....	28
2.2.5 Análisis estructural de las proteínas NOTCH1, SF3B1 y MYD88.....	36
2.2.6 Búsqueda de fármacos.....	51
2.2.7 Identificación de los sitios de unión de los fármacos.....	53
3. Conclusiones.....	57
4. Glosario.....	62
5. Bibliografía.....	63
6. Anexos.....	66

## Lista de tablas y figuras

### Índice de tablas

<b>Tabla I.</b> Posición y longitud de los genes NOTCH1 y SF3B1.....	13
<b>Tabla II.</b> Variantes transcripcionales en MYD88.....	13
<b>Tabla III.</b> Porcentaje de identidad entre las secuencias proteicas (diagonal superior) y CDS (diagonal inferior) en NOTCH1.....	29
<b>Tabla IV.</b> Porcentaje de identidad de la secuencia proteica (diagonal superior) y la CDS (diagonal inferior) en SF3B1.....	31
<b>Tabla V.</b> Porcentaje de identidad de la secuencia proteica (diagonal superior) y CDS (diagonal inferior) de MYD88.....	35
<b>Tabla VI.</b> Fármacos disponibles para NOTCH1, SF3B1 y MYD88.....	52

### Índice de figuras

<b>Figura 1. 1.</b> Temporalización de las tareas e hitos realizados en este trabajo.....	8
<b>Figura 2.1.</b> Pantalla de inicio del BLAST 2 secuencias.....	14
<b>Figura 2.2.</b> Resultados BLAST 2 secuencias con las posiciones de cada una de las secuencias.....	14
<b>Figura 2.3.</b> Añadiendo <i>custom tracks</i> .....	15
<b>Figura 2.4.</b> <i>Custom tracks</i> de NOTCH1.....	15
<b>Figura 2.5.</b> <i>Custom tracks</i> de SF3B1.....	16
<b>Figura 2.6.</b> <i>Custom tracks</i> de MYD88.....	16
<b>Figura 2.7.</b> Resultado BLAT de NOTCH1.....	17
<b>Figura 2.8.</b> <i>Genome Browser</i> mostrando la segunda entrada de BLAT.....	17
<b>Figura 2.9.</b> <i>Genome Browser</i> mostrando la tercera entrada de BLAT.....	18
<b>Figura 2.10.</b> <i>Genome Browser</i> mostrando la quinta entrada de BLAT.....	18
<b>Figura 2.11.</b> Resultado BLAST para NOTCH1.....	19
<b>Figura 2.12.</b> Alineamiento con microARN.....	19
<b>Figura 2.13.</b> Información acerca del microARN 4673.....	20
<b>Figura 2.14.</b> <i>Genome Browser</i> mostrando la localización del microARN 4673.....	20
<b>Figura 2.15.</b> Localización del microARN 4673 dentro del gen NOTCH1.....	21

<b>Figura 2.16.</b> Resultado BLAT para SF3B1.....	21
<b>Figura 2.17.</b> Genome Browser mostrando la segunda entrada del BLAT.....	22
<b>Figura 2.18.</b> Pantalla de inicio de CDD.....	22
<b>Figura 2.19.</b> Resultado BLAST para SF3B1.....	23
<b>Figura 2.20.</b> Resultado de CDD para la región de homología.....	23
<b>Figura 2.21.</b> Resultado BLAT para MYD88 isoforma 1.....	24
<b>Figura 2.22.</b> Genome Browser de las entradas 6, 8 y 11 de BLAT.....	25
<b>Figura 2.23.</b> Pantalla de inicio de BioMart con los pseudogenes seleccionados.....	27
<b>Figura 2.24.</b> Pantalla inicial de Pseudogene.org.....	28
<b>Figura 2.25.</b> Fragmento del alineamiento proteico de NOTCH1 donde se muestran los residuos afectados por las mutaciones de LLC (negrita). La localización de este fragmento se puede ver en el anexo 2a.....	30
<b>Figura 2.26.</b> Fragmento del alineamiento proteico de SF3B1 donde se muestran los residuos afectados por las mutaciones de LLC (negrita). La localización de este fragmento se puede ver en el anexo 3a.....	32
<b>Figura 2.27.</b> Fragmento del alineamiento proteico de MYD88 donde se muestran los residuos afectados por las mutaciones de LLC (negrita). La localización de este fragmento se puede ver en el anexo 4a.....	33
<b>Figura 2.28.</b> Esquema mostrando la disposición de los 18 modelos (azul) a lo largo de la secuencia de NOTCH1 (verde).....	36
<b>Figura 2.29.</b> Modelo 3ETO localizado en PDB.....	37
<b>Figura 2.30.</b> Dominios localizados en Pfam para 3ETO.....	37
<b>Figura 2.31.</b> Modelo 1 generado por Swiss Model (izquierda) y modelo de la estructura PDB 3ETO (derecha).....	38
<b>Figura 2.32.</b> Modelo 5UK5 localizado en PDB.....	38
<b>Figura 2.33.</b> Modelo generado por Swiss Model (izquierda) y modelo de la estructura 5UK5 (derecha).....	39
<b>Figura 2.34.</b> Modelo 2F8Y localizado en PDB.....	40
<b>Figura 2.35.</b> Dominios localizados en Pfam para 2F8Y.....	40
<b>Figura 2.36.</b> Modelo generado por Swiss Model (izquierda) y modelo de la estructura 2F8Y (derecha).....	41
<b>Figura 2.37.</b> Modelo 2HEO localizado en PDB.....	41
<b>Figura 2.38.</b> Dominios localizados en Pfam para 2HEO.....	41

<b>Figura 2.39.</b> Modelo generado por Swiss Model (izquierda) y modelo de la estructura 2HE0 (derecha).....	42
<b>Figura 2.40.</b> Modelo 4XBM localizado en PDB.....	43
<b>Figura 2.41.</b> Dominios localizados en Pfam para 4XBM.....	43
<b>Figura 2.42.</b> Modelo generado por Swiss Model (izquierda) y modelo de la estructura 4XBM (derecha).....	44
<b>Figura 2.43.</b> Localización de los dominios proteicos a lo largo de la secuencia de NOTCH1. Verde: EGF-like domain; Rojo: Calcium-binding EGF domain; Azul: Human growth factor like-EGF; Amarillo: LNR domain; Morado: NOD NOTCH protein; Naranja: NODP NOTCH protein; Ank_2: ANK repeats; Granate: Dominio de función desconocida.....	44
<b>Figura 2.44.</b> Esquema mostrando la disposición de los 18 modelos (azul) a lo largo de la secuencia de SF3B1 (verde).....	45
<b>Figura 2.45.</b> Modelo 5IFE localizado en PDB.....	45
<b>Figura 2.46.</b> Dominios localizados en Pfam para 5IFE.....	46
<b>Figura 2.47.</b> Modelo generado por Swiss Model (izquierda) y modelo de la estructura 5IFE(derecha).....	47
<b>Figura 2.48.</b> Dominio localizado por Pfam en la secuencia de SF3B1.....	47
<b>Figura 2.49.</b> Localización de los modelos (azul) en la secuencia de las cinco isoformas de MYD88 (verde).....	48
<b>Figura 2.50.</b> Modelo 2JS7 localizado en PDB.....	48
<b>Figura 2.51.</b> Modelo obtenido por Swiss Model para las isoformas 1, 2 y 3 de MYD88 (izquierda) y modelo estructural correspondiente a 2JS7 (derecha).....	49
<b>Figura 2.52.</b> Modelo 3MOP localizado en PDB.....	50
<b>Figura 2.53.</b> Modelo obtenido por Swiss Model para las isoformas 1, 2,3, 4 y 5 de MYD88 (izquierda) y modelo estructural correspondiente a 3MOP (derecha).....	51
<b>Figura 2.54.</b> Estructuras PDB con las que SwissDock identifica a NOTCH1.....	54

# 1. Introducción

## 1.1 Contexto y justificación del Trabajo

La leucemia linfática crónica (LLC) es el tipo de leucemia más frecuente en adultos de los países del Oeste. En la LLC se produce la acumulación de linfocitos B maduros en la sangre, médula ósea y otros tejidos linfocitarios (1). Aunque a menudo es asintomática, existen diferentes síntomas asociados a esta enfermedad, como fatiga, fiebre, linfoadenopatías, hepatomegalia, esplenomegalia, fallos en la médula ósea, infecciones recurrentes o pérdida de peso (1). La variabilidad clínica de la LLC es debida en parte a la existencia de dos subtipos principales de la enfermedad, definidos por el estatus mutacional de la región variable de los genes de la inmunoglobulina (1). Estos dos subtipos se denominan IGHV-M (Immunoglobulin Heavy chain Variable region Mutated) e IGHV-UM (Immunoglobulin Heavy chain Variable region Unmutated). El subtipo IGHV-M está asociado tradicionalmente a un buen pronóstico, mientras que el subtipo IGHV-UM lo está a un mal pronóstico, probablemente debido a las diferencias en las lesiones genéticas subyacentes, al grado de evolución clonal, cambios epigenéticos, activación de rutas e interacción con el microambiente dentro de los nódulos linfáticos o la médula ósea (1).

Aunque la inmensa mayoría de los casos de LLC aparecen de forma espontánea, existen claras evidencias de una cierta predisposición familiar a esta enfermedad. Así, los familiares de primer grado de enfermos de LLC presentan un mayor riesgo de desarrollar la enfermedad, así como diferentes tipos de mielomas múltiples de las células B (2). Sin embargo, hasta la fecha, los diferentes estudios realizados no han logrado clarificar la base genética de esta predisposición familiar (1).

El avance en las técnicas de secuenciación de nueva generación (NGS) ha permitido la realización de estudios de macrosecuenciación para conocer el entorno genómico de las células cancerosas. En el caso de la LLC, si bien se

ha descrito una importante heterogeneidad genética (3), se ha puesto de manifiesto la existencia de mutaciones recurrentes asociadas a la LLC en algunos genes. Tres de estos genes son NOTCH1, SF3B1 y MYD88.

El gen NOTCH1 codifica para un miembro de la familia proteica NOTCH. Se trata de una familia de proteínas transmembrana, que comparten características estructurales, incluyendo un dominio extracelular consistente en repeticiones múltiples de un factor tipo de crecimiento epidermal (EGF), y un dominio intracelular consistente en varios tipos de dominios diferentes. La unión de alguno de los 5 ligandos presentes en mamíferos (jagged1, jagged2, ligando Delta-like1 (DLL1), DLL3 y DLL4) al dominio extracelular de NOTCH1 lleva a la liberación del dominio intracelular de la proteína, que migra al núcleo. Una vez en este, NOTCH1 se une a la región RBPJ (*recombination signal binding protein for the immunoglobulin kJ*) y recluta una serie de activadores para inducir la activación transcripcional de una serie de genes (1). Este receptor juega un papel importante en el desarrollo de numerosos tipos celulares y tejidos. Las mutaciones en este gen están asociadas a diferentes enfermedades: enfermedades de la válvula aórtica, síndrome de Adams-Oliver, leucemia linfoblástica aguda de las células T, leucemia linfática crónica, y carcinoma de las células escamosas de cabeza y cuello.

La mutación recurrente relacionada con la LLC que se ha identificado más frecuentemente en este gen es la P2515Rfs\*4 (4, 5, 6, 7). Se trata de una delección de un dinucleótido (CT) en las posiciones 7541-7542 del ADNc. Este cambio provoca la terminación prematura de la traducción. Otra mutación que también corresponde a una delección es la F2482Ffs\*2. En este caso se pierde una C en la posición 7446 del ADNc. También esta mutación de pauta de lectura provoca la terminación prematura de la traducción.

El gen SF3B1 codifica para la subunidad 1 del complejo proteico que corresponde al factor de splicing 3b. Este factor, junto con el factor de splicing 3a y el ARN 12S, forman la ribonucleoproteína U2 (U2 snRNP). El factor de splicing 3a/3b se une de manera secuencia-independiente al pre-ARNm

upstream a la localización del intrón y permite el correcto anclaje del U2 snRNP (1).

La mutación K700E es la mutación recurrente para este gen relacionada con la LLC descrita con mayor frecuencia (6, 7). Se trata de un cambio transicional de A en G en la posición 2146 del ADNc, lo que provoca un cambio aminoacídico (mutación *missense*), una lisina (K) por glutámico (E). Otra mutación que se presenta en una frecuencia superior a otras es la G742D. También corresponde a una transición, en este caso G muta a A en la posición 2273 del ADNc, lo que da lugar a un cambio aminoacídico de glicina (G) a aspártico (D).

El gen MYD88 codifica un adaptador proteico que juega un papel central en la respuesta inmunitaria. Esta proteína es vital para el correcto funcionamiento de la respuesta de la interleukina-1 y la interleukina-18, y prácticamente de todos los receptores Toll-like (salvo TLR3). Estas rutas regulan a su vez la activación de genes proinflamatorios (8).

La mutación recurrente más frecuente relacionada con la LLC es la L265P (5, 6). Se trata de una sustitución nucleotídica, una transición en la posición 794 del ADNc, donde una T cambia a C. Esta sustitución provoca un cambio aminoacídico, de una leucina (L) a una prolina (P). Otra mutación asociada a la LLC es la M232T (6). Se produce también una transición T>C, en este caso en la posición 695 del ADNc. El cambio aminoacídico consiste en la sustitución de una metionina (M) por una treonina (T). Dada la posición de las mutaciones indicadas, cabe pensar que pueden afectar a todas las variantes transcripcionales.

La presencia de estas mutaciones se ha visto en varios estudios realizados, pero la frecuencia de las mismas y su asociación con los diferentes estados de la enfermedad cambia (9). Así, las mutaciones de SF3B1 parecen estar asociadas a una progresión temprana de la enfermedad, con unas frecuencias que aumentan de 4-9% en el momento del diagnóstico, hasta un 17-18% en el momento del comienzo de la primera terapia. La frecuencia de las mutaciones de MYD88 no parece variar a lo largo de los diferentes estados de la

enfermedad, mientras que las mutaciones de NOTCH1 se incrementan fundamentalmente entre el tiempo de la primera terapia (10%) y la recaída (hasta un 25%) (9). Además, las mutaciones NOTCH1 y SF3B1 son más abundantes en el subtipo IGHV-UM, mientras que las mutaciones MYD88 aparecen casi de manera exclusiva en el subtipo IGHV-M (1).

En este trabajo se propone el análisis genómico de estos tres genes, localizándolos en el genoma y buscando secuencias similares en el genoma, para conocer si existe la posibilidad de genes parálogos en el genoma humano. También se propone realizar análisis de los genes ortólogos presentes en otros organismos como primates, ratón, etc., para conocer la similitud de las secuencias tanto de ADN como proteicas.

Es importante conocer la estructura terciaria de las proteínas codificadas por estos genes, para conocer así la importancia estructural de las mutaciones. Por ello también se propone un análisis de la estructura terciaria de estas proteínas.

La industria farmacéutica ha desarrollado algunos fármacos relacionados con estas proteínas. En este trabajo se propone realizar una búsqueda de los fármacos diseñados y tratar de predecir el acoplamiento con el receptor.

## **1.2 Objetivos del Trabajo**

### **1.2.1. Objetivos generales**

- Análisis genómico de los genes NOTCH1, SF3B1 y MYD88, y de sus mutaciones recurrentes en la LLC.
- Estudio de estos genes en otros organismos.
- Análisis de los fármacos diseñados para estos genes.

### **1.2.2. Objetivos específicos**

1. Localizar en el genoma las mutaciones recurrentes de estos genes.
2. Estudiar la posibilidad de duplicaciones de estos genes en el genoma.
3. Analizar la existencia de familias de genes.
4. Identificar genes ortólogos de estos genes en otros organismos
5. Estudiar la homología de estos genes, tanto a nivel de ADN como de proteína.
6. Analizar la estructura terciaria de estas proteínas
7. Realizar un listado de los principales fármacos diseñados para estos tres genes.
8. Identificar los sitios de unión de estos fármacos y relacionarlos con las mutaciones recurrentes de LLC.

### **1.3 Enfoque y método seguido**

El trabajo propuesto debe seguir un enfoque de análisis bioinformático de los datos ya existentes en las bases de datos. Otras posibilidades pasarían por la realización de estudios de laboratorio para conocer la localización *in situ* de las secuencias genómicas, pero este caso esta aproximación no es posible. En las bases de datos tanto genómicas como proteínicas existen datos suficientes para realizar este trabajo.

### **1.4 Planificación del Trabajo**

A continuación pasamos a detallar las tareas a realizar y los principales hitos.

#### **1.4.1. Tareas a realizar**

Tarea 1: Búsqueda bibliográfica.

Tarea 2: Localización de los genes NOTCH1, SF3B1 y MYD88 y de sus mutaciones en el genoma.

Tarea 3: Búsqueda de posibles duplicaciones en el genoma humano.

Tarea 4: Búsqueda de pseudogenes en el genoma humano.

Tarea 5: Localización de las secuencias ortólogas de estos genes en otros organismos.

Tarea 6: Búsqueda en bases de datos de las estructuras terciarias de estas proteínas.

Tarea 7: Búsqueda de fármacos diseñados para estos genes.

Tarea 8: Localización de la diana de reconocimiento de los fármacos diseñados.

#### **1.4.2. Hitos**

En este caso, los hitos vienen marcados por las entregas de las PEC:

1. Hito 1: presentación del plan de trabajo fin de máster.
2. Hito 2: presentación de la PEC2.
3. Hito 3: presentación de la PEC3.
4. Hito 4: presentación de la memoria final.
5. Hito 5: defensa pública del trabajo.

#### **1.4.3. Temporalización**

En la figura 1.1 se expone el diagrama de Gantt con la temporalización de las tareas y los hitos.

## **1.5 Breve sumario de productos obtenidos**

En esta memoria se presenta un estudio genómico y proteico de los genes NOTCH1, SF3B1 y MYD88 y de sus productos proteicos. Se trata de un trabajo de integración de diferentes estrategias de análisis -ómico.

## **1.6 Breve descripción de los otros capítulos de la memoria**

A continuación se expondrá el trabajo realizado. En primer lugar se explicará la metodología empleada para cada una de las tareas. Posteriormente se presentarán los resultados obtenidos y se realizará una pequeña discusión para poner en contexto los resultados del proyecto. En las conclusiones se realizará una reflexión crítica del proyecto y se indicarán líneas futuras que han quedado pendientes. Por último, se indicará la bibliografía empleada y se incluirán los anexos a la memoria.

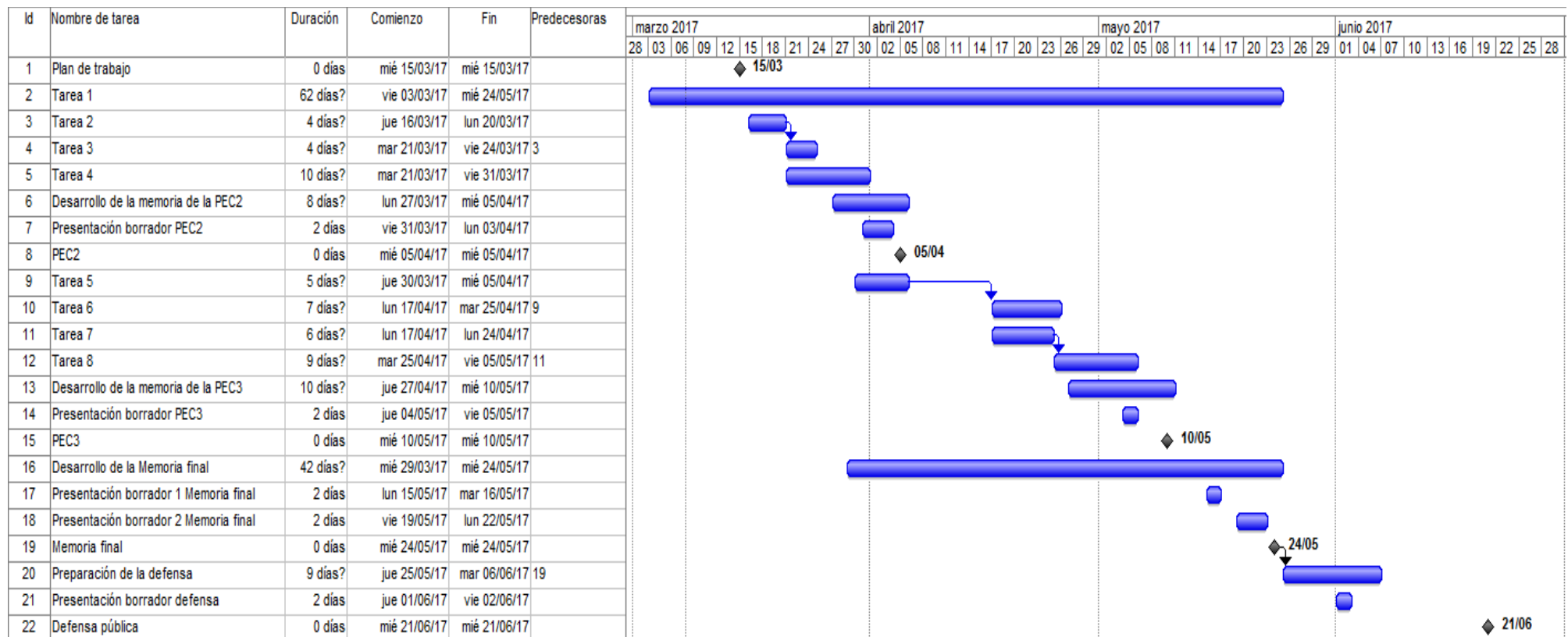


Figura 1.1. Temporalización de las tareas e hitos realizados en este trabajo

## 2. Trabajo realizado

### 2.1. Metodología a seguir

A continuación se define la metodología empleada para la realización de cada una de las tareas establecidas anteriormente:

-**Tarea 1:** La búsqueda bibliográfica se ha realizado empleando como herramienta principal la base de datos PubMed (<https://www.ncbi.nlm.nih.gov/pubmed/>). También a partir de la lectura de los artículos se obtuvieron referencias nuevas que se buscaron en la red. Por último, se ha empleado la ayuda de las herramientas web, que en muchas ocasiones ofrecen información bibliográfica.

-**Tarea 2:** Para la localización en el genoma de los genes NOTCH1, SF3B1 y MYD88 la herramienta principal empleada ha sido el *Genome Browser* (<https://genome.ucsc.edu/>). A partir de él se ha obtenido la localización cromosómica de los genes, su posición en el cromosoma, su tamaño y el número de exones. La herramienta *Genome Browser* también nos permite acceder a la información acerca de la descripción y función del gen.

Para identificar la posición de las mutaciones en el genoma, se realizó una *custom track* para cada una de ellas. Las *custom tracks* son pistas que el usuario puede incorporar en el *Genome Browser* para poder identificar características especiales de una determinada región. En este caso, la incorporación de la localización exacta de la mutación ha sido difícil de realizar. Las posiciones genómicas indicadas por los diferentes autores para las mutaciones no se corresponden con las posiciones genómicas detectadas en este trabajo. Esto es debido a que la versión genómica que se está empleando aquí (Human GRCh38/hg38) no es la misma que estos autores emplearon. Lamentablemente, en la mayoría de los casos no se hace referencia a la versión de ensamblado empleada, lo que no permite ir a la versión concreta para cada caso. Los autores también ofrecen la posición de la mutación en la secuencia del ADNc. A partir de esta posición se puede obtener una localización bastante aproximada de la mutación en la región genómica. Para

tratar de realizar una aproximación a la localización de las mutaciones se han seguido los pasos siguientes:

1. Obtención de la secuencia codificante (*coding sequence*, CDS) de cada gen. Para ello en *Genome Browser* se indica que se quiere ver la CDS (opción implementada en el menú de visionado). Posteriormente se pincha sobre ella y se obtiene la secuencia CDS. Esta secuencia CDS se corresponde con la secuencia de ADNc.
2. Obtención de la secuencia genómica codificante. Esta secuencia contiene los intrones y exones. En este caso, al pinchar sobre la CDS se especifica que se quiere obtener la secuencia genómica.
3. Alineamiento de la secuencia CDS y la genómica. Se emplea la herramienta BLAST 2 secuencias (<https://blast.ncbi.nlm.nih.gov/>). Este alineamiento permite localizar la posición de la mutación en el ADNc (representado por la CDS) en la secuencia genómica.
4. A partir de la localización en la secuencia genómica de la región más probable donde se localiza la mutación, se procede a la localización en el cromosoma, a partir de la localización global de la secuencia genómica. En este caso es necesario tener en cuenta el sentido de lectura de la hebra.

**-Tarea 3:** La localización de regiones similares en el genoma se realizó empleando las herramientas BLAT (<https://genome.ucsc.edu/>) y BLAST (<https://blast.ncbi.nlm.nih.gov/>). En este caso, la herramienta BLAT se ha empleado con la secuencia CDS y la herramienta BLAST se ha utilizado con la secuencia genómica. Esto ha permitido localizar regiones similares en el genoma tanto en los exones como en los intrones.

**-Tarea 4:** La investigación sobre la existencia de pseudogenes de NOTCH1, SF3B1 y MYD88 se ha realizado empleando dos herramientas bioinformáticas, BIOMART (<http://www.ensembl.org/biomart/>), que proporciona un listado de los pseudogenes identificados hasta la fecha, y la web <http://www.pseudogene.org/>

(10), que proporciona listados de pseudogenes de diferentes genomas obtenidos a partir de diferentes herramientas bioinformáticas. En ambos casos, se ha realizado una búsqueda sobre los listados de los genes de este trabajo.

-**Tarea 5:** Para la obtención de las secuencias ortólogas, la herramienta principal empleada ha sido el *Genome Browser*. A partir de él se ha obtenido la secuencia proteica y de la CDS de las proteínas en otros organismos. Para ello se ha habilitado en el *Genome Browser* la opción de visualizar otros RefSeq. Así se ha tenido acceso a aquellas secuencias que han sido validadas.

Para el análisis de la identidad de las secuencias se realizaron alineamientos empleando la herramienta Clustal Omega (<http://www.ebi.ac.uk/Tools/msa/clustalo/>). En esta herramienta se pueden realizar alineamientos de secuencias de ADN, ARN o proteína. Se escogió ADN o proteína según se trataba de la CDS o de la secuencia proteica. Como parámetros del alineamiento se emplearon los que trae la herramienta por defecto. Se calculó también el porcentaje de identidad de las secuencias alineadas.

-**Tarea 6:** Para analizar desde el punto de vista estructural estas tres proteínas, se emplearon las siguientes bases de datos:

-Swiss Model: Se trata de un servicio web dedicado a la modelización de estructuras proteicas por homología. La construcción de los modelos se realiza en base a cuatro principales pasos: identificación de un modelo estructural, alineamiento de la secuencia con su modelo estructural, construcción del modelo y evaluación de la calidad del modelo. Estos pasos se repetirán las veces que sea necesario hasta conseguir unos resultados satisfactorios. Existen en la aplicación tres tipos de solicitudes de modelado que difieren en la cantidad de información facilitada por el usuario. En este caso, se ha empleado la opción *automated mode*, método que solamente requiere de la introducción de una secuencia aminoacídica. La dirección web es <https://swissmodel.expasy.org/>.

-PDB (*Protein Data Bank*): Base de datos donde se encuentran las estructuras terciarias de las proteínas obtenidas mediante diferentes métodos (difracción rayos X, resonancia magnética nuclear fundamentalmente). La dirección web es <http://www.rcsb.org/pdb/home/home.do>.

-Pfam (*Protein family*): Base de datos de dominios proteicos. La dirección web es <http://pfam.xfam.org/>.

-**Tarea 7:** Para la obtención de fármacos diseñados para estas tres proteínas se ha recurrido a la búsqueda en la base de datos Genecards (<http://www.genecards.org/>). Se trata de una base de datos que proporciona información acerca de todos los genes humanos, ya estén anotados o simplemente predichos. Integra datos génicos de aproximadamente 125 recursos web, incluyendo información genómica, transcriptómica, proteómica, genética, clínica y funcional.

En el caso de SF3B1, Genecards no mostró ningún resultado. Por ello, se realizó una búsqueda en PubMed para localizar algún fármaco existente.

-**Tarea 8:** La herramienta Swissdock (<http://www.swissdock.ch/>) se empleó para tratar de localizar la interacción entre los fármacos y sus moléculas receptoras. Sin embargo, este programa emplea una base de datos de ligandos en los que se deben localizar primero los fármacos anteriormente identificados. En este caso la identificación solamente fue posible para dos de ellos.

## 2.2. Resultados obtenidos

### 2.2.1. Localización genómica de los genes NOTCH1, SF3B1 y MYD88 y de sus mutaciones recurrentes

La búsqueda de estos tres genes en el *Genome Browser* nos ha permitido obtener su localización cromosómica, su tamaño y su estructura.

El gen NOTCH1 está situado en el brazo largo del cromosoma 9 (región cromosómica q34.3). La región transcrita completa, incluyendo los UTRs, comprende desde la posición 136.494.444 hasta la 136.545.862, con un tamaño total de 51419 pb. La región codificante comprende desde la posición 136.496.071 hasta 136.545.786, con un tamaño de 49716 pb. Posee un total de 34 exones y el sentido de lectura es en la cadena (-).

El gen SF3B1 se localiza en el brazo largo del cromosoma 2 (región cromosómica q33.1). La región transcrita, incluyendo los UTRs, comprende desde la posición 197.389.784 hasta 197.435.091, lo que supone un tamaño de 45308 pb. La región codificante comprende desde la posición 197.392.303 hasta 197.434.999, con un tamaño de 42697 pb. Tiene un total de 25 exones, y su sentido de lectura es en la cadena (-).

La tabla I resume los datos de posición y longitud de los genes NOTCH1 y SF3B1.

**Tabla I.** Posición y longitud de los genes NOTCH1 y SF3B1

Gen	Región Transcrita (+UTRs)			Región codificante			Exones
	Inicio	Final	pb	Inicio	Final	pb	
NOTCH1	136.494.444	136.545.862	51419	136.496.071	136.545.786	49716	34
SF3B1	197.389.784	197.435.091	45308	197.392.303	197.434.999	42697	25

El gen MYD88 está situado en el brazo corto del cromosoma 3 (región cromosómica p22.2). Existen 5 variantes transcripcionales descritas para este gen, con tamaños diferentes tanto para la región transcrita como para la codificante. También varían en el número de exones. La tabla II presenta la posición, tamaño y número de exones de cada una de estas variantes. El sentido de lectura de este gen es en la cadena (+).

**Tabla II.** Variantes transcripcionales en MYD88

Variante	Región Transcrita (+ UTRs)			Región Codificante			Exones
	Inicio	Final	pb	Inicio	Final	pb	
1	38.138.478	38.143.019	4542	38.138.662	38.141.286	2625	5
2	38.138.478	38.143.022	4545	38.138.662	38.141.286	2625	5
3	38.138.552	38.141.660	3109	38.138.662	38.141.286	2625	4
4	38.138.657	38.141.643	2987	38.138.662	38.141.152	2491	3
5	38.138.661	38.141.450	2790	38.138.662	38.141.152	2491	4

La localización de las mutaciones recurrentes se llevó a cabo empleando la herramienta BLAST 2 secuencias con las secuencias de la CDS, que corresponden al ADNc y es donde se encuentra localizada la posición de las mutaciones y con las secuencias codificantes genómicas, que incluyen los intrones.

[Bookmark](#)

**Enter Query Sequence**

Enter accession number(s), gi(s), or FASTA sequence(s) [?](#)

```
>NOTCH1-CDS
ATGCCGCCGCTCCTGGCGCCCCCTGCTCTGCCTGGCGCTGCTGCCCGCCT
CGCCGCCAGGGCCCGCGATGCTCCAGCCTGGGTGAGAACCTGCCCTGAATG
CGGGGAAGTGTGAAGCGGCCAATGGAACCGGAGGGCTTGCGCTGTGGCGGG
GCCCTTCGCTGGGCCCGCATGCCAGGGCCAACCCGTGCTCAGCACCCC
```

**Clear** **Query subrange** [?](#)

From

To

**Or, upload file**  Seleccionar archivo Ningún archivo seleccionado [?](#)

**Job Title** NOTCH1-CDS

Enter a descriptive title for your BLAST search [?](#)

Align two or more sequences [?](#)

**Enter Subject Sequence**

Enter accession number(s), gi(s), or FASTA sequence(s) [?](#)

```
>NOTCH1_genomic
ATGCCGCCGCTCCTGGCGCCCCCTGCTCTGCCTGGCGCTGCTGCCCGCCT
CGCCGCCAGGGCCCGCGATGCTCCAGCCTGGGTGAGAACCTGCCCTGAATG
ctttggaaatttggccggccggccggccggccggccggccggccggccggcc
ggccggccggccggccggccggccggccggccggccggccggccggccggcc
```

**Clear** **Subject subrange** [?](#)

From

To

**Figura 2.1.** Pantalla de inicio del BLAST 2 secuencias

Range 34: 48228 to 49716 Graphics				▼ Next Match	▲ Previous Match	▲ First Match
Score 2750 bits(1489)	Expect 0.0	Identities 1489/1489(100%)	Gaps 0/1489(0%)	Strand Plus/Plus		
Query 6180	GGAGGGAGACACCCCTGTTCTGGCCCCGGGGAGGGCAGCTACGAGACCCCAAGGTGCT				6239	
Sbjct 48228	GGAGGGAGACACCCCTGTTCTGGCCCCGGGGAGGGCAGCTACGAGACCCCAAGGTGCT				48287	
Query 6240	GCTGgGACCACCTTGGCAACCGGAGCATCACGGATCATATGGACGCCCTGGCGCGACAT				6299	
Sbjct 48288	GCTGgGACCACCTTGGCAACCGGAGCATCACGGATCATATGGACGCCCTGGCGCGACAT				48347	
Query 6300	CGCACAGGAGCGCATCGATCACGACATCGTGAGGCTGCTGGACGAGTACAACCTGGTCG				6359	
Sbjct 48348	CGCACAGGAGCGCATCGATCACGACATCGTGAGGCTGCTGGACGAGTACAACCTGGTCG				48407	
Query 6360	CAGCCCCAGCTGACGGAGGCCCTGGGGGGCACGCCACCCCTGTGCCCCCCTCTG				6419	
Sbjct 48408	CAGCCCCAGCTGACGGAGGCCCTGGGGGGCACGCCACCCCTGTGCCCCCCTCTG				48467	
Query 6420	CTCGGCGAACGGCTACCTGGCAACCTCAAAGCCGGCTGAGGGCAAGAAGGTCGCAA				6479	
Sbjct 48468	CTCGGCGAACGGCTACCTGGCAACCTCAAAGCCGGCTGAGGGCAAGAAGGTCGCAA				48527	
Query 6480	GCCCCAGCAGCAAAGGCTTGCCCTGGAAAGGAAGGGCAAAAGGACCTCAAGGCACGGAG				6539	
Sbjct 48528	GCCCCAGCAGCAAAGGCTTGCCCTGGAAAGGAAGGGCAAAAGGACCTCAAGGCACGGAG				48587	
Query 6540	GAAGAAAGTCCCAGGACGGCAAGGGCTGCTCTGGACAGCTCCGGCATGCTCTCGCCCGT				6599	
Sbjct 48588	GAAGAAAGTCCCAGGACGGCAAGGGCTGCTCTGGACAGCTCCGGCATGCTCTCGCCCGT				48647	
Query 6600	GGACTCCCTGGAGTCACCCCATGGCTACCTGGTCAGACGTTGGCCCTGGCGGACTGGTGC				6659	
Sbjct 48648	GGACTCCCTGGAGTCACCCCATGGCTACCTGGTCAGACGTTGGCCCTGGCGGACTGGTGC				48707	
Query 6660	CTCCCCGTTTCCAGCAGTCTCGTCTGGCCCTCAACACCATGGCTGGATGGCCGAC				6719	
Sbjct 48708	CTCCCCGTTTCCAGCAGTCTCGTCTGGCCCTCAACACCATGGCTGGATGGCCGAC				48767	
Query 6720	CCACCTGGGCATCGGGACCTGAACTGGCGGGCAAGGCCGAGATGGGGCGCTGGTGG				6779	
Sbjct 48768	CCACCTGGGCATCGGGACCTGAACTGGCGGGCAAGGCCGAGATGGGGCGCTGGTGG				48827	
Query 6780	CCCCCCCCCCCCCTGGCTGGCTGGCTGGCTGGCTGGCTGGCTGGCTGGCTGGCTGGCT				6839	

**Figura 2.2.** Resultados BLAST 2 secuencias con las posiciones de cada una de las secuencias

Posteriormente la posición detectada en el alineamiento se traduce en posición genómica. Para ello, en el caso de la transcripción en sentido negativo, se resta de la localización cromosómica del final de la secuencia codificante, la

localización obtenida en el alineamiento para la secuencia genómica. En el caso de la transcripción en sentido positivo, se suma a la localización cromosómica del inicio de la secuencia codificante, la localización obtenida en el alineamiento para la secuencia genómica. Las posiciones genómicas obtenidas se implementan en una *custom track* con formato BED (ver anexo 1) y se introducen en el *Genome Browser*.

**Add Custom Tracks**

clade Mammal   genome Human   assembly Dec. 2013 (GRCh38/hg38)

Display your own data as custom annotation tracks in the browser. Data must be formatted in [bigBed](#), [bigChain](#), [bedGraph](#), [broadPeak](#), [CRAM](#), [GFF](#), [GTF](#), [MAF](#), [narrowPeak](#), [Personal Genome SNP](#), [PSL](#), or [WIG](#) formats. To see the [User's Guide](#). Data in the bigBed, bigWig, bigGenePred, BAM and VCF formats can be provided via only a UI.

Paste URLs or data:   Or upload:  Ningún archivo seleccionado

```
track name=L265P description="L265P" visibility=1 color=0,0,255
chr3 38141138 38141152
track name=M232T description="M232T" visibility=1 color=255,0,0
chr3 38140759 38140777
```

Optional track documentation: Or upload:  Ningún archivo seleccionado

Click [here](#) for an HTML document template that may be used for Genome Browser track descriptions.

---

**Manage Custom Tracks**

genome: Human assembly: Dec. 2013 (GRCh38/hg38) [hg38]

Name	Description	Type	Doc	Items	Pos	delete
L265P	L265P	bed		1	<a href="#">chr3:</a>	<input type="checkbox"/>
M232T	M232T	bed		1	<a href="#">chr3:</a>	<input type="checkbox"/>

view in

Figura 2.3. Añadiendo *custom tracks*

A continuación se muestra la localización en el genoma de las mutaciones recurrentes para estos genes:

## NOTCH1

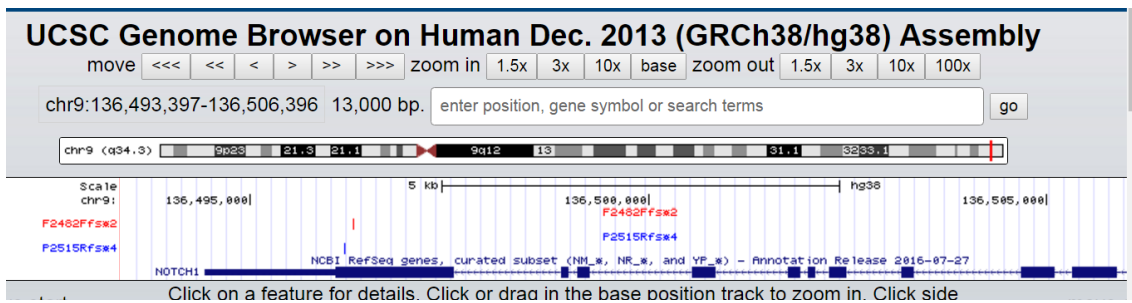


Figura 2.4. *Custom tracks* de NOTCH1

## SF3B1

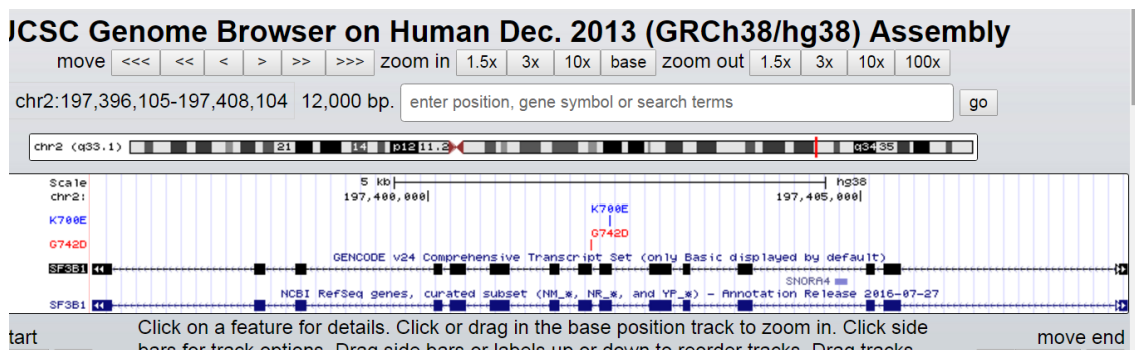


Figura 2.5. Custom tracks de SF3B1

## MYD88

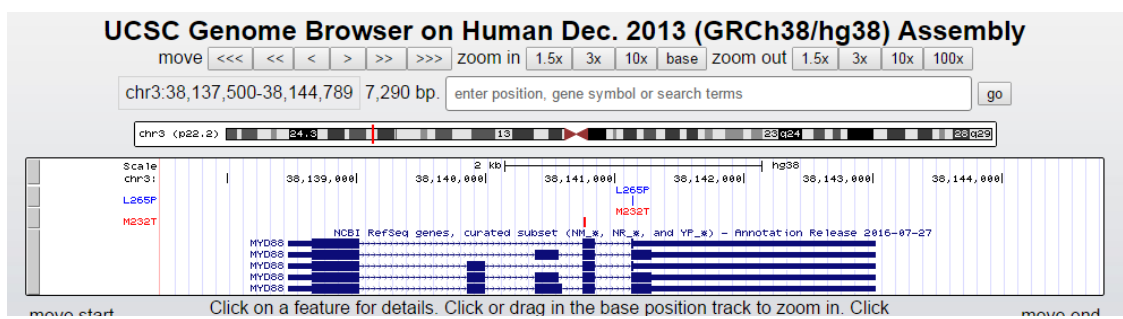


Figura 2.6. Custom tracks de MYD88

### 2.2.2. Localización de regiones similares en el genoma

Para la localización en el genoma de secuencias similares a los tres genes analizados en este trabajo, se emplearon dos herramientas. La herramienta BLAT (*BLAST-Like Alignment Tool*), permite hacer un análisis de similitudes en un genoma determinado a partir de una secuencia. Busca secuencias con una elevada homología, ya que necesita alineamientos exactos o casi exactos para que sean tenidos en cuenta. Esta herramienta se ha empleado con la CDS de los genes. La otra herramienta utilizada ha sido el BLAST (*Basic Local Alignment Search Tool*). Se trata también de una herramienta de búsqueda de homologías, pero la estructura de búsqueda es diferente, y permite más flexibilidad en los alineamientos. Se han realizado BLAST con la región codificante incluyendo exones e intrones (secuencia genómica). Con el empleo de CDS y secuencia genómica se pueden localizar elementos similares tanto en exones como en intrones.

## NOTCH1

### BLAT con CDS

El resultado del BLAT aparece en la siguiente captura de pantalla:

BLAT Search Results											
ACTIONS	QUERY	SCORE	START	END	QSIZE	IDENTITY	CHRO	STRAND	START	END	SPAN
<a href="#">browser details</a>	CCDS43905.1	7635	1	7668	7668	100.0%	9	-	136496071	136545786	49716
<a href="#">browser details</a>	CCDS43905.1	503	960	6260	7668	82.0%	19	-	15161635	15191563	29929
<a href="#">browser details</a>	CCDS43905.1	180	3344	5934	7668	78.5%	1	-	119919312	119937448	18137
<a href="#">browser details</a>	CCDS43905.1	28	324	353	7668	96.7%	9	-	136514636	136514665	30
<a href="#">browser details</a>	CCDS43905.1	21	6821	6851	7668	83.9%	20	+	25280921	25280951	31

[Missing a match?](#)

Figura 2.7. Resultado BLAT de NOTCH1

Como se puede ver, solamente se encuentra homología con 5 secuencias del genoma humano. Las secuencias se ordenan en base al score, valor relacionado con el tamaño de la secuencia identificada. La primera de ellas corresponde al gen NOTCH1. Su score es de 7635 y la identidad es del 100%. La cuarta secuencia de la lista también corresponde al gen NOTCH1. Se trata de un fragmento pequeño con un score de 28 pero con una identidad del 96,7%. Para poder conocer qué secuencias presentan también homología con NOTCH1 se accedió al Browser.

La segunda de las secuencias, con un score de 503 y una identidad del 82%, corresponde con un gen miembro de la familia NOTCH, NOTCH3:

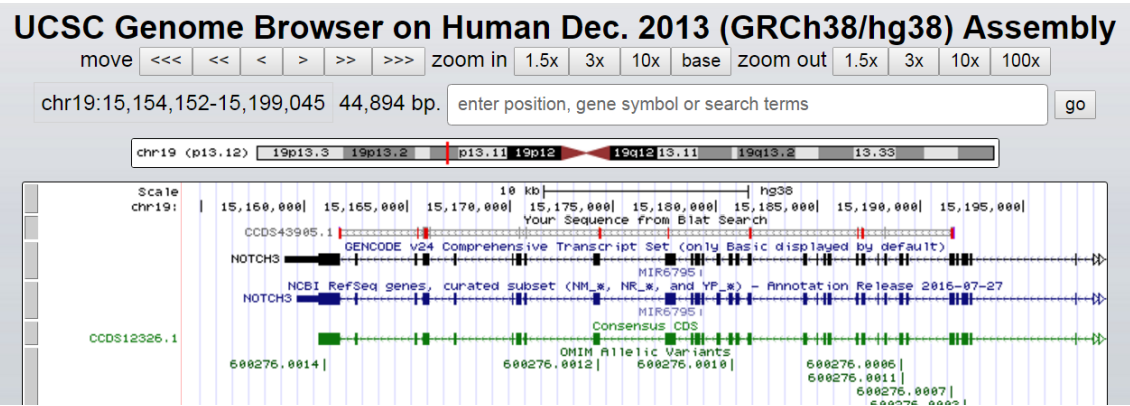


Figura 2.8. Genome Browser mostrando la segunda entrada de BLAT

La tercera secuencia, con un *score* de 180 y una identidad de 78,5%, también es un miembro de la familia NOTCH, en este caso NOTCH2:

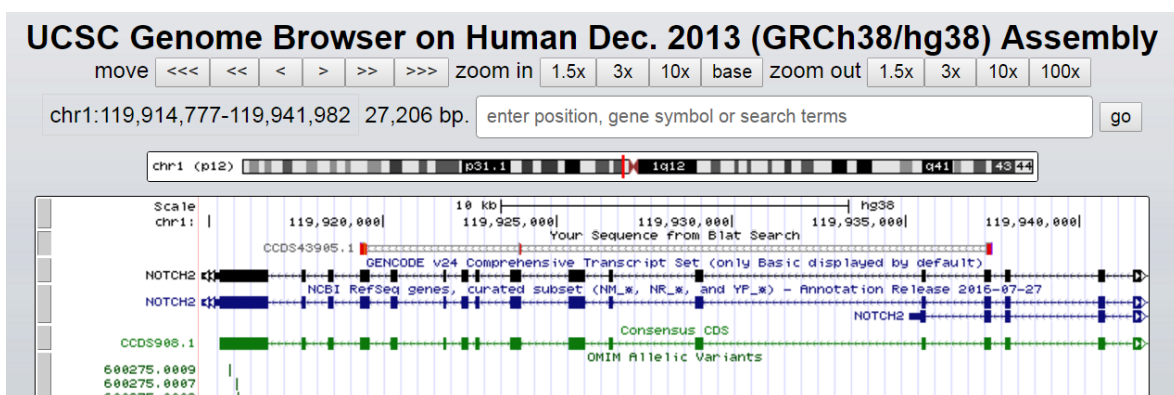
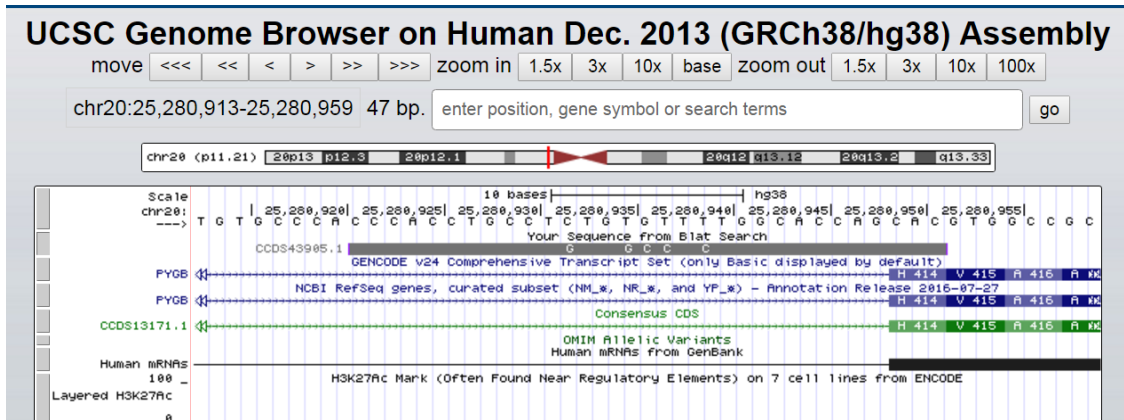


Figura 2.9. Genome Browser mostrando la tercera entrada de BLAT

Los resultados de homología con miembros de la familia NOTCH son fácilmente explicables: La familia NOTCH es una familia de proteínas transmembrana, que comparten características estructurales, incluyendo un dominio extracelular consistente en repeticiones múltiples de un factor tipo de crecimiento epidermal (EGF), y un dominio intracelular consistente en varios tipos de dominios diferentes. La señalización Notch es una ruta de señalización intercelular evolutivamente conservada que regula las interacciones entre células adyacentes a través de la unión de los receptores de la familia con sus ligandos (11).

La quinta secuencia, con un *score* de 21 y una identidad del 83,9%, corresponde a una glicógeno fosforilasa de cerebro (PYGB):

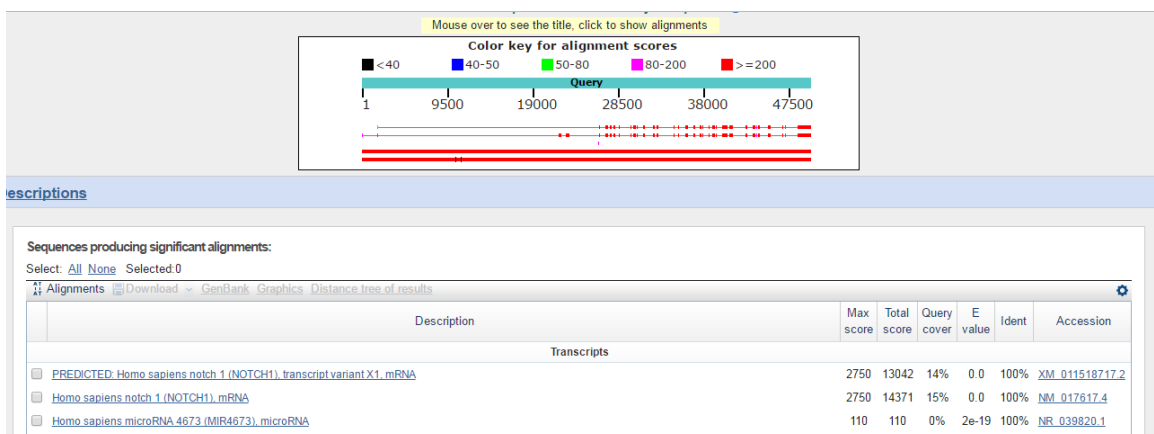


**Figura 2.10.** Genome Browser mostrando la quinta entrada de BLAT

Aunque el fragmento encontrado es pequeño, su identidad es relativamente elevada. Es por ello que se realizó una búsqueda bibliográfica para ver si existía algún tipo de relación entre ambos genes. Los resultados indican que no parece existir una relación entre ambos genes, pero también se ha encontrado asociación de este gen con algunos tipos de cáncer (12). También se ha introducido este fragmento de 22 nucleótidos en la herramienta CDD, que busca dominios conservados en secuencias proteicas o de ADN codificante. No se ha localizado ningún dominio conservado en esta secuencia.

## BLAST con secuencia genómica

El resultado del BLAST aparece en la siguiente captura de pantalla:



**Figura 2.11.** Resultado BLAST para NOTCH1

BLAST solamente ha encontrado homología con la secuencia correspondiente al gen NOTCH1 y con una pequeña secuencia de 59 pb correspondiente a un microARN. Destaca que la identidad con esta secuencia es del 100%.

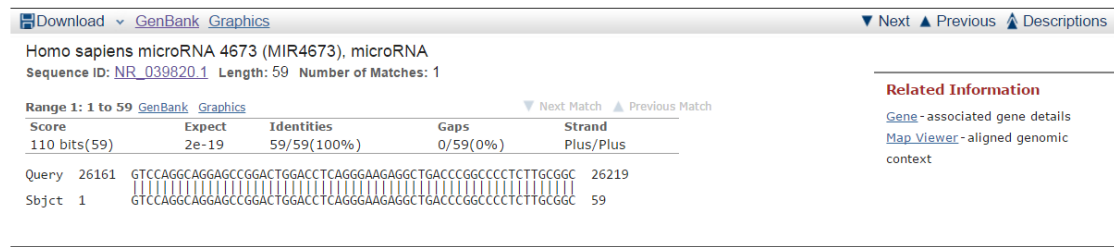


Figura 2.12. Alineamiento con microARN

Este tipo de secuencias están asociadas a la regulación post-transcripcional. A partir de los menús de la derecha de la pantalla se puede acceder a la información de este microARN.

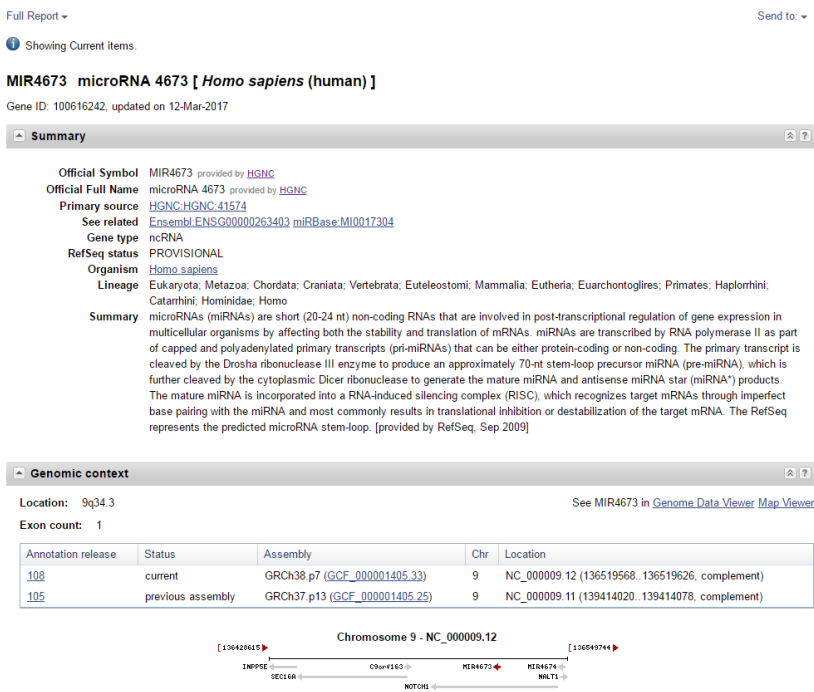


Figura 2.13. Información acerca del microARN 4673

Dentro de esta información, aparece el enlace que permite ir al *Genome Browser* (Botón UCSC a la derecha).

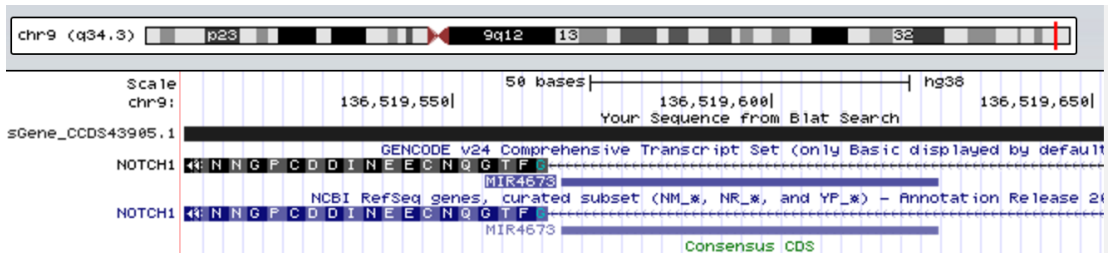


Figura 2.14. Genome Browser mostrando la localización del microARN 4673

Como podemos ver, el microARN MIR4673 se sitúa dentro de la secuencia codificante de NOTCH1, pero en uno de los intrones. Hacemos un zoom *out* para poder identificar cuál de los intrones contiene este microARN.

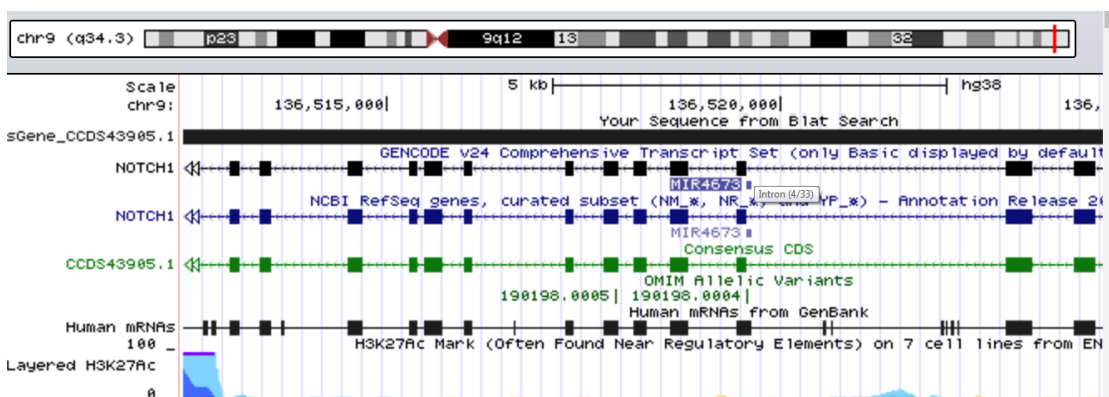


Figura 2.15. Localización del microARN 4673 dentro del gen NOTCH1

El microARN se localiza en el intrón 4.

Se ha realizado una búsqueda bibliográfica con este microARN para tratar de ver si existe alguna relación con la LLC. No se han encontrado datos bibliográficos acerca de este microARN. La explicación podría ser que el estatus de esta molécula en RefSeq es todavía provisional.

## SF3B1

### BLAT con CDS

El resultado del BLAT solamente muestra dos entradas:

## BLAT Search Results

Go back to [chr9:136512429-136526765](#) on the Genome Browser.

ACTIONS	QUERY	SCORE	START	END	QSIZE	IDENTITY	CHRO	STRAND	START	END	SPAN
<a href="#">browser details</a>	SF3B1	3866	27	3915	3915	100.0%	2	-	197392303	197423976	31674
<a href="#">browser details</a>	SF3B1	22	2659	2680	3915	100.0%	5	+	170247541	170247562	22

Figura 2.16. Resultado BLAT para SF3B1

La primera de ellas corresponde al gen SF3B1. La segunda entrada presenta un tamaño pequeño, solamente comprende 22 nucleótidos. Pinchando en *Browser* se accede a la localización cromosómica y a conocer de qué gen se trata.

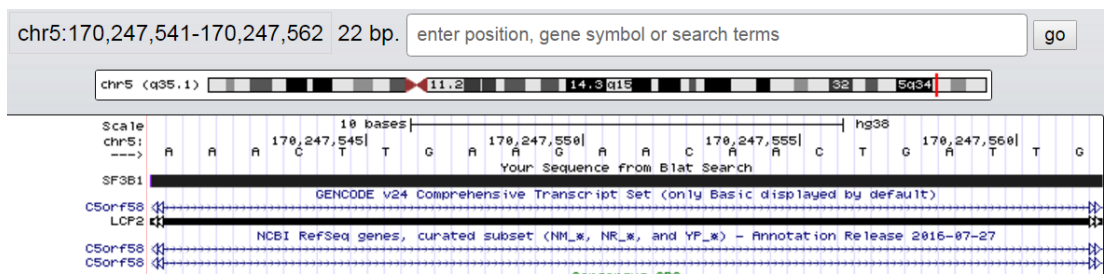
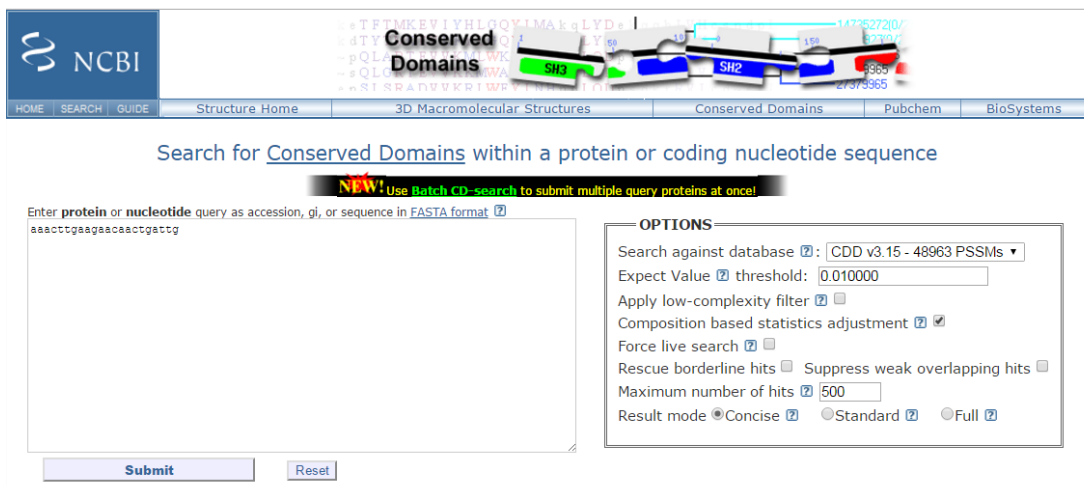


Figura 2.17. Genome Browser mostrando la segunda entrada del BLAT

Se trata de una región del cromosoma 5 que se corresponde con el gen LCP2 (*lymphocyte cytosolic protein 2*). Aunque es un fragmento muy pequeño, y la homología puede deberse al azar, quizás se corresponda con algún motivo proteico que se presenta en otras proteínas. Se introduce este fragmento de 22 nucleótidos en la herramienta CDD, que busca dominios conservados en secuencias proteicas o de ADN codificante:



**Figura 2.18.** Pantalla de inicio de CDD

El programa indica que no hay ningún dominio reconocido en esta región, con lo que lo más probable es que la homología detectada sea fruto del azar. No obstante, se ha buscado alguna relación funcional entre ambos genes. No se ha encontrado nada en la bibliografía acerca de su posible relación. Sí destaca que, al igual que se ha encontrado con el gen PYGB, estudios de microarrays han puesto de manifiesto que LCP2 es un gen marcador junto con otros en el linfoma de células B grandes difusas (13).

## BLAST con secuencia genómica

Los resultados del BLAST muestran una homología con la secuencia SF3B1. También aparece una región de aproximadamente unas 550 pb que presenta homología con regiones presentes en prácticamente todos los cromosomas:

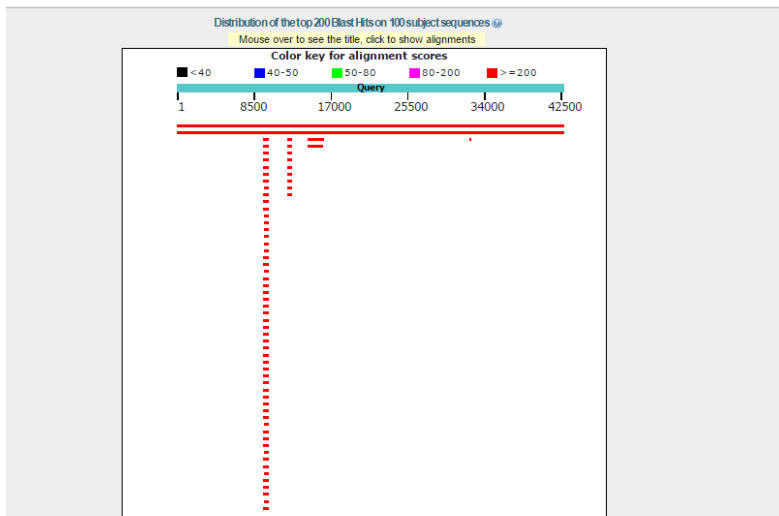


Figura 2.19. Resultado BLAST para SF3B1

Se realizó una búsqueda con la herramienta de búsqueda de dominios conservados de NCBI. El análisis reveló la presencia de un posible dominio en esta región. Podría estar relacionado con alguna secuencia Alu. Se trata de secuencias repetidas de tipo SINE (*Short Interspersed Elements*), de unos 300 pb, que se caracterizan por la presencia de un sitio de reconocimiento para la enzima de restricción *Alu* I. Durante 65 millones de años, los elementos Alu se han propagado en el genoma de los primates hasta más de un millón de copias, lo que ha resultado en la generación de subfamilias Alu, lo que evidencia la importancia de estas secuencias en la evolución de los genomas (14).

List of domain hits					
	Name	Accession	Description	Interval	E-value
H	GVQW	pfam13900	Putative domain of unknown function. This short domain is often found nested inside other ...	40114-40257	7.67e-22
H	GVQW	pfam13900	Putative domain of unknown function. This short domain is often found nested inside other ...	9553-9999	1.12e-18
Putative domain of unknown function; This short domain is often found nested inside other longer domains. The function is not known, but the domain carries a highly conserved GVQW motif. It is possible that this is an AluS that has expanded in Human and Macaque genomes.					
:					
			Pssm-ID: 290611 Cd Length: 48 Bit Score: 82.45 E-value: 1.12e-18		
			10 20 30 40		
			.....*.....*.. .....*.... .....*.... .....*		
			lcl seqsig_ATGGC_4811d0d311be945bc6dd410445819b8b 3185 VQAAGVQW RDLQPLPPSGFMKFSCSLSLPSSWDYRRLPCPAIFCIF 3232		
			Cdd:pfam13900 1 VQAAGVQW HDLGSLQPLPGFKQFSCSLSLPSSWDYRHLVPHPAIFCIF 48		
H	GVQW	pfam13900	Putative domain of unknown function. This short domain is often found nested inside other ...	22912-23052	4.09e-18
H	GVQW	pfam13900	Putative domain of unknown function. This short domain is often found nested inside other ...	30445-30582	8.92e-18

**Figura 2.20.** Resultado de CDD para la región de homología

## MYD88

Dado que este gen presenta 5 isoformas diferentes debidas sobre todo a splicings alternativos, se empleó la secuencia CDS de las 5 isoformas para realizar el BLAT.

### BLAT con CDS: Isoforma 1

El BLAT con la isoforma 1 mostró una homología con la secuencia propia y luego pequeñas homologías con diferentes regiones cromosómicas:

### BLAT Search Results

Go back to [chr2:197389784-197435091](#) on the Genome Browser.

ACTIONS	QUERY	SCORE	START	END	QSIZE	IDENTITY	CHRO	STRAND	START	END	SPAN
<a href="#">browser details</a>	MyD88_isoform_1	950	1	954	954	100.0%	3	+	38138662	38141286	2625
<a href="#">browser details</a>	MyD88_isoform_1	36	447	538	954	97.5%	1	-	29285749	29285863	115
<a href="#">browser details</a>	MyD88_isoform_1	24	779	803	954	100.0%	13	+	77079086	77079113	28
<a href="#">browser details</a>	MyD88_isoform_1	23	81	105	954	87.5%	1	+	23793946	23793969	24
<a href="#">browser details</a>	MyD88_isoform_1	21	830	850	954	100.0%	8	-	7839416	7839436	21
<a href="#">browser details</a>	MyD88_isoform_1	20	393	412	954	100.0%	13	-	82613562	82613581	20
<a href="#">browser details</a>	MyD88_isoform_1	20	935	954	954	100.0%	12	-	111684158	111684177	20
<a href="#">browser details</a>	MyD88_isoform_1	20	393	412	954	100.0%	12	-	27063601	27063620	20
<a href="#">browser details</a>	MyD88_isoform_1	20	401	420	954	100.0%	10	-	20888605	20888624	20
<a href="#">browser details</a>	MyD88_isoform_1	20	275	294	954	100.0%	1	-	243487603	243487622	20
<a href="#">browser details</a>	MyD88_isoform_1	20	393	412	954	100.0%	1	+	59915567	59915586	20

**Figura 2.21.** Resultado BLAT para MYD88 isoforma 1

De todas estas homologías "pequeñas", destaca una de ellas, la que corresponde a 20 nucleótidos situados en la posición 393-412, que presenta homología en regiones de los cromosomas 13, 12 y 1. Se procedió a observar mejor estas regiones para ver si tienen algo en común.

Estas tres regiones de tres cromosomas diferentes presentan algo en común: una señal H3K27Ac. Se trata de una marca de acetilación de la histona H3. En concreto, la acetilación de la lisina 27 de la H3. Este tipo de modificaciones histónicas están relacionadas con la activación y represión de la transcripción, ya que modifican la accesibilidad de la hebra de ADN a la maquinaria de transcripción. Esta marca H3K27Ac se cree que está relacionada con la activación de la transcripción.



**Figura 2.22.** Genome Browser de las entradas 6, 8 y 11 de BLAT

Al volver al resultado del BLAT, se pudo observar que el resto de resultados presentan un tamaño similar. Al observar todas las homologías presentes en la tabla con el *Genome Browser*, se pudo comprobar que en todas ellas aparece también la marca H3K27Ac. Por tanto, el gen MYD88 presenta varias marcas de acetilación de la histona H3, asociadas a la activación de la transcripción.

## Isoformas 2, 3, 4 y 5

El análisis BLAT de las isoformas 2, 3, 4, y 5 nos muestra también el mismo resultado: una homología elevada con la propia secuencia y homologías más pequeñas debidas a la marca H3K27Ac.

## **BLAST con secuencia genómica**

Los resultados del análisis BLAST solamente muestran una homología importante con la secuencia del gen MYD88 y cada una de sus isoformas.

Las diferencias encontradas entre los análisis BLAT y BLAST en todos los casos se pueden explicar por diferentes motivos:

-En primer lugar, la secuencia CDS corresponde con la secuencia que se traduce a proteína. Este tipo de secuencias presentan un mayor grado de conservación que aquellas regiones que sí se transcriben pero no se traducen, como es el caso de los intrones.

-En la secuencia CDS ya ha tenido lugar el corte y empalme del *splicing*. Esto hace que se genere una nueva secuencia a partir de la unión de los exones.

- La herramienta BLAT está diseñada para encontrar de manera rápida secuencias con un grado de similitud muy elevado (95% o más en ADN y 80% o más en proteína). Busca secuencias de un tamaño mínimo de 25 bases en ADN y 20 aminoácidos en proteínas. No trata de realizar alineamientos con genomas para ver homologías sino de localizar regiones con alta homología a la secuencia analizada en un genoma concreto.

-La herramienta BLAST, por su parte, emplea *query*, fragmentos de la secuencia de interés, para generar semillas de alineamientos en toda la base de datos de secuencias. Una vez localizadas estas semillas de alineamientos óptimos, hace crecer cada alineamiento en ambas direcciones evaluando simultáneamente la calidad del resultado. En este caso se ha empleado la opción *Megablast*, que está optimizada para búsquedas intraespecíficas y emplea tamaños de "palabras" relativamente grandes. Estas palabras corresponden al tamaño en el que se fragmentará la *query* para realizar la búsqueda de alineamientos.

### 2.2.3. Búsqueda de pseudogenes

Los pseudogenes son copias de genes que presentan deficiencias, tales como mutaciones de pauta de lectura o aparición de codones de stop prematuros, que impiden la obtención de un producto génico funcional (15). Los pseudogenes se originan por deterioro de genes duplicados. A estos pseudogenes se les conoce como no procesados. Algunos pseudogenes pueden también originarse por retrotransposición, y son los llamados pseudogenes procesados. En estos casos se retrotranspone el ADNc originado a partir de ARNm maduros (15).

La herramienta BioMart permite obtener un listado de los diferentes tipos de pseudogenes identificados hasta la fecha en el genoma humano.

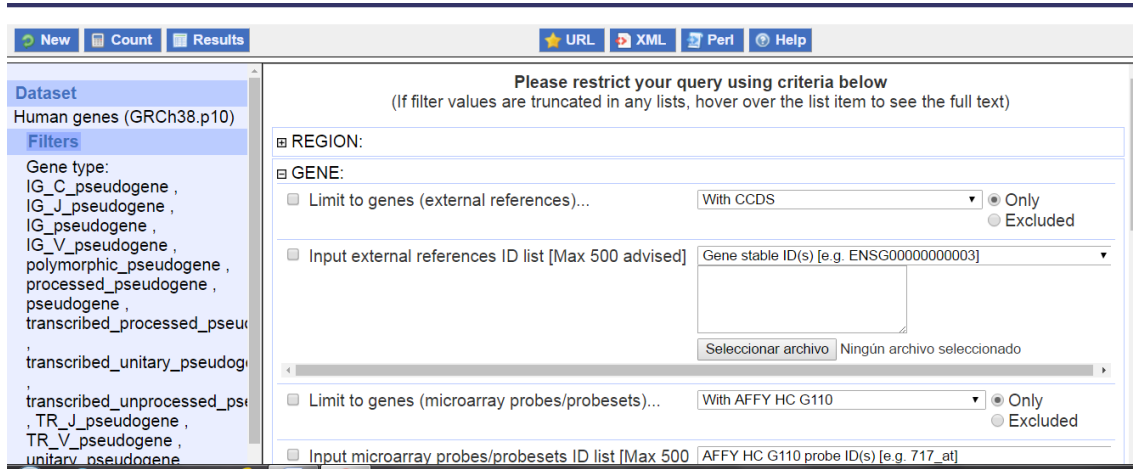


Figura 2.23. Pantalla de inicio de BioMart con los pseudogenes seleccionados

El resultado obtenido es una tabla sobre la que se ha realizado la búsqueda con los términos NOTCH1, SF3B1 y MYD88. En ninguno de los tres casos se ha obtenido alguna respuesta positiva.

La página web Pseudogene.org es una base de datos que integra diferentes recursos dedicados a la anotación de pseudogenes. En ella se obtienen también listados obtenidos por estos diferentes recursos de las anotaciones de pseudogenes.

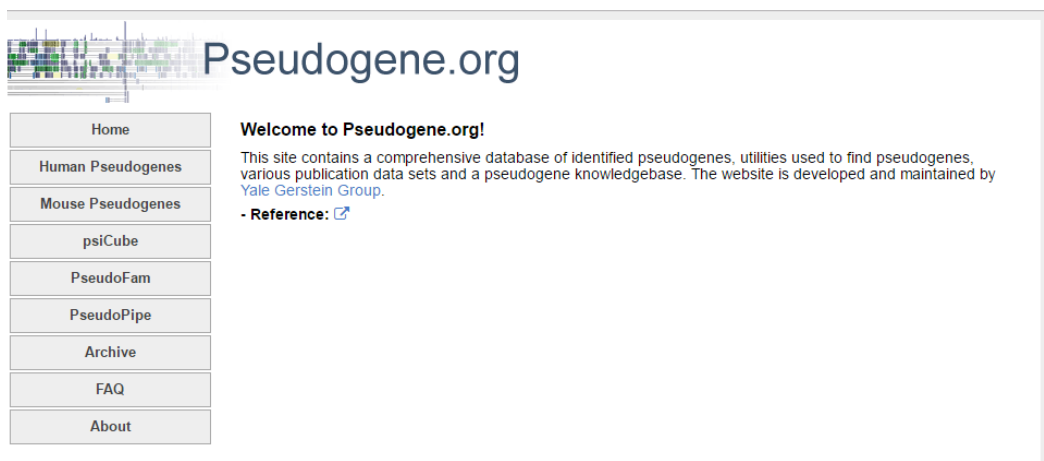


Figura 2.24. Pantalla inicial de Pseudogene.org

Se ha realizado la búsqueda de los términos NOTCH1, SF3B1 y MYD88 en los resultados obtenidos por diferentes herramientas mostradas en Pseudogene.org. En ningún caso se obtuvo un resultado positivo, corroborando así los resultados obtenidos en BioMart.

#### 2.2.4. Análisis evolutivo de los genes NOTCH1, SF3B1 y MYD88

##### NOTCH1

Se han realizado los alineamientos con la secuencia proteica y la CDS con las siguientes especies:

- Ratón (*Mus musculus*)
- Rata (*Rattus norvegicus*)
- Gallo (*Gallus gallus*)
- Rana (*Xenopus tropicalis*)
- Pez cebra (*Danio rerio*). Para esta especie aparecen dos RefSeq, notch1a y notch1b. Se emplearon las dos.
- Trucha arcoiris (*Oncorhynchus mykiss*)

La tabla III muestra el porcentaje de identidad para las secuencias proteicas y CDS de NOTCH1. Como se puede observar, los porcentajes son ligeramente inferiores en el caso de la CDS, pero no demasiado. Esto es llamativo ya que

por lo general las secuencias de ADN presentan una mayor variabilidad que las proteicas, ya que gracias a la degeneración del código genético existen en las secuencias de ADN cambios sinónimos, esto es, que no afectan al aminoácido codificado.

El anexo 2a muestra el alineamiento correspondiente a la secuencia proteica de NOTCH1. El tamaño del mismo es de 2617 residuos. El número de sitios variables es de 1295, de los cuales 352 cambios presentan propiedades químicas altamente similares y 132 propiedades químicas ligeramente similares.

**Tabla III.** Porcentaje de identidad entre las secuencias proteicas (diagonal superior) y CDS (diagonal inferior) en NOTCH1

	Humano	Ratón	Rata	Gallo	Rana	Pez cebra-a	Pez cebra-b	Trucha
<b>Humano</b>	-	91.50	91.42	80.75	75.36	70.01	71.68	70.97
<b>Ratón</b>	85.99	-	98.50	80.40	75.25	69.49	71.43	70.81
<b>Rata</b>	86.37	93.39	-	80.36	75.33	69.49	71.52	70.93
<b>Gallo</b>	79.07	72.22	71.66	-	79.74	70.49	74.37	73.28
<b>Rana</b>	73.24	68.31	68.04	72.36	-	69.40	73.07	71.86
<b>Pez cebra-a</b>	68.21	65.77	65.89	67.99	65.99	-	67.65	71.11
<b>Pez cebra-b</b>	70.10	67.97	68.01	70.07	67.92	67.65	-	71.81
<b>Trucha</b>	71.95	66.39	66.15	68.47	65.98	71.11	71.81	-

El anexo 2b muestra el alineamiento correspondiente a la secuencia CDS de NOTCH1. El tamaño del mismo es de 10074 pb. El número de sitios variables es de 6796.

La figura 2.25 muestra un fragmento del alineamiento de la secuencia proteica en donde se localizan los residuos implicados en las mutaciones P2515Rfs\*4 y F2482Ffs\*2. En ambos casos se trata de residuos conservados, en un caso (F2482) en todas las secuencias analizadas y en otro (P2515) en todas menos una. Esto podría indicar la importancia de esta región proteica en la función de NOTCH1, y de ahí la aparición de patologías asociadas a estas mutaciones. En

ambos casos la proteína aparece truncada tras la mutación, ya que se producen nuevos sitios de stop.

Humano	<b>S</b> PALPTSLPSSLVPPV <b>TAAQ</b> <b>F</b> LTPPSQHSYS-S <b>P</b> V <b>D</b> NTPSHQ <b>I</b> QVPE-H <b>P</b> FL <b>T</b> PS <b>P</b> ESPD
Ratón	<b>S</b> QALPTSLPSSMVPPMTT <b>Q</b> <b>F</b> LTPPSQHSYSSSP <b>V</b> DNT <b>P</b> SHQ <b>I</b> QVPE-H <b>P</b> FL <b>T</b> PS <b>P</b> ESPD
Rata	<b>S</b> QALPTSLPSSMVPPMTT <b>Q</b> <b>F</b> LTPPSQHSYSSSP <b>V</b> DNT <b>P</b> SHQ <b>I</b> QVPE-H <b>P</b> FL <b>T</b> PS <b>P</b> ESPD
Gallo	<b>S</b> QLLPTSLPSS <b>I</b> AQPM <b>T</b> TT <b>Q</b> <b>F</b> LTPPSQHSYS-S <b>P</b> L <b>D</b> NTPSHQ <b>I</b> QV <b>P</b> D-H <b>P</b> FL <b>T</b> PS <b>P</b> ESPD
Rana	<b>T</b> QIFTNSLPPTLTQS <b>MATT</b> <b>Q</b> <b>F</b> LTPPSQHSYS-S <b>P</b> MDNTPSHQ <b>I</b> QV <b>P</b> D-H <b>P</b> FL <b>T</b> PS <b>P</b> ESPD
Pez-cebra-a	<b>S</b> QRMA--- <b>P</b> P----- <b>I</b> SSTQ <b>F</b> LTPPSQHSYSNPMD-NTPNHQ-QV <b>P</b> D-H <b>P</b> FL <b>T</b> PS <b>A</b> GS <b>P</b> D
Pez-cebra-b	<b>T</b> QLLN--- <b>P</b> SSIGSSMAGT <b>Q</b> <b>F</b> LTPPSQHSY <b>T</b> <b>P</b> ALDANTPNHQ <b>L</b> QV <b>P</b> DHH <b>F</b> LTPSP <b>PG</b> <b>S</b> <b>P</b> D
Trucha	<b>T</b> Q----- <b>I</b> LGTQ <b>F</b> LTPPSQHSYSGP <b>I</b> D-NTPNHQ <b>I</b> QV <b>P</b> D-H <b>P</b> FL <b>T</b> PS <b>P</b> GS <b>P</b> D
:	: : : ***** : * * * : * * * * * :

**Figura 2.25.** Fragmento del alineamiento proteico de NOTCH1 donde se muestran los residuos afectados por las mutaciones de LLC (negrita). La localización de este fragmento se puede ver en el anexo 2a

## SF3B1

Se ha realizado el alineamiento de la secuencia proteica y CDS de la proteína SF3B1 de las siguientes especies:

- Mono Rhesus (*Macaca mulatta*)
- Vaca (*Bos taurus*)
- Ratón (*Mus musculus*)
- Rata (*Rattus norvegicus*)
- Rana (*Xenopus laevis*)
- Mosca de la fruta (*Drosophila melanogaster*). Se han encontrado dos variantes transcripcionales, a y b. Ambas han sido empleadas.

La tabla IV muestra el porcentaje de identidad de las secuencias proteicas y CDS de la proteína SF3B1. Los porcentajes de identidad de la secuencia proteica son superiores a los de la CDS, tal y como se espera. Además, si se hace referencia a la tabla I, en aquellas especies en las que se puede realizar la comparación (ratón, rata y rana), los porcentajes de identidad de SF3B1 son superiores a los de NOTCH1. Esta diferencia es mayor en el caso de la secuencia proteica, aunque también se pueden observar valores ligeramente superiores en la secuencia CDS.

El anexo 3a muestra el alineamiento de la secuencia proteica de SF3B1. El tamaño es de 1358 residuos, de los cuales 341 fueron sitios variables. Se encontraron un total de 114 mutaciones entre residuos con propiedades químicas altamente afines, y 47 con una cierta afinidad.

El anexo 3b muestra el alineamiento de la secuencia CDS de SF3B1. El tamaño del mismo es de 6656 pb. Se encontraron un total de 4417 sitios variables.

La figura 2.26 muestra un fragmento del alineamiento proteico de SF3B1 con las posiciones implicadas en la LLC. Se trata de una región altamente conservada en todas las especies, lo que indica una importancia funcional.

**Tabla IV.** Porcentaje de identidad de la secuencia proteica (diagonal superior) y la CDS (diagonal inferior) en SF3B1

	Humano	Rhesus	Vaca	Ratón	Rata	Rana	Mosca-a	Mosca-b
Humano	-	100.00	99.92	100.00	100.00	96.85	79.70	79.70
Rhesus	98.85	-	99.92	100.00	100.00	96.85	79.70	79.70
Vaca	95.25	95.58	-	99.92	99.92	96.77	79.70	79.70
Ratón	93.03	92.77	82.79	-	100.00	96.85	79.70	79.70
Rata	92.64	92.59	88.38	93.50	-	96.85	79.70	79.70
Rana	81.68	78.96	79.05	78.92	78.94	-	79.46	79.46
Mosca-a	65.82	64.54	64.77	64.81	64.63	64.80	-	100.00
Mosca-b	65.82	63.79	63.97	64.18	64.02	64.09	100.00	-

Humano	IVQQIAILMGCAILPHLRS <b>LVEIIIEHGLVDEQQKVRTISALAI</b> AALAEAAATPYGIESFDS
Rhesus	IVQQIAILMGCAILPHLRS <b>LVEIIIEHGLVDEQQKVRTISALAI</b> AALAEAAATPYGIESFDS
Vaca	IVQQIAILMGCAILPHLRS <b>LVEIIIEHGLVDEQQKVRTISALAI</b> AALAEAAATPYGIESFDS
Ratón	IVQQIAILMGCAILPHLRS <b>LVEIIIEHGLVDEQQKVRTISALAI</b> AALAEAAATPYGIESFDS
Rata	IVQQIAILMGCAILPHLRS <b>LVEIIIEHGLVDEQQKVRTISALAI</b> AALAEAAATPYGIESFDS
Rana	IVQQIAILMGCAILPHLRS <b>LVEIIIEHGLVDEQQKVRTISALAI</b> AALAEAAATPYGIESFDS
Mosca-a	IVQQIAILMGCAILPHL <b>KALVEIIIEHGLVDEQQKVRTITALAI</b> AALAEAAATPYGIESFDS
Mosca-b	IVQQIAILMGCAILPHL <b>KALVEIIIEHGLVDEQQKVRTITALAI</b> AALAEAAATPYGIESFDS
	***** : ***** : ***** : *****
Humano	VLKPLWKGIRQHRG <b>KGLAAFLKAI</b> GYLIPLMDAEYANYYTREVMLILIREFQS PDEEMKK
Rhesus	VLKPLWKGIRQHRG <b>KGLAAFLKAI</b> GYLIPLMDAEYANYYTREVMLILIREFQS PDEEMKK
Vaca	VLKPLWKGIRQHRG <b>KGLAAFLKAI</b> GYLIPLMDAEYANYYTREVMLILIREFQS PDEEMKK
Ratón	VLKPLWKGIRQHRG <b>KGLAAFLKAI</b> GYLIPLMDAEYANYYTREVMLILIREFQS PDEEMKK
Rata	VLKPLWKGIRQHRG <b>KGLAAFLKAI</b> GYLIPLMDAEYANYYTREVMLILIREFQS PDEEMKK
Rana	VLKPLWKGIRQHRG <b>KGLAAFLKAI</b> GYLIPLMDAEYANYYTREVMLILIREFQS PDEEMKK
Mosca-a	VLKPLWKGIRTHRG <b>KGLAAFLKAI</b> GYLIPLMDAEYANYYTREVMLILIREFQS PDEEMKK
Mosca-b	VLKPLWKGIRTHRG <b>KGLAAFLKAI</b> GYLIPLMDAEYANYYTREVMLILIREFQS PDEEMKK
	*****

**Figura 2.26.** Fragmento del alineamiento proteico de SF3B1 donde se muestran los residuos afectados por las mutaciones de LLC (negrita). La localización de este fragmento se puede ver en el anexo 3a

## MYD88

Se ha realizado el alineamiento de la secuencia proteica y de la CDS de las cinco isoformas de MYD88 con la secuencia de las siguientes especies:

- Macaco cangrejero (*Macaca fascicularis*)
- Mono Rhesus (*Macaca mulatta*)
- Gorila (*Gorilla gorilla*)
- Chimpancé pigmeo (*Pan paniscus*)
- Chimpancé (*Pan troglodytes*)
- Mangabey gris (*Cercocebus atys*)
- Vaca (*Bos taurus*)
- Ratón (*Mus musculus*)
- Salmón (*Salmo salar*)

La tabla V muestra los resultados de porcentajes de identidad encontrados en la secuencia proteica y la CDS. Los resultados de la secuencia proteica dan valores ligeramente superiores a los de la secuencia CDS. Un dato interesante que se puede ver es que los porcentajes de identidad de las isoformas 4 y 5 son más bajos con respecto al resto en la secuencia proteica. Esta diferencia también existe en la secuencia CDS pero no es tan evidente.

El anexo 4a muestra el alineamiento de las secuencias proteicas para MYD88. El tamaño del mismo es de 318 residuos. El número de sitios variables es de 271. De ellos, 26 presentan propiedades químicas altamente similares y 10 presentan una cierta similitud. El anexo 4b muestra el alineamiento de las secuencias CDS para MYD88. El tamaño es de 2872 pb. El número de sitios variables es de 2752.

La figura 2.27 muestra un fragmento del alineamiento proteico de MYD88 en donde se localizan las mutaciones relacionadas con la LLC. Se trata de una región con una conservación del 100% en las secuencias analizadas, salvo las isoformas 4 y 5.

Humano-1	<b>M</b> VVVVVSDDYLQSKECDFQTKFALSLSPGAHQKR <b>L</b> IPIKYKAMKKEFPSILRFITVCDYTN
Humano-2	<b>M</b> VVVVVSDDYLQSKECDFQTKFALSLSPGAHQKR <b>L</b> IPIKYKAMKKEFPSILRFITVCDYTN
Humano-3	<b>M</b> VVVVVSDDYLQSKECDFQTKFALSLSPGAHQKR <b>L</b> IPIKYKAMKKEFPSILRFITVCDYTN
Humano-4	-----
Humano-5	-----
Macaco	<b>M</b> VVVVVSDDYLQSKECDFQTKFALSLSPGAHQKR <b>L</b> IPIKYKAMKKEFPSILRFITVCDYTN
Rhesus	<b>M</b> VVVVVSDDYLQSKECDFQTKFALSLSPGAHQKR <b>L</b> IPIKYKAMKKEFPSILRFITVCDYTN
Gorila	<b>M</b> VVVVVSDDYLQSKECDFQTKFALSLSPGAHQKR <b>L</b> IPIKYKAMKKEFPSILRFITVCDYTN
Ch.pigmeo	<b>M</b> VVVVVSDDYLQSKECDFQTKFALSLSPGAHQKR <b>L</b> IPIKYKAMKKEFPSILRFITVCDYTN
Chimpancé	<b>M</b> VVVVVSDDYLQSKECDFQTKFALSLSPGAHQKR <b>L</b> IPIKYKAMKKEFPSILRFITVCDYTN
Mangabey	<b>M</b> VVVVVSDDYLQSKECDFQTKFALSLSPGAHQKR <b>L</b> IPIKYKAMKKEFPSILRFITVCDYTN
Vaca	<b>M</b> VVVVVSD <b>E</b> YLQSKECDFQTKFALSLSPGAHQKR <b>L</b> IPIKYKPMKKEFPSILRFITVCDYTN
Ratón	<b>M</b> VVVVVSDDYLQSKECDFQTKFALSLSPGVQQKR <b>L</b> IPIKYKAMKKDFPSILRFITICDYTN
Salmón	<b>M</b> VVVVI <b>S</b> DEYLSDACDFQTKFALS <b>L</b> CPGARS <b>K</b> R <b>L</b> IPVKYRSMKKPFFPSILRFLTVCDYTR

**Figura 2.27.** Fragmento del alineamiento proteico de MYD88 donde se muestran los residuos afectados por las mutaciones de LLC (negrita). La localización de este fragmento se puede ver en el anexo 4a

El análisis de secuencias ortólogas de los tres genes analizados nos indica la importancia funcional de estas tres proteínas, presentes en especies tan

evolutivamente separadas del ser humano como el pez cebra, la mosca de la fruta o el salmón. Si bien se ha de tener en cuenta que los datos de porcentaje de identidad no son los más adecuados para realizar un análisis evolutivo, parece que la proteína SF3B1 está más conservada evolutivamente que las otras dos. El hecho de que participe en una función tan esencial como es el splicing puede explicar la existencia de una mayor presión selectiva sobre ella. Un dato interesante que se desprende del alineamiento de las tres proteínas es la localización de las mutaciones asociadas a LLC en regiones de una elevada conservación evolutiva. Este dato pone de manifiesto que estas proteínas se localizan en regiones probablemente funcionalmente importantes, lo que provoca la aparición de patologías como la LLC.

Cabe destacar que los porcentajes de identidad que se muestran en las tablas III, IV y V no se pueden considerar como medidas de distancia evolutiva. Se trata de un sistema de evaluación que asigna diferentes puntuaciones a coincidencias, sustituciones y gaps, para así clasificar todos los posibles alineamientos. Este porcentaje se obtiene a partir de analizar la similaridad, que recompensa las coincidencias (en este caso coincidencias exactas) y penaliza las inserciones/deleciones.

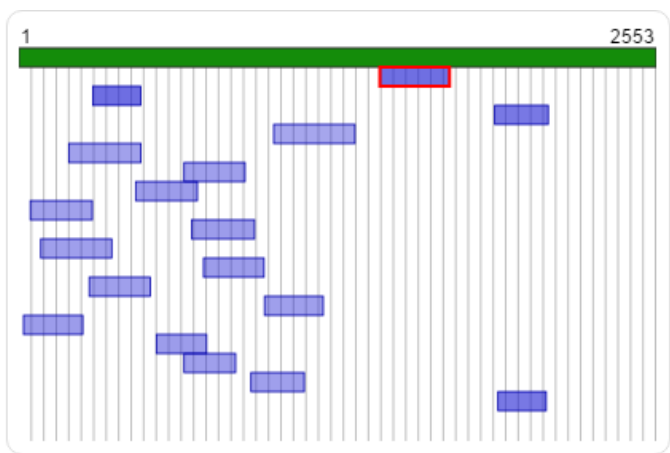
**Tabla V.** Porcentaje de identidad de la secuencia proteica (diagonal superior) y CDS (diagonal inferior) de MYD88

	Humano-1	Humano-2	Humano-3	Humano-4	Humano-5	Macaco	Rhesus	Gorila	Ch.pigmeo	Chimpancé	Mangabey	Vaca	Ratón	Salmón
<b>Humano-1</b>	-	100.00	99.62	83.33	78.62	98.06	98.65	99.66	99.32	98.99	98.65	85.47	81.76	64.18
<b>Humano-2</b>	100.00	-	99.62	83.33	78.62	98.06	98.65	99.66	99.32	98.99	98.65	85.47	81.76	64.18
<b>Humano-3</b>	99.87	99.87	-	77.99	78.48	97.35	98.01	99.20	98.80	98.41	98.01	87.65	82.07	64.32
<b>Humano-4</b>	88.29	88.29	84.79	-	100.00	80.39	80.10	81.68	81.15	80.63	80.10	64.92	59.16	42.94
<b>Humano-5</b>	84.52	84.52	100.00	84.52	-	74.84	73.97	76.03	75.34	74.66	73.97	63.01	53.42	37.50
<b>Macaco</b>	97.85	97.85	97.74	85.85	81.80	-	99.66	98.65	98.31	97.97	99.66	84.46	81.08	64.18
<b>Rhesus</b>	98.09	98.09	98.02	85.42	80.87	99.89	-	98.99	98.65	98.31	100.00	84.46	81.08	64.18
<b>Gorila</b>	99.44	99.44	99.21	86.98	82.46	98.09	98.20	-	99.66	99.32	98.99	85.47	81.76	64.18
<b>Ch.pigmeo</b>	99.33	99.33	99.07	86.81	82.23	98.09	98.20	99.44	-	99.66	98.65	85.47	81.76	64.18
<b>Chimpancé</b>	99.21	99.21	98.94	86.63	82.00	97.98	98.09	99.33	99.89	-	98.31	85.47	81.76	64.18
<b>Mangabey</b>	97.45	97.45	97.40	85.20	80.93	99.34	99.44	97.64	97.64	97.53	-	84.46	81.08	64.18
<b>Vaca</b>	85.33	85.31	86.24	73.37	69.89	72.23	86.08	86.42	86.08	85.97	85.35	-	76.01	63.48
<b>Ratón</b>	80.54	80.52	80.88	67.32	63.60	59.91	81.37	81.59	81.59	81.48	81.06	58.72	-	64.18
<b>Salmón</b>	60.81	60.77	61.51	45.76	43.99	54.45	62.14	62.37	62.37	62.26	61.52	54.42	52.30	-

## 2.2.5. Análisis estructural de las proteínas NOTCH1, SF3B1 y MYD88

### Análisis estructural NOTCH1

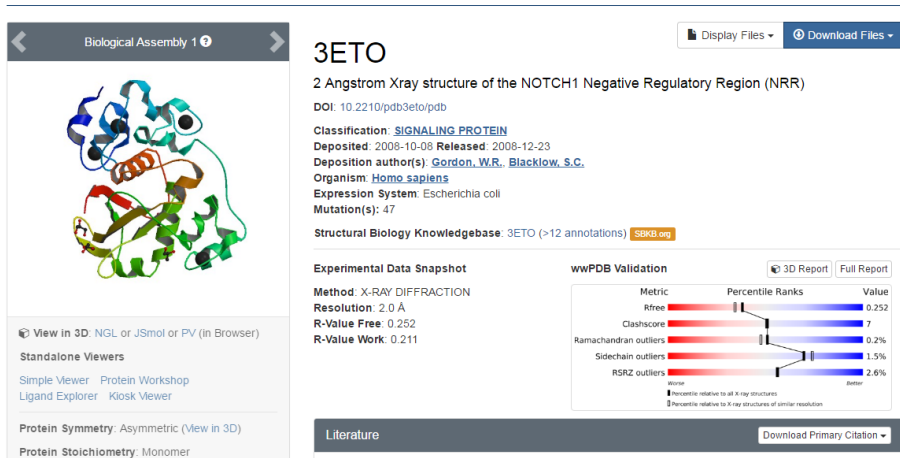
La figura 2.28 presenta la modelización de la proteína NOTCH1. A lo largo de su secuencia (en verde) se han modelizado 18 modelos (en azul) por homología. Si bien algunos se superponen, la localización de los diferentes modelos se extiende a lo largo de la secuencia.



**Figura 2.28.** Esquema mostrando la disposición de los 18 modelos (azul) a lo largo de la secuencia de NOTCH1 (verde)

Al observar el número de estructuras modelo empleadas para la modelización, se puede ver que se han empleado solamente 5 estructuras modelo. Y es que una de ellas aparece representada 14 veces. Dado que se tiene información de estos modelos, se procedió a localizarlos en la base de datos PDB.

El primero de los modelos estructurales empleado corresponde precisamente con una estructura de NOTCH1:



**Figura 2.29.** Modelo 3ETO localizado en PDB

Para obtener más información acerca de esta estructura, se accede a la base de datos Pfam empleando en id de este modelo en PDB.

La base de datos Pfam encontró 3 entradas relacionadas con esta estructura:

Accession	ID	Description	Pdb
<a href="#">PF00066</a>	<a href="#">Notch</a>	LNR domain	✓
<a href="#">PF06816</a>	<a href="#">NOD</a>	NOTCH protein	✓
<a href="#">PF07684</a>	<a href="#">NODP</a>	NOTCH protein	✓

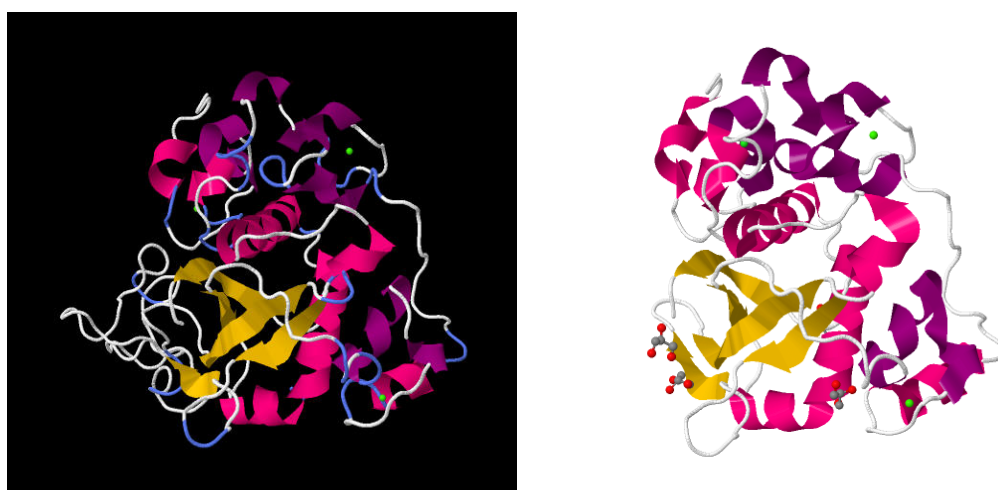
**Figura 2.30.** Dominios localizados en Pfam para 3ETO

La primera de ellas es el dominio NOTCH, también llamado dominio LNR (*Lin12-NOTCH repeat*). Se encuentran 3 copias en tandem de este dominio en las proteínas NOTCH *related*. La estructura de este dominio ha sido determinado por NMR (16). Cada una de las copias presenta seis residuos de cisteína engarzados en tres puentes bisulfito y tres residuos conservados de aspartato y asparragina (17). La caracterización bioquímica de este dominio indica que los puentes bisulfito se forman entre las cisteínas 1-5, 2-4 y 3-6. La formación de esta estructura está favorecida por la presencia de Ca<sup>+2</sup>, molécula que también es requerida para mantener la integridad estructural. Los residuos de aspartato y asparragina parecen ser importantes para la unión del Ca<sup>+2</sup>, y por tanto contribuyen al plegamiento. Esta región aparece en las proteínas NOTCH *related* que poseen repeticiones EGF C-terminales. Se cree que la

región LNR regula negativamente la actividad de estas proteínas. Este dominio está formado por hélices alfa y hojas beta.

Los otros dos dominios, NOD y NODP, representan a una región presente en muchas proteínas NOTCH y homólogos en diferentes especies. Sin embargo, el papel de estos dominios está todavía por determinar.

A continuación se muestra el modelo generado por Swiss Model y el modelo 3ETO:

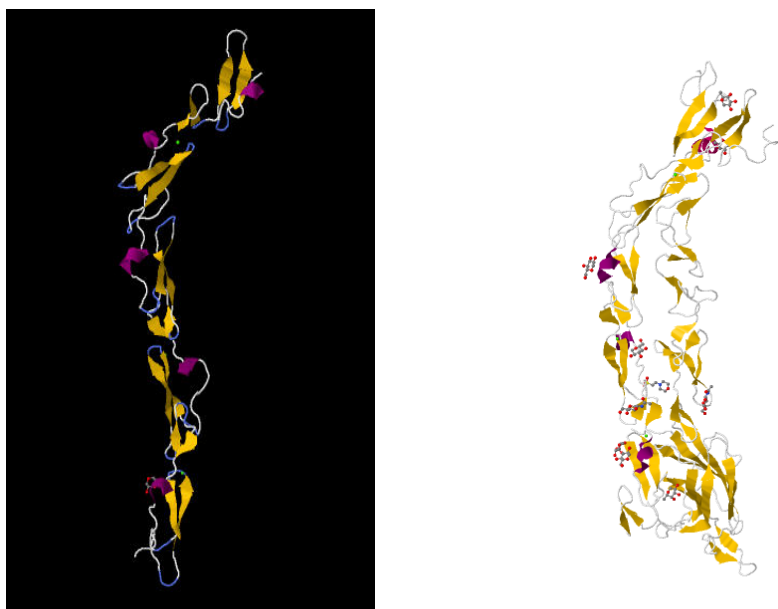


**Figura 2.31.** Modelo 1 generado por Swiss Model (izquierda) y modelo de la estructura PDB 3ETO (derecha)

El segundo de los modelos estructurales empleados para la modelización de la secuencia de NOTCH1 corresponde también a una estructura de esta proteína:

**Figura 2.32.** Modelo 5UK5 localizado en PDB

En este caso, se puede observar que el modelo empleado corresponde a una estructura descrita en ratón. Se trata de un modelo en el que se representa el complejo formado por una región de la proteína NOTCH1 (EGF8-12) con la proteína Jagged1, ligando de este grupo de proteínas que está involucrado en la mediación de la señal NOTCH. Dado que se trata de un modelo en el que se representa una interacción, no existe posibilidad de analizarla en la base de datos Pfam. A continuación se muestra el modelo generado por Swiss Model y el correspondiente a la estructura 5UK5:



**Figura 2.33.** Modelo generado por Swiss Model (izquierda) y modelo de la estructura 5UK5 (derecha)

El tercero de los modelos empleados corresponde también a la proteína NOTCH1:



**Figura 2.34.** Modelo 2F8Y localizado en PDB

La base de datos Pfam nos da tres entradas para esta estructura:

Accession	ID	Description	Pdb
<a href="#">PF00023</a>	Ank	Ankyrin repeat	✓
<a href="#">PF12796</a>	Ank_2	Ankyrin repeats (3 copies)	✓
<a href="#">PF13637</a>	Ank_4	Ankyrin repeats (many copies)	✓

**Figura 2.35.** Dominios localizados en Pfam para 2F8Y

Las tres se refieren a repeticiones ANK (*Ankyrin*). Se trata de adaptadores multifuncionales que actúan como unión de membrana, ya que ayudan a anclar a las proteínas específicas a la región de citoesqueleto asociada a la membrana. Presenta más de 24 unidades repetidas, y media en la mayoría de las actividades de unión de proteínas. Las repeticiones 13-24 son especialmente activas. Son uno de los motivos más comunes en la naturaleza para la interacción proteína-proteína. Cada una de las repeticiones se empaqueta en una estructura *helix-loop-helix* con una región *beta-hairpin/loop* proyectando hacia afuera de las hélices con un ángulo de 90°. Las repeticiones se colocan juntas para formar una estructura en forma de L (18).

A continuación se muestra el modelo generado por Swiss Model y el correspondiente a la estructura 2F8Y:



**Figura 2.36.** Modelo generado por Swiss Model (izquierda) y modelo de la estructura 2F8Y (derecha)

El cuarto modelo empleado corresponde de nuevo con la proteína NOTCH1:

**Figura 2.37.** Modelo 2HEO localizado en PDB

La base de datos Pfam ofrece tres entradas para esta estructura:

Accession	ID	Description	Pdb
<a href="#">PF00023</a>	<a href="#">Ank</a>	Ankyrin repeat	✓
<a href="#">PF12796</a>	<a href="#">Ank_2</a>	Ankyrin repeats (3 copies)	✓
<a href="#">PF13637</a>	<a href="#">Ank_4</a>	Ankyrin repeats (many copies)	✓

**Figura 2.38.** Dominios localizados en Pfam para 2HEO

De nuevo aparecen las repeticiones ANK. Si se observan detenidamente las estructuras PDB 2F8Y y 2HE0, se pueden ver paralelismos en el modelo, combinando hélices y láminas para formar cada una de las unidades. En el modelo 2HE0, se puede observar como las repeticiones se colocan juntas formando una estructura de L.

A continuación se presenta el modelo generado por Swiss Model y el correspondiente a la estructura 2HE0:

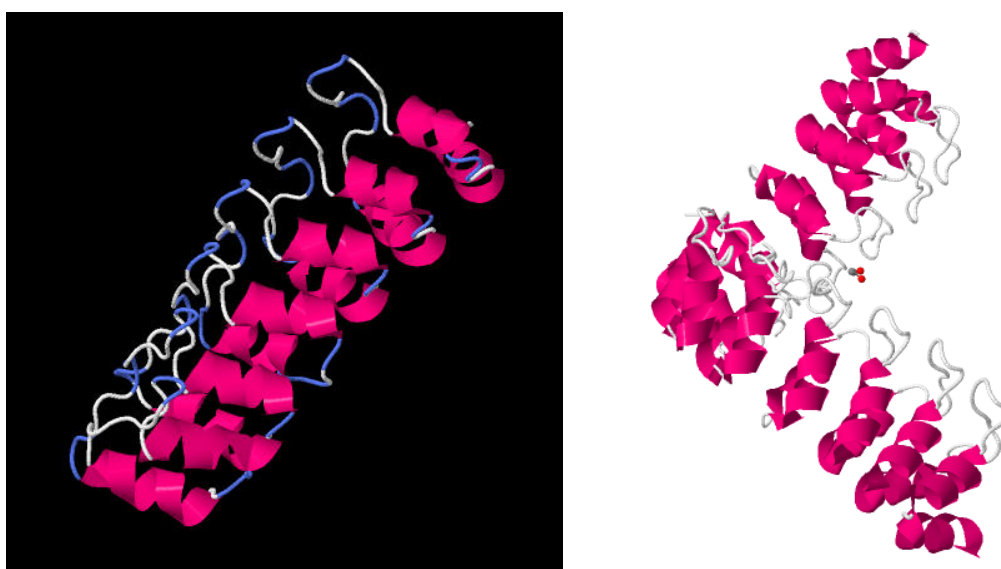
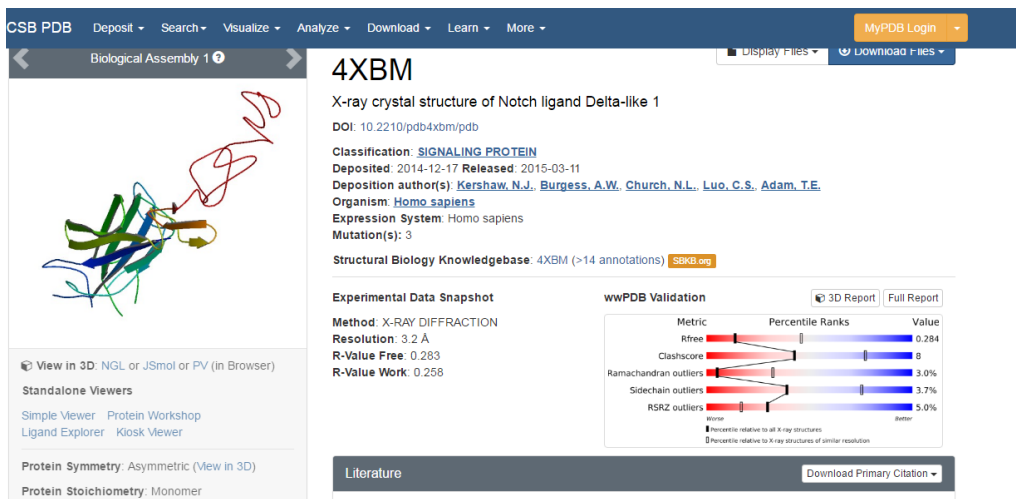


Figura 2.39. Modelo generado por Swiss Model (izquierda) y modelo de la estructura 2HE0 (derecha)

El último de los modelos estructurales empleados por Swiss Model para la modelización de la secuencia de NOTCH1 se utiliza en un total de 14 modelos diferentes. En algunos casos estos modelos se superponen unos a otros, pero en otros casos cubre diferentes regiones de la secuencia. En el PDB se puede observar que se trata de una estructura muy relacionada con la proteína NOTCH1:



**Figura 2.40.** Modelo 4XBM localizado en PDB

Se trata de la estructura de un ligando de NOTCH, Delta-like 1 (DLL1). La unión de este ligando a la proteína participa en la regulación de muchos procesos, tales como el desarrollo embrionario, y el mantenimiento de las células madre adultas en diferentes tejidos y el sistema inmunitario. La señal DLL1-NOTCH juega un papel importante en el desarrollo del cerebro a diferentes niveles, sobre todo por la regulación de la diferenciación neuronal de las células precursoras vía la interacción célula-célula. A nivel de la retina y la médula espinal, regula la neurogénesis. También juega un papel en el desarrollo del sistema inmunitario, y del tejido muscular (19).

En la base de datos Pfam esta estructura se identifica con tres dominios:

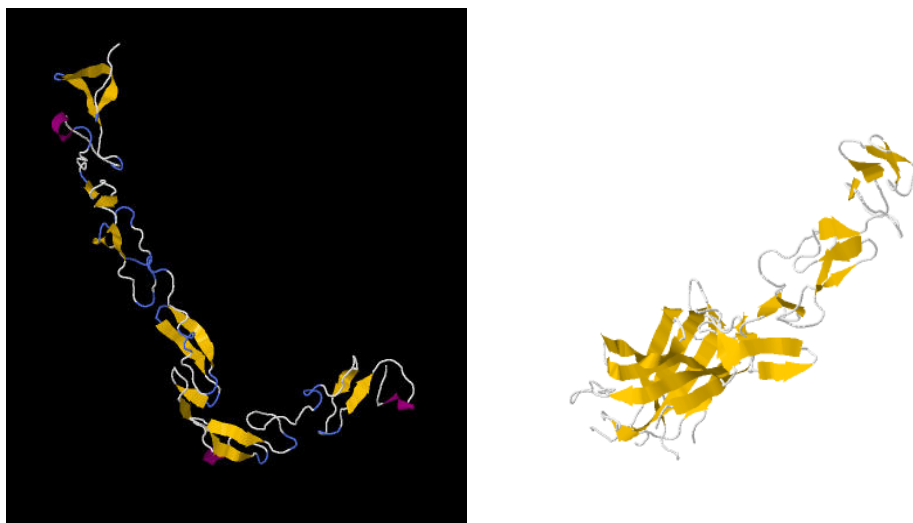
Accession	ID	Description	Pdb
<a href="#">PF00008</a>	<a href="#">EGF</a>	EGF-like domain	✓
<a href="#">PF01414</a>	<a href="#">DSL</a>	Delta serrate ligand	✓
<a href="#">PF07657</a>	<a href="#">MNNL</a>	N terminus of Notch ligand	✓

**Figura 2.41.** Dominios localizados en Pfam para 4XBM

Los dominios DSL y MNNL corresponden a dominios típicos de ligandos NOTCH, relacionados con dominios EGF. El dominio EGF-like es un dominio proteico evolutivamente conservado cuyo nombre deriva del factor de crecimiento epidermal (*epidermal growth factor*). Este domino se presenta mayoritariamente en los dominios extracelulares de proteínas de unión a

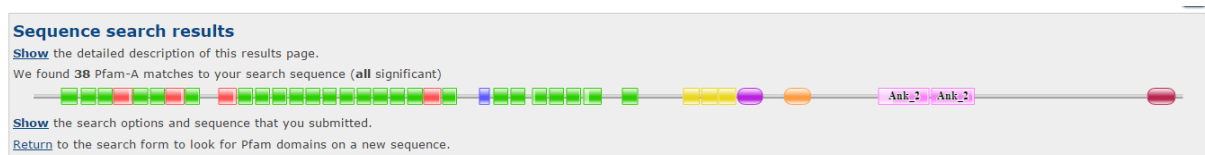
membrana. Se caracteriza por la presencia de seis cisteínas conservadas. Este tipo de dominios es difícil de modelar debido a que existen muchos subtipos similares pero diferentes de dominios EGF. La estructura principal está formada por hojas beta.

A continuación se muestra uno de los 14 modelos generados por Swiss Model a partir de 4XBM y el modelo de esta estructura:



**Figura 2.42.** Modelo generado por Swiss Model (izquierda) y modelo de la estructura 4XBM (derecha)

Cuando se realiza la búsqueda en Pfam con la secuencia proteica de NOTCH1, se pueden observar los dominios anteriormente descritos y su distribución a lo largo de la secuencia:

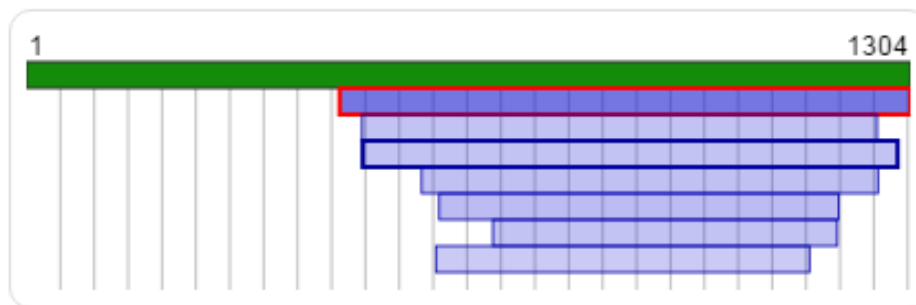


**Figura 2.43.** Localización de los dominios proteicos a lo largo de la secuencia de NOTCH1. Verde: EGF-like domain; Rojo: Calcium-binding EGF domain; Azul: Human growth factor like-EGF; Amarillo: LNR domain; Morado: NOD NOTCH protein; Naranja: NODP NOTCH protein; Ank\_2: ANK repeats; Granate: Dominio de función desconocida

Según la localización de las mutaciones asociadas a LLC, estas se encontrarían en el dominio de función desconocida.

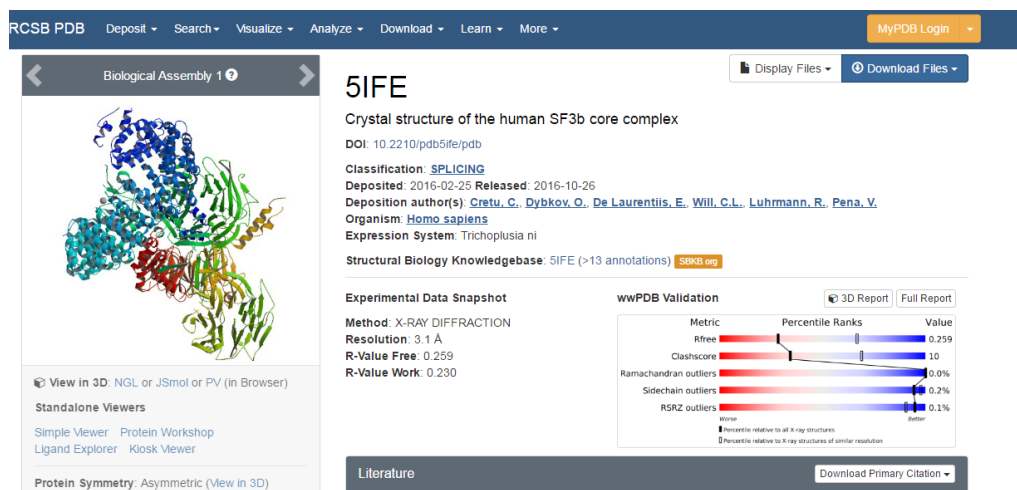
## Análisis estructural SF3B1

El programa Swiss Model proporciona 7 modelos para la secuencia de la proteína SF3B1 (figura 2.44). Todos ellos se localizan en la misma región de la molécula. De los siete modelos, solamente uno de ellos, el modelo 1, emplea como estructura modelo la proteína SF3B1. Dado que son modelos que se superponen, solamente se analizará en profundidad el modelo 1.



**Figura 2.44.** Esquema mostrando la disposición de los 18 modelos (azul) a lo largo de la secuencia de SF3B1 (verde)

La estructura modelo empleada para el modelo 1 es la siguiente:



**Figura 2.45.** Modelo 5IFE localizado en PDB

En la base de datos Pfam esta estructura se identifica con los siguientes dominios:

Accession	ID	Description	Pdb
<a href="#">PF03178</a>	<a href="#">CPSF_A</a>	CPSF A subunit region	✓
<a href="#">PF03660</a>	<a href="#">PHF5</a>	PHF5-like protein	✓
<a href="#">PF07189</a>	<a href="#">SF3b10</a>	Splicing factor 3B subunit 10 (SF3b10)	✓
<a href="#">PF10433</a>	<a href="#">MMS1_N</a>	Mono-functional DNA-alkylating methyl methanesulfonate N-term	✓

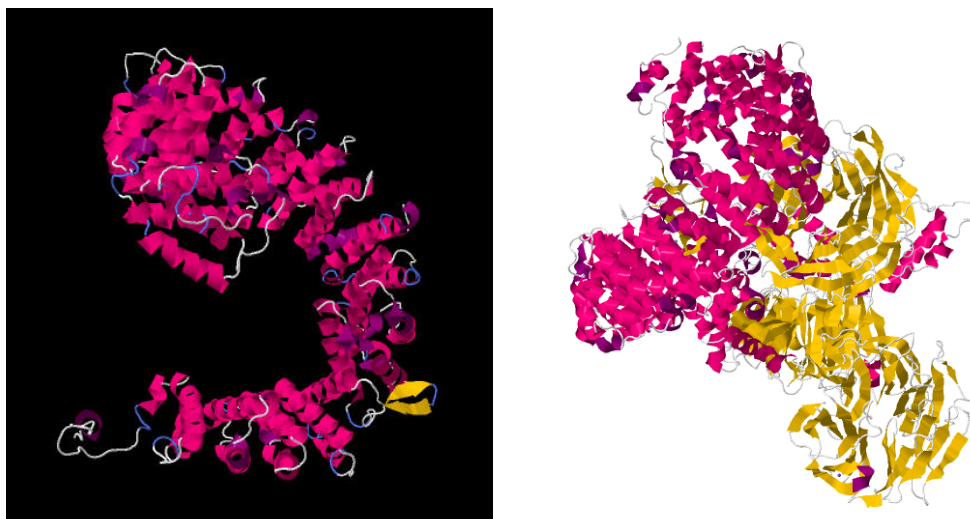
**Figura 2.46.** Dominios localizados en Pfam para 5IFE

De los cuatro dominios, el más relevante corresponde al SF3b10. Esta familia comprende la subunidad 10 del factor de splicing 3B en diferentes especies. SF3b se asocia al factor SF3a y al ARN 12S para formar el complejo ribonucleoproteico U2. SF3b10 tiene un papel activo en la función de U2 (20).

La familia CPSF A incluye una región localizada cerca del extremo C-terminal del factor de especificidad de corte y poliadenilación (CPSF). Esta proteína está involucrada en la poliadenilación del ARNm. También se ha visto que es necesaria para el splicing pre-ARNm con un único intrón (21). Este dominio en concreto tiene una función desconocida, pero podría estar relacionado con la unión ARN/ADN.

La familia Phf5 está altamente conservada a lo largo de la evolución y pertenece a la superfamilia de proteínas PHD-finger. Se ha visto en *Schizosaccharomyces pombe* que el gen ini1, representante de esta familia, es esencial y necesario para el splicing (22).

El dominio MMS1 corresponde a una proteína que protege en contra del daño en el ADN dependiente de replicación en *Saccharomyces cerevisiae* (23). A continuación se representa el modelo 1 obtenido por Swiss Model y el correspondiente a la estructura 5IFE.



**Figura 2.47.** Modelo generado por Swiss Model (izquierda) y modelo de la estructura 5IFE(derecha)

Cuando se realiza la búsqueda en Pfam con la secuencia completa de SF3B1, sin embargo, no se localiza ninguna de las familias de dominios anteriormente señaladas. En su lugar, se localiza el dominio SF3B1.

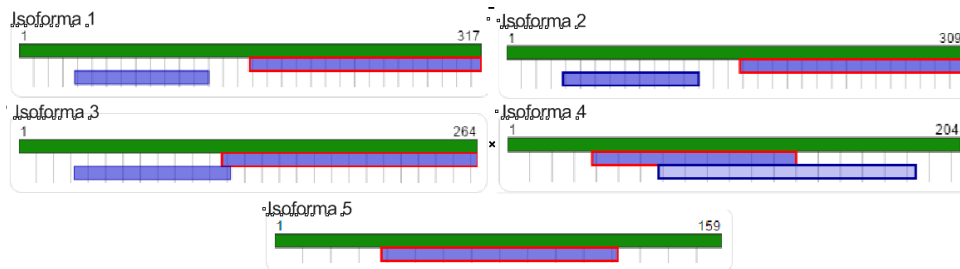
**Figura 2.48.** Dominio localizado por Pfam en la secuencia de SF3B1

Este dominio está formado por el factor de splicing 3B subunidad 1 en diferentes especies, que se asocia a p14, componente del spliceosoma U2, a través de una hoja beta C-terminal que interactúa con la estructura beta-3 de p14 en la región de hojas beta RRM (*RNA recognition motif*). En base a su localización en la secuencia proteica, las mutaciones relacionadas con la LLC en esta proteína parecen estar asociadas a este motivo.

### Análisis estructural MYD88

En el caso de MYD88, se ha realizado el modelado de las 5 isoformas de MYD88. En cuatro de las cinco isoformas se han encontrado dos modelos. En

la isoforma 5 se ha obtenido un único modelo. La figura 2.49 muestra la localización de los modelos obtenidos en las cinco isoformas.

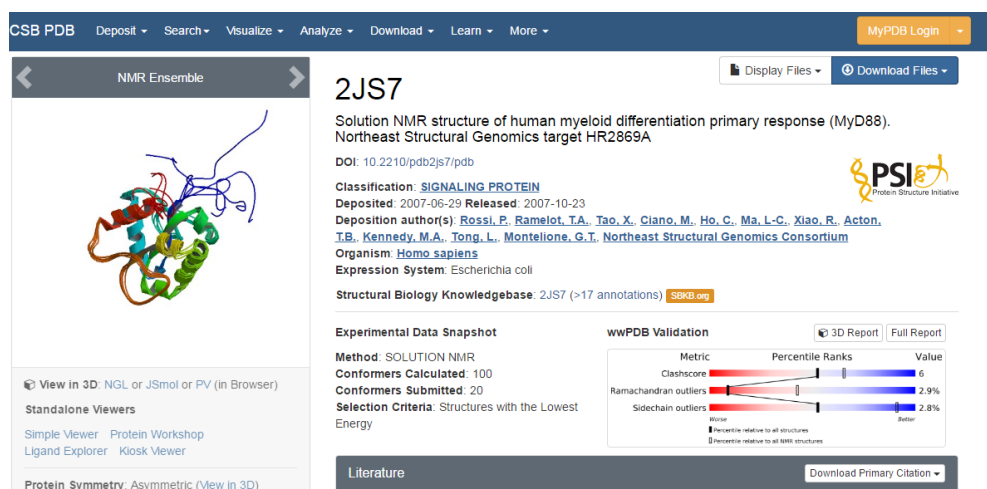


**Figura 2.49.** Localización de los modelos (azul) en la secuencia de las cinco isoformas de MYD88 (verde)

Como se puede ver en la figura 22, las isoformas 1, 2 y 3 presentan dos modelos que cubren entre ambos la práctica totalidad de la secuencia. En las tres isoformas se emplean los mismos dos modelos estructurales para la modelización, ambos relacionados con la proteína MYD88. En el caso de la isoforma 4, los dos modelos obtenidos se solapan en una gran mayoría.

A continuación se presentan las características de los modelos estructurales empleados para la modelización de las isoformas de la proteína MYD88.

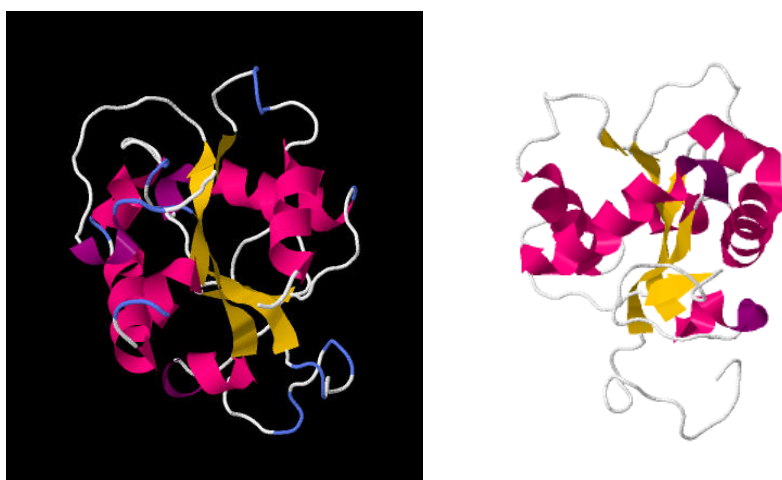
En la figura 2.50 se presenta la estructura del modelo 2JS7. Este modelo se emplea para la modelización del modelo 1 de la isoforma 1, del modelo 1 de la isoforma 2 y del modelo 1 de la isoforma 3.



**Figura 2.50.** Modelo 2JS7 localizado en PDB

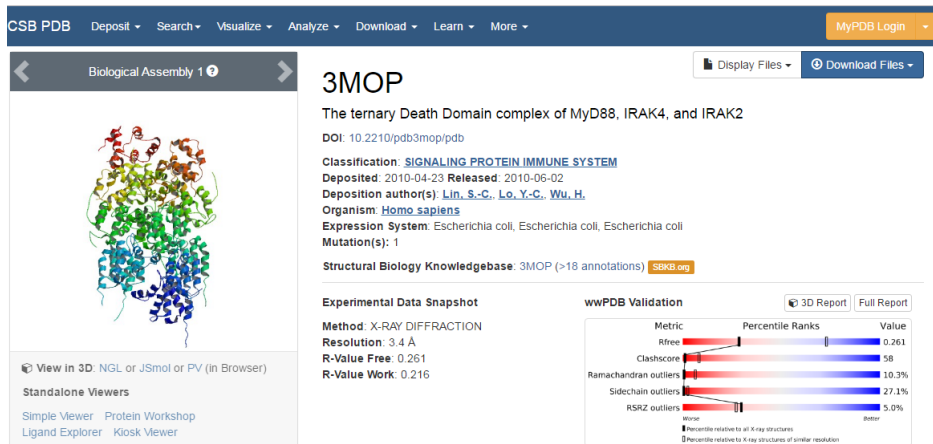
Esta estructura se corresponde en Pfam con el dominio TIR (*Toll Interleukin Receptor*). Este dominio es un dominio de señalización intracelular que se ha encontrado en el receptor de la interleukina 1, en el receptor Toll y en la proteína MYD88. Cuando está activado, el dominio TIR recluta a la proteína MYD88 en el citoplasma para iniciar la cascada de señales. Contiene tres regiones diferenciadas altamente conservadas, y media en las interacciones proteína-proteína entre los receptores y las señales de transducción. Motivos similares a TIR se han localizado también en proteínas vegetales asociadas a la resistencia a enfermedades.

A continuación se muestra el modelo obtenido con Swiss Model y la estructura correspondiente al modelo 2JS7. Se muestra el modelo obtenido para la isoforma 1, ya que los tres modelos obtenidos en las tres isoformas son iguales.



**Figura 2.51.** Modelo obtenido por Swiss Model para las isoformas 1, 2 y 3 de MYD88 (izquierda) y modelo estructural correspondiente a 2JS7 (derecha)

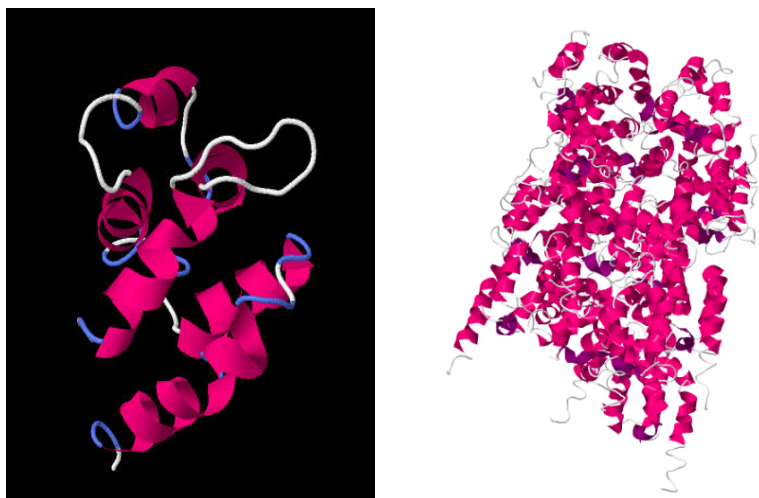
El modelo que se presenta a continuación, se ha empleado para la modelización de todas las isoformas de MYD88 (modelo 2 en las isoformas 1, 2, y 3, modelo 1 en la isoforma 4 y el modelo empleado en la isoforma 5). Se trata de la estructura 3MOP, correspondiente a un dominio proteico llamado DEATH:



**Figura 2.52.** Modelo 3MOP localizado en PDB

Este dominio es un módulo de interacción de proteínas compuesto por un paquete de seis hélices alfa. Está relacionado en secuencia y estructura con dominio death effector (DED) y el dominio de reclutamiento de caspasa (CARD), los cuales trabajan en rutas similares y muestran propiedades de interacción similares. En mamíferos, este dominio de interacción de proteínas se encuentra en muchas y diferentes proteínas. Este dominio puede aparecer en combinación con otros dominios, uno de los cuales es TIR. En humanos, este dominio aparece en 8 de los 30 receptores de TNF (*tumour necrosis factor*) conocidos. Este dominio media en la asociación de los receptores, señal de comienzo de los eventos que llevan a la apoptosis. Sin embargo, se cree que en el caso de otras proteínas como MYD88, este dominio no está directamente involucrado en la muerte celular. En estas proteínas este dominio presenta relación con la inmunidad innata, comunicando con los receptores de la familia Toll a través de proteínas adaptadoras como MYD88 (24).

A continuación se muestra el modelo generado por Swiss Model y el correspondiente a la estructura 3MOP. Se muestra la isoforma 1 ya que todos los modelos son iguales.



**Figura 2.53.** Modelo obtenido por Swiss Model para las isoformas 1, 2, 3, 4 y 5 de MYD88 (izquierda) y modelo estructural correspondiente a 3MOP (derecha)

En el caso de la isoforma 4, el segundo de los modelos estructurales empleados para la modelización corresponde a una molécula vírica. Dado que el modelo obtenido solapa con el correspondiente al dominio death, no se avanzará más en su estudio.

Como resumen, se puede decir que la proteína MYD88 presenta dos dominios principales que se localizan en las isoformas 1, 2, y 3. El domino TIR y el dominio DEATH. Sin embargo, las isoformas 4 y 5 presentan solamente el dominio DEATH. En base a su localización en la secuencia proteica, las mutaciones relacionadas con la LLC aparecen asociadas al dominio TIR.

## 2.2.6. Búsqueda de fármacos

La tabla VI muestra los fármacos localizados para las tres proteínas, su actividad y su estructura química.

Como se puede ver, todos ellos inhiben la actividad de la proteína de alguna manera. En el caso de los fármacos para NOTCH1, casi todos ellos están implicados en terapias de cáncer (25; 26; 27; 28). De ellos, el más interesante a priori parece ser PF-03084014, ya que está implicado en linfomas y leucemias (28).

En el caso de SF3B1, la modulación de la actividad de SF3b por pequeñas moléculas como la Spliceostatin A puede ser empleada como terapia contra el cáncer (29).

El fármaco ST 2825 se ha relacionado con la neuroprotección después de daño cerebral en ratones (30).

**Tabla VI.** Fármacos disponibles para NOTCH1, SF3B1 y MYD88

NOTCH1		
Nombre	Actividad	Estructura química
BMS-983970	Pan-Notch inhibitor	
FLI-06	Inhibitor of Notch signaling	
LY3039478	Notch inhibitor	
LY-900009	Notch inhibitor	
PF-03084014	$\gamma$ -secretase inhibitor	

**Tabla VI.** Continuación**SF3B1**

Spliceostatin A	Inhibe tanto el splicing como la retención nuclear del pre-ARNm	
<b>MYD88</b>		
ST 2825	Inhibitor of MyD88 dimerization	

En negrita se muestran los compuestos localizados en SwissDock

### 2.2.7. Identificación de los sitios de unión de los fármacos

La unión de los fármacos con las secuencias diana de las proteínas fue investigada mediante el programa SwissDock. Lamentablemente, la base de datos de ligandos ZINC, una base de datos de compuestos químicos disponibles comercialmente (<http://zinc.docking.org/>) no presentaba más que dos de los fármacos anteriormente indicados: LY3039478 y PF-03084014, ambos fármacos para NOTCH1. Al realizar el docking con NOTCH1, el programa ofrece la posibilidad de realizarlo con varias estructuras (figura 2.54)

De las 9 estructuras presentadas, 3 de ellas han sido identificadas en la modelización de NOTCH1: 2F8Y y 2HEO, correspondientes a repeticiones ANK, y 3ETO, dominio LNR. De los 6 restantes, 4 corresponden a repeticiones ANK (1YMP, 1YYH, 2QC9 y 2F8X), 1 a dominio LNR (3IO8) y 1 a dominio EGF-like (2VJ3). Por ello, se realizaron simulaciones con los dominios 2HEO, 3ETO y 2VJ3 para así realizar las búsquedas en regiones diferentes de las proteínas.

**9 hits:**

Show 10 ▾ entries		Search: <input type="text"/>		
	PDB	Description	Type	Hit type
	1YMP	Notch 1 protein	X-ray diffraction	PDB Hits
	1YYH	Notch 1, ankyrin domain	X-ray diffraction	PDB Hits
	2F8X	Recombining binding protein suppressor of hairless, isoform 4	X-ray diffraction	PDB Hits
	2F8Y	Notch homolog 1, translocation-associated (drosophila)	X-ray diffraction	PDB Hits
	2HE0	Notch1 preproprotein variant	X-ray diffraction	PDB Hits
	2QC9	Notch 1 protein	X-ray diffraction	PDB Hits
	2VJ3	Neurogenic locus notch homolog protein 1	X-ray diffraction	PDB Hits
	3ETO	Neurogenic locus notch homolog protein 1	X-ray diffraction	PDB Hits
	3I08	Neurogenic locus notch homolog protein 1	X-ray diffraction	PDB Hits

Showing 1 to 9 of 9 entries      First Previous 1 Next Last

[Cancel](#) | [Select for docking](#)

**Figura 2.54.** Estructuras PDB con las que SwissDock identifica a NOTCH1

### Interacción LY3039478 con NOTCH1

#### 2HEO

La interacción 2HEO-LY3039478 simulada por el programa indica que existen varios sitios posibles de unión del ligando y la molécula. El valor de  $\Delta G$ , que nos indica la afinidad del ligando con el receptor, varía entre -8,04 y -6,21. El ligando puede unirse a un total de 5 localizaciones, con variaciones en su orientación en cada una de ellas (anexo 5). La mayor parte de la interacción tiene lugar en las regiones que no presentan hélices alfa.

#### 3ETO

La interacción 3ETO-LY3039478 simulada por el programa también indica más de un sitio de unión del ligando. El valor de  $\Delta G$  varía entre -8,33 y -6,19. El ligando puede unirse a dos localizaciones, con variaciones en su orientación en ambas (anexo 5). Las interacciones se realizan en regiones sin estructura secundaria aparente.

#### 2VJ3

La interacción 2VJ3-LY3039478 simulada indica la existencia de 5 localizaciones con variaciones en la orientación (anexo 5). El valor de  $\Delta G$  varía entre -7,31 y -5,74.

Teniendo en cuenta los resultados obtenidos para los tres motivos analizados, la mayor afinidad parece ser la encontrada con el motivo 3ETO (dominio LNR). Si seguimos la localización de los dominios realizada sobre la secuencia por Pfam (figura 2.43), parece que este fármaco no interactúa con la región en la que se localizan las mutaciones relacionadas con la leucemia linfática crónica.

### **Interacción PF-03084014 con NOTCH1**

#### **3HEO**

La interacción 3HEO-PF-03084014 simulada por el programa indica la existencia de 5 localizaciones posibles (anexo 6). Todas ellas presentan variación en la orientación. La mayoría se localizan en regiones sin estructura secundaria, aunque dos de ellas parecen interactuar con las hélices alfa. El valor de  $\Delta G$  varía entre -10,78 y -6,46.

#### **3ETO**

La interacción 3ETO-PF-03084014 simulada por el programa indica la localización de 2 sitios posibles (anexo 6) con variaciones en su orientación en ambas. El valor de  $\Delta G$  varía entre -9,06 y -5,58.

#### **2VJ3**

El programa no ha encontrado ningún sitio de interacción de este dominio con PF-03084014.

#### **3I08**

En la base de datos PDB esta estructura aparece asociada a las  $\gamma$ -secretasas. Dado que PF-03084014 es un inhibidor de las  $\gamma$ -secretasas, se ha realizado para este fármaco el acoplamiento también con esta estructura. Los resultados indican la existencia de un único sitio de acoplamiento (anexo 6), con variaciones en la orientación. El valor máximo de  $\Delta G$  es de -8,45, y el mínimo es -6,56.

A la vista de los resultados obtenidos, parece que este fármaco tampoco interactúa con la región en la que se sitúan las mutaciones recurrentes.

No obstante, cabe destacar en ambos casos que la región en la que se encuentran las mutaciones recurrentes corresponde a un dominio de función desconocida (figura 2.42) que no aparece recogido en el listado de dominios que Swiss Dock emplea.

### 3. Conclusiones

Las conclusiones del trabajo realizado son las siguientes:

1. El gen NOTCH1 se sitúa en el cromosoma 9 en el genoma humano y no presenta pseudogenes. Las mutaciones recurrentes asociadas a la LLC se localizan en el último de los 34 exones que posee el gen.
2. En el interior de uno de los intrones de NOTCH1 se ha localizado un microARN.
3. El gen NOTCH1 se ha identificado en más especies. Los alineamientos realizados reflejan un grado de conservación alto.
4. La proteína NOTCH1 presenta diferentes dominios estructurales a lo largo de su secuencia. Las mutaciones recurrentes se sitúan en un dominio de función desconocida.
5. Existen diferentes fármacos que interactúan con NOTCH1. La mayoría de ellos han sido estudiados como terapia para diferentes tipos de cáncer. Sería interesante realizar un estudio con ellos en el caso de la LLC.
6. El gen SF3B1 se sitúa en el cromosoma 2 en el genoma humano y tampoco presenta pseudogenes. Las mutaciones recurrentes asociadas a la LLC se localizan en el medio de la secuencia, en los exones 15 y 16 de los 25 que posee el gen.
7. El gen SF3B1 se ha identificado en más especies. Los alineamientos realizados indican un grado de conservación alto y ligeramente superior al de NOTCH1.
8. Los análisis de Swiss Model y la búsqueda en Pfam con la secuencia de la proteína SF3B1 han dado resultados ligeramente diferentes. En ambos casos, no obstante, se ha localizado en la proteína un único motivo relacionado con SF3B1, en el que se localizarían las mutaciones recurrentes asociadas a LLC.
9. Se ha localizado un fármaco asociado a SF3B1 que ya está siendo probado en terapias para la LLC.

10. El gen MYD88 se localiza en el cromosoma 3 en el genoma humano. No presenta pseudogenes, pero sí variantes transcripcionales, concretamente 5, que varían en su tamaño y el número de exones. Las mutaciones relacionadas con la LLC se localizan en el penúltimo y el último de los exones en las variantes.

11. El gen MYD88 se ha identificado en más especies. Los alineamientos realizados demuestran que las isoformas 4 y 5 son muy diferentes a las demás isoformas y al resto de secuencias analizadas.

12. La proteína MYD88 presenta dos motivos proteicos en su estructura. Las isoformas 4 y 5 carecen de uno de esos motivos, en el que se localizan precisamente las mutaciones recurrentes. La importancia funcional de este motivo y las diferencias encontradas en el alineamiento parecen indicar que las isoformas 4 y 5 no son funcionales.

13. Se ha localizado un único fármaco para MYD88 que hasta la fecha no se ha relacionado con las terapias en cáncer.

En este trabajo se han empleado herramientas bioinformáticas para el análisis genómico y proteico de NOTCH1, SF3B1 y MYD88, genes que presentan mutaciones recurrentes en la LLC. El empleo de estas herramientas bioinformáticas ha permitido localizar las mutaciones recurrentes y analizar las características estructurales de las proteínas.

En el gen NOTCH1, las mutaciones recurrentes analizadas se localizaron en el último exón, el 34. Estructuralmente este exón está presente en el dominio de función desconocida identificado por Pfam. Esta región se conoce como la región PEST, llamada así por ser rica en prolina, ácido glutámico, serina y treonina. Esta región regula la estabilidad del dominio intracelular de NOTCH1 (NICD) (31). Como se ha indicado en la introducción, este dominio intracelular es el encargado de la interacción en el núcleo con la cascada de genes (1). Es por ello que se trata de una región funcionalmente importante, lo que también se pone de manifiesto en la elevada homología que esta región presenta en los alineamientos (figura 2.25).

En los análisis BLAT y BLAST realizados para la localización de regiones similares en el genoma, se ha encontrado que en el interior de la secuencia de uno de los intrones de NOTCH1 se localiza un microARN. Este tipo de secuencias, que inicialmente se creyeron específicas del gusano de seda *Caenorhabditis elegans*, se encontraron también en gran cantidad de organismos incluidos los humanos (32). Aunque se conocen cientos de estas secuencias, la función de estas es todavía desconocida en la inmensa mayoría de los casos (33). No obstante, cabe destacar dos hechos significativos relacionados con este tipo de secuencias. Por un lado, un estudio de 2005 identificó a una serie de microARNs implicados en la regulación de genes diana de la ruta NOTCH (33). Por otro lado, se han identificado microARNs relacionados con la leucemia linfoblástica aguda en niños (32). Por ello, la presencia de este microARN en un intrón de NOTCH1 quizás deba ser objeto de un estudio más exhaustivo.

En el gen SF3B1, las mutaciones recurrentes se localizaron en los exones 15 (K700E) y 16 (G742D), dentro del dominio SF3B1. Este dominio tiene un papel relevante en la formación del complejo U2, y prueba de ello es la elevada conservación de esta región en los diferentes organismos (figura 2.26). Es lógico pensar que mutaciones en esta región puedan provocar trastornos celulares que llevan a la aparición de cáncer.

Los análisis BLAT muestran homología con un fragmento de LCP2 (figura 2.17). Aunque no existe ninguna relación aparente entre ambas proteínas, y no se ha localizado ningún motivo con la base de datos CDD, una búsqueda de esta proteína en PDB nos indica que posee un dominio SAM. Este dominio no tiene relación con la proteína SF3B1, pero sí se cree que posee la habilidad de unirse a ARN (34), lo que podría estar relacionado con la homología detectada.

En el gen MYD88 las mutaciones se localizan en el penúltimo (M23T) y último (L265P) de los exones en cada una de las cinco isoformas. Aparecen también en regiones altamente conservadas en las especies analizadas (figura 2.27), y se localizan según los análisis estructurales en el dominio TIR. Se trata de la región encargada de la unión con el receptor Toll-like (TLR) (). Es interesante el

hecho de que las isoformas 4 y 5 no presentan este dominio. También se observó que en el alineamiento realizado estas dos isoformas presentan una homología bastante menor con respecto al resto de secuencias. Por todo ello se puede deducir que las isoformas 4 y 5 de MYD88 no son funcionales, o por lo menos no realizan la función asociada a MYD88.

Los análisis de búsqueda de regiones similares en el genoma no han encontrado ningún resultado significativo salvo la presencia de una marca de acetilación de la histona H3. Se trata de modificaciones de la cromatina que forman parte de lo que se conoce como el código de las histonas (35).

La existencia de estas mutaciones recurrentes asociadas a la LLC hace pensar en que tal vez estos genes o algunos relacionados con ellos puedan ser objeto de terapia en la lucha contra la LLC. Algunos de los fármacos que se emplean hoy en día provocan resistencia en algunos pacientes, y combinar estas terapias con otras más individualizadas puede ser la solución (36). Los fármacos localizados en este trabajo están relacionados en su mayoría con tratamientos de cáncer. Especialmente llamativos son el PF-03084014 y la spliceostatina-A. El primero de ellos es un inhibidor de las  $\gamma$ -secretasas. Estas enzimas participan en la ruptura de la fracción intracelular de NOTCH1 que migrará después al núcleo (37). Aunque su molécula diana no es NOTCH1, sí puede existir algún tipo de acoplamiento con esta debido a la relación de las  $\gamma$ -secretasas y NOTCH1. De hecho, se han encontrado regiones de interacción en alguno de los dominios analizados.

Cuando se introduce el término  $\gamma$ -secretasa en PDB se obtiene una estructura, 3I08, que se encuentra dentro de los motivos detectados por Swiss Dock para NOTCH1 (figura 2.54). Por ello, además de los tres motivos ya mostrados en resultados, se realizó el análisis con esta estructura. El programa ha indicado una única posición de interacción con 3I08 (anexo 6). Es muy probable que esta sea la interacción que ocurre en las células.

La spliceostatina-A es un inhibidor del spliceosoma, y ya se ha encontrado una utilidad terapéutica en la LLC (38). Lamentablemente, no se ha podido realizar

el análisis de acoplamiento de este compuesto con SF3B1, ya que no se ha encontrado en la base de datos del programa Swiss Dock.

A la vista del trabajo realizado y de las conclusiones obtenidas, se puede decir que en general los objetivos del trabajo se han cumplido. Se ha realizado un análisis genómico y proteómico de tres genes con mutaciones recurrentes asociadas a la LLC, y se han identificado fármacos relacionados con ellos. Este último punto, el de la identificación de los fármacos y la localización de las interacciones con las proteínas, es el que no ha cumplido todas las expectativas. No obstante, ya en el plan de trabajo se indicó que quizás estos serían los puntos más conflictivos, porque la localización de los fármacos choca en muchas ocasiones con cuestiones comerciales de patentes que no permiten acceder a toda la información.

## 4. Glosario

- LLC: Leucemia Linfática Crónica
- NOTCH1: Neurogenic locus notch homolog protein 1
- SF3B1: Splicing factor 3 subunit 1
- MYD88: Myeloid differentiation primary response protein MYD88
- EGF: Epidermal Growth Factor
- CDS: Coding sequence
- BLAT: BLAST-like alignment tool
- BLAST: Basic Local Alignment Search Tool

## 5. Bibliografía

1. Fabbri G., Dalla-Favera R., 2016. The molecular pathogenesis of chronic lymphocytic leukaemia. *Nat. Rev.* 16: 145-162.
2. Goldin L.R., Bjorkholm M., Kristinsson S.Y., Turesson I., Landgren O., 2009. Elevated risk of chronic lymphocytic leukemia and other indolent non-Hodgkin's lymphomas among relatives of patients with chronic lymphocytic leukemia. *Haematologica* 94: 647-653.
3. Improgo Ma.R., Brown J.R., 2013. Genomic approaches to chronic lymphocytic leukemia. *Hematol. Oncol. Clin. North Am.* 27: 157-171.
4. Fabbri G., Rasi S., Rossi D., Trifonov V., Khiabanian H., et al., 2011. Analysis of the chronic lymphocytic leukemia coding genome: role of NOTCH1 mutational activation. *J. Exp. Med.* 208: 1389-1401.
5. Puente X.S., Pinyol M., Quesada V., Conde L., Ordoñez G.R. et al., 2011. Whole-genome sequencing identifies recurrent mutations in chronic lymphocytic leukaemia. *Nature*, 475: 101-105.
6. Wang L., Lawrence M.S., Wan Y., Stojanov P., Sougnez C., et al., 2011. SF3B1 and other novel cancer genes in chronic lymphocytic leukemia. *N. Engl. J. Med.* 365:2497-2506.
7. Quesada V., Conde L., Villamor N., Ordóñez G.R., Jares P., et al., 2012. Exome sequencing identifies recurrent mutations of the splicing factor SF3B1 gene in chronic lymphocytic leukemia. *Nat. Genet.* 44: 47-52.
8. Cheng H., Jiang Z., 2012. The essential adaptors of innate immune signaling. *Protein & Cell* 4: 27-39.
9. Guièze R., Wu C.J., 2015. Genomic and epigenomic heterogeneity in chronic lymphocytic leukemia. *Blood* 126: 445-453.
10. Karro, J.E., Yan, Y., Zheng D., Zhang Z., Carreiro N., Cayting P., Harrison P. y Gerstein M. 2007. Pseudogene.org: a comprehensive database and comparison platform for pseudogene annotation. *Nuc.Acid.Res.* 35: D55-D60.
11. InterPro. [www.ebi.ac.uk/interpro/entry/IPR000800](http://www.ebi.ac.uk/interpro/entry/IPR000800). Fecha: 4-Abril-2017.
12. Tashima, S., Shimada, S., Yamaguchi, K., Tsuruta, J. y Ogawa, M., 2000. Expression of brain-type glycogen phosphorylase is a potentially novel early biomarker in the carcinogenesis of human colorectal carcinomasBGP in Carcinogenesis of Colorectal Cancer. *Am. J. Gastroenterol.* 95: 255-263.
13. Li C., Zhu B., Chen J., Huang X., 2015. Novel prognostic genes of diffuse large B-cell lymphoma revealed by survival analysis of gene expression data. *Onco Targets Ther.* 18: 3407-3413.
14. Batzer, M.A. y Deininger, P.L., 2002. Alu repeats and human genomic diversity. *Nature Reviews: Genetics* 3: 370-379.
15. Tutar, Y., 2012. Pseudogenes. *Comp. Func. Genomics*, article ID 424526.

16. Vardar D., North C.L., Sanchez-Irizarry C., Aster J.C., Blacklow S.C., 2003. Nuclear magnetic resonance structure of a prototype Lin12-Notch repeat module from human Notch1. *Biochemistry* 42: 7061-7067.
17. Kelley M.R., Kidd S., Young M.W., 1987. Mutations altering the structure of epidermal growth factor-like coding sequences at the *Drosophila* Notch locus. *Cell* 51: 539-548.
18. Mosavi L.K., Minor D.L.Jr, Peng Z.Y., 2002. Consensus-derived structural determinants of the ankyrin repeat motif. *Proc. Natl. Acad. Sci. USA* 99: 16029-16034.
19. UnitPro. <http://www.uniprot.org/>. Fecha: 03-Mayo-2017
20. Will C.L., Urlaub H., Achsel T., Gentzel M., Wilm M., Luhrmann R., 2002. Characterization of novel SF3b and 17S U2 snRNP proteins, including a human Prp5p homologue and an SF3b DEAD-box protein. *EMBO J.* 21: 4978-4988.
21. Li Y., Chen Z.Y., Wang W., Baker C.C., Krug R.M., 2001. The 3'-end-processing factor CPSF is required for the splicing of single-intron pre-mRNAs in vivo. *RNA* 7: 920-931.
22. Oltra E., Verde F., Werner R., D'Urso G., 2004. A novel RING-finger-like protein Ini1 is essential for cell cycle progression in fission yeast. *J. Cell Sci.* 117: 967-974.
23. Hryciw T., Tang M., Fontanie T., Xiao W., 2002. MMS1 protects against replication-dependent DNA damage in *Saccharomyces cerevisiae*. *Mol. Genet. Genomics* 266: 848-857.
24. O'Neill L.A., Dunne A., Edjeback M., Gray P., Jefferies C., Wietek C., 2003. Mal and MyD88: adapter proteins involved in signal transduction by Toll-like receptors. *J. Endotoxin Res.* 9: 55-59.
25. Gavai A.V., Zhao Y., O'Malley D., Fink B., Quesnelle C., Norris D., et al., 2014. BMS-983970, an oral pan-Notch inhibitor for the treatment of cancer. *Cancer Res.* 74: suppl
26. Massard C., Azaro A., Le Tourneau C., Soria J.-C., Alt M., et al., 2015. First-in-human study of LY3039478, a Notch signalling inhibitor in advanced or metastatic cancer. *J. Clin. Oncol.* 33: suppl
27. Pant S., Jones S.F., Kurkjian C.D., Infante J.R., Moore K.N., et al., 2016. A first-in-human phase I study of the oral Notch inhibitor, LY900009, in patients with advanced cancer. *Eur. J. Cancer* 56: 1-9.
28. Papayannidis C., DeAngelo D.J., Stock W., Huang B., Shaik M.N., et al., 2015. A phase 1 study of the novel gamma-secretase inhibitor PF-03084014 in patients with T-cell acute lymphoblastic leukemia and T-cell lymphoblastic lymphoma. *Blood Cancer J.* 5: e350.
29. Webb T.R., Joyner A.S., Potter P.M., 2013. The development and application of small molecule modulators of SF3b as therapeutic agents for cancer. *Drug Discov. Today* 18: 43-49.
30. Zhang H.S., Li H., Zhang D.D., Yan H.Y., Zhang Z.H., Zhou C.H., Ye Z.N., Chen Q., Jiang T.W., Liu J.P. Hang C.H., 2016. Inhibition of myeloid

- differentiation factor 88 (MyD88) by ST2825 provides neuroprotection after experimental traumatic brain injury in mice. *Brain Res.* 1643: 130-139.
31. Kopan R., Llagan M.X., 2009. The canonical Notch signaling pathway: unfolding the activation mechanism. *Cell* 137: 216-233.
  32. Bartel D.P., 2004. MicroRNAs: genomics, biogenesis, mechanism and function. *Cell* 116: 281-297.
  33. Lai E.C., Tam B., Rubin G.M., 2005. Pervasive regulation of *Drosophila* Notch target genes by GY-Box-, Brd-box-, and K-box-class microRNAs. *Genes & Development* 19: 1067-1080.
  34. Kim C.A., Bowie J.U., 2003. SAM domains: uniform structure, diversity of function. *Trends Biochem. Sci.* 28: 625-628.
  35. Jenuwein T., Allis C.D., 2001. Translating the Histone Code. *Science* 293: 1074-1080.
  36. Woyach J.A., Johnson A.J., 2015. Targeted therapies in LLC: mechanisms of resistance and strategies for management. *Blood* 126: 471-477.
  37. Shih Ie.M., Wang T.L., 2007. Notch signaling, gamma-secretase inhibitors, and cancer therapy. *Cancer Res.* 67: 1879-1882.
  38. Larrayoz M., Blakemore S.J., Dobson R.C., Blunt M.D., Rose-Zerilli M.J.J., et al., 2016. The SF3B1 inhibitor spliceostatin A (SSA) elicits apoptosis in chronic lymphocytic leukaemia cells through downregulation of Mcl-1. *Leukemia* 30: 351-360.

## 6. Anexos

Listado de anexos que se presentan a continuación:

- Anexo 1: custom tracks
- Anexo 2a: Alineamiento secuencia proteica NOTCH1
- Anexo 2b: Alineamiento secuencia CDS NOTCH1
- Anexo 3a: Alineamiento secuencia proteica SF3B1
- Anexo 3b: Alineamiento secuencia CDS SF3B1
- Anexo 4a: Alineamiento secuencia proteica MYD88
- Anexo 4b: Alineamiento secuencia CDS MYD88
- Anexo 5: Interacción LY3039478 con NOTCH1
- Anexo 6: Interacción PF-03084014 con NOTCH1

**Anexo 1.** *Custom tracks* empleadas para la localización de las mutaciones recurrentes en *Genome Browser*

**NOTCH1**

```
track name=P2515Rfs*4 description="P2515Rfs*4" visibility=1 color=0,0,255
chr9 136496186 136496201
track name=F2482Ffs*2 description="F2482Ffs*2" visibility=1 color=255,0,0
chr9 136496286 136496298
```

**SF3B1**

```
track name=K700E description="K700E" visibility=1 color=0,0,255
chr2 197402099 197402110
track name=G742D description="G742D" visibility=1 color=255,0,0
chr2 197401879 197401886
```

**MYD88**

```
track name=L265P description="L265P" visibility=1 color=0,0,255
chr3 38141138 38141152
track name=M232T description="M232T" visibility=1 color=255,0,0
chr3 38140759 38140777
```

## Anexo 2a. Alineamiento de la secuencia proteica de NOTCH1

Humano	-----MPPLIAPLLCL-ALLPALAARGPRCSQPGETCLNGGKCEA-ANGTEACVCG
Ratón	-----MPRLITPLLCL-TLLPALAARGLRCSQPSGTCLNGGRCEV-ANGTEACVCS
Rata	-----MPRLIAPLLCL-TLLPALAARGLRCSQPSGTCLNGGRCEV-ANGTEACVCS
Gallo	MGRCSAAHPRGGVHCPGLCA-VPDALLFPGVRCQLAESCLNGGKETFLNGTEVCQCS
Rana	-----MYRIGLLVL-IWSLLGLAQLRCTQTAEMCLNGGRCEMTPGGTGVCLCS
Pez-cebra-a	-----MNRFILVKLTLLTAASLATVAQQRC--SEYCQNGGICEYKPSEASCRCP
Pez-cebra-b	-----MHLFFVKLIVV--ISLNTLTQGLEC--SEKCQNGGTCEPTADGRGECKCL
Trucha	-----MYRFFVKLTFLIPVI--VITQGLRCSLTTEESCLNGGRCEASSDRNGECRCT
	* . * * * . * * *
Humano	GAFVGPRCQDPNPCL-STPCKNAGTCHVVDRRGVADYACSCALGFSGPLCLTPLDNACLT
Ratón	GAFVGQRCQDSNPCL-STPCKNAGTCHVVDHGGTVDYACSCPLGFSGPLCLTPLDNACLA
Rata	GAFVGQRCQDPSPCL-STPCKNAGTCYVVDHGGIVDYACSCPLGFSGPLCLTPLDNACLA
Gallo	SAHMGERCQLPNPCL-SSPCKNAGTCIPLLRGSTADYTCVCRLGFDELCLTPLDNACLN
Rana	SSYFGERCQYPNPICALKNQCMNFGTCEPVLLGNAIDFTCHCPVGFDTKVCLTPVDNACVN
Pez-cebra-a	ADFVGQAQCQFPNPNPC-PSPCRNGGVCRPQMKGNEVGVKCDCVLGFSDRLCLTPVNHACMN
Pez-cebra-b	DLYAGPACQFRNPNPC-QSPCRNGGVCRLIITSANKVDFVCNCISLYTDRLCLPTNNVCLG
Trucha	SDYVGSRQCYSNPNCN-PSPCRNGGECAVSHGNTFEFHCKCRLGFSDQLCLTPTNHACMS
	* * ** . ** . * * * . * . * * : * : . : * * * : * : * :
Humano	NPCRNGGTC DLLT-LTEYKRCRCPGWSGKSCQQADPCASNP CANGGQCLPFEASYICHCP
Ratón	NPCRNGGTC DLLT-LTEYKRCRCPGWSGKSCQQADPCASNP CANGGQCLPFESSIONICRCP
Rata	NPCRNGGTC DLLT-LTEYKRCRCPGWSGKSCQQADPCASNP CANGGQCLPFESSIONICGCP
Gallo	NPCRNGGTC DLLT-LSEYKRCRCPGWSGKTCQQADPCASNP CANGGQCVPFEAHYICRCT
Rana	NPCRNGGTC ELLSSVSDYRCRCPGWTGDSQQADPCASNP CANGGKCLPFETQYICKCP
Pez-cebra-a	SPCRNGGTC SLLT-LDTFTCRCPGWSGKTCQLADPCASNP CANGGQCSAFESHYICTCP
Pez-cebra-b	APCRNGGTC ELLT-IHNYRCKC PPGWSGKTCQQADPCASNP CANGGQCSPDFSDFLCHCT
Trucha	SPCRNGGTC DLLT-LSDYRCRCPGWSGKTCQIANPCASNP CANGGQCSPFESHYICACL
	***** . * : : : * : * * : * : * : * : * : * : * : * : * : * :
Humano	PSFHGPTCRQDVNECGQKPGLCRHGGTCHNEVGSYRCVCRAHTGPNCERPYVPCSPSPC
Ratón	PGFHGPTCRQDVNECSQNPGLCRHHGGTCHNEIGSYRCACRATHTPHCELPYVPCSPSPC
Rata	PGFHGPTCRQDVNECSQNPGLCRHHGGTCHNEIGSYRCACRATHTPHCELPYVPCSPSPC
Gallo	AGFHGANCKQDVNECNISPPVKNGGSCTNEVGTYQCSCKPAYTGQNCEHLYVPCNPSPC
Rana	SGFHGATCKQDINECSQN P--CRNGGQCLNEFGSYRCNCQNRFTGRNCEEPYVPCNPSPC
Pez-cebra-a	PNFHGQTCRQDVNECAVPSPCRNGGTCINEVGSYLCRCPPAYTGPQCRLYQPCLPSPC
Pez-cebra-b	PYFSQGTCRQDVNECAQIPSPCKNGGVCEENGVTYHCNCPAEYTGKHCESLYQPCNPSPC
Trucha	PAFHGQTCRQDVNECAQMSSPCRNNGMCVNEVGSYHCRCPQEYTGANSETPYMPCNPSPC
	* * . * : * : * : * : * : * : * : * : * : * : * : * : * : * : * : * : * :
Humano	QNNGTCRPTGDVTHECACLPG-----FTGQNCEENIDDCPGN
Ratón	QNNGTCRPTGDTTHECACLPG-----FAGQNCEENVDDCPGN
Rata	QNNGTCRPTGDTTHECACLPG-----FAGQNCEENVDDCPGN
Gallo	QNNGTCRQTGDTTYDCTCLPG-----FTGQNCEENIDDCPGN
Rana	LNGGTCRQTDDTSYECTCLPG-----FSGQNCEENIDDCPSN
Pez-cebra-a	RSGGTCVQTSDDTHTCSCLPG-----FTGQTCEHNVDDCTQH
Pez-cebra-b	LHGGTCVQKGGETSYECSCPCKNGVCEENGVTYHCNCPAEYTGKHCESLYQPCNPSPC
Trucha	HSGGTCVQKGDTTYDCSCLPG-----FTSQNCDHNIDDCPGH
	**** . . : : * : * : * : * : * : * : * : * : * : * : * : * : * : * : * :

(\*) residuos iguales (.,:) residuos químicamente equivalentes



**Anexo 2a.** continuación

Humano	VDIDECDCPDPCHYGSCKDGVATFTCLCRPGYTGHHCETNINECSSQPCRHGGTCQDRDNA
Ratón	VDIDECDCPDPCHYGSCKDGVATFTCLCQPGYTGHHCETNINECHSQPCRHGGTCQDRDNS
Rata	VDIDECDCPDPCHYGLCKDGVATFTCLCQPGYTGHHCETNINECHSQPCRHGGTCQDRDNY
Gallo	IDIDECNPDPCHYGTCKDSIAFTCLCQPGYTGHRCDIININECQSQPCRNGGTCQDRDNA
Rana	QDINECIPDPCHYGTCKDGIATFTCLCRPGYTGRLCDNDINECLSQPCQNGGQCTDRENG
Pez-cebra-a	LDINECASSPCHYGVCRDGVASFTCDCRPGYTGRLCETNINECLSQPCRNGGTCQDRENA
Pez-cebra-b	TDVDECLSNPCHYGTCKDGLASFTCVCRAFGMGRLCEININECLSQPCQNGGTCQDRENA
Trucha	TDINECYSDPCHYGTCKDGLATFTCYCHPGYTGRLCETNINECLSQPCQNGGTCQDRENT
	* : * * . * * * * * : * : * : * : * : * * * * * : * : * * :
Humano	YLCFCLKGTTGPNCEINLDDCASSPCDSGTCLDKIDGYECACEPGYTGSMCNINIDEAG
Ratón	YLCLCLKGTTGPNCEINLDDCASNPCDSGTCLDKIDGYECACEPGYTGSMCNVNIDECAG
Rata	YLCLCLKGTTGPNCEINLDDCASNPCDSGTCLDKIDGYECACEPGYTGSMCNVNIDECAG
Gallo	YNCLCLKGTTGPNCEINLDDCASNPCDYGKCIDKINGYECTCEPGYTGRMCNINIDECAS
Rana	YICTCPKGTTGVNCEINLDDCASNPCDYGKCIDKIDGYECTCEPGYTGMCNINIDECAS
Pez-cebra-a	YICTCPKGTTGVNCEINIDDCRKPKDYGKCIDKINGYECVCEPGYSGSMCNINIDDCAL
Pez-cebra-b	YLCVCPKGTAGANCEINLDDCQSNPCDFGRCIDKINGYECACEPGYTGMCNVIDECAI
Trucha	YICTCPKGTAGFNCEVNLDCKSKPCDYGRCIDKINSYECACEPGYAGAMCNINTDECAI
	* * * * * : * * * * : * : * * . * * * * : * * * * : * * : * * : *
Humano	NPCHNGGTCEDGINGFTCRCPEGYHDPTCLSEVNECNSNPCHGACRDSLNGYKCDCDPG
Ratón	SPCHNGGTCEDGIAGFTCRCPEGYHDPTCLSEVNECNSNPCHGACRDGLNGYKCDCAPG
Rata	SPCHNGGTCEDGIAGFTCRCPEGYHDPTCLSEVNECNSNPCHGACRDGLNGYKCDCAPG
Gallo	NPCHNGGTCKDGINGFTCLCPFGHDPKCLSEVNECNSNPCHGRCHDGLNGYRCDCDPG
Rana	NPCHRNGTCKDKINGFTCVPDGYHDHMCLSEVNECNSNPCHGTCHDGLNGYKCDCDAG
Pez-cebra-a	NPCHNGGTCIDGVNSFTCLCPDGFRDATCLSQHNECSSNPCHGSCLDQINSYRCVCEAG
Pez-cebra-b	NPCHNGGTCVDGVNGFTCLCREGYHDTTCSQLNECLSNPCHGHCEDKVNGYNCICDSG
Trucha	NPCHNGGTCIDGINSFTCLCPEGYSATCLLQVNECGSNPCHGRCQDLLNGYRCFCDSG
	* : * * * * : * : * * * : * : * : * : * * * * : * * : * * : * * : *
Humano	WSGTNCINNNCESNPCVNGGTCKDMTSGYVCTCREGFSGPNCQTNINECASNPCLNQG
Ratón	WSGTNCINNNCESNPCVNGGTCKDMTSGYVCTCREGFSGPNCQTNINECASNPCLNQG
Rata	WSGTNCINNNCESNPCVNGGTCKDMTSGYVCTCREGFSGPNCQTNINECASNPCLNQG
Gallo	WSGTNCINNNCESNPCMNGGTCKDMTSGYICTCREGFSGPNCQTNINECASNPCLNQG
Rana	WSGSNCDVNNNECESNPCMNGGTCKDMTGAYICTCRAGFSGPNCQTNINECASNPCLNRG
Pez-cebra-a	WMGRNCDININECLSNPCVNGGTCKDMTSGYLCTCRAGFSGPNCQMNINECASNPCLNQG
Pez-cebra-b	WSGVNCDDINNNCESNPCMNGGTCKDMTSGYVCTCRAGFSGPNCQTNINECASNPCLNQG
Trucha	WGGPNCDINNNCESNPCMNGGTCKDMTSGYVCSRAGFSGPNCQTNINECASNPCLNQG
	* * * * : * * * * : * * * * : * * * * : * * * * : * * * * : * * * * : *
Humano	TCIDDVAGYKCNCILLPYTGATEVV LAPCAP-SPCRNGGECRQSEDYESFSCVCPTGWQG
Ratón	TCIDDVAGYKCNCPLPYTGATCEVV LAPCAT-SPCKNSGVCKESEDYESFSCVCPTGWQG
Rata	TCIDDVAGYKCNCPLPYTGATCEVV LAPCAT-SPCKNSGVCKESEDYESFSCVCPTGWQG
Gallo	TCIDDVAGYTCNCILLPYTGATCEDVLAPCAG-GPCKNGGECRESEDYKRFSCSCPPGWQG
Rana	TCIDDVAGYKCNCMLPYTGATCEAVLAPCSG-SPCKNGGRCKESEDYESFSCVCPTGWQG
Pez-cebra-a	SCIDDVAGFKCNCMLPYTGATCEVNLAPCSP-RPCKNGGVCRESEDFQSFSNCNPAGWQG
Pez-cebra-b	TCIDDVAGYKCNCILLPYTG-----
Trucha	TCIDDVAGYKCNCILLPYTGEMCETLLAPCSPMQPCKNNGGVCHESEDYHSFSCLCPEGWQG
	: * * * * : * * * * :

**Anexo 2a.** continuación

Humano	QTCEVDINECVLSPCRHGASCQNTHGGYRCHCQAGYSRNCETDIDDCRPNPCHNGGSCT
Ratón	QTCEVDINECVKSPCRHGASCQNTNGSYRCLCQAGYTGRNCESIDDCRPNPCHNGGSCT
Rata	QTCEIDINECVKSPCRHGASCQNTNGSYRCLCQAGYTGRNCESIDDCRPNPCHNGGSCT
Gallo	QTCEIDINECVKSPCRNGATCQNTNGSYRCLCRVGFAGRNCDTDIDDCQPNPCHNGGSCT
Rana	QTCEIDMNECVNRPCLRNGAMCQNTNGSYKCNCKPGYAGRHCETDIDDCQPNPCHNGGSCT
Pez-cebra-a	QTCEVDINECVRNPECTNGGVCENLRGFFQCRCPGFTGALCENDIDDCEPNPCSNGGVQC
Pez-cebra-b	QTCEVDINECVKNPCRNDAIQNSIGSYKCSCKAGYTGRNCETDIDDCKPNPCSNGGFCK
Trucha	QTCEIDINECVKSPCRSGATCHNMVGSYRCSCRPGYTQKCETDIDNCKPNPCSNGGLCR
	*****:***** * .. *. * .:.* . * :* * :.*****:***** ***** *
Humano	DGINTAFCDCCLPGFRGTFCEEDINECASDPCRNGANCTDCVDSYTCTCPAGFSGIHCENN
Ratón	DGINTAFCDCCLPGFQGAFCEEDINECASNPCKQNGANCTDCVDSYTCTCPVGFNGIHCENN
Rata	DGVNAAFCDCLPGFQGAFCEEDINECASNPCKQNGANCTDCVDSYTCTCPVGFNGIHCENN
Gallo	DGIGTFFCECLAGFRGLKCEEDINECASNPCKNGANCTDCVNSYTCTCPGFSGIHCENN
Rana	DGINMFNCNCPAGEFRGPKEEDINECASNPCKNGANCTDCVNSYTCTCPGFSGIHCENN
Pez-cebra-a	DRVNGFVCVCLAGFRGERCAEDIDECVSAPCRNGGNCTDCVNSYTCTCPAGFSGINCEIN
Pez-cebra-b	DAVNAFTCTCLPGFRGGREEDINECESNPCKNGANCTDCVNSYTCTCPGFSGIHCENN
Trucha	DGVDSFVCTCLPGFRGGREHDINECESNPCKNGANCTDCVNSYTCTCPGFSGINCENN
	* :. * * ***: * * .:***: * ***:***.*****:*****: * ***.***:*** *
Humano	TPDCTESSCFNGGTCVDGINSFTCLCPPGFTGSYCQHDVNECDSPQCLHGGTCQDGCGSY
Ratón	TPDCTESSCFNGGTCVDGINSFTCLCPPGFTGSYCQYDVNECDSRPCLHGGTCQDSYGTY
Rata	TPDCTESSCFNGGTCVDGINSFTCLCPPGFTGSYCQYDVNECDSRPCLHGGTCQDSYGTY
Gallo	TPDCTESSCFNGGTCVDGINTFTCLCPSGFTGSYCEHNINECDSKPCLNGGTCQDSYGTY
Rana	TPDCTESSCFNGGTCIDGINTFSCQCPPGFTGDYCQHDINECDSKPCLNGGTCQDSYGTY
Pez-cebra-a	TPDCTESSCFNGGTCVDGISSFSCVCLPGFTGNYCQHDVNECDSRPCQNGGSCQDGYGTY
Pez-cebra-b	TPDCTESSCFNGGTCVDGINSFTCLCPKGFTGNYCQHDINECDSRPCMNGGTCQDSYGTY
Trucha	TPDCTESSCFNGGTCVDGINTFTCLCLPGFTGSYCQHDINECDSKPCLNGGTCLD SYGTY
	*****:*****:***. :*: * * ***.**: :***:*****: * :***: * . *:*
Humano	RCTCPQGYTGPNCQNLVHWCDSSPCKNGGKCWQTHTQYRCECPSGWTGLYCDVPSVSCEV
Ratón	KCTCPQGYTGLNCQNLVRWCDSAPCKNGGRCWQTNTQYHCECRSGWTGVNCDVLSVSCEV
Rata	KCTCPQGYTGLNCQNLVRWCDSAPCKNGGKCWQTNTQYHCECRSGWTGFNCDVLSVSCEV
Gallo	KCTCPQGYTGLNCQNLVRWCDSSPCKNGGKCWQTNNLYRCECNSGWTGLYCDVPSVSCEV
Rana	KCTCPQGYTGLNCQNLVRWCDSSPCKNGGKCWQTNNFYRCECKSGWTGVYCDVPSVSCEV
Pez-cebra-a	KCTCPHGYTGLNCQSLVRWCDSSPCKNGGSCWQQGASFTCQCASGWTGIFYCDVPSVSCEV
Pez-cebra-b	KCTCPQGYHGLNCQELVNWCKPSPCKNGGICRQSGTRYSCQCQWTGLYCDVPSVSCEV
Trucha	KCTCSHGYTGVNCQNLVRWCDSSPCKNGGSCWQQGSSYTCQCQWTGLYCDVPSVSCEV
	:*** :*** * ***.***. :***** * * : *: * :****. *** *****
Humano	AAQRQGVDTVARLCQHGLCVDAGNTHHRCQAGYTGSYCEDLVDECS PSPCQNGATCTDY
Ratón	AAQKRGIDVTLLCQHGLCVDEGDKHYCHCQAGYTGSYCEDEVDECS PNP CQNGATCTDY
Rata	AAQKRGIDVTLLCQHGLCVDEEDKHYCHCQAGYTGSYCEDEVDECS PNP CQNGATCTDY
Gallo	AAKQQGIDVAHLCRNSGLCVDSGNTHFCRCQAGYTGSYCEEQVDECS PNP CQNGATCTDY
Rana	AAKQQGVIAHLCRNSGMCDTGNTHFCRCQAGYTGSYCEEQVDECS PNP CQNGATCTDY
Pez-cebra-a	AARQQGVSVAVLRCQHAGQCVDAGNTHLCRCQAGYTGSYCEQVDECS PNP CQNGATCTDY
Pez-cebra-b	AAKQQGVDDVVRLCRNSGQCLDAGNTHYCHCQAGYTGSYCEEQVDECIPNP CQNGATCTDY
Trucha	AAKQQGVEVAHLCRNSGQCLDAGNTHYCRQAGYMGSYCQE QVDECS PNP CQNGATCTDY
	***:***. ***:*. *:*. :.* * :***** * *: * :****. *** *****

**Anexo 2a.** continuación

Humano	LGGYSCKCVAGYHGVNCSEEIDECLSHPCQNGGTCIDLDPNTYKCSCPRTQGVHCEINV LGGFSCKCVAGYHGSNCSEEINECLSQPCQNGGTCIDLTSNSYKCSCPRTQGVHCEINV LGGFSCKCVAGYHGSNCSEEINECLSQPCQNGGTCIDLNTYKCSCPRTQGVHCEINV LGGYSCECVAGYHGVNCSEEINECLSHPCQNGGTCIDLINTYKCSCPRTQGVHCEINV LGGYSCECVAGYHGVNCSEEINECLSHPCQNGGTCIDLINTYKCSCPRTQGVHCEINV LGGYSCECVAGYHGVNCSEEINECLSQPCQNGGTCIDLVNTYKCSCPRTQGVHCEIDID LGGYSCECVPGYHGVNCSDEINECLSQPCQNGGTCIDLINTYKCSCPRTQGVHCEINID LGGYSCECLPGYHGVNCSKEINECLSQPCQHGGTCIDLINTYKCSCPRTQGIHCEINLD *****:***: *** . ***:****:***:****:*** . *:*****:*****:*****:*
Ratón	
Rata	
Gallo	
Rana	
Pez-cebra-a	
Pez-cebra-b	
Trucha	
Humano	DCNPVDPPSRSPKCFNNGTCVDQVGGYCTCPGFVGERCEGDVNECLSNPCDARGTQN DCHPPLDPASRSPKCFNNGTCVDQVGGYCTCCTCPGFVGERCEGDVNECLSNPCDPRGTQN DCHPPLDPASRSPKCFNNGTCVDQVGGYCTCCTCPGFVGERCEGDVNECLSNPCDPRGTQN DCSPFFDPVTLGPKCFNNNGKCTDRVGGYSCICPPGFVGERCEGDVNECLSNPCDARGTQN DCTPFYDSVSLEPKCFNNNGKCIDRVGGYNCICPPGFVGERCEGDVNECLSNPCDPRGTQN DCSPSVDPILTGEPRCFNGGRCVDRVGGYGCVCPPGFVGERCEGDVNECLSDPCDPSGSYN DCTPFTDPITHEPKCFNQGRCDVDRVGGYHCICPPGFVGERCEGDVNECLSNPCG---THS DCNPSTDPLTYESKCFNKQGQCVDRVGGYHCMCPAGYVGERCEGDVNECLSDPCDLRGSYN *** * * : : *** * * :**** * * :****:*****:*** . : .
Ratón	
Rata	
Gallo	
Rana	
Pez-cebra-a	
Pez-cebra-b	
Trucha	
Humano	CVQRVNDFHCECRAGHTRRCESVINGCKGKPKCKNGGTCAVASNTARGFICKCPAGFEGA CVQRVNDFHCECRAGHTRRCESVINGCRGKPKCKNGGCAVASNTARGFICRCPAGFEGA CVQRVNDFHCECRAGHTRRCESVINGCRGKPKCRNGGTCAVASNTARGFICRCPAGFEGA CVQRVNNDYKCECRAGHTRRCESVINGCRGKPKCRNGGTCAVASNTGRGFICKCPPGFVGA CIQLVNNDYRCECRAGHTRRCESVINGCRGKPKCRNGGTCAVASNTGRGFICKCPPGFVGA CVQLINDFRCECRTGTYGKRCEVFNFGCKDTCKPCKNGGTCAVASNTKHYICKCQPGYSGS CIQLKNNYRCECRAGHTRRCESVINGCRGKPKCRNGGTCAVASNTPHGFICKCPPGFTGS CVQLTNRSYRCECRAGHTRRCESVINGCRGKPKCRNGGTCAVASNNPDGFICKCPPGFTGS *: * . . :**** * . . :****. . :****:****:**** . *:****: * * : *
Ratón	
Rata	
Gallo	
Rana	
Pez-cebra-a	
Pez-cebra-b	
Trucha	
Humano	TCENDARTCGSLRLCNGGTCISGPRSPTCLCLGPFTGPECQFPASSPCLGGNP CYNQGTC TCENDARTCGSLRLCNGGTCISGPRSPTCLCLGSFTGPECQFPASSPCVGSNP CYNQGTC TCENDARTCGSLRLCNGGTCISGPRSPTCLCLGSFTGPECQFPASSPCVGSNP CYNQGTC TCENDSHTCGTLHCLNGGTCISMHKSSKCVCAAFTGPECQY PASSPCI-SNP CYNGGTC TCEYDARTCGNLRQNGGTCISVLKSSKCVSEGYTGATCQYPVVSPCA-SRPCYNGGTC SCEYDSQSCGSLRCRNGATCVSGHLSPRCLCAPFGSGHECQTRMDSPCL-VNPCYNGGTC TCEYDAHACGSILQCKNGGTCVSGHKSPKCLCTPAFTGPECQDPSSGHCT-TNP CYNGGTC SCEYDSRFCGSILNCRNGGTCVSGHLSPRCLCPTAFTGPECQTPTNSPCN-VNHCYNGGTC *: * . : * . * . * . :* . * . * :* . * . * . * . * . * . * . * . * .
Ratón	
Rata	
Gallo	
Rana	
Pez-cebra-a	
Pez-cebra-b	
Trucha	
Humano	EPTS-ESPFYRCLCPAKFNGLLCHILDYSFGGGAGRDIIPP-PLIEEACELPECQEDAGNK EPTS-ENPFYRCLCPAKFNGLLCHILDYSFTGGAGRDIIPP-PQIEEACELPECQVDAGNK EPTS-ESPFYRCLCPAKFNGLLCHILDYSFTGGAGRDIIPP-PQIEEACELPECQEDAGNK EFLSDASPYYHCNC PANFNGLNLCHILDYDFQGGFGQDIIIP-PKIEEKCEIAVCASYAGNK QFSP-EEPFFQCFCPNFNGLFCILDYFIGGLGKNITP-PDNEEICENEQCAELADNK QPIS-DAPFYRCSCPANFNGLLCHILDYSFSGGGQGRDIAPPVEVEIRCEIAQCEGRGGNA EYIT-EEPYYHCICPTNFNGLFCILDWSFPGGTGQDITPAPKVSVSCEIEQCKVKKGK QRTP-DAPFFHCSCPNNFNGLLCHILDYSFPGGFGRDITPPPVEVSCEIPQCDEWAGNH . : ****: * * . :****: * * . * . * :* . * . * . * . * . * . * . * .
Ratón	
Rata	
Gallo	
Rana	
Pez-cebra-a	
Pez-cebra-b	
Trucha	

**Anexo 2a.** continuación

Humano	VCSILQCNHHACGWDGGDCSLNFNDPKNCTQS
Ratón	VCNLQCNHHACGWDGGDCSLNFNDPKNCTQS
Rata	VCNLQCNHHACGWDGGDCSLNFNDPKNCTQS
Gallo	ICDGKCNHHACGWDGGDCSLNFNDPKNCSQS
Rana	ICNANCNNHACGWDGGDCSLNFNDPKNCSQS
Pez-cebra-a	ICDTQCNNHACGWDGGDCSLNFDDPWQNCSAALQCWRY
Pez-cebra-b	ICDSACNNYACDWDGGDCSLNFNDPKNCSAALQCWRY
Trucha	ICDSLCCNNHACGWDGGDCSLNFDDPWQNCSAALQCWRY
	: * . * * : * . * * * * * : * * : * : * : * * : * * : * * : * * : * * : * * :
Humano	QRAEGQCNPLYDQYCKDHFSDGHCDQGCNSAECEWDGLDCAEHVPERLAAGTLVVVLLMP
Ratón	QLTEGQCNPLYDQYCKDHFSDGHCDQGCNSAECEWDGLDCAEHVPERLAAGTLVLVLLP
Rata	QLTEGQCNPLYDQYCKDHFSDGHCDQGCNSAECEWDGLDCAEHVPERLAAGTLVLVLLP
Gallo	QKYEGQCNPLYDQYCKDHFSDGHCDQGCNNECEWDGLDCAANMPEKLADGT
Rana	QKVEVQCNPLYDQYCRDHFQDGHCQGCNAECEWDGLDCD-NMPENLAEGLLIVVLLMP
Pez-cebra-a	QRLEGQCNPLYDQYCRDHYADGHCDQGCNAECEWDGLDCADDVPQKLAVGSILVLLVHIP
Pez-cebra-b	QRVEAQCNPLYDQYCKDHFADGYCDQGCNAECEWDGLDCANDTPEKLAAGLLVVVHIH
Trucha	QGQEKGQCNPLYDQYCKDHYADGHCDQGCNAECEWDGLDCAANMPEKLADGH
	* * * * * * * * : * * : * * * * . * * * * * . * : * * * * : * * : * * :
Humano	PEQLRNSSFHFLRELSRVLHTNVVFKRDAHQQQMFPIYYGREEELRKHPIK-RAAEGWAA
Ratón	PDQLRNNSFHFLRELSHLVLTNVVFKRDAQGQQMFPIYYGHEEELRKHPIK-RSTVGWAT
Rata	PDQLRNNSFHFLRELSHLVLTNVVFKRDAQGQQMFPIYYGHEEELRKHPIK-RSAVGWAT
Gallo	PENLKNNSFNFLRELSRVLHTNVFKKNAKGEYMIPIYYGNEEELKKHYIK-RSTEDWAD
Rana	PEKLNKNNSVNFLRELSRVLHTNVFKKDSKGEYKIPIYYGNEEELKKHHIKKRSAAWSD
Pez-cebra-a	PDELNRNSSSFLRELSLLHTNVVFRRDANGEALIFPIYYGSEHELSKHKRS-----DWTD
Pez-cebra-b	PDQLRNNSFGFLRELSRVLHTNVVFRRDSKGQEMIYPIYYGNEQELKKHNIK-RSLDGWND
Trucha	PEQLKNGLSTFLRELSVLHTNVVFRRDANGEPMVFPIYYGSEQELAKHNVK-RSTDSPWD
	* : * : * * * * : * * * * : * : * : * * * * * . * . *
Humano	P---DA-LLGQVKASLLPGGSEGGRRRRELDPMDVRGSIVYLEIDNRQCVQASSQCFQSA
Ratón	S---SL-----L-PGTSGGRQRRELDPMDIRGSIVYLEIDNRQCVQSSSQCFQSA
Rata	T---SL-----L-PGTNGGRQRRELDPMIDIHGSIVYLEIDNRQCVQSSSQCFQSA
Gallo	M---SSAVINKVKSSL--SRAGRQKRELQMDIRGSIVYLEIDNRQCIQSSSQCFQSA
Rana	A---PTAIFSTMKESVLP----GRRRRELQMEVRGSIVYLEIDNRQCYKSSSQCFFTA
Pez-cebra-a	---PGQLMQRARRSLT--SFLKPRTRELDHMEVKGSIVYLEIDNRQCFQQSDECQFQSA
Pez-cebra-b	AS---SDVLISSMKNSIYNIVVEGGRKRRELEKIQVKGSVVYLEIDNRQCYQQTSECQFQSA
Trucha	WAVVPANMLGQMKESVGS-MVNLPQRRELDLQMVKGSVVYLEIDNRQCYQQSTGCFQSA
	* : * * : : * : * * * * * : * : * * * * : * : * * * * : * : * * * * :
Humano	TDVAAFLGALASLGSLNIPYKIEAVQSETVEPPP-PAQLHFMYVAAAFAVLLFFVGCGVL
Ratón	TDVAAFLGALASLGSLNIPYKIEAVKSEPVPEPPL-PSQLHLMYVAAAFAVLLFFVGCGVL
Rata	TDVAAFLGALASLGSLNIPYKIEAVKSETVEPPL-PSQLHLMYVAAAFAVLLFFVGCGVL
Gallo	TDVAAFLGALASLGSLNIPYKIEAVKSETAEPAR-NSQLYPMYVVVAALVLLAFIGVGVL
Rana	TDVAAFLGALATHGNLNIPYKIEAVSEIVETAKPPPPLYAMFSMLVIPLLIIFVIMVI
Pez-cebra-a	TDVAAFLGALASSGNLNVPYIEAVTSEGGP--PKTGEMYPMFLVLLALAVLALAAGGVV
Pez-cebra-b	NDAAAFLGALASSGSLKMPYVIEAVTSEIDG--PSPVVELPYVYVLAGLALLAFVAIGMV
Trucha	TDVAAFLGALASSGNLNVPYIE-AVTSVQPT--RASSELYPMYVVFLGLAVLGFCIGVL
	* * * * * * : * * : * * *** * : * : * : * : * : * : * : * : * : * :

**Anexo 2a.** continuación

**Anexo 2a.** continuación

Humano	NKDMQNNREETPLFLAAREGSYETAKVLLDHFANRDIRTDHMDRLPRDIAQERMHHDIVRL
Ratón	NKDMQNNKEETPLFLAAREGSYETAKVLLDHFANRDIRTDHMDRLPRDIAQERMHHDIVRL
Rata	NKDMQNNKEETPLFLAAREGSYETAKVLLDHFANRDIRTDHMDRLPRDIAQERMHHDIVRL
Gallo	NKDMQNNKEETPLFLAAREGSYETAKVLLDHFANRDIRTDHMDRLPRDIAQERMHHDIVRL
Rana	NKDMQNNKEETPLFLAAREGSYETAKVLLDHFANRDIRTDHMDRLPRDIAQERMHHDIVRL
Pez-cebra-a	NKDLQNNKEETPLFLAAREGSYETAKVLLDHFANRDIRTDHMDRLPRDIAQERMHHDIVRL
Pez-cebra-b	NKDMQNNKEETPLFLAAREGSYETAKVLLDHFANRDIRTDHMDRLPRDIAQERMHHDIVRL
Trucha	NKDMQNNKEETPLFLAAREGSYETAKVLLDHFANRDIRTDHMDRLPRDIAQERMHHDIVRL
	*****:*****:*****:*****:*****:*****:*****:*****:*****:*****:*****:
Humano	LDEYNLVRSPQLHGAPLGGPTLSPPLCSPNGYLGSLKPGV----QGKKVRKPSSKGLAC
Ratón	LDEYNLVRSPQLHGTAALGGPTLSPTLCSPNGYLGNLKSAT----QGKKARKPSTKGLAC
Rata	LDEYNLVRSPQLHGTAALGGPTLSPTLCSPNGYLGNLKSAT----QGKKARKPSTKGLAC
Gallo	LDEYNLVRSPPLHSGPLG-APTLSPPLCSPSSYIGNLKPAV----QGKKARKPSTKGLSC
Rana	LDEHNVLVKSPTLHGGPLG-APTLSPPICSPNGYMGNMKPSV----QSKKARKPSIKGNGC
Pez-cebra-a	LEEYNLVRSPPL-----PLSPPLCSPNTYLGIKPSPGNNNNATAKKTRKPONGKGKVGG
Pez-cebra-b	IIDEYNLVRSPPMHSAPLC--TTLSPPLCSPNGFMGNMKPSV----QSKKPRKPSTKGIGC
Trucha	LDEYNLVRSPGLHNGETLS-ATNLSPPLCSPNGYLGSLKPTA----PGKKVRK---PGSGG
	:*:****:*** : *** :*.*. :*: .** * * * .
Humano	GSKEAKDLKARRKKSQDGKGCLLDSD--SGMLSPVDSLESPHGYLSDVASPPLPSPFQQS
Ratón	GSKEAKDLKARRKKSQDGKGCLLDSD--SSMLSPVDSLESPHGYLSDVASPPLPSPFQQS
Rata	SSKEAKDLKARRKKSQDGKGCLLDSD--SSMLSPVDSLESPHGYLSDVASPPLPSPFQQS
Gallo	NGKDSKDLKARRKKSQDGKGCLLDN--SSVLSPPVDSLESPHGYLSDVASPPLMTSPFQQS
Rana	--KEAKELKARRKKSQDGKTSLLSGSSGVLSPPVDSLESPHGYLSDVASPPLMTSPFQQS
Pez-cebra-a	K-DSGKDIRSTKKKSGDGKNGGIME--VGVLSPVDSLESPHGYLSDVSSPPMMTSPFQQS
Pez-cebra-b	K--DGKDMKVKKKKQAQDGKGNNLLDS--SAVLSPVDSLESPHGYISDIASPPQMTSPFQQS
Trucha	K-DGGKDMIRKKKSLDGKGSLDS--SAVLSPVDSLESPHGYLSDVASPBM-TSPFQQS
	.*: :*: *** : *** : .*****:*****:*****:***** *****
Humano	PSVPLNHLPGMPDTHLGIGHLNVAAKPEMAALGGGRLAFTPGLPRLSHLPVASGTSTVL
Ratón	PSMPLSHLPGMPDTHLGISHLNVAAKPEMAALAGGSRLAFTPPLPRLSHLPVASSASTVL
Rata	PSMPLSHLPGMPDTHLGISHLNVAAKPEMAALAGGSRLAFTPPLPRLSHLPVASSASTVL
Gallo	PSMPLNHLPGMPDAHMSINHLMAGKQEM-ALGGSGRMAFEAVPPRLSHLPVSSPSTAM-
Rana	PSMPLNHLTSMQDSHPGLNHMTMANQEMA---SNRMAFDGMTPRLTHLNVSSPNTIM-
Pez-cebra-a	PPISLNQLQGLADSHMGALQG--LGKP-----FD-SAPRLSHLPVANN----
Pez-cebra-b	PSMSLNQLQGMSDNHMGVSHLGIGNNQDL---SHIQFDPLPPRLTHLPVAGSNGS--
Trucha	PPMSFNHLQGSGDSHVGQMGMG--KGQDM-----GRMPFDPNPPRLSHLPVSSPGSQ--
	* : :.* . * * . : : . : ***:***:***:*** .
Humano	GSSSGGALNFTVGGSTSINGQCEWLSRLQSGMVPNQ-YNPLRGSVAPGPLSTQAPSLOQHG
Ratón	STNGTGAMNFTVGAPASLNGQCEWLPRQLQNGMVPsq-YNPLRPGVTPGTLSTQAAGLQHS
Rata	STNGTGAMNFTVGAPASLNGQCEWLPRQLQNGMVPsq-YNPLRPGVTPGTLSTQAAGLQHG
Gallo	---SNAPMNFSVGGAAAGLSGQCDWLRLQSGMVQNQ-YGAMRGGMQPQGTH-QQAQNLQHG
Rana	---TNGSMHFTVGGAPAMNGQCDWFARLQNGMVQNQ-YNPIRNGIQQGNA---QQALQHG
Pez-cebra-a	-----V-GGAQAGACDWLQRVQQQQQQQQQQQQ-----QAG
Pez-cebra-b	-----NVMNGQCEWLERMHGSMAPQNQFTAMR-----NASGQANLHQSG
Trucha	-----GTITMAMD-GAGGRGQCDWHSRIHPGLGQQGGFNQG-----LPM SHG
	* * : * * : : . . . .

**Anexo 2a.** continuación

Humano	MVGPLHSSLAASALSQMMMSYQGLPSTRLATQPHLVQTQQVQPQN---LQMQQQNLPANI
Ratón	MMGPLHSSLSTNTILSP-IIYQGLPNTRLATQPHLVQTQQVQPQN---LQLQPQNLQ---
Rata	MMGPIHSSLSTNTILSP-IIYQGLPNTRLATQPHLVQTQQVQPQN---IQUIQPQNLQ---
Gallo	MMSSLHNGLPSTSLSQMMMSYQAMPSTRLASQPHLLQNQQMQQPGMQPQPGMQPQPGM
Rana	LMSSLHNGLPATTILSQMMTYQAMPNTRMANQPHLMQAQQMQQQQNQLHQ-----
Pez-cebra-a	MLMPT-M-LSATNMPQVMGYPTMQSSH LGAPSHMIAHQNM---APM-----
Pez-cebra-b	LMTSHHN-GRPATLSQLMMNYQSQMNTHLMQ-----QMQQSMQPRP-----
Trucha	MMAPLRG-VPTATLISRIMGYQQLQTSHLGTPPHLMQQMHSRQN PQL-----
	: : : * : . :: : :
Humano	QQQQS LQPPPPPQPHLGVSSAASGHGRSFLSGEPSQADVQPLGP--SSLAVHTILPQE
Ratón	-----PPSQPHLSVSSAANGHLGRSFLSGEPSQADVQPLGP--SSLPVHTILPQE
Rata	-----PPSQPHLSVSSAANGHLGRSFLSGEPSQADVQPLGP--SSLPVHTILPQE
Gallo	QQPOQQPQQQPQPQQHHNPGSNASGHMGQNFLGTELSQLQPDPMQPVSS--SAMAVHTILPQD
Rana	-----SVQQQQHQNSNATSTHIGSPFCSDISQTDLQMSG---NNIHHSVMPQD
Pez-cebra-a	-----QHQNI-----SHH-FLGDLSGLDLQSSSG---HAPIQTILPQD
Pez-cebra-b	-----Q----QTGVQLQSQSQNFIGGDLGGPELQQSAG--NSMSIHTIIIPQE
Trucha	-----QHQNSNSTTAGQVLSQSFLSSELGSDLQOGNGVGRSVP IHTILPQE
	* . : . : :: * : ::::: **:
Humano	SPALPTS LPSSLVPPVTAAQF LT PPSQHSYS-S PVDNT PSHQLQVPE-HPFLT P S P E S P D
Ratón	S Q AL PTS LPSS M V P P M T T T Q F LT PPSQHSYS S S PVDNT PSHQLQVPE-HPFLT P S P E S P D
Rata	S Q AL PTS LPSS M V P P M T T T Q F LT PPSQHSYS S S PVDNT PSHQLQVPE-HPFLT P S P E S P D
Gallo	S Q LL PTS LPSS LAQPM TTT Q F LT PPSQHSYS-S PL DNT PSHQLQV P D -HPFLT P S P E S P D
Rana	T QIFT N S LPPTLTQSMATTQ F LT PPSQHSYS-S P M DNT PSHQLQV P D -HPFLT P S P E S P D
Pez-cebra-a	S Q RMA -- PP -----ISSTQ F LT PPSQHSYSNPMD-NTPNHQ-QVPD-HPFLT P S A G S P D
Pez-cebra-b	T Q L L N -- PSSLGSSMAGTQ F LT PPSQHSYT P ALDANTPNHQ L Q VP D H H PFLT P S P G S P D
Trucha	T Q -----ILGTQ F LT PPSQHSYSGPID-NTPNHQ L Q VP D -HPFLT P S P G S P D
	: : : *****:*****:***** : : * : * : : * : *****:*****:*****
Humano	QWSSSSPHSNVSDWSEGVSSPPTSMQSQIARIPEAFK
Ratón	QWSSSSPHSNISDWSEGISSPPTT M P S Q I T H I P E A F K
Rata	QWSSSSPHSNISDWSEGISSPPTSMPSQI T H I P E A F K
Gallo	QWSSSSPHSNVSDWSEGISSPPTSMQSQMGH I P E A F K
Rana	QWSSSSPHSNMSDWSEGISSPPTSMQ P Q R T H I P E A F K
Pez-cebra-a	QWSSSSPHSNLSDWSEGISSPPTSM--QMNHIPEAFK
Pez-cebra-b	QWSSSSPNSNMSDWSEGISSPPTSMQSQIGHMPEQFK
Trucha	QWSSSSPNSNMSDWSEGISSPPMSLHSQMLIPNQFK
	*****:*****:*****:***** : : * : * : : * : **

*En negrita se muestran los residuos afectados por la CLL*

## Anexo 2b. Alineamiento de la secuencia CDS de NOTCH1

Humano	-----
Ratón	tagtcctctggcgcccggaggagcgcaggggcgtgggcgca-gggcgcggcgctgg
Rata	-----gcagg-ggcgtggcgccagg
Gallo	-----
Rana	-----gattgc-----agagcacagagtgtt-----tcattctcagtctgt
Pez-cebra-a	-----
Pez-cebra-b	-----
Trucha	-----aggctggggaggaggaacttcagagttgcgcgatagactgcttcatccgaa
 Humano	-----
Ratón	cgcgggtgcgagcgcagtgaaggaacgcggccgggtgcctgttagggcccgccgctg
Rata	cgcgggtgcgagcgcagtgaaggaacgcggccgggtgcctgttagtgcggggagaccctg
Gallo	-----
Rana	atgggacgaggcaacactgttagcggagtgcgtgcgatctctgttagccgg--agtgggatg
Pez-cebra-a	-----agaagacgctc-ctgagaaacgcgtggattattatttaactagaaggata
Pez-cebra-b	-----cactcagct---tgagaccgcacg-----a
Trucha	ctcagaacgct-----atgcgtcgacatctcacgaat---tgagtttacggagacta
 Humano	-----
Ratón	agagcccagc-gccgcccacccgccaggaaagagggcatcagagggtggacgcctgcggg
Rata	agagcccagc-gccgcccacccgccaggaaagagggcagcagcgggtggacgcggcggg
Gallo	-----
Rana	caagg-gaac-actgagcctatgcggg-----ataccgtgtaatgcgtattgg
Pez-cebra-a	-----t-ttattcgaactctt-----
Pez-cebra-b	-----gcaacacc-----gtattgcggctctgg
Trucha	ttctctccggagtgctgtctggcagtcc-----aatttatttatttacaaggg
 Humano	-----
Ratón	accggccgt-----ggtgtgcgtc-----aacgtccgatccccggccggccac
Rata	accggccgt-----ggtgcgcgt-----aacgtccgatccccggccggccac
Gallo	-----at-----ggggcggt
Rana	accgggat-tgtactgattggatccccc-----agctttaggtcttctcccccca
Pez-cebra-a	-ctgcacct-tctggagattaaagaaga-----ct---tctggggatctatgagag
Pez-cebra-b	atctatccctcatactgacgtgcttcgttct-----tttcttgaacagaccaat
Trucha	atatttatttaaaacaatttaaccacgtctgcagctaaccacactgtggatctgaaaa
 Humano	-----ATGCCGCCGCTCCTGG
Ratón	cccaagaggccgcggccgggtgcggcagctggcgagcaggcatgccacgcgtccgtga
Rata	cgcaagaggccgcggccggcggcagctggcgagcaggcatgccgcggctccgtgg
Gallo	gtagtgtccatccccgggtggg-----gcatt-----gccccgg
Rana	gtcctgg---gatccgtcggtatgttcatatagagagaaaatgtatcgatcgggc
Pez-cebra-a	cttctgggaggatttaaaaagatgttaacgcgcgaggcgaggatgtatgaccgtttcttgg
Pez-cebra-b	g-ttggatatatgttaaggctcggtggactatccataagaaggaatgcattttcttcg
Trucha	t-cgttagaaattgttagggcttttgaaggtaagatgtatcggttttttgg
	** * *
 Humano	CGCCCTGCTCTGCCTGG---CGCTGCTGCCCGCCTGCCGCACGAGGCCCGCATGCT
Ratón	cgcctgtctgcctaa---cgctgtccccgcgtcgcccaagaggcttggagatgt
Rata	cgcctgtctgcctaa---cgctgtccccgcgtcgcccaagaggcttggagatgt
Gallo	gctctgtgtgcctgaa---cgctct-----cctctgttcccagggtgtcggtgca
Rana	-----tctgttgcctgtgtgcactcgctcaaggctgcgtatgc
Pez-cebra-a	tcaaataacgtactgactgcgcgtcgacggtggcacaaggcaagatg--
Pez-cebra-b	tgaaactaa-----ttgtgtgatatactcaatacttgacacaaggctggagtgt-
Trucha	tgaaactaa-----cgtttttattccagtcgtcataacacaaggctaaagatgt
	*** **

(\*) residuos iguales

**Anexo 2b.** continuación

Humano	CCCGAGCCCCTGGTGGACCTGCCTGAATGGCAGGGAAAGTGTA---AGCGGCCAATGGCACGG
Ratón	cccagccaagtgggacactgcctgaatggggggagggtgcga---agtggccaacggcactg
Rata	cccagccaagtgggacactgcctgaatggggggagggtgcga---agtggccaacggcactg
Gallo	cgcagctggccgaatcctgcctcaacggggcaagtgtgaaacttccctaattggacgg
Rana	ctcagactcgaaaatgtgcctgaacggggggagggtgcgaatgaccggcggactg
Pez-cebra-a	-----ctcagaataactgtcagaatggggaaatatgcgagtacaagcccagcggagaag
Pez-cebra-b	-----tcagaaaaatgc当地acatgtgaaccaactgcagacgggagag
Trucha	ctctaactactgaatcatgtcgaatggggggagggtgtgaggcctctgacagaaaatg * * * * * * * * *
Humano	AGGCCTGCGTCTGTGGCGGGGCCCTCGTGGGCCCGCATGCCAGGACCCCAACCGTGCC
Ratón	aaggcctgtgtctgcagcggaggccttgcggccaaacgtatgcgcaggactccatcctgccc
Rata	aaggcctgtgtctgcagcggaggccttgcggccaaacgtatgcgcaggactccatcctgccc
Gallo	agggtgtccaggcgtcagcgtgcccataatggcgagcgtgtccaggctgccaacccctgccc
Rana	gggtgtgtctatgcagcgttgcgtatccggggaggcgtgtccaggatcccaatcctgccc
Pez-cebra-a	catcatgcaggtgtcctgcagacttcgtgggtgtcaatgtcaattccgaacccctgcca
Pez-cebra-b	gagaatgcaggtgtacaagtgactatgtggtagccgtccaggacttccaaacccctgcca
Trucha	gagaatgcaggtgtacaagtgactatgtggtagccgtccaggacttccaaacccctgcca * * * * * * * * *
Humano	T---CAGCACCCCCCTGCAAGAACGCCGGACATGCCACGTGGTGGACCGCAGAGGCCTGG
Ratón	t---cagcacaccgtgtaaatgtggacactgtggccacgttgcgtggaccatggggactg
Rata	t---cagcacaccatgtaaatgtggacactgtggccacgttgcgtggaccatggggactg
Gallo	t---cagctccccctgcaagaacgcggcacctgcataccctgtgcgtggcaggcaccg
Rana	ccctgaagaaccaggatgtatgcactttgggacctgtggccgggtgtctggggaaacgc
Pez-cebra-a	a---ccatccccatgtcgtaacggagggtgtgtccggcccgagatgcagggaatgaag
Pez-cebra-b	t---ccatccccatgtcgagaaatggtgccgtgtccgttgcacttctgccaacaagg
Trucha	a---ccctcgccatgcccaacggtgccgtatccacggcaacactt * * * * * * * * *
Humano	CAGACTATGCCTGCAGCTGTGCCCTGGGCTTCTCTGGGCCCTCTGCCTGACACCCCTGG
Ratón	tggattatgcctgcagctgtccctgggttctctggccctctgcctgcacacctctgg
Rata	tggactatgcctgcagttgcctgggttctctggccctctgcctgcacacctctgg
Gallo	ccgactacacctgtgtctgcctgggttctgcctgcacacccctgg
Rana	tgcacttacacctgcactgcctgggttctgcctgcacacccctgg
Pez-cebra-a	tgggtgtgaagtgcactgtgtttaggactgtgaccggctgtgcactccaggta
Pez-cebra-b	tggacttgtctgcactgcagctgcctgggttctgcctgcacacccctgg
Trucha	ttgaattccactgcaaatgtcgactgggttctgcctgcacacccctgg * * * * * * * * * * * * * * *
Humano	ACAATGCCTGCCTCACCAACCCCTGCCAACGGGGCACCTGCGACCTGCTCA---CGC
Ratón	acaacgcctgcctggcaacccctgcgcataatgggggcacctgtgcacactgtca---ctc
Rata	ccaatgcctgcctggcaacccctgcgcataacgggggcacctgtgcacactgtca---ctc
Gallo	acaacgcctgcctcaacaacccctgcgcataacgggggcacctgtgcacactgtga---cac
Rana	ataacgcctgcgtcaacaacccgtgcgcataacgggggcacctgtgcacactgtgagcgc
Pez-cebra-a	atcatgctgcgtcaactctccctgcggaaacggaggacactgtgcacttctgctca---cac
Pez-cebra-b	acaacgtgtgccttggtgctcgtgcggaaacggaggacactgtgcacttctgctca---gca
Trucha	accatgcctgcgtgactgtgcgtgcataatggggacttgcgtgcacttctgctca---cgc * * * * * * * * * * * * * * *
Humano	TGACGGAGTACAAGTGCCGCTGCCGCCGGCTGGTCAGGGAAATCGTGCCAGCAGGCTG
Ratón	tcacagactacaagtgcgcgtgcctggccacgggggtgtcaggaaaatcatgtcagcaggctg
Rata	tcacagaataacaagtgcgcgtgcctggccacgggggtgtcaggaaaatcatgtcagcaggctg
Gallo	tcagcgactacaagtgcgcgtgcctggccacgggggtgtcaggaaaatcatgtcagcaggctg
Rana	tgagcgattacagatgcagatgcctggccacgggggtgtcaggaaaatcatgtcagcaggctg
Pez-cebra-a	tcgataccctcaccgcgtgcctggccacgggggtgtcaggaaaatcatgtcagcaggctg
Pez-cebra-b	tccacaactacagggttaaatgcggccacgggtgtcaggaaaatcatgtcagcaggctg
Trucha	tctccgactaccgcgtgcctggccacgggtgtcaggaaaatcatgtcagcaggctg * * * * * * * * * * * * * * *

**Anexo 2b.** continuación



**Anexo 2b.** continuación

Humano	GCGAGTGTCCCCATGGCCGCACAGGTCTGCTGTGCCACCTCAACGACGCATGCATCAGCA
Ratón	g c g a a t g t c c g c a t g g g c g c a c a g g t c t g c t g c c a c c t c a a c g a t g c g t g c a t c a g c a
Rata	g c g a g t g t c c a c a t g g g c g c a c a g g c t g c t g c c a c c t g a a c a g t g c g t g t a t c a g c a
Gallo	g c g a g t g t c c c a t g g g c g c a c a g g t t g c t g c c a c c t g g a t g a c g c t g c a t c a g c a
Rana	g c g a g t g c c c c a t g g c c g g a c a g g t c t c t t g c c a c c t g g a t a t g c c t g t a t c a g c a
Pez-cebra-a	g c g a g t g t c c a c a c a g g g c g c a c c g g t c t c t g c c a c c t g g a c a g t g c c t g c a t c a g t a
Pez-cebra-b	g c g a a t g t c c t c a c g g g c g c a c a g g t c t g t g t a t c a g a t g a t g c t t g c a t t a g t a
Trucha	g c g a g t g t c c a c a t g g g c g c a c a g g t t a c t g t g t a t c t t g a t g a t g c c t g c a t c a g t a
***** *	
Humano	ACCCCTGTAACGAGGGCTCCAAC TGCGACACCAACCCTGTCAATGGCAAGGCCATCTGCA
Ratón	a c c c c t g c a a c g a g g g c t c a a c t g t g a c a c c a a c c t g t c a a c g g c a a g g c c a t c t g c a
Rata	a c c c c t g c a a c g a g g g c t c a a c t g c g a c a c c a a c c t g t c a a c g g c a a g g c c a t c t g c a
Gallo	a c c c c t g c a a c g a g g g c t c a a c t g c g a t a c c a a c c t g t c a a t g g c a a g g c c a t c t g c a
Rana	a c c c c t g c a a c g a g g g c t c a a c t g t g a c a c c a a c c a c g t c a a c g g g a a g g c c a t c t g t a
Pez-cebra-a	a c c c g t g t c a g a a a g g c t c a a c t g c g a c a c a a c c a c g t g a g c g g g a a g g c c a t c t g c a
Pez-cebra-b	a c c c g t g t c a g a a a g g c t c a a c t g t g a c a c c a a c c t g t c a a c g g g a a g g c c a t c t g t a
Trucha	***** *
Humano	CCTGCCCTCGGGGTACACGGGCCCCGGCTTCAGGCCAGGACGTGGATGAGTGCTCGCTGG
Ratón	c c t g c c c t c g g g g t a c a c a g g g c c a g c c t g c a g g c a c g t g g g a t g a g t g t g c t c t g g
Rata	c t t g c c c t c g g g g t a c a c a g g g c c a g c c t g c a g c c a g g a c g t g g g a t g a g t g c g c t c t g a
Gallo	c g t g t c c t c g g g g t a c a t g g g g c c g c t g c a a c a c c a g g a c g t g g g a t g a g t g c t c a c t g g
Rana	c c t g c c c a c c g g g g t a c a c c g g c c g c t g c a a c a a t g a c g t g g g a t g a g t g c t c t c a g t g g
Pez-cebra-a	c c t g c c c c c g g a t a c a c t g g a t c c g c c t g c a a c c a g g a c a t c g a c g a g t g c t c g c t t g
Pez-cebra-b	c c t g t c c a c t g g g t t a t g t g g g c c g c t g c a c c a a g g a c g t g a t g a t g c t c a c t g g
Trucha	c c t g c c c t c c a g g t t a c a c t g g c t c t g c a t g c a a c c a g g a c a t t g a c g a g t g t t c c t t g a
* *	
Humano	GTGCCAACCCCTGCGAGCATGCGGGCAAGTGCATCAACACGCTGGCTCCTTCGAGTGCC
Ratón	g t g c c a a c c c t t g t g a g c a c g c a g g c a a t g c c t c a a c a c a c t g g g t t c t t t g a g t g c c
Rata	g t g c c a a c c c t g t g a g c a c g c a g g g a a t g c a t c a a c a c a c t g g g c t t t c a g t g t c a
Gallo	g a g c c a a c c c t g t g a g c a c g c a g g g a a t g c a t c a a c a c c c a g g g g t c t t c a a t g c c
Rana	g t g c c a a t c c g t g c g a g c a t g g c g g a a g a t g t a c c a a c a c c t g g g c t t t c a g t g c a
Pez-cebra-a	g t g c a a a c c c t g t g a g c a c g c g g c c g c t g c c t c a a c a c t a a a g g c t c t t c a g t g c a
Pez-cebra-b	g t g c a a a c c c t g t g a a c a t g t g g a a a g g t g t a t a a a c a c a a a a g g c t c g t t c a g t g t a
Trucha	g t g c c a a c c c t t g g a g c a c g c g a c g g t g g g c g c t g c c t g a a c a c t a a a g g c t c g t t c a g t g c a
* *	
Humano	AGTGTCTGCAGGGTACACGGGCCCCGATGCGAGATCGACGTAA CGAGTGCGTCTCGA
Ratón	a g t g t c a c a g g g c t a c a c g g a c c c c g c t g t g a g a t g a t g t t a a t g a g t g c a t c t c c a
Rata	a g t g t c a c a g g g c t a c a t g g g c c c c g c t g t g a g a t g a t g t c a a c g a g t g c a t c t c c a
Gallo	a g t g t c t g c a g g g c t a c t c g g g c c c c g c t g c g a g a t c g a t g t c a a t g a g t g c c t c t c c a
Rana	a c t g c c c t c a g g g g t a c g c c g g a c c c c g c t g c g a g a t c g a c t g c a a t g a t g t c t c t c c a
Pez-cebra-a	a g t g t c t g c a a g g c t a t g a a g g g c c a a g a t g t g a a t g g a c t g c a a t g a g t g c a a g t c g a
Pez-cebra-b	a a t g t c t g c a g g g a t a t g t g g g a g c t g c a t g t g a g c t g g a c a t a a t g a g t g c c t t t c a
Trucha	a g t g t c c a c g g g t t a t g a g g g c c c g c g g t c g c a g a t g g a t g t c a a c g a g t g c a t g t c c a
* *	
Humano	ACCCGTGCCAGAACGACGCCACCTGCCTGGACCAGATTGGGGAGTTCCAGTGATCTGCA
Ratón	a c c c a t g t c a g a a t g a t g c c a c t t g c c t g g a c c a g a t t g g g g a g t t c c a a t g c a t a t g t a
Rata	a c c c a t g t c a g a a t g a t g c c a c g t g c c t g g a c c a g a t t g g g g a g t t c a g t g t a t a t g t a
Gallo	a c c c t g c c a g a a c a c g t g c c a c t t g c c t g g a c c a g a t t g g g g a g t t c a g t g c a t c t g c a
Rana	a c c c t g c c a a a a t g a c g c c a c g t g c c t g g a c c a g a t t g g g g a g t t c a g t g t a t a t g c a
Pez-cebra-a	a c c c t g c c a g a a c a c g c a a c t t g c c t g c c a c c t g t t a g a t c a g a t t g g g g a g t t c a c t g c a t c t g c a
Pez-cebra-b	c c c c t g c c a a a a c g a c g c c a c c t g t t a g a t c a g a t t g g g g a g t t c a t t g c a t c t g t a
Trucha	a c c c t g t c a g a a c g a t g c c a c a t g c c t g g a c c a a t t g g g g a g t t c a c t g c a t c t g c a
* *	

**Anexo 2b.** continuación

**Anexo 2b.** continuación

**Anexo 2b.** continuación

Humano	AGTGCAACAGCAACCCCTGCGTCCACGGGGCCTGCCGGGACAGCCTCAACGGGTACAAGT
Ratón	agtgcacacgtaaccctgcattccacggagcttgcgggatggctcaatgggtacaagt
Rata	agtgcacacgtaaccctgcattccatggagcttgcgggatggctcaatggatacaat
Gallo	agtgcacacgcaaccctgcattccacggaggtgccacgacgggtgaacggttaccgt
Rana	agtgcacacgcaaccctgttatccatggacgtgcctggaccagatcaacagctacagg
Pez-cebra-a	agtgcctcagcaaccctgttatccacggcagctgcctggaccagatcaacagctacagg
Pez-cebra-b	aatgcctcagcaaccctgttatccatggacactgtgaagacaaaagtgaatggatataact
Trucha	agtgtggcagcaaccctgcattccatggcgctgcaggatctgtcaatggctacagg
	* *
Humano	GCGACTGTGACCCTGGGTGGAGTGGGACCAACTGTGACATCAAACAATGAGTGTGAAT
Ratón	gtgactgtgcccctgggtggagtgaaacaactgtgacatcaacaacaacgagtgtgagt
Rata	gtgactgtgcccctgggtggagtgaaacaactgtgacatcaacaacaatgagtgtgagt
Gallo	gtgattgcacccgggctggagcgggacaaactgtgacatcaacaacaacgagtgtgaat
Rana	gcfactgtgatgcagggtggagcggtagcaattgtgacgtcaacaacaacgagaatgtgaat
Pez-cebra-a	gtgtgtgaggccggctggatggccgcaactgcgacatcaacatcaacgagtgcctgt
Pez-cebra-b	gtatttcgactctggctggagtgaaactgtgacattaacaacaacgagtgcgagtg
Trucha	gttctgtgactctggctggggtggcctaactgtgacatcaacaacaacgagtgtgagtg
	* *
Humano	CCAACCCTTGTGTCACGGCGCACCTGCAAAGACATGACCAGTGGCTACGTGTGCACCT
Ratón	ccaacccttgtcaacgggtgcacctgcacaggacatgaccgtggctacgtatgcacct
Rata	ccaacccttgtcaacgggtgcacctgcacaggacatgaccgtggctacgtatgcacct
Gallo	ccaaccctgcattgttatgggtggcactgcacaggacatgaccaggcggtacatctgcacct
Rana	ccaaccctgttatgttatgggtggcactgcacaggacatgaccgtggatacgtgcacat
Pez-cebra-a	ccaaccctgttatgttatgggtggcacttgtaaggacatgaccgtggctacgtgcacat
Pez-cebra-b	ccaaccctgttatgttatgggtggcactgcacaggatgaccgtggatgtttgttag
Trucha	***** *
Humano	GCCGGGAGGGCTTCAGCGGTCCAACTGCCAGACCAACATCAAACGAGTGTGCGTCAAACC
Ratón	gccgagaaggcttcagtggccctaattgcacaggacatcaacgaaatgtgcctccaacc
Rata	gccgagaaggcttcagtggccctaattgcacaggacatcaacgaaatgtgcctccaacc
Gallo	gcaggggagggttcagcggaccaactgcacaggacatcaatgaaatgtgcctccaacc
Rana	gcagaggcaggatttagtggccaaactgcacaggacatcaatgaaatgtgcctccaacc
Pez-cebra-a	gcagaggcggatttcagcggcgtcaactgcacaggatgaaacatgtgcgtcgacc
Pez-cebra-b	gtcgcggcggcttcagcggcgtccaaattgcacaggatgaaacatgtgcgtcgacc
Trucha	gccgaggcggcttcagcggcgtccaaattgcacaggatgaaacatgtgcgtcgacc
	* *
Humano	CATGTCGAAACCAGGGCACGTGTATTGACGACGTTGCCGGTACAAGTCAACTGCCTGC
Ratón	cctgcctgaaccaggggacgtcattgtatgtcgatggatacaagtgcacactgtcctc
Rata	cctgcctgaaccaggggcacgtcattgtatgtcgatggatcaaattgcacactgcctc
Gallo	cctgcctgaaccaggcacgtcatcgatgtggccggctacacactgcacactgcctc
Rana	cctgcctgaaccaggcggcacgttatcgacatgtggatgtgtgttttacaaatgcacactgtatgc
Pez-cebra-a	cgtgtctgaaccagggttcattgcacgcgtggatgtgtgttttacaaatgcacactgtatgc
Pez-cebra-b	catgctgaatcaaggacgtcattgtatgtggccggatcaaattgcacactgtctgc
Trucha	cctgcctgaaccaggggcacgtcattgcacatgtggccggctacaaatgcacactgttac
	* *
Humano	TGCCCTACACAGGTGCCACGTGTGAGGTGGTGTGGCCCCGTGTCCCC---CAGCCCCT
Ratón	tgcctatacaggaggccacgttgaggtggatggcccatgtgtac---cagcccc
Rata	tgcctatacaggaggccatgttgaggtggatggcccatgtgtccac---cagcccc
Gallo	tgcctatacaggaggccatgttgaggtggatggcccatgtgtcccg---cggcccc
Rana	tgcctatacagggtccatttgagggcccttggatggccgtgtctgg---cagcccc
Pez-cebra-a	tgcctatacagggtgaggtgttgagaaatgttttagccctgttctcc---acgtccc
Pez-cebra-b	ttccttacactggccaaatgtgt-----
Trucha	tgcctatactggtgagatgtgtgagacactgcgtggcccatgcagccccatgcagccct
	* * * * * ***

**Anexo 2b.** continuación

Humano	GCAGAAACGGCGGGGAGTGCAGGCAATCCGAGGACTATGAGAGCTCTCCTGTGTCTGCC
Ratón	gcaaaaaacagcggttatgaaggagtctgaagactatgagagtttccctgtgtctgtc
Rata	gcaaaaaacagtggttatgaaggagtctgaggactatgagagcttcctgtgtctgtc
Gallo	gcaagaacggcgccgagtgcgggagtcagaggactacaaggagttctgtcagctgcc
Rana	gtaaaaatggcgccagatgtaaagaatcggaaagattatgaaacctcttgcgagtgcc
Pez-cebra-a	gtaaaaacggcggtgtgtcgtgaatctgaggattccagagcttcctgttaactgtc
Pez-cebra-b	-----
Trucha	gtaagaacggtgagtgcatgagtcagaggactaccacagcttcctgcctgtc
Humano	CCACGGGCTGGCAAGGGCAGACCTGTGAGGTCGACATCAACGAGTGCCTCTGAGCCCCT
Ratón	ccacaggctggcaaggtaaacacctgcgaggttgcacataatgagtgtgtaaaagccccat
Rata	ccacaggctggcaaggtaaacacctgcgagatgcacataatgagtgtgtaaaagccccat
Gallo	cggccggctggcaaggccagacgtgtgagattgcacataatgagtgtgtgaagagccccat
Rana	ccccccgggtggcaaggccaaacgtgcgagatgcacataacgatgcgtcaatccccat
Pez-cebra-a	cggctggatggcaaggtaaacgtgtgaggtggacattaatgagtgtgtgaggaacccgt
Pez-cebra-b	-----
Trucha	aggtggacataacgcgagatgatcaacgatgcgaaatgtgtgaaaatcctt cagagggatggcaaggtaaacatgcgagatgatcaacgatgcgaaatgtgtgaaaagtccctt
	*** * *** * *** * *** * *** * *** * *** * ***
Humano	GCCCCCACGGCGCATCCTGCCAGAACACCCACGGCGGCTACCGCTGCCACTGCCAGGGCG
Ratón	gtcgccatggggccctctgcccagaacaccaatggcagctaccgcgcctctggcaggccg
Rata	gtcgccatgggtgccttgcgcagaacaccaatggcagctaccgcgcctctggcaggctg
Gallo	ggcccaatggggccacgtgtcagaacaccaacgggagctaccgcgcctgtgggggtgg
Rana	ggcggaaatggcgaatgtgcgcagaacaccaacggcagttataagtgcactgcgaaacacgt
Pez-cebra-a	gcactaattggaggagtgtgtgaaaacctgcgcggtgatttcagtgccgcgtcaatctgt
Pez-cebra-b	ggcgaaatgtgcgcattgcggcacttgcgcggcagttacaagtgcagttgcgaaacgcgg
Trucha	ggcgcagcggcgccacatgcgcacaacatggtggcagctaccgcgcgtccgcgtccgg
	* * * * *** * *** * *** * *** * *** * ***
Humano	GCTACAGTGGGCGCAACTGCGAGACCGACATCGACGACTGCCGCCAACCCGTGTCACA
Ratón	gctatacaggctgcactgtgagagtgcacatcgatgactgcgcgcaccccggtgtcaca
Rata	gctacacgggtgcactgcgagagtgcacatcgatgactgcgcgcaccccggtgtcaca
Gallo	gcttcgcgggcccgaactgcgcacaccgacatcgacgactgcgcgcaccccggtgtcaca
Rana	gttacgcggggcggcactgcgagacggacatcgacgactgcgcaccccggtgtcaca
Pez-cebra-a	gattcactggagctctatgtgaaaacgcacattgcgcactgcgcaccccggtgtcaga
Pez-cebra-b	gctacacggggccgaactgtgagacagacatcgatgactgcgcaccccggtgtcaga
Trucha	gctacacccggccagaagtgtgagacggacatcgacactgcgcaccccggtgtcaga
	* * * * *** * *** * *** * *** * *** * ***
Humano	ACGGGGGCTCTGCACAGACGGCATCAACACGGCCTCTGCGACTGCCTGCCGGCTTCC
Ratón	atgggggttcctgcaccgatggcatcaacacacggcttcgcactgcgcctccggcttc
Rata	acgggggttcctgcactgcgggtcaacgcggccttcgcactgcgcctccggcttc
Gallo	atggtggttcctgtcggtatggcacattttctgtgagtgccctggccggcttc
Rana	acggcgggttcctgtccgcggcatcaacatgttctgcgcactgcgcgcgggttc
Pez-cebra-a	acggcggcgtgtcaggacagggtcaatggttgtgtgtttggctggtttc
Pez-cebra-b	acggtggttcctgcggcactgcgcacccgtgcgcgcgggttc
Trucha	atggaggttcgtgcggagatgggtggacagcttgcacttgcgcagggttc
	* * * * *** * *** * *** * *** * *** * ***
Humano	GGGGCAGTTCTGTGAGGAGACATCAACGAGTGTGCCAGTGACCCCTGCCGAAACGGGG
Ratón	agggtgccttcgtgaggaggacatcaatgatgtgcgcaggacatccctgcggaaatgggt
Rata	agggtgccttcgtgaggaggacatcaacaaatggcgcgcaggacatccatgcggaaatggcg
Gallo	gtgggtcaagtgtgaggaggacatcaatgatgtgcgcaggacatccctgcggaaacgggg
Rana	gagggcccaagtgcgaaggaggacatcaacgcggatgtgcgcaggacatccctgcggaaatggcg
Pez-cebra-a	gagggggaggcgtgtgcagaaggacattgtatgatgatgtgtgcgcggcccccgtgcggaaatgggt
Pez-cebra-b	ggggcggcggcaggatgcgaggaggacattaacaaatgtgaggtgcgcggaaatggcg
Trucha	gccccggcaggatgtgcgcaggacatcaatgatgatgtgcgcaggacatccctgcggaaatgggg
	*** * *** * *** * *** * *** * *** * *** * ***

**Anexo 2b.** continuación

**Anexo 2b.** continuación

Humano	ACACCCAGTACCGCTGCGAGTGCCCCAGCGGCTGGACCAGGCCTTACTGCGACGTGCCA
Ratón	acacgcagtaccactgtgagtgccgcagcggctggactggcgacttcaactgcgcacgtgtca
Rata	acacacagtaccactgcgagtgccgcagcggctggactggcgacttcaactgcgcacgtgtca
Gallo	acaacctgtaccgcgtcgagtgcaacagcggctggacggggctctactgtgatgtccccca
Rana	acaatttctaccggtgtgagtgcaagagcggctggacccggcttactgcgatgtccccca
Pez-cebra-a	gggcgtcctcacctgtcagtgccagcggctggactggcatctactgcgcacgtgccta
Pez-cebra-b	gcacaagatacagctgcagtgccagacaggctggactggttatactgtgacgtccccca
Trucha	gctcctcgtagacccgtcagtgccagacaggatggacccgcctctactgtgacgtccccca
	* *
Humano	GCGTGTCTGTGAGGTGGCTGCGCAGCACAAGGTGTTGACGTTGCCCGCCTGTGCCAGC
Ratón	gtgtgtcctgtgaggtggctgcacagaagcgaggcattgacgtcacttcctgtgccagc
Rata	gtgtgtcctgcgaggtggctgcacagaagcgaggcattgacgtcacttcctatgccagc
Gallo	gcgtctcctgcgaggtggctgcaagcagaaggatcgacgtcgctatctgcagga
Rana	gtgtctcctgcgaggtggctgtaagcagaaggcgtggatatgcgccaccctgtgccgca
Pez-cebra-a	gtgtcagctgtgaggtcgctgccagacagaaggatgtgtctgtggcagttttgtcgctc
Pez-cebra-b	gtgtttcctgcgaggtggcccaaacagaaggatgtgtatgtggccgtgtcgta
Trucha	gtgtctcctgcgaggtggctgccaacagaaggatgtggaggtggctaccctgtcgta
	* * * * * * * * * * * * * * * *
Humano	ATGGAGGGCTCTGTGTGGACCGCAGCAACACGCACCACTGCCGCTGCCAGGGGGCTACA
Ratón	atggagggctctgtgtggatgaggagataaacattactgcccactgcccaggcaggctaca
Rata	acggagggctctgtgtggatgaggaagacaaggcattactgcccactgcccaggcaggataca
Gallo	actcagggctctgtgtggacagtggcaacactcacttctgcgcgtgcaggctggctaca
Rana	attcgggaatgtgcgtggacacaggaaacaccacttctgcgcgtgcaggccggctaca
Pez-cebra-a	atgcgggtcagtgtgtatgcaggaaacacacactgtgcagggtgtcaggctggataca
Pez-cebra-b	actctggccagtgctggacgctggaaacacacactattgtcactgtcaggccggataca
Trucha	actcgggccagtgctggatgtggcaacaccactactgcccgtgcaggccggctaca
	* * * * * * * * * * * * * * * *
Humano	CAGGCAGCTACTGTGAGGACCTGGTGGACGAGTGCTCACCCAGCCCCCTGCCAGAACGGGG
Ratón	cgggcagctactgtgaggacgagggtggacgagtgtcacctaaccctgcgcagaatggag
Rata	cgggcagctactgtgaggacgagggtggacgagtgtcacctaaccctgcgcagaacggag
Gallo	cgggcagctactgcgaggacgagggtggacgatgtcgcgcgcgcgcgcgcgcgcgcgc
Rana	cgggcagttactgcgaggacacagggtggacgatgtcgcgcgcgcgcgcgcgcgcgcgc
Pez-cebra-a	cgggcagttactgtcaggacgagggtggacgagtgtcgcgcgcgcgcgcgcgcgcgcgc
Pez-cebra-b	cgggcagttactgtcaggacgagggtggacgatgtcgcgcgcgcgcgcgcgcgcgcgc
Trucha	tgggcagttactgtcaggacgagggtggacgatgtcgcgcgcgcgcgcgcgcgcgcgc
	* * * * * * * * * * * * * * * *
Humano	CCACCTGCACGGACTACCTGGCGGCTACTCCTGCAAGTGCCTGCCGGCTACCACGGGG
Ratón	ctacctgcactgactatctcgccgctttcctgcacgtgtgtggctggctaccatgggt
Rata	ccacctgcactgactatctcggtggctttcctgcacgtgtgtggctgggtaccatggct
Gallo	ccacctgcaccgactacctggggctattcctgtgagtgccgtggctgggttatcatggag
Rana	ccacgtgcacagattacctggccgctactcgtgcagtgatgtggccggctaccacgggg
Pez-cebra-a	ccacgtgcacagactatctggaggatacagctgtgagtgccgttctggatcatggta
Pez-cebra-b	caacttgcaccgactacctggccgatactcctgtgatgtgtgcgcaggatcatggag
Trucha	ccacctgcacagactacctgggggtacagttgtgagtgatgtgggtaccacgggg
	* * * * * * * * * * * * * * * *
Humano	TGAAC TGCTCTGAGGGAGATCGACGAGTGCCCTCTCCCACCCCTGCCAGAACGGGGCACCT
Ratón	ctaactgctccgaggagatcaacgagtgccgttgcctgcacccatgcgcagaatgggggtac
Rata	ctaactgctctgaggagatcaacgagtgccgttgcctgcacccatgcgcagaatgggggtac
Gallo	ttaactgctcagaggagatcaatgagtgccgttgcctgcacccatgcgcagaatgggggtac
Rana	ttaactgctcggaggaaatcaacgagtgccgttgcctgcacccatgcgcacaatgggggtac
Pez-cebra-a	tgaactgcaaggagataaaccgagtgccgttgcctgcacccatgcgcacaatgggggtac
Pez-cebra-b	tgaactgctctgatgagatcaatgagtgccgttgcctgcacccatgcgcacaatgggggtac
Trucha	tgaactgctccaaggagatcaacgatgtgtccgtcagccctgtcagcatggggcacct
	* * * * * * * * * * * * * * * *

**Anexo 2b.** continuación

**Anexo 2b.** continuación

**Anexo 2b.** continuación

Humano	GCGACATCCCCCGCCGCTGATCGAGG---AGGCGTGCAGCTGCCGAGTGCCAGGAGG
Ratón	gcgacattccccacccggcagattgagg---aggcctgtgagctgcctgagtgccagggtgg
Rata	gcgacattccccccacccggcagattgagg---aggcctgcgaactgcctgagtgccaggagg
Gallo	aggacatcatcccacccaaaatcgagg---agaagtgtgagatgcgcgttgcgagct
Rana	agaacatcaccaccggcacaatcgagg---aaatctgcgagaatgagcagtgcgcgac
Pez-cebra-a	gggatatcgccccaccaggcgtcaagtggaaatccgttgcgaaatgcggcagtgcgaaggac
Pez-cebra-b	aggacatcaccggcggctctaagggtgcgtcagtcgcagattgagcagtgtaaagtca
Trucha	gggacatcacaccaccggaggttagaggtgagctgcgagatcccgcagtgcgcacgagt
	* * * * * * * * * * * * * * *
Humano	ACGCGGCAACAAGGTCTGCAGCCTGCAGTGCAACACCACGCGTGCAGCTGGGACGGCG
Ratón	atgcaggcaataaggctgcacacgcgtgttaataatcgcgcgttggtggatgggt
Rata	atgcaggcaataaggctgcacacgcgtgttaataatcgcgcgttggtggacggcg
Gallo	atgcgtgcgcaataagatctgtgatggaaagtgcacaaccacgcgcgtgggtggacggcg
Rana	tggccgacaacaagatctgcacgcgtcaacaccacgcgcgtgggtggacggcg
Pez-cebra-a	gcggcgaaacgcacatctgtgatgcgtgttaataatcgcgcgttggtggacggcg
Pez-cebra-b	agaaggcacaataagatctgtgacagcgcgtgttaataatcgcgcgttggtggacggcg
Trucha	gggcccgcacaaccatctgtgactcgcgtgtgcacacaccacgcgcgtgggtggacggcg
	* * * * * * * * * * * * * * *
Humano	GTGACTGCTCCCTCAACTTCAATGACCCCTGGAAGAACTGCACGCAGTCAGTGCT
Ratón	gcgactgtccctcaacttcaatgaccccttggaaagaactgcacgcgtctctacagtgt
Rata	gcgactgtccctcaacttcaatgaccccttggaaagaactgcacgcgtctccctgcagtgt
Gallo	gcgactgtcgctcaattcaacgcaccccttggaaagaactgcacgcgtctcactgcagtgt
Rana	gcgactgtctctcaacttcaacgcaccccttggaaagaactgcacgcgtctcgctgcagtgt
Pez-cebra-a	gtgactgtctctgtgatggatggcgcaccccttggcagaactgttagcgcgcgcctgcagtgt
Pez-cebra-b	gkgactgttcgcgtcaacttgcgatggccatggaaagaactgttgcgcgcctgcagtgt
Trucha	gkgactgtcgctcaacttgcgatggccatggcagaactgcgtcgccagctgcgtcgatgt
	* * * * * * * * * * * * * * *
Humano	GGAAGTACTTCAGTGACGGCCACTGTGACAGCCAGTGCAACTCAGCCGGCTGCCCTTTCG
Ratón	ggaagtattttaggcgcggccactgtgacagccagtgcacactcgccggctgccttttg
Rata	ggaagtattttagtgcgcggccactgtgacagccagtgcacactcgccggctgccttttg
Gallo	ggaagtacttcaatgatggcaagtgtgactcgcgtgcacacaacgcgggctgcctgtatg
Rana	ggaatacttcaacgcacggcaatgcgactcgcgtgcacacaactccggctgcctgtacg
Pez-cebra-a	ggaggtacttcaatgatggaaatgtgcgcggccacccatggcgcggctgtctttatg
Pez-cebra-b	ggcgcgtacttcaatgatggaaatgtgcgcggccacccatggcgcggctgtcttctatg
Trucha	ggcgcgtacttcaatgatggaaatgtgcgcggccacccatggcgcggctgtcttctatg
	* * * * * * * * * * * * * * *
Humano	ACGGCTTGTACTGCCAGCGTGCAGGAAAGGCCAGTGCAACCCCCCTGTACGACCAGTACTGCA
Ratón	atggctcgactgccagctcaccggcggacactgtgcacccctgtatgaccagtaactgc
Rata	atggctcgactgccagctcaccggcggacactgtgcacccctgtatgaccagtaactgc
Gallo	atgggttgcactgcgcggcactgtgcacccctgtatgaccagtaactgc
Rana	acggctcgactgcgcggcactgtgcacccctgtatgaccagtaactgc
Pez-cebra-a	acggatttgactgtcagcggctggggacactgtgcacccctgtatgaccagtaactgc
Pez-cebra-b	atgggttgcactgcgcggcactgtgcacccctgtatgaccagtaactgc
Trucha	acggctcgactgcgcggcactgtgcacccctgtatgaccagtaactgc
	* * * * * * * * * * * * * * *
Humano	AGGACCACCTCAGCGACGGCACTGCGACCAGGGCTGCAACAGCGCGAGTGCAGTGGG
Ratón	aggaccacttcagtgtatggccactgcgcggcgtgtacactgtgcgttgtgatggg
Rata	aggaccacttcagtgtatggccactgcgcggcgtgtacactgtgcgttgtgatggg
Gallo	aggaccacttcagtgtatggccactgcgcggcgtgtacactgtgcgttgtgatggg
Rana	gggatcacttcaagacgcggcattgcgcaccaaggctgtacacaacgcaggtgcgaatggg
Pez-cebra-a	gggatcactatgcggacggctactgtgatcggcgtgtacacaacgcaggtgcgaatggg
Pez-cebra-b	aggaccactttgcacacggcgtactgtgacccaggctgtacacaacgcaggtgcgaatggg
Trucha	aggaccactacgcggacggccactgcgcaccagggttgcacacaacgcaggtgcgaatggg
	* * * * * * * * * * * * * * *

**Anexo 2b.** continuación

**Anexo 2b.** continuación

**Anexo 2b.** continuación

**Anexo 2b.** continuación

Humano	TCTCCGACTTCATCTACCAGGGCGCCAGCCTGCACAACCAGACAGACCGCACGGGCGAGA
Ratón	tctctgacttcatctaccaggcgccagcttgcacaaccagacagaccgcacccgggaga
Rata	tctccgacttcatctatcaggggtccagcttgcacaaccagacggaccgcacaggggaga
Gallo	tctcagattcatctaccaggcgccagttgcacaaccagactgaccgcacccggcgaga
Rana	tttccgacttcatcgggcagggcgcccaactgcataacccaaaccgaccgcacccggcgaga
Pez-cebra-a	tcacagattttatttatcacggagccaacctgcacaatcagacagaccgcacaggcgaga
Pez-cebra-b	tcaatgacttcatctatcagggcgccaaaccttcataaccagacagaccgcacgggtgaga
Trucha	tctctgacttcatctaccagggtccaaacctgcacaaccagacggaccgcacaggcgaga
	*
Humano	CCGCCTTGCACCTGGCCGCCGCTACTCACGCTCTGATGCCGCCAAGCGCCTGCTGGAGG
Ratón	ccgccttgacttggctggccgatactctcggttagatgcggccatgcggccatgtggagg
Rata	ctggccctgcacctggctggccgatactctcggttagatgcggccatgcggccatgtggagg
Gallo	ccgcgtgcacctggctggccgatactcgccgtccgcacgcgtgcggccatgcggccatgtggagg
Rana	cggcgccatgcacctggccggccgatacgcgtcgccgcacgcgtgcggccatgcggccatgtggagg
Pez-cebra-a	ccgcacttcatctggcagcacatacgccgtcgatgcgtgcggccatgcggccatgtggagg
Pez-cebra-b	cggctctacacctggctggccgatacgcgtcgccgttagatgcgtgcggccatgcggccatgtggagg
Trucha	ccgctcttcacactggccggccgatacgcgtcgccgttagatgcgtgcggccatgcggccatgtggagg
	*
Humano	CCAGCCGAGATGCCAACATCCAGGACAACATGGGCCACCCCCGTGCATGGGCTGTGT
Ratón	ccagtgcagatgcggccaaacatccaggacaacatggccgtactccgttacatgcggccatgttt
Rata	ccagcgcagatgcggccaaacatccaggacaacatggccgttccatcatgcggccatgttt
Gallo	ccagtgtgtatgcggccaaacatccaggataacatggccgttccatcatgcggccatgttt
Rana	ccagtgcggccaaacgtccggccggccatgcggccatgttt
Pez-cebra-a	ccagtgcggccatgcggccatgtccggccggccatgcggccatgttt
Pez-cebra-b	cgtgcggccatgcggccatgtccggccggccatgcggccatgttt
Trucha	ccagtgcgtatgcggccatgtccggccggccatgcggccatgttt
	*
Humano	CTGCCGACGCACAAGGTGTCTTCAGATCCTGATCCGGAAACCGAGGCCACAGACCTGGATG
Ratón	ctgcagatgtcagggtgtctccagatctgtccggaaacagggccacagatctggatg
Rata	ctgcagacgtcagggtgtctccagatctgtccggaaacagggccacagatctggatg
Gallo	ctgctgtatgcggccaaaggagtctccagatctgtccggaaacagggccactgtcgatg
Rana	ccggccacgtcagggtgtatccagatctgtccggaaacagggccactgtcgatg
Pez-cebra-a	ctgctgtatgcacagggagtctccagatctgtccggaaacagggccactgtcgatg
Pez-cebra-b	ctgctgtatgcggccaaaggcgtctccagatctgtccggaaacagggccactgtcgatg
Trucha	ctgcagacgcacagggagtctccagatctgtccggaaacagggccactgtcgatg
	*
Humano	CCCGCATGCATGATGGCACGACGCCACTGATCCTGGCTGCCGCCCTGGCGTGGAGGGCA
Ratón	cccgaatgcgtatggccacaactccactgtatccgtggccgtggccgtggaggcca
Rata	cccgaatgcgtatggccacaacccctctgtatccgtggccgtggccgtggaggcca
Gallo	cccgaatgcacgtggccacgcacccactgtatccgtggccgtggccgtggaggcca
Rana	cccgaatgtgcacggccacgcacccctctgtatccgtggccgtggccgtggaggcca
Pez-cebra-a	cccgcatgcgtatggccacgcacccgtgtatccgtggccacccgtatggccgtggaggcca
Pez-cebra-b	cccgcatgcgtatggccaccacccctctgtatccgtggccacccgtatggccgtggaggcca
Trucha	cccgcatgcgtatggccacaactccctgtatccgtggccacccgtatggccgtggaggcca
	****
Humano	TGCTGGAGGACCTCATCAACTCACAGGCCAGTCAACGCCGTAGATGACCTGGCAAGT
Ratón	tgctggaggacactcatcaactcacatgtgcgtcaatgcgtggatgcactaggcaagt
Rata	tgcttagaggacactcatcaactctcgtcgatgtcaatgtgtggatgcactaggcaagt
Gallo	tgctggaggacactcatcaactgcgtcgacgtcaacgcgtgtggatgcactggcaagt
Rana	tggtggaggagtttaactcaactgcgtcgacgtcaatgtgtggatgcactggcaagt
Pez-cebra-a	tggtggaggagttcaactactgcgtcgacgtcaatgtgtggatgcactggcaagt
Pez-cebra-b	tggtggaggactcatcaactgcgtcgacgtcaatgtgtggatgcactggcaagt
Trucha	tggtggaggactcatcaactgcgtcgacgtcaatgtgtggatgcactggcaagt
	***

**Anexo 2b.** continuación

**Anexo 2b.** continuación

Humano	AGCCCCGGCGTGCAGGGCAAGAAGGTCCGCAAGGCCAGCAGCAAAGGCCCTGGCTGTGAA
Ratón	agtctgccacacagggcaagaaggcccgaagcccagcacaaagggtggcttggtta
Rata	agtctgccacacagggcaagaaggcccgaagcccagcacaaagggtggcttgacta
Gallo	agccggggcgtgcaggcaagaaggcccaggaagggcagcacaaagggtggcttgacta
Rana	agcccttcgtccagagcaagaaggcccgtaaagcccagcatcaaggcaacggctgcaaa
Pez-cebra-a	---acaacaacacaggctaagaaaacacgcacaaacccggaggaaagggtttggagggaa
Pez-cebra-b	agccctcggtgcaaaagcaaaaaacctcgtaagcccagcaactaaaggcatcggtgcaaa
Trucha	agcccaccgcggggcaagaagggtccgcaagccaggctctggaggg-----aaggatg
	*** * * * * * * *
Humano	GCAAGGAGGCCAAGGACCTAAGGCACGGAGGAAGAAGTCCCAGGACGGCAAGGG-----
Ratón	gcaaggaagctaaggacctaaggcacggagaaaggatcccaggatggcaaggg-----
Rata	gcaaggaagctaaggacctaaggcccggaggaagaaggatcccaggatggcaaggg-----
Gallo	gcaaggattccaagacctaaggggaggaaaaatcacaagatggaaaagg-----
Rana	-----aagcgaaggagctgaaaagccaggagaaaaatctcaagacggaaaaacgagtc
Pez-cebra-a	ac---agcgggaaggacatcagaacaaaagaaaaagagcggaga-----tggcaaaa
Pez-cebra-b	ac-----ggcaaatgatgaaagtcaaaaagaagaagcgcacggaaagggtggcaagg-----
Trucha	gt-----ggcaaatgatgaggatacggagaagaagtccctggacggaaagggtggcaagg-----
	*** * * * * * * *
Humano	-CTGCCTGCTGGACAGCAGCTCCGCATGCTCTGCCCGTGGACTCCCTGGAGTCACCCCATG
Ratón	-ctgcctgttggacagctcgacatgtcgccctgtggactccccatcgactccccatg
Rata	-ctgcctgttggacagctcaagcatgtcgccctgtggactccccatcgactccccatg
Gallo	-ctgtctgctcgacaactccagcgtgtccccatgtggactccccatcgactccccatg
Rana	tattggattcggcagctccgggtgtgtcccccgtggactcgctggagtcccccacg
Pez-cebra-a	acggcgggattatgaaagtggcgtctcgccgtgtgtcccgatgtcccgatgtccacacg
Pez-cebra-b	-aaactttagacagctcggtgtctctcccggtggatccctagactcgccctcagc
Trucha	-cagtctgctggacagctcgaccgttctcgccgtcgactccctggagtcccccacg
	* * *** * * * * * * * * * * * * * * * *
Humano	GCTACCTGTCAGACGTGGCCTGCCGCACTGCTGCCCTCCCCGTTCCAGCAGTCTCCGT
Ratón	gctacttgtcagatgtggcctcgccaccctcccccattccaggatgtccat
Rata	gctacttgtcagatgtggcctcaccaccctcccccgttccaggatgtccat
Gallo	ggtacctgtccgaegtgcgcctccctccgtatgtacttctccgttccaggatgtccat
Rana	gatacttatcagacgtggccttcctccgttgcgtatgtacatctccgttccaggatgtccat
Pez-cebra-a	gctacccatcagacgtctcgcccccgtatgtacatcacccgttccaggatgtcccg
Pez-cebra-b	ggtatatttcgtacatcgccctcgccaccctccgttgcgtatgtacatcacccgttccagg
Trucha	ggtacctgtcccgacgtggcgtcgccaccaa--tgacatcgccattccaggatgtcccg
	* * *** *
Humano	CCGTGCCCTCAACCACCTGCTGGATGCCGACACCCACCTGGGCATCGGCACCTGA
Ratón	ccatgcctctcagccacgtgcgttatgcctgacactcacctggcatcagccacttg
Rata	ccatgcctctcagccacgtgcgttatgcctgacaccacactggcatcagccacttg
Gallo	ccatgcctctgaaccacgtgcgttatgcctgacccacatgacatcaaccacact
Rana	ccatgcctctgaaccacgtgcgttatgcctgacccacatgacatcaaccacact
Pez-cebra-a	ccatcaacttagctccaggattggccactcccacatgggtggagcttccagg
Pez-cebra-b	ccatgcgtctcaatcagactacaggaaatgtcagacaaccacatggcgtcaggatctt
Trucha	ccatgtttcaaccacgtgcacggcgttgagacagccacgtgggtcagatggc---
	*** * * * * * * * * * * * * * * * * * *
Humano	ACGTGGCGGCCAAGCCCCGAGATGGCGGCCCTGGGTGGGGCGGCCGGCTGGCCTTGAG-
Ratón	atgtggcagccaagccgtgagatggcagcacgtggctggaggtagccgttggcctttag-
Rata	atgtggcagccaagcccgagatggcagctctggccggaggcagccgttggcctttag-
Gallo	acatggcaggaaagcaggagatggccctggcg--gctctggcaggatggccttcag-
Rana	ccatggcacaacaagcaggaaatggcttcaacagaa-----tggcttcac-
Pez-cebra-a	gtttaggaaagcctttgactcccccctgtttatccatctggcgtggccaacaatg
Pez-cebra-b	gaattggcaacaaccaagatcttccatatacagt-----ttgat-
Trucha	--atggcagggcaggacatgggcgtatgccct-----ttgac-----*
	* * * *

**Anexo 2b.** continuación

Humano	ACTGGCCCACCTCGTCTCTCCACCTGCCCTGTGGCACCAGCACCGTCCTGGC
Ratón	ccaccccccgcacgcctctccacactgcctgttagcctccagtgccagcacagtgcgtgagt
Rata	ccaccccccgcacgcctctccacactgcctgttagcctccagtgccagcacagtgcgtgagt
Gallo	gcgggtggccgcgcctctgcacactccccgtctccagccccag-----cacc
Rana	ggcatgacgccacgcctgaccatctcaacgtctccagccccag-----aattacc
Pez-cebra-a	tgggtggagctcaaggcaggcgctgtgatggctgcaaaagggtgcagcagcagcagcaac
Pez-cebra-b	ccattgcctccacgtctcactcatcttccggtgccggatcgaacggttaaacgtcatg
Trucha	ccgaaccctccggctgtcccacactgcctgtttccagccccggcagccaggaaaccatc
	* * * * *
Humano	TCCAGCAGCGGAGGGGCCCTGAATTCACTGTGGGCGGGTCCACCAGTTGAATGGTCAA
Ratón	accaatggcacggggctatgaattcacgtgggtgcacccggcaagcttgaatggccag
Rata	accaatggcacaggggctatgaattcacgtgggtgcacccggcaagcttgaatggccag
Gallo	gcatgagcaacgcggccatgtgaatttcctcgctcggcgagctgcggcgtgacggccag
Rana	atcatgaccaacgggtccatgcatttaccgtggagagctccggcgtgacggccaa
Pez-cebra-a	aacaacaacaacacgcaggc-----aggcatgctaattgcataatgcctc
Pez-cebra-b	a-----acggtaaa-----acggtaaa-----cta
Trucha	*
Humano	TGCGAGTGGCTGTCCCGGCTGCAGAGCGGCATGGTGCGAACCAATAACCCCTGC
Ratón	tgtgagtggctcccggttcagaatggcatggtgccagccagtgatcacaccactacgg
Rata	tgtgagtggctcccggttcagaatggcatggtgccagccagtgatcacaccgtaaagg
Gallo	tgcgactggctgagccggctgcagagcggcatggtgacaaaccagtacggccatgcgg
Rana	tgcgactgggttgcacggctgaaaaatggatggtgccagaaccagtacaaacccaatcaga
Pez-cebra-a	tgctactaatatgc-----cacaagtcatggg-----ctatccca
Pez-cebra-b	tgcgaatggctagagcggatgcat-----gaaagcatggc-t-----ccgaaaacca
Trucha	tggccatggatggagctggggaaagaggacagtgtgattggc-actccaggatacaccg
	** *
Humano	GGGAGTGTGGCACCAAGGCCCTGAGCACACAGGCCCTCCCTGCAGCATGGCATGGTA
Ratón	ccgggtgtacgcggggcacactgagcacacaggcagtcggcctccagcatagcatgtat
Rata	ccagggtgtactccgggcacactaaggcacacaggcagtcggcctccagcatgtat
Gallo	ggcggcatgcagccggcacgc---accagcaaggcacacactgcagcagcgtat
Rana	aatggcatccaacaaggcaacg-----cccagcaagcttgcacatgcgttat
Pez-cebra-a	ccat---gcaaaggcagccatgttgtgcaccgtcacatgtatgcggccatcaaaatgc
Pez-cebra-b	gttcacagccatgaaaacgcctcagggtc--aagccacccatcacaatgggttat
Trucha	gttctcgggcagcagggtggcttaacca---aggccctccatgtcccacgttat
	*
Humano	GGCCCGCTGCACA---G-----TAGCCTTGCTGCCAGCGCCCTGTCCCAGAT
Ratón	ggccactacaca---g-----cagcctctccaccaatacctgtccccg--
Rata	ggccgatacaca---g-----cagcctctccaccaatacctgtccccg--
Gallo	agctccctgcaca---a-----cgggctgcccagcaccgcctgtcgagat
Rana	agtcgcctccata---a-----cggttggcggcagcactctgtcccagat
Pez-cebra-a	gcccacatgcagcacaaaacatctgcacacttcctcgggacactgtggctggat
Pez-cebra-b	acgtcacatc-----acaatggcccccctgcacgcctctcaaat
Trucha	gctccctcc-----gcgggtccccactgcaccgcctgtccccgat
	*
Humano	GATGAGCTACCAGGGCTGCCAGCACCCGGCTGCCACCCAGCCTCACCTGGTCAGAC
Ratón	-attatttaccaggcctgccaacacacaggctggcaacacagccatcacctgtgcagac
Rata	-attatctaccaggcctgccaacacacaaggctggcaacacagccccacactgtgcagac
Gallo	gatgagctaccaggccatgcccacccggctggcctccagccccacactgtgcagaa
Rana	gatgacctatcaggccatgccaacacaggatggcaatcagccatctgtatgcagac
Pez-cebra-a	cttc-----agtcaagctcaggacacgc---cattcagaccatctaccgcagga
Pez-cebra-b	gatgaactatcaaaggcatgcagaacacacacctaattgcagcagatgcagcagac
Trucha	catggctatcaggcctgcagaccgcacgcggccccacactcatgcagca
	*
	* * *
	* *
	*

**Anexo 2b.** continuación

Humano	CCAGCAGGTGCAGCCACAAACTTACAGATGCAG-----CAGCAGAACCTGCAGCC
Ratón	ccagcaggtgcagccacagaacttacagtcagg-----cctcagaacctgcagcc
Rata	ccagcaggtgcagccacagaacttacaaatccag-----cctcagaacctgcagcc
Gallo	ccagcagatgcagcagatgcagcagccccgaatgcagccgcagccggaaatgcagccca
Rana	ccagcaaattgcaacagcagcagaacctacagttgcaccagagcgtccagcagcacaaca
Pez-cebra-a	cagcc-----agc-----g-----
Pez-cebra-b	gccgcggccccagcagcagccggcgtccagctgcagagccag-----
Trucha	gatgcactccggc---agaaccccgagctccagcaccagaa-----
	* * *
Humano	AGCAACATCCAGCAGCAGCAAAGCCTGCAGCCGCCACCACACCACAGCCGCACCT
Ratón	a-----ccatcacagccacacct
Rata	a-----ccatcgcagccacacct
Gallo	gcccggcatgcagcagccctcaacagcagccccagcaacagccccagccgcagcagcacca
Rana	t-----caaattcc-----aacg-----
Pez-cebra-a	-----
Pez-cebra-b	-----
Trucha	-----ctcc-----aact
Humano	TGGCGTGAGCTCAGCAGCCAGCGGCCACCTGGGCCGGAGCTTCCTGAGTGGAGAGCCGAG
Ratón	cagtgtgagctcgccagccaatgggcacctgggcggagctttagtggggagcccg
Rata	cagtgtgagctcagcagccaatgggcacctgggcggagctttagtggggagcccg
Gallo	caaccccgctccaacgcagccagccgcacatggccaaaatttcctcggtactgagcttag
Rana	caa-----cttctactcatatcggtccccccttttagcaatgacataaag
Pez-cebra-a	-----ccagaacttcatcggggtgatctggg
Pez-cebra-b	-----ccaccacggctggccaggcttgagccagtttcctgagcagcagcttag
Trucha	-----
Humano	CCAGGCAGACGTGCAGCCACTGGCCCCAGCAGCCTGGCGGTGCACACTATTCTGCCCA
Ratón	tcaggcagatgtacaaccgtggggccacgcgtctgcctgtgcacaccattgtggccca
Rata	ccaggcagacgtacagccgtggggccacgcgtctgcctgtgcacaccattgtggccca
Gallo	ccagccgcacatgcagccgtgagcagcagccatggcgggtgcacaccattgtggccca
Rana	ccagacggacactgcaacaaatgtcgccca-----acaacattctgtgtatgtggccca
Pez-cebra-a	-----
Pez-cebra-b	tggaccggagctccagcagcagccgcagggacagcatgtccatccataataatccccca
Trucha	cggctcggaacctgcagcagggcaacggggtggtcgct-----
Humano	GGAGAGCCCCGCCCTGCCACGTCGCTGCCATCCTCGCTGGTCCCACCCGTGACCGCAGC
Ratón	ggaaaggccaggcccgtcccacatcaactgcacatcctccatggtcccacccatgaccactac
Rata	ggaaaggccaggctcgccacatcaactgcacatcctccatggtcccacccatgaccactac
Gallo	agattcgcagctgcataccacccatctgcgtccctccatgcgcagccatgaccaccac
Rana	ggacactcagatatttacgaaattccctgcctccactcttacgcagtcgttatgccaccac
Pez-cebra-a	-----catggctccctatttctagcac
Pez-cebra-b	ggagaccctagctg-----ctcaaccctgcctctgggtccagcatggccggcac
Trucha	--cggtccccatc-----cacaccatcctccccaggagacccagattctcgccac
	* * *
Humano	CCAGTTCTGACGCCCCCTCGCAGCACAGCTA---CTCCTCGCCTGTGGACAACACCCCC
Ratón	ccagttctgaccctcctccagcacagttactccctccctgtggacaacacacccc
Rata	ccagttctgaccctccttcagcacagctactcatcctcacctgtggacaacacacccc
Gallo	gcagttctgaccctccagcacagct---ttcctccctgtggacaacacacccc
Rana	ccagtttttaacccgccttcagcatagtt---ctcctccctgtggacaacacacgc
Pez-cebra-a	gcagttctgactccgccttcagcatagct---ttctaaccctatggacaac---ac
Pez-cebra-b	gcagttctgacccacccctccagcacagttactccgcattggacgccaataactcc
Trucha	acagttctcaccctccagcacagttactccgcattggacgccaataaga---caacacacc
	***** * *** * * * * * * ***
	*** *

**Anexo 2b.** continuación

Humano	CAGCCACCAGCTACAGGTGCCT---GAGCACCCCTTCCTCACCGTCCCCTGAGTCCCC
Ratón	cagccaccagctgcagggtgcca---gagcaccccttcacccatccctgagtcccc
Rata	cagccaccagctgcagggtgcca---gagcaccccttcacccatccctgagtcccc
Gallo	cagccaccagctcagggtgcc---gaccaccccttcactcccttcggaggtctcc
Rana	gagccatcaactacaaggatcc---gaccacccattttgcgccttcggaggtctcc
Pez-cebra-a	acccaatcaccagcagggtccca---gaccacccgttgcacacccctcgccgggtctcc
Pez-cebra-b	caaccaccaacttcaagtgcctgaccacatccctcacgcacatctccgggtctcc
Trucha	caatcaccagctgcagggtgcct---gaccacccctttaactccctccccggatcccc *
Humano	TGACCAGTGGTCCAGCTCGTCCCCGCATTCAACGTCTCGACTGGTCCGAGGGCGTCTC
Ratón	tgaccagtggtccagctcccccgcattcaacatctgtattggtccgagggcatctc
Rata	tgaccagtggtccagctcccccgcattcaacatctgtattggtccgagggcatctc
Gallo	agaccagtggtcagctccgcggccactcaacgtgtccgactggtccgagggcatctc
Rana	tgaccagtggtcaagctccctccctattgaacatgtctgtattggtccgaaaggatatac
Pez-cebra-a	cgaccaatggtccagctcatccacattcaacttgtctgtattggtccgaaaggatatac
Pez-cebra-b	agaccagtggtccagctcgtcaccaattcaacatgtccgattggtccgagggatatac
Trucha	tgaccaatggtccagctccctccaaattcaaatatgtctgtattggtccgagggatatac ***** *
Humano	CAGCCCTCCCACCAGCATGCAGTCCCAGATCGCCCCGATTCGGAGGCCTTCAAGTAA--
Ratón	cagcccgcaccacccatggcccagatcacccacattccagaggcattaaataaac
Rata	tagcccgcaccacggcatggcccagatcacccacattccagaggcattaaac
Gallo	cagcccccccaccacccatgcagtcggacacatccccggggccttcaagtgaga
Rana	aagcccgcaccacggatgtgcggcaccataccggaaagcttcaaataaaa
Pez-cebra-a	gagcccgcaccacggatgtgcggcaccatattc-----cagaaggccttcaagttag
Pez-cebra-b	cagtcccccaccacccatgcagtcacaaatggacacatggggcggcaattcaagttagaa
Trucha	cagtccccaatggatgtttgcattctccatggacttatccataaccaggtaatgg *
Humano	-----
Ratón	agagatgtggatgcaggaccccagttccgttccaaaggccctgttggagtccttcca
Rata	agagatgtggatgaaggaccccagttccgttccaaagctgttggagtccttcca
Gallo	cccagtggggctcaggactgcagcctgagag-acagtcgttttggatca---ac
Rana	aaaaatgtcaaatatgtttgaa---atttaaagacactg-agagacttttaag
Pez-cebra-a	-----
Pez-cebra-b	caatgagattcgctaa-----atgaaggcacattccataaggcctgttatctg-----aa
Trucha	tggacagaagaacttgtcaatatgaaaacaaaatactttaaatgg-----a
Humano	-----
Ratón	gtgcttcaggatgtgggcgaccaaaggagccctttaaaa---aatgttttataaaaa
Rata	gtgcttcaggatgtgggcgaccaaaggagccctttaaaaaaatgttttataaaaa
Gallo	aggacgtggatgtttatcaaaggatcc---ttttttttaatacgttttataaaaa
Rana	agactgaaggaaa-----ttt-ttat---accgttttatacgta
Pez-cebra-a	-----
Pez-cebra-b	gggtcttatatgccgctt-----gtactaacctttttttt---cttaatttatttgaca
Trucha	--caatggacaagaacatc----ggacctgactgaagattt--tcctttttattacca
Humano	-----
Ratón	ataaggacaagaa-----tttccatttttttt
Rata	ataaggacaagaa-----tttccatttttttt
Gallo	agtaaaaaaaaaaaaaacaaatgtttgtttttttttttttttttttttttttttttt
Rana	aaataacagaacttt-tgaatttcttagtatttatatacg-tttgacccaaacac
Pez-cebra-a	-----
Pez-cebra-b	ttttgttatttatataactgtca-tcatttttttttaatttgggcac
Trucha	-----attttatactaacgacaa-taa-ctttttttatttatgtactttt

**Anexo 2b.** continuación

Humano	-----
Ratón	ttagtattttatgtactttat-tttccacagaaacactgccttttatttat--at
Rata	ttagtattttatgtactttat-tttccacagaaacactgccttttatttat--at
Gallo	taagtattttatgtactttatgttgcacaccagaacactgccttttatttat--at
Rana	tgccttttatttataagcttttttaa--aaaaaaatgtaactttttttt--at
Pez-cebra-a	-----
Pez-cebra-b	aaaacattaaatctaaagt-----cggcatgaaatgaaactaa--aa
Trucha	ttgacatgaagatataaaga-----ag--atgctttatattctgctt
	-----
Humano	-----
Ratón	gtattttctatggcactagg---gaaaaacatatctg-----ttccaagaaa---
Rata	gtattttctatggcactagg---gaaaaac--atctg-----ttccaagaaa---
Gallo	atgttctattgttaagaactcaatg-tgagacaccagggtgt-tgtgtttcgaggaatcgt
Rana	c---ttgcctaataagatatttttgtacaatttatgaaattttctgtatattgaa
Pez-cebra-a	-----
Pez-cebra-b	ttgttgattttcacctaacattacatccgattgaaacg--atttgtgaaataaaaaaaaa
Trucha	ttttaaatttggaaagggaacctggctatgtgtgcgggagattgggacagggcgtcag
	-----
Humano	-----
Ratón	----ataaacttagttctcagagc-----cttgattttcctgtcaggg-
Rata	----ataaacttagttctcagagc-----ctcgattttcctgtcaggg-
Gallo	aaagatgaggttttatggacattcttgcattttgtttttgtgtgtatggat
Rana	aatgacaatgtatattttctatt-----gcccctaaataatatgcaggaacgaacc
Pez-cebra-a	-----
Pez-cebra-b	aaaaa-----gaaaggagtatgtctatctaccgtgacgc--agaggctactgactatgcgaacactggc-
	-----
Humano	-----
Ratón	-tgaagttccctgtgtctgtaaaatatgaaacaa---ggattcatgattgtaaatgc
Rata	-tgaagttccctgtgtttgtaaaatacgaacaa---ggattcatgattgtaaatgc
Gallo	-aggagatgttatgt----gaagctataagcga---ccattcaggattctgcaatgc
Rana	actggaatgtttatggcagaagaa---caaaaa---aaatttagaaatttt-taagat
Pez-cebra-a	-----
Pez-cebra-b	-----tatttatttgggtcttatgttgcctcatcactggatcgtgcaccaatttcactgt
	-----
Humano	-----
Ratón	t-----gtttattttattgat-----tg-----
Rata	c-----gtttattttattgat-----tg-----
Gallo	c-----attaattttatgttgcattttgtttttgttgc
Rana	t-----ttctataaaaatgacatcttgcgtccggatattcatttatagcactaaa
Pez-cebra-a	-----
Pez-cebra-b	-----tttattttggagtgcatgtcattatgatgtttgtataatataattttc---aggg
	-----
Humano	-----
Ratón	----c-----ttctttccaaaatcgaaaaga--aagaaaaaaaagaacgtgacaggag
Rata	----c-----ttctttccaaaatcgcgaga--aagaaaagaaaagaaaaagaaagaa
Gallo	-----ttttttttctctttcaattcgcgaaaagagatgggagaaaagaaaagaggaagaa
Rana	aactatttttttcccgatattatgttaaatcatgtttaaaatattcaacgtt-ttt
Pez-cebra-a	-----
Pez-cebra-b	-----gaat--gtt-----tgttgtaaaagt-----tc-----cag
Trucha	

**Anexo 2b.** continuación

Humano	----- ----- ----- ----- ----- ----- -----
Ratón	aagg-----gaagctg agaaagaagaaaaggaaagaaaaggcatgttagggaaaaaggaggaggagctg aaaaattactaaaaatgccactccatag-gggaaataactgcacgcgtgggtgggtttt ttcaaatgttttaatgtactaaaatttaactgttaaccgtt-----t
Rata	----- ----- -----
Gallo	----- ----- -----
Rana	----- ----- -----
Pez-cebra-a	----- ----- -----
Pez-cebra-b	----- ----- -----
Trucha	tattaattgatttagatgtataaacctcatcttttaactgaagcaagtttactgaa ----- ----- -----
Humano	----- ----- ----- ----- ----- ----- -----
Ratón	gaaactgccatggc-----agaattgccctccccacac---tc----- gaaact-tcctcgccagattcccccagatgctctacccac---tc----- gaaaatgtactttaatgtttcttgctgttatccgagaggacat----tt----- ttaaatttattgtaaaatttca-----aa-----acgc----- ----- ----- ----- ----- ----- -----
Rata	----- ----- ----- ----- ----- ----- -----
Gallo	----- ----- ----- ----- ----- ----- -----
Rana	----- ----- ----- ----- ----- ----- -----
Pez-cebra-a	----- ----- ----- ----- ----- ----- -----
Pez-cebra-b	----- ----- ----- ----- ----- ----- -----
Trucha	ctacaatccatt--aagtcttaaacactgaggatggatgatcgaacctgtgtcttaaagt ----- ----- ----- ----- ----- ----- -----
Humano	----- ----- ----- ----- ----- ----- -----
Ratón	-actgcccctccccccagcgtcac-ctgggatttgcagatgtgttagaaacacgcccag -actgcccctcccccagtgtcac-ctgggatttgcagatgtgttagaaacagggccaag -tatggtaccgctcctgtttaatttcaatagtttgcgttataatagatgtgtata-----ttt -----aaccgttatt ----- ----- ----- ----- ----- ----- -----
Rata	----- ----- ----- ----- ----- ----- -----
Gallo	----- ----- ----- ----- ----- ----- -----
Rana	----- ----- ----- ----- ----- ----- -----
Pez-cebra-a	----- ----- ----- ----- ----- ----- -----
Pez-cebra-b	----- ----- ----- ----- ----- ----- -----
Trucha	tgaccaaaatgccacccctgtcagtttttttttttttttttttttttttttttttttttt ----- ----- ----- ----- ----- ----- -----
Humano	----- ----- ----- ----- ----- ----- -----
Ratón	accttgaaccttg-ggttcatggatttgcgttatctaaacagggaaacaagtcatgt accttgaacctcg-ggttcatggatttgcgttatctaaacagggaaacaagtaaaatg gccttggtaatag-gaatttttgttctctcgtttatatatataatataatattatatt atgttt ----- ----- ----- ----- ----- ----- -----
Rata	----- ----- ----- ----- ----- ----- -----
Gallo	----- ----- ----- ----- ----- ----- -----
Rana	----- ----- ----- ----- ----- ----- -----
Pez-cebra-a	----- ----- ----- ----- ----- ----- -----
Pez-cebra-b	----- ----- ----- ----- ----- ----- -----
Trucha	gggattttagaatgggaccagatgagtcc-----cactggaaacttgtt-gtt ----- ----- ----- ----- ----- ----- -----
Humano	----- ----- ----- ----- ----- ----- -----
Ratón	atgtggtttgcgttatccatgttcaatgtgttgcgttatccatgttgcgttatccatgtt atgtggtttgcgttatccatgttgcgttatccatgttgcgttatccatgttgcgttatccatgtt aatgttttttatgttt tt aactgaaatgtggcacggtaatt ----- ----- ----- ----- ----- ----- -----
Rata	----- ----- ----- ----- ----- ----- -----
Gallo	----- ----- ----- ----- ----- ----- -----
Rana	----- ----- ----- ----- ----- ----- -----
Pez-cebra-a	----- ----- ----- ----- ----- ----- -----
Pez-cebra-b	----- ----- ----- ----- ----- ----- -----
Trucha	ttacacatgccttattctacaatggtgttgcactgttattttgcgttttgcgttt ----- ----- ----- ----- ----- ----- -----

**Anexo 2b.** continuación

Humano	-----
Ratón	tccagtgttctgttagtagtgttatggg-----ccttgggagtaacttctcc
Rata	ttcagtgttctgtactagtgttatggc-----ccttgggagtaactactcc
Gallo	acc-----gcagccgccccacagag-----caagaagagcacctgcca
Rana	aacgttttaagctacaagacgaaagtgc当地atcacagggggacgtacgtttgggtctga
Pez-cebra-a	-----
Pez-cebra-b	-----
Trucha	tgtcatttggtagattcccaagtgagtat-----cctctaattcgagga
	-----
Humano	-----
Ratón	cctgccctgccc-----cactgtccccttcc
Rata	cctgccctgccc-t---gccctgcccctgcccctgccc---aactgtccccttcc
Gallo	cgcttctgagg-g---caaagcc-ataagcacgggg-tatggccgaaccc
Rana	cgcattctcaacaggataaaaatcctgaaaaaaaaagac-tatcacctgtgaca
Pez-cebra-a	-----
Pez-cebra-b	-----
Trucha	tgcttttgggtgttatgagagaaggaggtagttcttgc当地gatgacatcac
	-----
Humano	-----
Ratón	tgacaacttgaggccagtaagccatgcagggtgtgtgc当地cttagagaaaa-cactgcct
Rata	tgacatcttgaggccagtaagccaatgcaggactgacactgcct
Gallo	acagccgtggagctcatacacagagcagactgaacttcac-ttc当地aatatctt-tcct
Rana	acaacattttggtaagaaaaaaaaaa-----aa--aa-----
Pez-cebra-a	-----
Pez-cebra-b	-----
Trucha	tgtgcttggtggagcatggatatagggtgttatgtcacattataaactagatcaga
	-----
Humano	-----
Ratón	ggactgttctgtgc当地ccct-ccaaacagcatcatccaaatccaactgaggacagacgga
Rata	ggactgttccgtgc当地ccctgaacagcatcatccaaatccaact---gaggatgga
Gallo	cttttttttagttgtctgtttttttgtgtgc当地ttgagtaactgtc当地agaaagca
Rana	-----
Pez-cebra-a	-----
Pez-cebra-b	-----
Trucha	gaagtgttttaagaaa-tgtatt-----catggc当地tatggacatgcaat
	-----
Humano	-----
Ratón	ctgtcccgccctggccctggctcttaacacactgactgc当地aaaggctcaatgtgc当地
Rata	ctgtccctgc当地ggccctggctctgacatccgactgc当地aaaggctcaatgtgc当地
Gallo	atgc当地at-gtaaactcgtaaccgc当地cttattttaaaggatggctc当地atggtaga
Rana	-----
Pez-cebra-a	-----
Pez-cebra-b	-----
Trucha	gtttgcaaacaaaaag-----tatttccctgtcatat-----tctt
	-----
Humano	-----
Ratón	gtggactcgccagagtagc当地ctgc当地tggactcca-agaaaaacagaagctatgtggc当地
Rata	gtgaactcaccagagc当地gacccctacattgagacctca-agaagatataagctgtgtggc当地
Gallo	ggggatgtctgaaggc当地agacagcccgaggaggtgaggaagccctgc当地agccacggccac
Rana	-----
Pez-cebra-a	-----
Pez-cebra-b	-----
Trucha	cttgattcataaaggcact---ggttaagcttggc-aaaaaa-aaaa-----

**Anexo 2b.** continuación

Humano	-----
Ratón	tgatccccaaactggcctgggtgggacatgccttgagtgtgctggaatgtgggtggagc
Rata	tgatccccaaactggcctgggtgggacgtgccttgagtgtgctggaatgtggcgagc
Gallo	tgggcc-----ggagctggggcagcaca--gcccggctgtgcttggagccactgacgtt
Rana	-----
Pez-cebra-a	-----
Pez-cebra-b	-----
Trucha	-----
	-----
Humano	-----
Ratón	ctgcttcggc---cacccctcctggttcaggcgtgtca---cagcagattcttgc
Rata	ctgccttcggc---cacccctcctggttcaggcggcgtgtca---cagcagattttgc
Gallo	tttgttctggagtgtcatcttttatattgtatgtacactcgttctgttatcctgt
Rana	-----
Pez-cebra-a	-----
Pez-cebra-b	-----
Trucha	-----
	-----
Humano	-----
Ratón	agtatcaagtatacgcctgtggcagaataag-tatctgtaaataca-----
Rata	agtatcaagtatacgcctgtggcagaataag-tatctgtaaataca-----
Gallo	aaaatacagtataagcctgtggcagatttaatgtttgtaaatacgtttgcttttttt
Rana	-----
Pez-cebra-a	-----
Pez-cebra-b	-----
Trucha	-----
	-----
Humano	-----
Ratón	-----tgtttaaagatggattttgtttaaaaatctaaaggaacaagtgt
Rata	-----tgtttaaagggtggattttgtttaaaaatctaaaggaacaagtct
Gallo	ttttttttttttttaaaaagagaagggtggattttgtttcaaaaatctaaatgagcaagtct
Rana	-----
Pez-cebra-a	-----
Pez-cebra-b	-----
Trucha	-----
	-----
Humano	-----
Ratón	gtcgtgtgtcaagctgtatgaggactgtcagactgtggcttagctcagtgtgacccagacc
Rata	gtcccggtcaagctgtatgaggaaatgtcagaccatggctcagtcgggtgtgacccaggcc
Gallo	taaatctatcgaaacgtatgcctttagaggtgttggatctactcgctcg--ggtg
Rana	-----
Pez-cebra-a	-----
Pez-cebra-b	-----
Trucha	-----
	-----
Humano	-----
Ratón	ttgtgacctgttagctgccgaaccagttagctcctaagagcacaaccaggatggcccatct
Rata	ttgtgacctga-----cagtagctcctaagagcacaaccaggatggcccatct
Gallo	caaaggcaagcagacaccctatgactggagctatgg--gacaggcagatagagagcagct
Rana	-----
Pez-cebra-a	-----
Pez-cebra-b	-----
Trucha	-----

**Anexo 2b.** continuación

Humano	-----
Ratón	gctggcccacca-----agtcccttccagccactgtgtct----gg-gggct
Rata	gctgtccacca-----agcccttcccagccactgtgtcgggggaggg-gggct
Gallo	aatccacaaaacctaagaaaagggttcttcc-tcattccttctattagaacaccaa
Rana	-----
Pez-cebra-a	-----
Pez-cebra-b	-----
Trucha	-----
	-----
Humano	-----
Ratón	ttcgggggcagttgccca-----cctcctcagggcagctctt-ctggcctttgggg
Rata	ttcgggggcagctgccta-----cctcctcagggcagctcctc-ctggcctttggga
Gallo	ataaaacggatttcaaagcacagagctttagcactcatcttagtgaacatccaggc
Rana	-----
Pez-cebra-a	-----
Pez-cebra-b	-----
Trucha	-----
	-----
Humano	-----
Ratón	ggcagtgtctgtgccatgcctaatacgatgaccagacgcacccataagatgttgattctt
Rata	agcagtgtctgcgcatacctaatacgatgaccagacacatccataagatgttgattctt
Gallo	cgttgttattgtgacatccctaaatgaggatggattaaaaacatcacgtggtgtgaatctt
Rana	-----
Pez-cebra-a	-----
Pez-cebra-b	-----
Trucha	-----
	-----
Humano	-----
Ratón	actgtgttgcataaaataaagtgttagttacaaaaaaaaaaaaacgtaaaaaaaaaac
Rata	actgtgtttataaaaaaaaatgttagttacagaaaaagaa-----
Gallo	cctatgtttataaactagatgttagttacaaaaagatatcttctgtataaaagttatc
Rana	-----
Pez-cebra-a	-----
Pez-cebra-b	-----
Trucha	-----
	-----
Humano	-----
Ratón	tacatgcaaaaactgttagtaatgaaaatgatgtatTTTTCatTTTTGTTAacta
Rata	-----
Gallo	tacatgcaaa-----
Rana	-----
Pez-cebra-a	-----
Pez-cebra-b	-----
Trucha	-----
	-----
Humano	-----
Ratón	atttgcaataaaaatgataactgtatgggtgtccacatTTTGTCTAAACAAAAAA
Rata	-----
Gallo	-----
Rana	-----
Pez-cebra-a	-----
Pez-cebra-b	-----
Trucha	-----

### Anexo 3a. Alineamiento de la secuencia proteica de SF3B1

Humano	MAKIAKTHEDIEAQIREI QGKKAALDEA---QGVG-LDSTGYYDQE IYGGS---DSRF
Rhesus	MAKIAKTHEDIEAQIREI QGKKAALDEA---QGVG-LDSTGYYDQE IYGGS---DSRF
Vaca	MAKIAKTHEDIEAQIREI QGKKAALDEA---QGVG-LDSTGYYDQE IYGGS---DSRF
Ratón	MAKIAKTHEDIEAQIREI QGKKAALDEA---QGVG-LDSTGYYDQE IYGGS---DSRF
Rata	MAKIAKTHEDIEAQIREI QGKKAALDEA---QGVG-LDSTGYYDQE IYGGS---DSRF
Rana	MAKVAKTHEDIEAQIREI QGKKAALDEE---EGVG-LDSTGYFDQE IYGGS---DSRF
Mosca-a	MENIPRTHEDIEAQISVIQEKKTTELAKTTAAAAGVGLLDSGGFFDSDLYDDDAAKGKGRY
Mosca-b	MENIPRTHEDIEAQISVIQEKKTTELAKTTAAAAGVGLLDSGGFFDSDLYDDDAAKGKGRY * :: :***** * * : * : *** * * * : * : . * :
Humano	AGYVTSIAATELEDDDDDYSSSTSLLGQKKPGYHAPVALLNDIPQSTEQYDPFAEHRRPK
Rhesus	AGYVTSIAATELEDDDDDYSSSTSLLGQKKPGYHAPVALLNDIPQSTEQYDPFAEHRRPK
Vaca	AGYVTSIAATELEDDDDDYSSSTSLLGQKKPGYHAPVALLNDIPQSTEQYDPFAEHRRPK
Ratón	AGYVTSIAATELEDDDDDYSSSTSLLGQKKPGYHAPVALLNDIPQSTEQYDPFAEHRRPK
Rata	AGYVTSIAATELEDDDDDYSSSTSLLGQKKPGYHAPVALLNDIPQSTEQYDPFAEHRRPK
Rana	TGYVTSIAANEQEDDDDVSS--ATFEQKKPGYHAPVALLNDIPQSTEQYDPFAEHRRPK
Mosca-a	EGYNTSIAANDAEEVDEDED -GFPVPQRRTTYPAPASVLKDVTQGKEDVDPMA DRRRPT
Mosca-b	EGYNTSIAANDAEEVDEDED -GFPVPQRRTTYPAPASVLKDVTQGKEDVDPMA DRRRPT * * ***** . : * : * : .. . * : * * . : * : * : * . * : * : * :
Humano	IADREDEYKKHRRTMIIISPERLDPFADGGKTPDPKMNARTYMDVMREQHLTKEEREIRQQ
Rhesus	IADREDEYKKHRRTMIIISPERLDPFADGGKTPDPKMNARTYMDVMREQHLTKEEREIRQQ
Vaca	IADREDEYKKHRRTMIIISPERLDPFADGGKTPDPKMNARTYMDVMREQHLTKEEREIRQQ
Ratón	IADREDEYKKHRRTMIIISPERLDPFADGGKTPDPKMNARTYMDVMREQHLTKEEREIRQQ
Rata	IADREDEYKKHRRTMIIISPERLDPFADGGKTPDPKMNARTYMDVMREQHLTKEEREIRQQ
Rana	IARREDEYKQQRKRMIIISPERLDPFADGGKTPDPKLNARTFKDVMQEQLTKEEREIRQQ
Mosca-a	IADREDEYRQKRRHIIISPERADPFADGGKTPD--VGSRTYTDIMREQMLKGEESELRRR
Mosca-b	IADREDEYRQKRRHIIISPERADPFADGGKTPD--VGSRTYTDIMREQMLKGEESELRRR * :***** : * :***** * :***** : . : * : * : * : * . * : * : * :
Humano	LAEKAKAGELKVVNGAA---AS---QPPSKRKRRWDQTADQTPGATPKKLSSWDQAE-
Rhesus	LAEKAKAGELKVVNGAA---AS---QPPSKRKRRWDQTADQTPGATPKKLSSWDQAE-
Vaca	LAEKAKAGELKVVNGAA---AS---QPPSKRKRRWDQTADQTPGATPKKLSSWDQAE-
Ratón	LAEKAKAGELKVVNGAA---AS---QPPSKRKRRWDQTADQTPGATPKKLSSWDQAE-
Rata	LAEKAKAGELKVVNGAA---AS---QPPSKRKRRWDQTADQTPGATPKKLSSWDQAE-
Rana	IAEKAKSGDLKVVNGSSASSAA----QPPSKRKRRWDQTGDQTPGSTPKKLSSWDQAEV
Mosca-a	ILEKTKEGTLVKTVTSSSTSNGDLPAPKDGGRKRGRWDQTVSDSFIPAKMATPSSAATPT
Mosca-b	ILEKTKEGTLVKTVTSSSTSNGDLPAPKDGGRKRGRWDQTVSDSFIPAKMATPSSAATPT . : * : * * . . : . : . : . : * : * : * : * : :
Humano	TPGHTP-SLRWDETPGRAKGSETPGATPG--SKIWDPTPSHTPAGAATPGRGDTPGHATP
Rhesus	TPGHTP-SLRWDETPGRAKGSETPGATPG--SKIWDPTPSHTPAGAATPGRGDTPGHATP
Vaca	TPGHTP-SLRWDETPGRAKGSETPGATPG--SKIWDPTPSHTPAGAATPGRGDTPGHATP
Ratón	TPGHTP-SLRWDETPGRAKGSETPGATPG--SKIWDPTPSHTPAGAATPGRGDTPGHATP
Rata	TPGHTP-SLRWDETPGRAKGSETPGATPG--SKIWDPTPSHTPAGAATPGRGDTPGHATP
Rana	TPGHTPSSLRWDETPGRAKGNETPGATPG--SKIWDPTPSHTPAGVATPGRGDTPGHVTP
Mosca-a	WEDKTPGDHRWDETPGH-KGSETPGATPGLGTRIWDATPAHA-----VTPGHETP
Mosca-b	WEDKTPGDHRWDETPGH-KGSETPGATPGLGTRIWDATPAHA-----VTPGHETP . : * : . * : * : * : * : * : * : * : * : * : * : * : * : * : * : * :

(\*) residuos iguales (.,:) residuos químicamente equivalentes

**Anexo 3a.** continuación

Humano	GHGGATSSARKNRWDETPKTERDTPGHGSGWAETPRTDRGGD-----SIGETPTPGASKR
Rhesus	GHGGATSSARKNRWDETPKTERDTPGHGSGWAETPRTDRGGD-----SIGETPTPGASKR
Vaca	GHGGATSSARKNRWDETPKTERDTPGHGSGWAETPRTDRGGD-----SIGETPTPGASKR
Ratón	GHGGATSSARKNRWDETPKTERDTPGHGSGWAETPRTDRGGD-----SIGETPTPGASKR
Rata	GHGGATSSARKNRWDETPKTERDTPGHGSGWAETPRTDRGGD-----SIGETPTPGASKR
Rana	GHSGATSSARKNRWDETPKTERDTPGHGSGWAETPRTDRGGD-----SIGETPTPGASKR
Mosca-a	GHE---KSARRNRWDETPKTERETPGH-SGWAETPKPDRTGSGGGAESISIESTPGASKR
Mosca-b	GHE---KSARRNRWDETPKTERETPGH-SGWAETPKPDRTGSGGGAESISIESTPGASKR
	*** . * *** : *****:***** : *** * *****: * * . * *****
Humano	KSRWDETPASQMG-----GSTPVLTP-GKTPIGTPAMNMA
Rhesus	KSRWDETPASQMG-----GSTPVLTP-GKTPIGTPAMNMA
Vaca	KSRWDETPASQMG-----GSTPVLTP-GKTPIGTPAMNMA
Ratón	KSRWDETPASQMG-----GSTPVLTP-GKTPIGTPAMNMA
Rata	KSRWDETPASQMG-----GSTPVLTP-GKTPIGTPAMNMA
Rana	KSRWDETPASQMG-----GSTPVLTP-GKTPIGTPAMNMA
Mosca-a	RSRWDETPSNATPAITPTNASAMTPNMTPSMTPHVTPGHATPMLTPGGSTPIGVKAMAMA
Mosca-b	RSRWDETPSNATPAITPTNASAMTPNMTPSMTPHVTPGHATPMLTPGGSTPIGVKAMAMA
	:*****: . *** * . ****. *** **
Humano	TPTPGHIMSMTPEQLQAWRWEREIDERNRPLSDEELDAMFPEGYKVLPPPAGYVPIRTPA
Rhesus	TPTPGHIMSMTPEQLQAWRWEREIDERNRPLSDEELDAMFPEGYKVLPPPAGYVPIRTPA
Vaca	TPTPGHIMSMTPEQLQAWRWEREIDERNRPLSDEELDAMFPEGYKVLPPPAGYVPIRTPA
Ratón	TPTPGHIMSMTPEQLQAWRWEREIDERNRPLSDEELDAMFPEGYKVLPPPAGYVPIRTPA
Rata	TPTPGHIMSMTPEQLQAWRWEREIDERNRPLSDEELDAMFPEGYKVLPPPAGYVPIRTPA
Rana	TPTPGHIMSMTPEQLQAWRWEREIDERNRPLSDEELDAMFPEGYKVLPPPAGYVPIRTPA
Mosca-a	TPSAGALAAMTPEQLOQAYRWEKEIDERNRPYTDEELDQIFPPGYKILPPPAGYVPLRTPG
Mosca-b	TPSAGALAAMTPEQLOQAYRWEKEIDERNRPYTDEELDQIFPPGYKILPPPAGYVPLRTPG
	*** : * : :*****:*** :***** :***** :** *** :*****:*** .
Humano	RKL TATPTPLGGM-TGFHMQTEDRTMKS VNDQ PSG-NLPFLKPDDI QYFDKLLVDVDEST
Rhesus	RKL TATPTPLGGM-TGFHMQTEDRTMKS VNDQ PSG-NLPFLKPDDI QYFDKLLVDVDEST
Vaca	RKL TATPTPLGGM-TGFHMQTEDRTMKNVNDQ PSG-NLPFLKPDDI QYFDKLLVDVDEST
Ratón	RKL TATPTPLGGM-TGFHMQTEDRTMKS VNDQ PSG-NLPFLKPDDI QYFDKLLVDVDEST
Rata	RKL TATPTPLGGM-TGFHMQTEDRTMKS VNDQ PSG-NLPFLKPDDI QYFDKLLVDVDEST
Rana	RKL TATPTPLGGM-TGFHMQTEDRTMKS VNDQ PSG-NLPFLKPDDI QYFDKLLVDVDEST
Mosca-a	RKL MATPTPIAGTPAGFFIQVEDKNAKFMDNQPKGQNLPFMKPEDAQYFDKLLVDVNEDS
Mosca-b	RKL MATPTPIAGTPAGFFIQVEDKNAKFMDNQPKGQNLPFMKPEDAQYFDKLLVDVNEDS
	*** : . * : * . : . * : . : : * . : * : * : * : * : * : * : * : * . :
Humano	LSPEEQKERKIMKLLLKIKNGT PPMRKAALRQITDKAREFGAGPLFNQILPLLLSPTLED
Rhesus	LSPEEQKERKIMKLLLKIKNGT PPMRKAALRQITDKAREFGAGPLFNQILPLLLSPTLED
Vaca	LSPEEQKERKIMKLLLKIKNGT PPMRKAALRQITDKAREFGAGPLFNQILPLLLSPTLED
Ratón	LSPEEQKERKIMKLLLKIKNGT PPMRKAALRQITDKAREFGAGPLFNQILPLLLSPTLED
Rata	LSPEEQKERKIMKLLLKIKNGT PPMRKAALRQITDKAREFGAGPLFNQILPLLLSPTLED
Rana	LSPEEQKERKIMKLLLKIKNGT PPMRKAALRQITDKAREFGAGPLFNQILPLLLSPTLED
Mosca-a	LSPEELKERKIMKLLLTIKNGSPPMRKSALRQITDKAREFGAGPLFNQILPLLLSPTLED
Mosca-b	LSPEELKERKIMKLLLTIKNGSPPMRKSALRQITDKAREFGAGPLFNQILPLLLSPTLED
	***** :***** . :***** :***** :***** :***** :***** :***** :*****

**Anexo 3a.** continuación

Humano	Q <b>E</b> RHLLVKVIDRILYK <b>L</b> DDL <b>L</b> V <b>R</b> PYV <b>H</b> KILVVIEPLLIDEDYYARVEGREIISNLAKAAGL
Rhesus	Q <b>E</b> RHLLVKVIDRILYK <b>L</b> DDL <b>L</b> V <b>R</b> PYV <b>H</b> KILVVIEPLLIDEDYYARVEGREIISNLAKAAGL
Vaca	Q <b>E</b> RHLLVKVIDRILYK <b>L</b> DDL <b>L</b> V <b>R</b> PYV <b>H</b> KILVVIEPLLIDEDYYARVEGREIISNLAKAAGL
Ratón	Q <b>E</b> RHLLVKVIDRILYK <b>L</b> DDL <b>L</b> V <b>R</b> PYV <b>H</b> KILVVIEPLLIDEDYYARVEGREIISNLAKAAGL
Rata	Q <b>E</b> RHLLVKVIDRILYK <b>L</b> DDL <b>L</b> V <b>R</b> PYV <b>H</b> KILVVIEPLLIDEDYYARVEGREIISNLAKAAGL
Rana	Q <b>E</b> RHLLVKVIDRILYK <b>L</b> DDL <b>L</b> V <b>R</b> PYV <b>H</b> KILVVIEPLLIDEDYYARVEGREIISNLAKAAGL
Mosca-a	Q <b>E</b> RHLLVKVIDRVL <b>Y</b> K <b>L</b> DDL <b>L</b> V <b>R</b> PYV <b>H</b> KILVVIEPLLIDEDHYARIEGREIISNLAKAAGL
Mosca-b	Q <b>E</b> RHLLVKVIDRVL <b>Y</b> K <b>L</b> DDL <b>L</b> V <b>R</b> PYV <b>H</b> KILVVIEPLLIDEDHYARIEGREIISNLAKAAGL
	***** : ***** : ***** : ***** : *****
Humano	ATMISTMRPDIDNMDEYVRNTT <b>A</b> RAFAVVASALGIPSLLPFLKAV <b>C</b> SK <b>S</b> W <b>Q</b> ARHTGIK
Rhesus	ATMISTMRPDIDNMDEYVRNTT <b>A</b> RAFAVVASALGIPSLLPFLKAV <b>C</b> SK <b>S</b> W <b>Q</b> ARHTGIK
Vaca	ATMISTMRPDIDNMDEYVRNTT <b>A</b> RAFAVVASALGIPSLLPFLKAV <b>C</b> SK <b>S</b> W <b>Q</b> ARHTGIK
Ratón	ATMISTMRPDIDNMDEYVRNTT <b>A</b> RAFAVVASALGIPSLLPFLKAV <b>C</b> SK <b>S</b> W <b>Q</b> ARHTGIK
Rata	ATMISTMRPDIDNMDEYVRNTT <b>A</b> RAFAVVASALGIPSLLPFLKAV <b>C</b> SK <b>S</b> W <b>Q</b> ARHTGIK
Rana	ATMISTMRPDIDNMDEYVRNTT <b>A</b> RAFAVVASALGIPSLLPFLKAV <b>C</b> SK <b>S</b> W <b>Q</b> ARHTGIK
Mosca-a	ATMISTMRPDIDNIDEYVRNTT <b>A</b> RAFAVVASALGIPSLLPFLKAV <b>C</b> SK <b>S</b> W <b>Q</b> ARHTGIK
Mosca-b	ATMISTMRPDIDNIDEYVRNTT <b>A</b> RAFAVVASALGIPSLLPFLKAV <b>C</b> SK <b>S</b> W <b>Q</b> ARHTGIK
	***** : ***** : ***** : *****
Humano	IVQQIAILM <b>G</b> CAILPHL <b>R</b> SLVE <b>I</b> IEHGL <b>V</b> D <b>E</b> QQ <b>K</b> VRT <b>I</b> S <b>A</b> LA <b>A</b> LA <b>E</b> AA <b>T</b> PYGIESFDS
Rhesus	IVQQIAILM <b>G</b> CAILPHL <b>R</b> SLVE <b>I</b> IEHGL <b>V</b> D <b>E</b> QQ <b>K</b> VRT <b>I</b> S <b>A</b> LA <b>A</b> LA <b>E</b> AA <b>T</b> PYGIESFDS
Vaca	IVQQIAILM <b>G</b> CAILPHL <b>R</b> SLVE <b>I</b> IEHGL <b>V</b> D <b>E</b> QQ <b>K</b> VRT <b>I</b> S <b>A</b> LA <b>A</b> LA <b>E</b> AA <b>T</b> PYGIESFDS
Ratón	IVQQIAILM <b>G</b> CAILPHL <b>R</b> SLVE <b>I</b> IEHGL <b>V</b> D <b>E</b> QQ <b>K</b> VRT <b>I</b> S <b>A</b> LA <b>A</b> LA <b>E</b> AA <b>T</b> PYGIESFDS
Rata	IVQQIAILM <b>G</b> CAILPHL <b>R</b> SLVE <b>I</b> IEHGL <b>V</b> D <b>E</b> QQ <b>K</b> VRT <b>I</b> S <b>A</b> LA <b>A</b> LA <b>E</b> AA <b>T</b> PYGIESFDS
Rana	IVQQIAILM <b>G</b> CAILPHL <b>R</b> SLVE <b>I</b> IEHGL <b>V</b> D <b>E</b> QQ <b>K</b> VRT <b>I</b> S <b>A</b> LA <b>A</b> LA <b>E</b> AA <b>T</b> PYGIESFDS
Mosca-a	IVQQIAILM <b>G</b> CAILPHL <b>K</b> ALVE <b>I</b> IEHGL <b>V</b> D <b>E</b> QQ <b>K</b> VRT <b>I</b> T <b>A</b> LA <b>A</b> LA <b>E</b> AA <b>T</b> PYGIESFDS
Mosca-b	IVQQIAILM <b>G</b> CAILPHL <b>K</b> ALVE <b>I</b> IEHGL <b>V</b> D <b>E</b> QQ <b>K</b> VRT <b>I</b> T <b>A</b> LA <b>A</b> LA <b>E</b> AA <b>T</b> PYGIESFDS
	***** : ***** : ***** : *****
Humano	VLKPLWKG <b>I</b> RQH <b>R</b> G <b>K</b> GLAAFL <b>K</b> AI <b>G</b> Y <b>L</b> IP <b>L</b> MD <b>A</b> E <b>Y</b> AN <b>Y</b> T <b>R</b> EV <b>M</b> L <b>L</b> IR <b>F</b> QS <b>P</b> DE <b>E</b> M <b>KK</b>
Rhesus	VLKPLWKG <b>I</b> RQH <b>R</b> G <b>K</b> GLAAFL <b>K</b> AI <b>G</b> Y <b>L</b> IP <b>L</b> MD <b>A</b> E <b>Y</b> AN <b>Y</b> T <b>R</b> EV <b>M</b> L <b>L</b> IR <b>F</b> QS <b>P</b> DE <b>E</b> M <b>KK</b>
Vaca	VLKPLWKG <b>I</b> RQH <b>R</b> G <b>K</b> GLAAFL <b>K</b> AI <b>G</b> Y <b>L</b> IP <b>L</b> MD <b>A</b> E <b>Y</b> AN <b>Y</b> T <b>R</b> EV <b>M</b> L <b>L</b> IR <b>F</b> QS <b>P</b> DE <b>E</b> M <b>KK</b>
Ratón	VLKPLWKG <b>I</b> RQH <b>R</b> G <b>K</b> GLAAFL <b>K</b> AI <b>G</b> Y <b>L</b> IP <b>L</b> MD <b>A</b> E <b>Y</b> AN <b>Y</b> T <b>R</b> EV <b>M</b> L <b>L</b> IR <b>F</b> QS <b>P</b> DE <b>E</b> M <b>KK</b>
Rata	VLKPLWKG <b>I</b> RQH <b>R</b> G <b>K</b> GLAAFL <b>K</b> AI <b>G</b> Y <b>L</b> IP <b>L</b> MD <b>A</b> E <b>Y</b> AN <b>Y</b> T <b>R</b> EV <b>M</b> L <b>L</b> IR <b>F</b> QS <b>P</b> DE <b>E</b> M <b>KK</b>
Rana	VLKPLWKG <b>I</b> RQH <b>R</b> G <b>K</b> GLAAFL <b>K</b> AI <b>G</b> Y <b>L</b> IP <b>L</b> MD <b>A</b> E <b>Y</b> AN <b>Y</b> T <b>R</b> EV <b>M</b> L <b>L</b> IR <b>F</b> QS <b>P</b> DE <b>E</b> M <b>KK</b>
Mosca-a	VLKPLWKG <b>I</b> RTH <b>R</b> G <b>K</b> GLAAFL <b>K</b> AI <b>G</b> Y <b>L</b> IP <b>L</b> MD <b>A</b> E <b>Y</b> AN <b>Y</b> T <b>R</b> EV <b>M</b> L <b>L</b> IR <b>F</b> QS <b>P</b> DE <b>E</b> M <b>KK</b>
Mosca-b	VLKPLWKG <b>I</b> RTH <b>R</b> G <b>K</b> GLAAFL <b>K</b> AI <b>G</b> Y <b>L</b> IP <b>L</b> MD <b>A</b> E <b>Y</b> AN <b>Y</b> T <b>R</b> EV <b>M</b> L <b>L</b> IR <b>F</b> QS <b>P</b> DE <b>E</b> M <b>KK</b>
	***** : ***** : ***** : *****
Humano	IVLKVVK <b>Q</b> CCGT <b>D</b> G <b>V</b> E <b>A</b> NY <b>I</b> K <b>T</b> E <b>I</b> L <b>P</b> FF <b>K</b> HFW <b>Q</b> H <b>R</b> MA <b>L</b> D <b>R</b> RR <b>N</b> <b>Y</b> <b>R</b> QL <b>V</b> D <b>T</b> <b>T</b> <b>V</b> E <b>L</b> <b>A</b> N <b>K</b> <b>V</b> <b>G</b> <b>A</b>
Rhesus	IVLKVVK <b>Q</b> CCGT <b>D</b> G <b>V</b> E <b>A</b> NY <b>I</b> K <b>T</b> E <b>I</b> L <b>P</b> FF <b>K</b> HFW <b>Q</b> H <b>R</b> MA <b>L</b> D <b>R</b> RR <b>N</b> <b>Y</b> <b>R</b> QL <b>V</b> D <b>T</b> <b>T</b> <b>V</b> E <b>L</b> <b>A</b> N <b>K</b> <b>V</b> <b>G</b> <b>A</b>
Vaca	IVLKVVK <b>Q</b> CCGT <b>D</b> G <b>V</b> E <b>A</b> NY <b>I</b> K <b>T</b> E <b>I</b> L <b>P</b> FF <b>K</b> HFW <b>Q</b> H <b>R</b> MA <b>L</b> D <b>R</b> RR <b>N</b> <b>Y</b> <b>R</b> QL <b>V</b> D <b>T</b> <b>T</b> <b>V</b> E <b>L</b> <b>A</b> N <b>K</b> <b>V</b> <b>G</b> <b>A</b>
Ratón	IVLKVVK <b>Q</b> CCGT <b>D</b> G <b>V</b> E <b>A</b> NY <b>I</b> K <b>T</b> E <b>I</b> L <b>P</b> FF <b>K</b> HFW <b>Q</b> H <b>R</b> MA <b>L</b> D <b>R</b> RR <b>N</b> <b>Y</b> <b>R</b> QL <b>V</b> D <b>T</b> <b>T</b> <b>V</b> E <b>L</b> <b>A</b> N <b>K</b> <b>V</b> <b>G</b> <b>A</b>
Rata	IVLKVVK <b>Q</b> CCGT <b>D</b> G <b>V</b> E <b>A</b> NY <b>I</b> K <b>T</b> E <b>I</b> L <b>P</b> FF <b>K</b> HFW <b>Q</b> H <b>R</b> MA <b>L</b> D <b>R</b> RR <b>N</b> <b>Y</b> <b>R</b> QL <b>V</b> D <b>T</b> <b>T</b> <b>V</b> E <b>L</b> <b>A</b> N <b>K</b> <b>V</b> <b>G</b> <b>A</b>
Rana	IVLKVVK <b>Q</b> CCGT <b>D</b> G <b>V</b> E <b>A</b> NY <b>I</b> K <b>T</b> E <b>I</b> L <b>P</b> FF <b>K</b> HFW <b>Q</b> H <b>R</b> MA <b>L</b> D <b>R</b> RR <b>N</b> <b>Y</b> <b>R</b> QL <b>V</b> D <b>T</b> <b>T</b> <b>V</b> E <b>L</b> <b>A</b> N <b>K</b> <b>V</b> <b>G</b> <b>A</b>
Mosca-a	IVLKVVK <b>Q</b> CCAT <b>D</b> G <b>V</b> E <b>P</b> <b>Q</b> <b>I</b> KEE <b>I</b> L <b>P</b> FFF <b>K</b> FF <b>W</b> <b>N</b> <b>H</b> <b>R</b> MA <b>L</b> D <b>R</b> RR <b>N</b> <b>Y</b> <b>R</b> QL <b>V</b> D <b>T</b> <b>T</b> <b>V</b> E <b>I</b> <b>A</b> N <b>K</b> <b>V</b> <b>G</b> <b>A</b>
Mosca-b	IVLKVVK <b>Q</b> CCAT <b>D</b> G <b>V</b> E <b>P</b> <b>Q</b> <b>I</b> KEE <b>I</b> L <b>P</b> FFF <b>K</b> FF <b>W</b> <b>N</b> <b>H</b> <b>R</b> MA <b>L</b> D <b>R</b> RR <b>N</b> <b>Y</b> <b>R</b> QL <b>V</b> D <b>T</b> <b>T</b> <b>V</b> E <b>I</b> <b>A</b> N <b>K</b> <b>V</b> <b>G</b> <b>A</b>
	***** : ***** : ***** : *****

*En negrita posiciones afectadas por las mutaciones en la CLL*

**Anexo 3a.** continuación

Humano	AEEIISRIVDDLKDEAEQYRKVMVETIEKIMGNLGAADIDHKLEEQLIDGILYAFQEQTTE
Rhesus	AEEIISRIVDDLKDEAEQYRKVMVETIEKIMGNLGAADIDHKLEEQLIDGILYAFQEQTTE
Vaca	AEEIISRIVDDLKDEAEQYRKVMVETIEKIMGNLGAADIDHKLEEQLIDGILYAFQEQTTE
Ratón	AEEIISRIVDDLKDEAEQYRKVMVETIEKIMGNLGAADIDHKLEEQLIDGILYAFQEQTTE
Rata	AEEIISRIVDDLKDEAEQYRKVMVETIEKIMGNLGAADIDHKLEEQLIDGILYAFQEQTTE
Rana	AEEIISRIVDDLKDEAEQYRKVMVETIEKIMGNLGAADIDHKLEEQLIDGILYAFQEQTTE
Mosca-a	SEIINRVVDDLKDENEQYRKVMVETVEKIMGNLGAADIDSRLEEQLIDGILYAFQEQTTE
Mosca-b	SEIINRVVDDLKDENEQYRKVMVETVEKIMGNLGAADIDSRLEEQLIDGILYAFQEQTTE
	:*****. * :***** :***** :***** :***** :***** :*****
Humano	DSVMLNGFGTVVNALGKRVKPYLPQICGTVLWRLLNNKSAKVRQQAADLISRTAVVMKTCQ
Rhesus	DSVMLNGFGTVVNALGKRVKPYLPQICGTVLWRLLNNKSAKVRQQAADLISRTAVVMKTCQ
Vaca	DSVMLNGFGTVVNALGKRVKPYLPQICGTVLWRLLNNKSAKVRQQAADLISRTAVVMKTCQ
Ratón	DSVMLNGFGTVVNALGKRVKPYLPQICGTVLWRLLNNKSAKVRQQAADLISRTAVVMKTCQ
Rata	DSVMLNGFGTVVNALGKRVKPYLPQICGTVLWRLLNNKSAKVRQQAADLISRTAVVMKTCQ
Rana	DSVMLNGFGTVVNALGKRVKPYLPQICGTVLWRLLNNKSAKVRQQAADLISRTAVVMKTCQ
Mosca-a	DVVMLNGFGTIVNQLGKRVKPYLPQICGTILWRLLNNKSAKVRQQAADLISRTAVVMKTCQ
Mosca-b	DVVMLNGFGTIVNQLGKRVKPYLPQICGTILWRLLNNKSAKVRQQAADLISRTAVVMKTCQ
	* ***** :** ***** :***** :***** :***** :*****
Humano	EEKLMGHGLGVVLYEYLGEEYPEVLGSILGALKAINVNIGMHKMTPPIKDLLPRLTPILKN
Rhesus	EEKLMGHGLGVVLYEYLGEEYPEVLGSILGALKAINVNIGMHKMTPPIKDLLPRLTPILKN
Vaca	EEKLMGHGLGVVLYEYLGEEYPEVLGSILGALKAINVNIGMHKMTPPIKDLLPRLTPILKN
Ratón	EEKLMGHGLGVVLYEYLGEEYPEVLGSILGALKAINVNIGMHKMTPPIKDLLPRLTPILKN
Rata	EEKLMGHGLGVVLYEYLGEEYPEVLGSILGALKAINVNIGMHKMTPPIKDLLPRLTPILKN
Rana	EEKLMGHGLGVVLYEYLGEEYPEVLGSILGALKAINVNIGMHKMTPPIKDLLPRLTPILKN
Mosca-a	EEKLMGHGLGVVLYEYLGEEYPEVLGSILGALKAINVNIGMTKMTTPPIKDLLPRLTPILKN
Mosca-b	EEKLMGHGLGVVLYEYLGEEYPEVLGSILGALKAINVNIGMTKMTTPPIKDLLPRLTPILKN
	*****
Humano	RHEKVQENCIDLGVRIADRGAEYVSAREWMRICFELLELLKAHKKAIRRATVNTFGYIAK
Rhesus	RHEKVQENCIDLGVRIADRGAEYVSAREWMRICFELLELLKAHKKAIRRATVNTFGYIAK
Vaca	RHEKVQENCIDLGVRIADRGAEYVSAREWMRICFELLELLKAHKKAIRRATVNTFGYIAK
Ratón	RHEKVQENCIDLGVRIADRGAEYVSAREWMRICFELLELLKAHKKAIRRATVNTFGYIAK
Rata	RHEKVQENCIDLGVRIADRGAEYVSAREWMRICFELLELLKAHKKAIRRATVNTFGYIAK
Rana	RHEKVQENCIDLGVRIADRGAEYVSAREWMRICFELLELLKAHKKAIRRATVNTFGYIAK
Mosca-a	RHEKVQENCIDLGVRIADRGPEYVSAREWMRICFELLELLKAHKKAIRRATVNTFGYIAK
Mosca-b	RHEKVQENCIDLGVRIADRGPEYVSAREWMRICFELLELLKAHKKAIRRATVNTFGYIAK
	*****
Humano	AIGPHDVLATLLNNLKVQERQNRVCTTVAIAIVAETCSPFTVLPALMNEYRVPELNVQNG
Rhesus	AIGPHDVLATLLNNLKVQERQNRVCTTVAIAIVAETCSPFTVLPALMNEYRVPELNVQNG
Vaca	AIGPHDVLATLLNNLKVQERQNRVCTTVAIAIVAETCSPFTVLPALMNEYRVPELNVQNG
Ratón	AIGPHDVLATLLNNLKVQERQNRVCTTVAIAIVAETCSPFTVLPALMNEYRVPELNVQNG
Rata	AIGPHDVLATLLNNLKVQERQNRVCTTVAIAIVAETCSPFTVLPALMNEYRVPELNVQNG
Rana	AIGPHDVLATLLNNLKVQERQNRVCTTVAIAIVAETCSPFTVLPALMNEYRVPELNVQNG
Mosca-a	AIGPHDVLATLLNNLKVQERQNRVCTTVAIAIVAESCRPFTVLPALMNEYRVPELNVQNG
Mosca-b	AIGPHDVLATLLNNLKVQERQNRVCTTVAIAIVAESCRPFTVLPALMNEYRVPELNVQNG
	***** :* *****

**Anexo 3a.** continuación

Humano	VLKSLSLFLFEYIGEMGKDYIYAVTPILEDALMDRDLVHRQTASAVVQHMSLGVYGFGCED
Rhesus	VLKSLSLFLFEYIGEMGKDYIYAVTPILEDALMDRDLVHRQTASAVVQHMSLGVYGFGCED
Vaca	VLKSLSLFLFEYIGEMGKDYIYAVTPILEDALMDRDLVHRQTASAVVQHMSLGVYGFGCED
Ratón	VLKSLSLFLFEYIGEMGKDYIYAVTPILEDALMDRDLVHRQTASAVVQHMSLGVYGFGCED
Rata	VLKSLSLFLFEYIGEMGKDYIYAVTPILEDALMDRDLVHRQTASAVVQHMSLGVYGFGCED
Rana	VLKSLSLFLFEYIGEMGKDYIYAVTPILEDALMDRDLVHRQTASAVVQHMSLGVYGFGCED
Mosca-a	VLKSLSLFLFEYIGEMGKDYIYAVCPILLEDALMDRDLVHRQTACSAIKHMSLGVYGFGCED
Mosca-b	VLKSLSLFLFEYIGEMGKDYIYAVCPILLEDALMDRDLVHRQTACSAIKHMSLGVYGFGCED
*****:*****:*****:*****:*****:*****:*****:*****:*****:*****:*****	
Humano	SLNHLLNYVWPNVFETSPHVIQAVMGALEGLRVAIGPCRMLQYCLQGLFH PARKVRDVYW
Rhesus	SLNHLLNYVWPNVFETSPHVIQAVMGALEGLRVAIGPCRMLQYCLQGLFH PARKVRDVYW
Vaca	SLNHLLNYVWPNVFETSPHVIQAVMGALEGLRVAIGPCRMLQYCLQGLFH PARKVRDVYW
Ratón	SLNHLLNYVWPNVFETSPHVIQAVMGALEGLRVAIGPCRMLQYCLQGLFH PARKVRDVYW
Rata	SLNHLLNYVWPNVFETSPHVIQAVMGALEGLRVAIGPCRMLQYCLQGLFH PARKVRDVYW
Rana	SLNHLLNYVWPNVFETSPHVIQAVMGALEGLRVAIGPCRMVQYCLQGLFH PARKVRDVYW
Mosca-a	ALTHLLNYVWPNIFETSPHLVQAFMDSVDGLRVS LGPIKILQYTLQGLFH PARKVRDVYW
Mosca-b	ALTHLLNYVWPNIFETSPHLVQAFMDSVDGLRVS LGPIKILQYTLQGLFH PARKVRDVYW
:*.*****:*****:*****:*****:*****:*****:*****:*****:*****:*****	
Humano	KIYNSIYIGSQDALIAHYPRIYNDDKNTYIRYELDYIL
Rhesus	KIYNSIYIGSQDALIAHYPRIYNDDKNTYIRYELDYIL
Vaca	KIYNSIYIGSQDALIAHYPRIYNDDKNTYIRYELDYIL
Ratón	KIYNSIYIGSQDALIAHYPRIYNDDKNTYIRYELDYIL
Rata	KIYNSIYIGSQDALIAHYPRIYNDDKNTYIRYELDYIL
Rana	KIYNSIYIGSQDALIAHYPRIYNDEKNTYIRYELDYTL
Mosca-a	KIYNSLYIGGQDALIAGYPRITNDPKNQYERYELDYTL
Mosca-b	KIYNSLYIGGQDALIAGYPRITNDPKNQYERYELDYTL
*****:*****:*****:*****:*****:*****:*****:*****:*****:*****	

### **Anexo 3b. Alineamiento de la secuencia CDS de SF3B1**

(\*) *residuos iguales*

**Anexo 3b.** continuación

**Anexo 3b.** continuación

**Anexo 3b.** continuación

Humano	TGGGATGAAACCCCCAAAACAGAGAGAGATACTCCTGGGCATGG-----AAGTGG
Rhesus	tgggatgaaacccccaaaacagagagagatactcctggcatgg-----aagtgg
Vaca	tgggatgagaccccccääacagaaagagatactcctggcatgg-----aagtgg
Ratón	tgggatgagaccccccääacagaaagagatactcctggcatgg-----aagtgg
Rata	tgggatgagaccccccääacagaaagagatactcctggcatgg-----aagtgg
Rana	tgggatgagactcccaaacagaacgtgatactcctggcatgg-----cagtgg
Mosca-a	tgggcccagactccaaagccagatcgcacaggcagtgaggcggcgcggagagcatatca
Mosca-b	tgggcccagactccaaagccagatcgcacaggcagtgaggcggcgcggagagcatatca
	**** * * * * * * *** * *** * *
Humano	AT-----GGGCTGAGACTCCTCGAACAGATCGAGGTGGAGATTCT---ATT
Rhesus	at-----gggctgagactcctcgAACAGATCGAGGTGGAGATTCT---att
Vaca	at-----gggctgagactcctcgAACAGATCGAGGTGGAGATTCC---att
Ratón	at-----gggctgagactcctcgAACAGATCGAGGTGGAGACTCT---att
Rata	gt-----gggctgagactcctcgAACAGATCGAGGTGGAGACTCT---att
Rana	at-----gggcccääacacctcgcacagatcgaggcgggatggattct---att
Mosca-a	atcgagtccaccccccggggctccaaacgtcgctctcgaggcgggatggattct---att
Mosca-b	atcgagtccaccccccggggctccaaacgtcgctctcgaggcgggatggattct---att
	*
Humano	GGTGAAACAC-----CGACTCCTGGAGGCCAG---TAAAAGAAAATCACGGTGG
Rhesus	ggtaaaacac-----cgactcctggagccag---taaaagaaaatcacggtgg
Vaca	ggtaaaacacgc-----caactcctggagccag---taaaagaaaatcacggtgg
Ratón	ggtaaaacac-----caactcctggagcaag---taaaagaaaatctcggtgg
Rata	ggtagagacac-----caactcctggagcaag---taaaagaaaatctcggtgg
Rana	ggagaaaactc-----caactcctggagccag---taaaagaaaatcccggtgg
Mosca-a	gctacgcccggctattactcctacaaatgcgagtgccatgactccaaatatgactcccagt
Mosca-b	gctacgcccggctattactcctacaaatgcgagtgccatgactccaaatatgactcccagt
	*
Humano	GATGAAACACCAGCTAGTCAGATGGGTGGAAGCACTCCAGTTCTGACCCCTGGAAAGACA
Rhesus	gacgaaacaccagctagtcagatgggtgaaagcactccagttctgaccctggaaaaaca
Vaca	gatgaaacaccagctagtcagatgggtgaaagcactccgttctgaccctggaaagaca
Ratón	gatgaaacccggcggagtcataatgggtgaaagcactccgttctgactccaggaaaaaca
Rata	gacgaaacaccagctagtcataatggcggaaagcactccgttctgactccaggaaaaaca
Rana	gatgaaaccctgttagtcagatgggtgttagtactccagtttgacgccaggaaaaact
Mosca-a	atgacgccacatgtgactccggacatgctactccatgctgacgcccggaggcagact
Mosca-b	atgacgccacatgtgactccggacatgctactccatgctgacgcccggaggcagact
	*
Humano	CCAATTGGCACACCAGCCATGAACATGGCTACCCCTACTCCAGGTACATAATGAGTATG
Rhesus	ccaattggcacaccagccatgaacatggctaccctactccaggtcacataatgagtatg
Vaca	ccaattggcacaccagccatgaacatggccaccctactccaggtcacataatgagtatg
Ratón	ccaattggcacaccagccatgaacatggctaccctactccaggtcacataatgagatg
Rata	ccaattggcacaccagccatgaacatggccaccctactccaggtcacataatgagatg
Rana	ccaattggactcctgctatgaacatggcaactccgacaccaggacacattatgagatg
Mosca-a	cctatcgagtcaggcaatggccatggccacccctctggggagctctggctgcgtatg
Mosca-b	cctatcgagtcaggcaatggccatggccacccctctggggagctctggctgcgtatg
	*** *** ***
Humano	ACTCCTGAACAGCTTCAGGCTTGGGGTGGAAAGAGAAATTGATGAGAGAAATCGCCCA
Rhesus	actcctgaacagcttcaggctggcgatggaaagagaaattgtatgagagaaatcgccca
Vaca	actcctgagcagcttcaggctggcggtggagagagaaattgtatgagagaaatcgcccg
Ratón	acacctgaacagcttcaggctggcggtggagagagaaattgtatgagacaaaaccgccc
Rata	actcctgagcagcttcaggctggcggtggagagagaaattgtatgagacaaaaccgccc
Rana	acaccagaacagcttcaggctggagatggagagaaattgtatgagaaagaaaaccgtct
Mosca-a	acaccagaacatgtcaagccatcgctggaaaaggaaaatcgacgagagaaaacaggcca
Mosca-b	acaccagaacatgtcaagccatcgctggaaaaggaaaatcgacgagagaaaacaggcca
	*** *** *** ***

**Anexo 3b.** continuación

**Anexo 3b.** continuación

**Anexo 3b.** continuación

Humano	TCTGCCCTGGGCATTCCTTATTGCCCTTAAAGCTGTGCAAAAGCAAGAAG
Rhesus	tctgccctggcattccttattgccttcttaaaagctgtgtgaaaaggcaagaag
Vaca	tctgctctggcattccttattgccttcttaaaagctgtgtgaaaaggcaagaag
Ratón	tctgccctggcattccttattgccttcttaaaagctgtgtgaaaaggcaagaag
Rata	tctgctctggcattccttattgccttcttgaagctgtgtgaaaaggcaagaag
Rana	tctgccctggattccatcttgcttccttttgaagcagtatgaaaaggcaaaaag
Mosca-a	taagcttggaaattcccttactgccttcttaaaagccgttgcagtcgaaaaaa
Mosca-b	taagcttggaaattcccttactgccttcttaaaagccgttgcagtcgaaaaaa
*** *	
Humano	TCCTGGCAAGCGAGACACACTGGTATTAAGATTGTACAACAGATAGCTATTCTATGGGC
Rhesus	tctggcaagcgagacacactggtattaaagattgtacaacagatagctattcttatggc
Vaca	tctggcaagcgagacacactggtattaaagattgtacaacagatagctattctcatggc
Ratón	tctggcaagcgaggcacactggtattaaagattgtacaacagatagccattctcatggc
Rata	tctggcaagcgaggcacactggtattaaagattgtacaacagatagccattctcatggc
Rana	tctggcaggctgtcatactggattaaaattgtcagcaattgcattctgtatggg
Mosca-a	tctggcaagcgccgacactggcatcaaaattgtccagcaattgcattctgtatggg
Mosca-b	tctggcaagcgccgacactggcatcaaaattgtccagcaattgcattctgtatggg
*** *	
Humano	TGTGCCATCTGCCACATCTTAGAAGTTAGTTGAATCATTGAACTGGTCTGTGGAT
Rhesus	tgtgccatctgccacatcttagaagtttagttgaatcatgtgaacatggcttgtggat
Vaca	tgtgccatctgccacatctcagaagtttagttgaatcatgtgaacatggcttgtggat
Ratón	tgtctatctgccacatctcagaagtttagttgaatcatgtgagcatgtctctgtggat
Rata	tgtctatcttgccacatctaagaagttgtgaaattatgtgaacatgggttgtggat
Rana	tgtctatattggccatcttaagctctgtgagattatcgagcacggactatggac
Mosca-a	tgtctatattggccatcttaagctctgtgagattatcgagcacggactatggac
Mosca-b	tgtctatattggccatcttaagctctgtgagattatcgagcacggactatggac
***** *	
Humano	GAGCAGCAGAAAAGTCGGACCATCAGTGCTTGCCATTGCTGCCATTGGCTGAAGCAGCA
Rhesus	gagcagcagaaaagttcgaccatcagtgcattggcattgtgcattggctgaagcagca
Vaca	gagcagcaaaaagttcgaccatcagtgcattggcattgtgcattggctgaagcagca
Ratón	gagcagcagaaaagttcgaccatcagtgcattggcattgtgcattggctgagggcagca
Rata	gagcagcagaaaagttcgaccatcagtgcattggcattgtgcattggctgagggcagca
Rana	gagcaacagaaaagtcgcaccatcagtgcattggcattgtgcattggcagagggcagct
Mosca-a	gagcagcagaaggtafcgcacaattacagcattggcattgtgcattggcagagggcagcc
Mosca-b	gagcagcagaaggtafcgcacaattacagcattggcattgtgcattggcagagggcagcc
***** *	
Humano	ACTCCTTATGGTATCGAACATTTGATTCTGTGTTAAAGCCTTATGGAAGGGTATCCGC
Rhesus	actccttatggtatcgaatctttgattctgtttaaaaggcttattggaaagggtatccgc
Vaca	actccttatggtatcgaatcttcgattctgtttaaaaggcttatggaaagggtatccgc
Ratón	actccttatggtatcgaatcttcgattctgtcttgcattgtgtcaagcccttatggaaagggtatccgc
Rata	actccttatggtatcgaatcttcgattctgtcttgcattgtgtcaagcccttatggaaagggtatccgc
Rana	actccttatcgaattcattgattcgtcttgcattgtgtcaagccctttggaaagggtattcga
Mosca-a	actccgtacggcattcgaatcttcgattccgtgtcttgcattgtgtcaagccctttggaaagggtattcgc
Mosca-b	actccgtacggcattcgaatcttcgattccgtgtcttgcattgtgtcaagccctttggaaagggtattcgc
***** *	
Humano	CAACACAGAGGAAAGGGTTGGCTGCTTCTGAAGGCTATTGGTATCTTATTCCCTT
Rhesus	caacacagagggattggctgtttcttgcattttcttgcattggctatggatcttattccctt
Vaca	caacacagagggattggctgtttcttgcattttcttgcattggctatggatcttattccctt
Ratón	caacacagagggattggctgtttcttgcattttcttgcattggctatggatcttattccctt
Rata	caacatagagggattggctgtttcttgcattttcttgcattggctatggatcttattccctt
Rana	caacacagagggattggctgtttcttgcattttcttgcattggctatggatcttattccctt
Mosca-a	acgcattcggcaaggattggctgtttcttgcattttcttgcattggctatggatcttattccctt
Mosca-b	acgcattcggcaaggattggctgtttcttgcattttcttgcattggctatggatcttattccctt
*** *	

**Anexo 3b.** continuación

**Anexo 3b.** continuación

**Anexo 3b.** continuación

**Anexo 3b.** continuación

Humano	GCTATTGTTGCAGAAACATGTTCACCCCTTACAGTACTCCCTGCCTTAATGAATGAATAC
Rhesus	gctattgttgcggaaacatgttacccttcacagtactccctgcctaataatgaatgaatac
Vaca	gctatcgctcgtaaaacatgttacccttcacagtactacccctgcctaataatgaatgaatac
Ratón	gccattgttgcgtaaaacatgttcccccttcacagtactccctgcctaataatgaatgaatac
Rata	gccattgttgcgtaaaacatgttacccttcacagtactccctgcctaataatgaatgaatac
Rana	gctatcgttgcagaaacatgttacccttcacagtactccctgcctaataatgaatgaatac
Mosca-a	gccatcgtpggccgagtcttgtcgaccccccgtgtccctgtctgtgaacgagat
Mosca-b	gccatcgtpggccgagtcttgtcgaccccccgtgtccctgtctgtgaacgagat *****
Humano	AGAGTTCCTGAACTGAATGTTAAAATGGAGTGTAAAATCGCTTCCCTTGTGAA
Rhesus	agagttcctgaactgaatgttcaaaatggagtgttaaagtcaacttcccttgcgtttgaa
Vaca	agagttcctgaactgaatgttcaaaatggagtgttaaagtcaacttcccttgcgtttgaa
Ratón	agagttcctgaacttaatgttcaaaatggagtgttaaataactctcccttgcgtttgag
Rata	agagttcctgagcttaatgttcaaaatggagtgttaaataactctcccttgcgtttgag
Rana	agagtgccagaactcaatgttcaaaatggagtgttgaatccctcttgcgtttgaa
Mosca-a	cgagtgcggccgagctcaacgttccagaatggagtgttgaagtcaactcttgcgtttgaa
Mosca-b	cgagtgcggccgagctcaacgttccagaatggagtgttgaagtcaactcttgcgtttgaa *****
Humano	TATATTGGTGAATGGAAAAGACTACATTATGCCGTAACACCCTACTTGAAAGATGCT
Rhesus	tatattggtaaaatggaaaagactacattatgtgttaacaccgttacttgaagatgt
Vaca	tatattggtaaaatggaaaaggactacattatgtgttaacaccactacttggatgt
Ratón	tatatcgccgaaaatggggaaaagactacatctatgtgtgaccccttacttggatgt
Rata	tatatcggtgaaaatggggaaaagactacatctacgtgttaacacccttacttggatgt
Rana	tacattggagaaaatggggaaaaggattatattatgtcagtaacaccactgttgaagatgt
Mosca-a	tacatcgagaaaatggggcaaggattacatatacgcgtctgtccacttgcgttgaagatgt
Mosca-b	tacatcgagaaaatggggcaaggattacatatacgcgtctgtccacttgcgttgaagatgt *****
Humano	TTAATGGATAGAGACCTTGTACACAGACAGACGGCTAGTGCAGTGGTACAGCACATGTCA
Rhesus	ttaatggatagagacccgttacacagacagacggcttagtgcagtggtacagcacatgtca
Vaca	ttaatggatagggacccgttacacagacagacggcttagtgcagtggtgcacacatgtca
Ratón	ttaatggacagggacccgttacacagacagacggcttagtgcagtggtgcacatgtca
Rata	ttaatggatagggacccgttacacagacagacggcttagtgcagtggtacaacacatgtca
Rana	ttaatggacagagatctgtgtcatagacaacggccagtgcagtggtgcacatgtca
Mosca-a	ctcatggaccggagatctgtgtcatagccacccgtctgtccatcaagcatatgtca
Mosca-b	ctcatggaccggagatctgtccacccgtctgtccatcaagcatatgtca *****
Humano	CTTGGGGTTTATGGATTTGGTTGTGAAGATTGCTGAATCAGTGTGAACTATGTATGG
Rhesus	cttggggtttatggattttgtgtgaagattgcgtgaatcaattgttgaactatgtatgg
Vaca	cttggggtttatggattttgtgtgaagattgcgtgaatcaattgttgaactatgtatgg
Ratón	cttgggtttatggattttgtgtgaagattgcgtgaatcaattgttgaactatgtatgg
Rata	cttgggtttatggattttgtgtgaagattgcgtgaatcaattgttgaactatgtatgg
Rana	cttggcgtatatggattttgtgtgaagattgcgtgaatcaattgttgaactatgtatgg
Mosca-a	cttggcgtatatggattttgtgtgaagattgcgtgaatcaattgttgaactatgtatgg
Mosca-b	cttggcgtatatggattttgtgtgaagattgcgtgaatcaattgttgaactatgtatgg *****
Humano	CCCAATGTATTTGAGACATCTCCTCATGTAATTCAAGGCAGTTATGGGAGCCCTAGAGGGC
Rhesus	cccaatgtttgagacatctccatgttaattcaggcagttatgggagccctagagggt
Vaca	cccaatgtttgagacatctcccatgttaattcaggcagttatgggagccctggagggt
Ratón	cctaattgtttgagacatctcccatgttaattcaggcagttatgggagccctggagggt
Rata	cctaattgtttgagacatctcccatgttaattcaggcagttatgggagccctggagggt
Rana	ccaaatgtttgaaaccccccgttaatccaggcgtttatgggagccctggagggt
Mosca-a	ccaaacattttgagacgtccccccatctcgtaacgccttcatggattccgtggacgg
Mosca-b	ccaaacattttgagacgtccccccatctcgtaacgccttcatggattccgtggacgg *****

**Anexo 3b.** continuación

Humano	CTGAGAGTTGCTATTGGACCATGTAGAATGTTGCAATATTGTTACAGGGTCTGTTCAC
Rhesus	ctgagagttgtctattggaccatgtagaatgttcgtattttacagggtctgttcac
Vaca	ctgagagttgtctattggaccatgtagaatgtcgtacagtattgttacagggtctgttcac
Ratón	ctgaggggtgtctattggaccatgcagaatgttcgtattgttacagggtctgttccac
Rata	ctgagagttgtctattggaccatgcagaatgttcgtattgttacagggtctgttccac
Rana	ctgcgagttgcattggcattgttagaaatgttcgtattgttacagggtctgttccat
Mosca-a	ttaagggtgtccctgggaccattaaagatcctgcaatatacgtacaggactttccac
Mosca-b	ttaagggtgtccctgggaccattaaagatcctgcaatatacgtacaggactttccac *
Humano	CCAGCCCCGAAAGTCAGAGATGTATATTGAAAATTACAACCTCATCTACATTGGTTCC
Rhesus	ccagccccggaaagtcaagatgtatattggaaaatttacaactctatctacattgggttcc
Vaca	ccagccccggaaagtcaagatgttattggaaaatttacaactccatctacatcggttca
Ratón	ccagctcgaaagtcaagacgtatattggaaaatttacaactccatctacatggctcc
Rata	ccagctcgaaagtcaagacgtatattggaaaatttacaactccatctacatggctcc
Rana	cctgccagaaaagttagggatgtatactggaaaatatacaattcaatataattggctca
Mosca-a	cccgctcgaaagttagggatgtatactggaaagatctacaattcgctgtacattggaggt
Mosca-b	cccgctcgaaagttagggatgtatactggaaagatctacaattcgctgtacattggaggt *
Humano	CAGGACGCTCTCATAGCACATTACCAAGAACATCACAACGATGATAAGAACACCTATATT
Rhesus	caggatgctctcatagcacattaccaagaatctacaacgtgataagaacacctatatt
Vaca	caggatgctctcatagcacattaccaagaatctacaacgtgataagaacacctatatt
Ratón	caggatgctctcatagcacattacccacgaatctacaatgacgataagaacacctatatt
Rata	caggatgctctcatagcacattaccaaggatctacaatgatgataagaacacctatatt
Rana	caggatgccctcattgctcattatcctcgatataacgtgaaaagaaacacctacatt
Mosca-a	caggacgctctgatcgccggctatccgcccgtactaatgatcccaagaaccagtacgag
Mosca-b	caggacgctctgatcgccggctatccgcccgtactaatgatcccaagaaccagtacgag ***** *
Humano	CGTTATGAAC TTGACTATCTTATAA-----
Rhesus	cgttatgaacttgactatatcttataattttattgttattttgtgtttatgcacagct
Vaca	cgttatgaacttgactatatcttataactttatgttattttgtgtttatgcacagct
Ratón	cgttacgaacttgactatatcttataactttatgttattttgtgtttatgcacagct
Rata	cgttacgaacttgactatatcttataactttatgttattttgtgtttatgcacagct
Rana	cgttatgagctcgactacactttgtaaaatatttagtatcgttcaactattgt-tct
Mosca-a	cgttacgaggctggactacacgtataattgtataatgcttatctgttagtggtaggatt-
Mosca-b	cgttacgaggctggactacacgtataattgtataatgcttatctgttagtggtaggatt- *** *
Humano	-----
Rhesus	acttcacacccctaaacttgccttgcattttgttatgcacatcttgcacatca
Vaca	gtttcacacccctaaacttgccttgcattttgttatgcacatcttgcacatca
Ratón	gtttcacacccctaaacctgccttgcattttgttatgcacatcttgcacatca
Rata	gtttcacacccctaaacttgccttgcattttgttatgcacatcttgcacatca
Rana	gaatattatgtgaaacatctatgttatgcacaaatgtctgcacatcttgcacatca
Mosca-a	-----ctctaagataccatataatccaaactatcttgcacatcttgcacatca
Mosca-b	-----ctctaagataccatataatccaaactatcttgcacatcttgcacatca
Humano	-----
Rhesus	gtttagaacttgcattttgttatgcacatcttgcacatca
Vaca	gtttagaacttgcattttgttatgcacatcttgcacatca
Ratón	gtttagaacttgcattttgttatgcacatcttgcacatca
Rata	gtttagaacttgcattttgttatgcacatcttgcacatca
Rana	--gagagcctttttgttatgcacatcttgcacatca
Mosca-a	--gagagcctttttgttatgcacatcttgcacatca
Mosca-b	--attgtatcttttgccttgcacatcttgcacatca

**Anexo 3b.** continuación

Humano	-----
Rhesus	gtctttgttttcatgtttaa---gcagtaaatgccatgtgaccaagaacacagtgtat
Vaca	----ttgttttcatgtttaa---gcagtaaatgccatgtgaccaagaacacagtgtat
Ratón	ttg---ttttttcatgtttaa---acagtaaatggcagtagtgaccaagg--acagtgtat
Rata	ttgttt---ttgtttaa---acagtaaatgccagtagtgaccaagg--acagtgtat
Rana	ttgactattttcatgtccaaatcaaattccatcattatctccgaagatgtat
Mosca-a	-----
Mosca-b	atg-----aataatcttaatcgatcgatga-----cgacttctattatctt
	-----
Humano	-----
Rhesus	tacatacactatactggagggatttcatttttaattcatcttatgaagattttagaactc
Vaca	tacacacactatactggagggatttcatttttaattcatgtttatgaagattttagaattc
Ratón	tatacacactatactggagggatcatttttattcatcttatgaagattttagaattc
Rata	tatacacgctatactggagggatcatttttattcatcttatgaagattttagaattc
Rana	t-----ttgtgaa-----ataa
Mosca-a	-----
Mosca-b	taaac-----agataagata-gatttattgttgttgtat-----
	-----
Humano	-----
Rhesus	atcccttgttttaaaggaaatgtttaattgagaataaacatttgcataaaaatgc---
Vaca	atcccttgttttaaaggaaatgtttaattgagaataaacatttgcataaaaatgcta
Ratón	atcccttgttttaaaggaaatgtttaattgagaataaacattcgatgcataaaaatgcta
Rata	atcccttgttttaaaggaaatgtttaattgagaataaacattcgatgcataaaaatgcta
Rana	acattttatgtataaaataaaaaaaaaa-----aaaaaaa-----
Mosca-a	-----
Mosca-b	-----tatgaagt-----aatattacagaaagacgaatcatgc---caatgcgc
	-----
Humano	-----
Rhesus	-----
Vaca	actcgtgtgtttttaacatgactgtaaaatgcggaaacttgcataaagtactggtt
Ratón	atttgcgtgtgtttttaatgcataatgactgtaaaatgcggaaacttgcataaagtactggtt
Rata	atttgcgtgtgtttttaatgcataatgactgtaaaatgcggaaacttgcataaagtactggtt
Rana	-----
Mosca-a	-----
Mosca-b	at-----
	-----
Humano	-----
Rhesus	-----
Vaca	tctgtagaataagtggcttaatatcgccccatctgtcacctggtttttagagagtagttgt
Ratón	tgtgtagaataagtggatataatgcataatgcggccatctgtcacctggtttttagagagtagttgt
Rata	tgtgtagaataagtggcttaatgcataatgcggccatctgtcacctggtttttagagagtagttgt
Rana	-----
Mosca-a	-----
Mosca-b	-----
	-----
Humano	-----
Rhesus	-----
Vaca	aga--atacaagctatataaaagtgtatggtatcttgcataaaatccatt-gctctgttga
Ratón	--a--gcacgcaactatataatgtatggctgtttgtcaaaagcccatt-gttttgttgg
Rata	tagcagaacgcaactatataatgtatggctgtttgtcaaaagcccatt-gttttgttga
Rana	-----
Mosca-a	-----
Mosca-b	-----

**Anexo 3b.** continuación

**Anexo 3b.** continuación

Humano	-----
Rhesus	-----
Vaca	tgttaagcacctactttatgtcagccactgtggtagtttagggatg-cagaggtactt
Ratón	tattgaacacctgttgaatgcttagccactgtctgttgaagaaggggcttcgaagggtgcac
Rata	tgttgaacacctgtactgtctattcactgtttagtgcattttcgctgtgt-----
Rana	-----
Mosca-a	-----
Mosca-b	-----

Humano	-----
Rhesus	-----
Vaca	atgacacctgcgtcttgccttaagaaatacagtatagtgaaaaggggaaacatctagtt
Ratón	atgatccggccttcatg-----taacgaaagggtggcgcagatcctt-----
Rata	-----gcagtatccttaggtaccaggatattatgtaatggcagat-----
Rana	-----
Mosca-a	-----
Mosca-b	-----

Humano	-----
Rhesus	-----
Vaca	cagattacttatgtcacacagtggcagcagctgaaatgtctaggttgcttagttgtat
Ratón	agttaccagggtgtgcaatggaagatgcagagatgcctagatttgcttagcttgat-----
Rata	-----
Rana	-----
Mosca-a	-----
Mosca-b	-----

Humano	-----
Rhesus	-----
Vaca	taagtatca-ggtaatatatgccaataatcagataataattgtcaatagggtttgagca
Ratón	gttagcagtcagataactgtat-----tggcttaagtgtgagca-----
Rata	-----
Rana	-----
Mosca-a	-----
Mosca-b	-----

Humano	-----
Rhesus	-----
Vaca	taagctgaaatgccattcaaatttagaagaaccaagcattaatacagcacttttttt
Ratón	taagccaaatgccgttcagttatgaagaacaag-cattaagggttattttatgttt-----
Rata	-----
Rana	-----
Mosca-a	-----
Mosca-b	-----

Humano	-----
Rhesus	-----
Vaca	ataataaaagtat-----atctttgtttttccctagttggcc
Ratón	tgggtcaactaatgaatcagctttttgttattgttttaattttatgcc-----
Rata	-----
Rana	-----
Mosca-a	-----
Mosca-b	-----

**Anexo 3b.** continuación

Humano	-----
Rhesus	-----
Vaca	aaaacttttttagtttaggtttaatctcccatagctattttagttatctcctata
Ratón	ccaaatttcttgtttt-aaaactttctagccatcactgtttg----tctccctcg
Rata	-----
Rana	-----
Mosca-a	-----
Mosca-b	-----

Humano	-----
Rhesus	-----
Vaca	ttatagtacttaacatgaactctgatgagaagtggagctgctgcaggcactaaacataca
Ratón	tacttgt-----gtggactctaaaaggaaataattctgccatcagtgactgcat
Rata	-----
Rana	-----
Mosca-a	-----
Mosca-b	-----

Humano	-----
Rhesus	-----
Vaca	atggctctgcccccacagtaaggaaaaccaatccctgagatttaggttaatttattgaactgt
Ratón	gtgactctaccaccctcagactgtcaggagtctggc---agcttgcgttctgactgt
Rata	-----
Rana	-----
Mosca-a	-----
Mosca-b	-----

Humano	-----
Rhesus	-----
Vaca	taatacttagggctccctgtttggagggttaacttga---gaaatagctataattgg
Ratón	taacaa---gaaagactctggtaagatcagattagattagagacagcttcgc---
Rata	-----
Rana	-----
Mosca-a	-----
Mosca-b	-----

Humano	-----
Rhesus	-----
Vaca	ctgacttgtacaaaattaactgaggcattagctgatcaggcagaatttagtaactagtt
Ratón	tctgcttctcagaatggatactgaggcattaaccgtccccatgcaggacgcacggattct
Rata	-----
Rana	-----
Mosca-a	-----
Mosca-b	-----

Humano	-----
Rhesus	-----
Vaca	cttatgtgacataacttcatgacaacatgtcaacggtacaaaattccaaaatcacatat
Ratón	tgttcttgtatgtggtc-tgactatcattgttagtaaacattt-----ccctgt
Rata	-----
Rana	-----
Mosca-a	-----
Mosca-b	-----

**Anexo 3b.** continuación

Humano	-----
Rhesus	-----
Vaca	tttagaaagttaactgtaacggtatccctatgcacttaaatcttgcgttcttttg
Ratón	tcttagaaaa-----ttcctagccatacctaaggactttaaatgtttgtat
Rata	-----
Rana	-----
Mosca-a	-----
Mosca-b	-----

Humano	-----
Rhesus	-----
Vaca	tgcttgatgtcagatgacaccttcagtaattactaatttgtgaaaattgaagcatacatgaa
Ratón	tagttgatttcaaataacccttggtaattacaatcttgaatt-----gagtatat
Rata	-----
Rana	-----
Mosca-a	-----
Mosca-b	-----

Humano	-----
Rhesus	-----
Vaca	atttcaaagccaagacttgctttaaaccagtcttggaaatttagttacatattcagg
Ratón	ttctcaaagtaaaatttgactttaaaccacttggg-aacatttattgtattattaatt
Rata	-----
Rana	-----
Mosca-a	-----
Mosca-b	-----

Humano	-----
Rhesus	-----
Vaca	ttttgcataagttcaattgccttggcccttgcattgttatgtgaaacatctgtgccttgg
Ratón	aaaata----cttaagtttttaacttgcattttatattaaaaat--taaattttt
Rata	-----
Rana	-----
Mosca-a	-----
Mosca-b	-----

Humano	-----
Rhesus	-----
Vaca	tagtggcggtgtggagcaaa-----gacgatttggaaagtgggtttttactgataaca
Ratón	cagttagaactacagctcacaggagactgcttaccccttaagtgacatttcctgatggag
Rata	-----
Rana	-----
Mosca-a	-----
Mosca-b	-----

Humano	-----
Rhesus	-----
Vaca	aaaacttgaggacagagaggtgaggcaaatctgaggcctgtgatcgtaaaagttggg-a
Ratón	gtaatctgagaatggataagggaaaaatgctgaaggctgcaatctcaagattaggacc
Rata	-----
Rana	-----
Mosca-a	-----
Mosca-b	-----

**Anexo 3b.** continuación

Humano	-----
Rhesus	-----
Vaca	ccaaatgaggctcacaaatgttgaattatttatatgcttctgaaataaggaaagcatt
Ratón	aaaatagataactcaaagatgttgattgtgaaatgctttattgaataaggaaagcatt
Rata	-----
Rana	-----
Mosca-a	-----
Mosca-b	-----

Humano	-----
Rhesus	-----
Vaca	ttgtgagatacttatgtgaaagacgctatgtatgttttaacaaagacttttc-----t
Ratón	ttgggataaaccccttgtgaaagatgctatgtcacgttttaacacttctcaactaagacct
Rata	-----
Rana	-----
Mosca-a	-----
Mosca-b	-----

Humano	-----
Rhesus	-----
Vaca	ttcgcactttcccccgtttcttaaagccaaactaaaaaggaagaattaatgttct
Ratón	tttcttagcactttgatgtttcttaaggtgaaacttaggcaggaggattcatgttctt
Rata	-----
Rana	-----
Mosca-a	-----
Mosca-b	-----

Humano	-----
Rhesus	-----
Vaca	gaggggacagtgggtgggt-ttttctgcgggctttgttgggtt-----cctgtgggc
Ratón	aaggggacagagggggtgggtttctctgggcttgggtttttttctctgggcattgc
Rata	-----
Rana	-----
Mosca-a	-----
Mosca-b	-----

Humano	-----
Rhesus	-----
Vaca	cctctaattggaaattgatctctcg--gc-----tgttcaactttttcttaattgtattt
Ratón	cctctgatggaaattgatattcttggctgttgcattttatattttatattgtattt
Rata	-----
Rana	-----
Mosca-a	-----
Mosca-b	-----

Humano	-----
Rhesus	-----
Vaca	ttaaagattttgttatggtgcctgtgagcatcaagtaccaccatgaataaaacgtat
Ratón	ttaatattttgttatggtgcctgtgagcatcaagtaccaccatgataaaataaaacttat
Rata	-----
Rana	-----
Mosca-a	-----
Mosca-b	-----

**Anexo 3b.** continuación

Humano	-----
Rhesus	-----
Vaca	tatattcaaagtcttagaccagtttaatcttagtggtttgtattgttactgcacta
Ratón	cacatctaaa-----
Rata	-----
Rana	-----
Mosca-a	-----
Mosca-b	-----

Humano	-----
Rhesus	-----
Vaca	cactgtggtggtgtgccattttagtgttgaactctgggtttttccaattaaggg
Ratón	-----
Rata	-----
Rana	-----
Mosca-a	-----
Mosca-b	-----

Humano	-----
Rhesus	-----
Vaca	aacttaatgttgaaaaaccaaagaatactgtttgttaatagagaactgaaaaacac
Ratón	-----
Rata	-----
Rana	-----
Mosca-a	-----
Mosca-b	-----

#### **Anexo 4a. Alineamiento de la secuencia proteica de MYD88**

(\*) residuos iguales (.,:) residuos químicamente equivalentes

**Anexo 4a.** continuación

Humano-1	YCP <u>PSDIQFVQEMIRQLEQTNYRLKLCVS</u> SDRDVLPGTCVWSIAS <u>ELIEKRLARRPRGGCRR</u>
Humano-2	YCP <u>PSDIQFVQEMIRQLEQTNYRLKLCVS</u> SDRDVLPGTCVWSIAS <u>ELIEKR-----CRR</u>
Humano-3	YCP <u>PSDIQFVQEMIRQLEQTNYRLKLCVS</u> SDRDVLPGTCVWSIAS <u>ELIEKR-----CRR</u>
Humano-4	TCRARNVTSPNLH---SASLQVP--I-----RSD-----
Humano-5	TCRARNVTSPNLH---SASLQVP--I-----RSD-----
Macaco	YCP <u>PSDIQFVQEMIRQLEQTNYRLKLCVS</u> SDRDVLPGTCVWSIAS <u>ELIEKR-----CRR</u>
Rhesus	YCP <u>PSDIQFVQEMIRQLEQTNYRLKLCVS</u> SDRDVLPGTCVWSIAS <u>ELIEKR-----CRR</u>
Gorila	YCP <u>PSDIQFVQEMIRQLEQTNYRLKLCVS</u> SDRDVLPGTCVWSIAS <u>ELIEKR-----CRR</u>
Ch.pigmeo	YCP <u>PSDIQFVQEMIRQLEQTNYRLKLCVS</u> SDRDVLPGTCVWSIAS <u>ELIEKR-----CRR</u>
Chimpancé	YCP <u>PSDIQFVQEMIRQLEQTNYRLKLCVS</u> SDRDVLPGTCVWSIAS <u>ELIEKR-----CRR</u>
Mangabey	YCP <u>PSDIQFVQEMIRQLEQTNYRLKLCVS</u> SDRDVLPGTCVWSIAS <u>ELIEKR-----CRR</u>
Vaca	YCP <u>PSDIEFVHEMIRQLEQTNYRLKLCVS</u> SDRDVLPGTCVWSIAS <u>ELIEKR-----CRR</u>
Ratón	YCP <u>NDIEFVQEMIRQLEQTDYRLKLCVS</u> SDRDVLPGTCVWSIAS <u>ELIEKR-----CRR</u>
Salmón	YCQSDFDFVHEMXQQILEQTDH <u>KLKLCVFDRDVLPGSCVWTITSELIEKR-----CRR</u>
	* : : . . . : : * :
Humano-1	<b>MVVVVSSDDYLQSKECDFQTKFALSLS<u>SPGAHQKR</u><b>LIPIKYKAMKKEFPSILRFITVCDYTN</b></b>
Humano-2	<b>MVVVVSSDDYLQSKECDFQTKFALSLS<u>SPGAHQKR</u><b>LIPIKYKAMKKEFPSILRFITVCDYTN</b></b>
Humano-3	<b>MVVVVSSDDYLQSKECDFQTKFALSLS<u>SPGAHQKR</u><b>LIPIKYKAMKKEFPSILRFITVCDYTN</b></b>
Humano-4	-----
Humano-5	-----
Macaco	<b>MVVVVSSDDYLQSKECDFQTKFALSLS<u>SPGAHQKR</u><b>LIPIKYKAMKKEFPSILRFITVCDYTN</b></b>
Rhesus	<b>MVVVVSSDDYLQSKECDFQTKFALSLS<u>SPGAHQKR</u><b>LIPIKYKAMKKEFPSILRFITVCDYTN</b></b>
Gorila	<b>MVVVVSSDDYLQSKECDFQTKFALSLS<u>SPGAHQKR</u><b>LIPIKYKAMKKEFPSILRFITVCDYTN</b></b>
Ch.pigmeo	<b>MVVVVSSDDYLQSKECDFQTKFALSLS<u>SPGAHQKR</u><b>LIPIKYKAMKKEFPSILRFITVCDYTN</b></b>
Chimpancé	<b>MVVVVSSDDYLQSKECDFQTKFALSLS<u>SPGAHQKR</u><b>LIPIKYKAMKKEFPSILRFITVCDYTN</b></b>
Mangabey	<b>MVVVVSSDDYLQSKECDFQTKFALSLS<u>SPGAHQKR</u><b>LIPIKYKAMKKEFPSILRFITVCDYTN</b></b>
Vaca	<b>MVVVVSSDEYLQSKECDFQTKFALSLS<u>SPGAHQKR</u><b>LIPIKYKPMKKEFPSILRFITVCDYTN</b></b>
Ratón	<b>MVVVVSSDDYLQSKECDFQTKFALSLS<u>SPGVQQKR</u><b>LIPIKYKAMKKDFPSILRFITICDYTN</b></b>
Salmón	<b>MVVVISDEYLDSDACDFQTKFALS<u>LCPGARSKR</u><b>LIPVKYRSMKKPFPSSILRFLT</b>VCDYTR</b>
Humano-1	PCT <u>KSWFWTRLAKALSLP</u>
Humano-2	PCT <u>KSWFWTRLAKALSLP</u>
Humano-3	PCT <u>KSWFWTRLAKALSLP</u>
Humano-4	-----
Humano-5	-----
Macaco	PCT <u>KSWFWTRLAKALSLP</u>
Rhesus	PCT <u>KSWFWTRLAKALSLP</u>
Gorila	PCT <u>KSWFWTRLAKALSLP</u>
Ch.pigmeo	PCT <u>KSWFWTRLAKALSLP</u>
Chimpancé	PCT <u>KSWFWTRLAKALSLP</u>
Mangabey	PCT <u>KSWFWTRLAKALSLP</u>
Vaca	PCT <u>QNWFWTRLAKALSLMP</u>
Ratón	PCT <u>KSWFWTRLAKALSLP</u>
Salmón	PCT <u>QSWFWVRLARALSLP</u>

*En negrita, posiciones con mutaciones relacionadas con CLL*

## Anexo 4b. Alineamiento de la secuencia CDS de MYD88

Humano-1	-----
Humano-2	-----
Humano-3	-----
Humano-4	-----
Humano-5	-----
Macaco	-----
Rhesus	-----
Gorila	-----
Ch.pigmeo	-----
Chimpancé	-----
Mangabey	-----
Vaca	-----
Ratón	-----
Salmón	catttctagtagtatgcaatcaataacttcacaacaaccgaaggccctcagaaacgtaacg
Humano-1	-----
Humano-2	-----
Humano-3	-----
Humano-4	-----
Humano-5	-----
Macaco	-----
Rhesus	-----
Gorila	-----
Ch.pigmeo	-----
Chimpancé	-----
Mangabey	-----
Vaca	-----
Ratón	-----
Salmón	-----ggctggcaggagacttaagggaagttagga-----a attcttctagttggacacatctattctgacggattaaatgacgaatcaaatatctgt
Humano-1	-----ATGCGACCCGACCGCGCT-GAGGCTCCAGG-ACCGCCCGCCATGGCTGC
Humano-2	-----ATGCGACCCGACCGCGCT-GAGGCTCCAGG-ACCGCCCGCCATGGCTGC
Humano-3	-----ATGCGACCCGACCGCGCT-GAGGCTCCAGG-ACCGCCCGCCATGGCTGC
Humano-4	-----ATGCGACCCGACCGCGCT-GAGGCTCCAGG-ACCGCCCGCCATGGCTGC
Humano-5	-----ATGCGACCCGACCGCGCT-GAGGCTCCAGG-ACCGCCCGCCATGGCTGC
Macaco	-----aatgcgacccgaccgcgcc-gaggctccagg-acagccccccatggctgc
Rhesus	-----atggctgc
Gorila	-----atggctgc
Ch.pigmeo	-----atggctgc
Chimpancé	-----atggctgc
Mangabey	-----gg-acagccccccatggctgc
Vaca	-----ggactcgactgcgcggcggctcccgcg-gcagccccccatggctga
Ratón	actccacaggcgagcgtactggacggcaccggggcccagg-gttgcctgcccatttacgcgttataacc
Salmón	atttgactcgtataaggagcggttcagttgtatacat

(\*) residuos iguales

**Anexo 4b.** continuación

**Anexo 4b.** continuación

Humano-1	ACTGGAGACACAAGCGGACCCCCTGGCAGGCTGCTGGACGCCTGGCAGGGACGCCCTGG
Humano-2	ACTGGAGACACAAGCGGACCCCCTGGCAGGCTGCTGGACGCCTGGCAGGGACGCCCTGG
Humano-3	ACTGGAGACACAAGCGGACCCCCTGGCAGGCTGCTGGACGCCTGGCAGGGACGCCCTGG
Humano-4	ACTGGAGACACAAGCGGACCCCCTGGCAGGCTGCTGGACGCCTGGCAGGGACGCCCTGG
Humano-5	ACTGGAGACACAAGCGGACCCCCTGGCAGGCTGCTGGACGCCTGGCAGGGACGCCCTGG
Macaco	actggagacgcacgcccacccactggcaggctgtggacgcctggcagggacgcctgg
Rhesus	actggagacgcacgcccacccactggcaggctgtggacgcctggcagggacgcctgg
Gorila	actggagacacacgcggaccccactggcaggctgtggacgcctggcagggacgcctgg
Ch.pigmeo	actggagacacacgcggaccccactggcaggctgtggacgcctggcagggacgcctgg
Chimpancé	actggagacacacgcggaccccactggcaggctgtggacgcctggcagggacgcctgg
Mangabey	actggagacgcacgcccacccactggcaggctgtggacgcctggcaaggacgcctgg
Vaca	gctggagaactggcggaccccactggcaggctgtggacgcactggcagcgtccggg
Ratón	gctggaaacgcgcctgaccactcgtagttgttatggatgcctggcaggggcgtctgg
Salmón	ttacgaggattgcctggaccacacggaggattctggaggactggcaaggacacgttgc
	*** * ***** * * * * * * * * * * * * * * * *
Humano-1	CGCCTCTGTAGGCC---GACTGCTCGAGCTGCTTACCAAGCTGGGCCCGGACGACGTGCT
Humano-2	CGCCTCTGTAGGCC---GACTGCTCGAGCTGCTTACCAAGCTGGGCCCGGACGACGTGCT
Humano-3	CGCCTCTGTAGGCC---GACTGCTCGAGCTGCTTACCAAGCTGGGCCCGGACGACGTGCT
Humano-4	CGCCTCTGTAGGCC---GACTGCTCGAGCTGCTTACCAAGCTGGGCCCGGACGACGTGCT
Humano-5	CGCCTCTGTAGGCC---GACTGCTCGAGCTGCTTACCAAGCTGGGCCCGGACGACGTGCT
Macaco	cgcctcggtaggcc---gactgctggagctgttaccaagactggccgcacgacgtgt
Rhesus	cgcctcggtaggcc---gactgctggagctgttaccaagactggccgcacgacgtgt
Gorila	cgcctcggtaggcc---gactgctcgagctgttaccaagactggccgcacgacgtgt
Ch.pigmeo	cgcctcggtaggcc---gactgcttgagctgttaccaagactggccgcacgacgtgt
Chimpancé	cgcctcggtaggcc---gactgcttgagctgttaccaagactggccgcacgacgtgt
Mangabey	cgcctcggtaggcc---gactgctggagctgttaccaagactggccgcacgacgtgt
Vaca	agcctcagtggcc---gcctgctcgagctgtcgccaagactggccgcacgacgtgt
Ratón	cgcgtctgtcgga---ggctgttagagctgtggcctttagatggatggatataact
Salmón	cgagcttaaagtggaaaatttttcatttgcataacgtggatagaaaagacgttgt
	* *
Humano-1	GCTGGAGCTGGGACCCAGCATTGAGGAGGATTGCCAAAGTATATCTGAAGCAGCAGCA
Humano-2	GCTGGAGCTGGGACCCAGCATTGAGGAGGATTGCCAAAGTATATCTGAAGCAGCAGCA
Humano-3	GCTGGAGCTGGGACCCAGCA-----
Humano-4	GCTGGAGCTGGGACCCAGCATTGAGGAGGATTGCCAAAGTATATCTGAAGCAGCAGCA
Humano-5	GCTGGAGCTGGGACCCAGCATTGGTGCCTGGATGGTGGTTCTGTATGATTAC
Macaco	gctggagctggaccacccaggattgaggaagatgcacaaagtatatcttgcacggcaca
Rhesus	gctggagctggaccacccaggattgaggaagatgcacaaagtatatcttgcacggcaca
Gorila	gctggagctggaccacccaggattgagggaggatgcacaaagtatatcttgcacggcaca
Ch.pigmeo	gctggagctggaccacccaggattgagggaggatgcacaaagtatatcttgcacggcaca
Chimpancé	gctggagctggaccacccaggattgagggaggatgcacaaagtatatcttgcacggcaca
Mangabey	gatggaaactggaccacccaggatgcacaaagtatatcttgcacggcaca
Vaca	gaaggagctgaagtgcgcacatcgaggaggactgcacaaatacttaggtaaacgcacgaga
Ratón	ggaagatctccgagatctcattgaggaggactgttagggatcatagagaga-----
Salmón	*
	*** * *

**Anexo 4b.** continuación

Humano-1	GGAGGAGGC--TGAGAAGCCTTACAGGTGGCGCTGTAGACAGCAGTGTCCCACGGACA
Humano-2	GGAGGAGGC--TGAGAAGCCTTACAGGTGGCGCTGTAGACAGCAGTGTCCCACGGACA
Humano-3	-----
Humano-4	GGAGGAGGC--TGAGAAGCCTTACAGGTGGCGCTGTAGACAGCAGTGTCCCACGGACA
Humano-5	CTGCAGAGCAAGGAATGTGACTTCCAGACCAAATTGCACTCAG---CCTCTCTCCAGGT
Macaco	ggaggaggc--tgagaagctttacaggtggccgctgttagacagcagtgtcccacggaca
Rhesus	ggaggaggc--tgagaagctttacaggtggccgctgttagacagcagtgtcccacggaca
Gorila	ggaggaggc--tgagaagctttacaggtggccgctgttagacagcagtgtcccacggaca
Ch.pigmeo	ggaggaggc--tgagaagctttacaggtggccgctgttagacagcagtgtcccacggaca
Chimpancé	ggaggaggc--tgagaagctttacaggtggccgctgttagacagcagtgtcccacggaca
Mangabey	ggaggaggc--tgagaagctttacaggtggccgctgttagacagcagtgtcccacggaca
Vaca	ggaggcata--tgagaagctttacaggtggactcttagacagcagcataactcgata
Ratón	ccaggagtc--cgagaagctttacaggtggccagagtggaaagcagtgtcccacaaaca
Salmón	-----cagaatgaaccccactccaggtccctgaggtggacagctgtgtccccaaaacc
Humano-1	GCAGAGCTGGCGGGCATCACCAACACTTGATGACCCCTGGGGATATGCCTGAGCGTTTC
Humano-2	GCAGAGCTGGCGGGCATCACCAACACTTGATGACCCCTGGGGATATGCCTGAGCGTTTC
Humano-3	-----TTGGGCATATGCCTGAGCGTTTC
Humano-4	GCAGAGCTGGCGGGCATCACCAACACTTGATGACCCCTGGGTGCCGCCGGATGGTGGTGG
Humano-5	GCCCATCAGAACCGACTGA-----
Macaco	gcagaactggcgccatcaccacacttgacgacccctggggcatatgcctgagcgttc
Rhesus	gcagaactggcgccatcaccacacttgacgacccctggggcatatgcctgagcgttc
Gorila	gcagagctggcgccatcaccacacttgatgacccctggggcatatgcctgagcgttc
Ch.pigmeo	gcagagctggcgccatcaccacacttgatgacccctggggcatatgcctgagcgttc
Chimpancé	gcagagctggcgccatcaccacacttgacgaccccttagggcatatgcctgagcgttc
Mangabey	gcagaactggcgccatcaccacacttgacgaccccttagggcatatgcctgagcgttc
Vaca	aatgacatggcaggcatcaccattcgcgacgaccccttagggcaaaagcccgagtgtttt
Ratón	aaggaactgggaggcatcaccaccttgcgatgaccccttagggacaaaacgcggaaactttt
Salmón	caggaaagacaaggcatcaccctggaggacgaccagaaggggtataccggagctgttt
Humano-1	GATGCCTTCATCTGCTATTGCCCAAGCGACATCCAGTTGTGCAGGAGATGATCCGGCAA
Humano-2	GATGCCTTCATCTGCTATTGCCCAAGCGACATCCAGTTGTGCAGGAGATGATCCGGCAA
Humano-3	GATGCCTTCATCTGCTATTGCCCAAGCGACATCCAGTTGTGCAGGAGATGATCCGGCAA
Humano-4	TTGTCTCTGATGATTACCTGCAGA---GCAAGGAATGTGACTTCCAGA-----
Humano-5	-----
Macaco	gatgccttcatctgttgcattggcccgacatcccgatgttgcaggagatgtccggcaa
Rhesus	gatgccttcatctgttgcattggcccgacatcccgatgttgcaggagatgtccggcaa
Gorila	gatgccttcatctgttgcattggcccgacatcccgatgttgcaggagatgtccggcaa
Ch.pigmeo	gatgccttcatctgttgcattggcccgacatcccgatgttgcaggagatgtccggcaa
Chimpancé	gatgccttcatctgttgcattggcccgacatcccgatgttgcaggagatgtccggcaa
Mangabey	gatgccttcatctgttgcattggcccgacatcccgatgttgcaggagatgtccggcaa
Vaca	gatgccttcatctgttgcattggcccgacatcccgatgttgcaggagatgtccggcaa
Ratón	gatgccttcatctgttgcattggcccgacatcccgatgttgcaggagatgtccggcaa
Salmón	gacgccttcatctgttgcattggcccgacatcccgatgttgcaggagatgtccggcaa

**Anexo 4b.** continuación

Humano-1	CTGGAACAGACAAACTATCGACTGAAGTTGTGTCTGACCGCGATGCCTGCCCTGGC
Humano-2	CTGGAACAGACAAACTATCGACTGAAGTTGTGTCTGACCGCGATGCCTGCCCTGGC
Humano-3	CTGGAACAGACAAACTATCGACTGAAGTTGTGTCTGACCGCGATGCCTGCCCTGGC
Humano-4	-----CCAAATTGCACTAGCCTCTCCAGGTGCCCATCAGAAGCG-----
Humano-5	-----
Macaco	ctggAACAGACAAACTATCGACTGAAGTTGTGTCTGACCGCGATGCCTGCCCTGGC
Rhesus	ctggAACAGACAAACTATCGACTGAAGTTGTGTCTGACCGCGATGCCTGCCCTGGC
Gorila	ctggAACAGACAAACTATCGACTGAAGTTGTGTCTGACCGCGATGCCTGCCCTGGC
Ch.pigmeo	ctggAACAGACAAACTATCGACTGAAGTTGTGTCTGACCGCGATGCCTGCCCTGGC
Chimpancé	ctggAACAGACAAACTATCGACTGAAGTTGTGTCTGACCGCGATGCCTGCCCTGGC
Mangabey	ctggAACAGACAAACTATCGACTGAAGTTGTGTCTGACCGCGATGCCTGCCCTGGC
Vaca	ctggAACAGACAAACTATCGACTGAAGTTGTGTCTGACCGCGATGCCTGCCCTGGC
Ratón	ctagaacAGACAGACATCGGCTTAAGTTGTGTCTGACCGCGATGCCTGCCGGGC
Salmón	ttagAGCAGACGGACCACAAAGTTGAAGCTGTGTGTTGACCGGGACGTCTGCCCTGGA
Humano-1	ACCTGTGTCTGGTCTATTGCTAGTGAGCTCATCGAAAAGAGGTGGCTAGAAGGCCACGG
Humano-2	ACCTGTGTCTGGTCTATTGCTAGTGAGCTCATCGAAAAGAGGT-----
Humano-3	ACCTGTGTCTGGTCTATTGCTAGTGAGCTCATCGAAAAGAGGT-----
Humano-4	-ACTGA-----
Humano-5	-----
Macaco	acctgtgtctggccattgtctgtactcatcgaaaagagg-----
Rhesus	acctgtgtctggccattgtctgtactcatcgaaaagagg-----
Gorila	acctgtgtctggccattgtctgtactcatcgaaaagagg-----
Ch.pigmeo	acctgtgtctggccattgtctgtactcatcgaaaagagg-----
Chimpancé	acctgtgtctggccattgtctgtactcatcgaaaagagg-----
Mangabey	acctgtgtctggccattgtctgtactcatcgaaaagagg-----
Vaca	acctgtgtctggccattgtctgtactcatcgaaaagagg-----
Ratón	acctgtgtctggccattgtctgtactcatcgaaaagagg-----
Salmón	tcgtgtgtctggaccatcaccagcgaactcatcgaaaagagg-----
Humano-1	GGTGGGTGCCGCCGGATGGTGGTGGTTGTCTGTGATGATTACCTGCAGAGCAAGGAATGT
Humano-2	-----GCCGCCGGATGGTGGTGGTTGTCTGTGATGATTACCTGCAGAGCAAGGAATGT
Humano-3	-----TGCCGCCGGATGGTGGTGGTTGTCTGTGATGATTACCTGCAGAGCAAGGAATGT
Humano-4	-----
Humano-5	-----
Macaco	-----tgccgcggatggtgggggtgtctgtatgattacctgcagagcaaggaaatgt
Rhesus	-----tgccgcggatggtgggggtgtctgtatgattacctgcagagcaaggaaatgt
Gorila	-----tgccgcggatggtgggggtgtctgtatgattacctgcagagcaaggaaatgt
Ch.pigmeo	-----tgccgcggatggtgggggtgtctgtatgattacctgcagagcaaggaaatgt
Chimpancé	-----tgccgcggatggtgggggtgtctgtatgattacctgcagagcaaggaaatgt
Mangabey	-----tgccgcggatggtgggggtgtctgtatgattacctgcagagcaaggaaatgt
Vaca	-----tgccgtcggtatggtgggggtgtctgtatgattacctgcagagcaaggaaatgt
Ratón	-----tgccgtcggtatggtgggggtgtctgtatgattacctgcagagcaaggaaatgt
Salmón	-----tgtaaaaggatggtgggtgatatctgtatgagtacctggacagtgangcctgt

**Anexo 4b.** continuación

Humano-1	GACTTCCAGACCAAAATTGCACTCAGCCTCTCCAGGTGCCATCAGAAGCGACTGATC
Humano-2	GACTTCCAGACCAAAATTGCACTCAGCCTCTCCAGGTGCCATCAGAAGCGACTGATC
Humano-3	GACTTCCAGACCAAAATTGCACTCAGCCTCTCCAGGTGCCATCAGAAGCGACTGATC
Humano-4	-----
Humano-5	-----
Macaco	gacttccagaccaaattgcactcagcctctccaggtgccatcagaagcgactgatc
Rhesus	gacttccagaccaaattgcactcagcctctccaggtgccatcagaagcgactgatc
Gorila	gacttccagaccaaattgcactcagcctctccaggtgccatcagaagcgactgatc
Ch.pigmeo	gactttcagaccaaattgcactcagcctctccaggtgccatcagaagcgactgatc
Chimpancé	gactttcagaccaaattgcactcagcctctccaggtgccatcagaagcgactgatc
Mangabey	gactttcagaccaaattgcactcagcctctccaggtgccatcagaagcgactgatc
Vaca	gatttccagactaaggttgcactcagcctctccaggtgccatcagaagcgactgatc
Ratón	gacttccagaccaaattgcactcagcctctccaggtgccatcagaagcgactgatt
Salmón	gacttccagaccaaattgcactcagcctctccaggtgccatcagaagcgactgatc
Humano-1	CCCCATCAAGTACAAGGCAATGAAGAAAGAGTTCCCCAGCATCCTGAGGTTCATCACTGTC
Humano-2	CCCCATCAAGTACAAGGCAATGAAGAAAGAGTTCCCCAGCATCCTGAGGTTCATCACTGTC
Humano-3	CCCCATCAAGTACAAGGCAATGAAGAAAGAGTTCCCCAGCATCCTGAGGTTCATCACTGTC
Humano-4	-----
Humano-5	-----
Macaco	ccccatcaagtacaaggcaatgaagaaaagagttccccagcatcctgaggttcatcactgtc
Rhesus	ccccatcaagtacaaggcaatgaagaaaagagttccccagcatcctgaggttcatcactgtc
Gorila	ccccatcaagtacaaggcaatgaagaaaagagttccccagcatcctgaggttcatcactgtc
Ch.pigmeo	ccccatcaagtacaaggcaatgaagaaaagagttccccagcatcctgaggttcatcactgtc
Chimpancé	ccccatcaagtacaaggcaatgaagaaaagagttccccagcatcctgaggttcatcactgtc
Mangabey	ccccatcaagtacaaggcaatgaagaaaagagttccccagcatcctgaggttcatcactgtc
Vaca	ccccatcaagtacaaggcaatgaagaaaagagttccccagcatcctgaggttcatcactgtc
Ratón	ccttattaaatacaaggcgatgaagaaggactttcccaagtatcctgcgggttcatcactata
Salmón	ccngtgaaatataggctatgaagaaaccttccccagttatcctgaggttcctgacgggt
Humano-1	TGCGACTACACCAACCCCTGCACCAAATCTGGTTCTGGACTCGCCTGCCAAGGCCTTG
Humano-2	TGCGACTACACCAACCCCTGCACCAAATCTGGTTCTGGACTCGCCTGCCAAGGCCTTG
Humano-3	TGCGACTACACCAACCCCTGCACCAAATCTGGTTCTGGACTCGCCTGCCAAGGCCTTG
Humano-4	-----
Humano-5	-----
Macaco	tgcgattacaccaacccctgcaccaaattttttctggactcgccctgccaaggccttg
Rhesus	tgcgattacaccaacccctgcaccaaattttttctggactcgccctgccaaggccttg
Gorila	tgtgactacaccaacccctgcaccaaattttttctggactcgccctgccaaggccttg
Ch.pigmeo	tgcgactacaccaacccctgcaccaaattttttctggactcgccctgccaaggccttg
Chimpancé	tgcgactacaccaacccctgcaccaaattttttctggactcgccctgccaaggccttg
Mangabey	tgcgattacaccaacccctgcaccaaattttttctggactcgccctgccaaggccttg
Vaca	tgcgactacaccaacccctgcacccagaactttttctggactcgccctgccaaggccttg
Ratón	tgcgactacacacacgcacccctgtacacagttttctggactcgccctgccaaggccttg
Salmón	tgcgactacacacacgcacccctgtacacagttttctggactcgccctgccaaggccttg

**Anexo 4b.** continuación

Humano-1	TCCCTGCCCTGA-----
Humano-2	TCCCTGCCCTGA-----
Humano-3	TCCCTGCCCTGA-----
Humano-4	-----
Humano-5	-----
Macaco	tccctgccctgaagactgttctgaggccctgggtgtgcgttatctgtctgcc--tgtcc
Rhesus	tccctgccctga-----
Gorila	tccctgccctga-----
Ch.pigmeo	tccctgccctga-----
Chimpancé	tccctgccctga-----
Mangabey	tccctgccctgaagact-
Vaca	tccatgccctgaactgccc---aagccctggagtgcgctgcctctgtgtgcc--tgtac
Ratón	tccctgccctgaagatgaccctggagccctagggcagagggaaagatgagac--tgatg
Salmón	tccctgccctgattggttcatacagacttacagcaaccaatcatcacagaggcctgccc
Humano-1	-----
Humano-2	-----
Humano-3	-----
Humano-4	-----
Humano-5	-----
Macaco	atgtacttctgccctgcctcctccttggtt---attaggagaatctgtgctctactt-
Rhesus	-----
Gorila	-----
Ch.pigmeo	-----
Chimpancé	-----
Mangabey	-----
Vaca	atctccttctaccctgcctccacccgca-g---ttgttaggggatcttgctccgctg-
Ratón	cggagccagattctctgtatgccgtcctgtctacatcttgcactccctgggctcaacccg
Salmón	ctctacagcatgaacaggaagagcacatgtcagatcggt---ggtaactgtatcaccacaat
Humano-1	-----
Humano-2	-----
Humano-3	-----
Humano-4	-----
Humano-5	-----
Macaco	-gcctctcaat----tcctggagaggccaactcacagacacatctgcagcagctggaca
Rhesus	-----
Gorila	-----
Ch.pigmeo	-----
Chimpancé	-----
Mangabey	-----
Vaca	-gcctctcgat---cgctggacatgcctgcctccatggacacagctgcagccatggcca
Ratón	tgttcaatgat---gactggcctgagcaactaggactgccttc-ctccagccaccca
Salmón	ttagttgacatattttatattgattcctattttatattcattcattcttagttagaaac

**Anexo 4b.** continuación

Humano-1	-----
Humano-2	-----
Humano-3	-----
Humano-4	-----
Humano-5	-----
Macaco	tcacatttcatgttctgcatggaac-----cagtggctgtgagtgcatgtccacttg
Rhesus	-----
Gorila	-----
Ch.pigmeo	-----
Chimpancé	-----
Mangabey	-----
Vaca	tatctggacagcacctctcatgtcc-----tgcatagaacacacgtggcacgcccgttg
Ratón	tgcctgtgcacgcacctcagtagacacatgcctcgcacacacaggcatctgcatatg
Salmón	-----a-----gtttgttatgtatata--ctactttgaacacatataga-----
	-----
Humano-1	-----
Humano-2	-----
Humano-3	-----
Humano-4	-----
Humano-5	-----
Macaco	ctggattattcagccaggacagtatagaacaggaccagctgggg--ctaggataaggacca
Rhesus	-----
Gorila	-----
Ch.pigmeo	-----
Chimpancé	-----
Mangabey	-----
Vaca	ctgagttatcagccaggatggtgaaaccacaggggctggga--ctaaggcagaagacca
Ratón	-tgtgttt-ccttggacagc---tcccaaggatagctgagt--ggaagagtttatca
Salmón	-tgagactttagcagttttt----gaaaccacaggtgggttcctgggtacttccc
	-----
Humano-1	-----
Humano-2	-----
Humano-3	-----
Humano-4	-----
Humano-5	-----
Macaco	gcagagccagctctgctctgagccattcatacatcttcagttcagttcctcacctgag
Rhesus	-----
Gorila	-----
Ch.pigmeo	-----
Chimpancé	-----
Mangabey	-----
Vaca	gaagagccagc---tctgaccctccatccgtcttgggcctcagttctgcctgag
Ratón	tcaa-----ggggccctggccatctccctggacaaaagtgggtgcctttg
Salmón	tcctgttgttctcatcactgatattgattcggttaatatgagatttcattc----

**Anexo 4b.** continuación

Humano-1	-----
Humano-2	-----
Humano-3	-----
Humano-4	-----
Humano-5	-----
Macaco	gag----taggatggggagaacagagagtagctatgttgaatccctgttaggga-----
Rhesus	-----
Gorila	-----
Ch.pigmeo	-----
Chimpancé	-----
Mangabey	-----
Vaca	aactaaggcggtgggagaacaggcagtgcgtgtttgaatcattgtggaa-----
Ratón	-----ctacaggtagtgcacggcctatagtttcagcattggaggttagagg-----
Salmón	-----catcgaaaacgttttatatgttttattaatacagat-----
	-----
Humano-1	-----
Humano-2	-----
Humano-3	-----
Humano-4	-----
Humano-5	-----
Macaco	aaggtaagcatagctccgggtctcctggggagggcagtcttggtgcggagagctgg-----
Rhesus	-----
Gorila	-----
Ch.pigmeo	-----
Chimpancé	-----
Mangabey	-----
Vaca	acagtgaagcactgtttgagtctcctgggtgagagccatctggccgt-----
Ratón	caggagaatcaggagttcaagcttacccggcaacacacacctagttaa-ggtcagcctg-----
Salmón	-----ttcattctgagccccatcg-----
	-----
Humano-1	-----
Humano-2	-----
Humano-3	-----
Humano-4	-----
Humano-5	-----
Macaco	ccgttgctggactacatgttggccactgctgtgaccacgacactgctgaggcagttctt-----
Rhesus	-----
Gorila	-----
Ch.pigmeo	-----
Chimpancé	-----
Mangabey	-----
Vaca	-----gctgggaccaggcgctgtgcag-ctgcct-----
Ratón	ggctacatgagagcctacccatccccatccccagaaaagaaggaaaatctgggg-----
Salmón	-----

**Anexo 4b.** continuación

Humano-1	-----
Humano-2	-----
Humano-3	-----
Humano-4	-----
Humano-5	-----
Macaco	ccacaatgatgcctactgatgcttcagtgcctct--ctgcacaccccattccacttcc
Rhesus	-----
Gorila	-----
Ch.pigmeo	-----
Chimpancé	-----
Mangabey	-----
Vaca	ccacagtgc-----cttcggggccccacacctcacacccactttccctgca
Ratón	gc-----actgtg-----gatttctcctctttctacc
Salmón	-----
	-----
Humano-1	-----
Humano-2	-----
Humano-3	-----
Humano-4	-----
Humano-5	-----
Macaco	ccacagggcagggtgggaaggcaggttggccagcacaaggagatcccaccccttgcgccta
Rhesus	-----
Gorila	-----
Ch.pigmeo	-----
Chimpancé	-----
Mangabey	-----
Vaca	ccaggggacacagagggcgaaggcagg-----ctgcactgagcctg
Ratón	tgttgaaagcaaagtcttaggaagg---gccccaaac---atgatacgatttggccctta
Salmón	-----
	-----
Humano-1	-----
Humano-2	-----
Humano-3	-----
Humano-4	-----
Humano-5	-----
Macaco	tttcttaatgggcccacctctcatctgcacaccccagcttgcacccacct
Rhesus	-----
Gorila	-----
Ch.pigmeo	-----
Chimpancé	-----
Mangabey	-----
Vaca	atcccccatgggcgcacctctcatctgcctttgactctccagccctgctcacctt
Ratón	gtaag---ctgaagataaaaaggagaagctttggcttgcacccacaaagcagctgcag
Salmón	-----

**Anexo 4b.** continuación

Humano-1	-----
Humano-2	-----
Humano-3	-----
Humano-4	-----
Humano-5	-----
Macaco	tcagcagtatgagtcggcaatagactgcctgagcagttgagctgtttcattccg
Rhesus	-----
Gorila	-----
Ch.pigmeo	-----
Chimpancé	-----
Mangabey	-----
Vaca	--cagcgtggtaagtcccaagagtctggcctgcgcctgggctgccttcacttcca
Ratón	gctcagctttctccccagcagcgagg--tttgcatttttattcccttacgttct
Salmón	-----
	-----
Humano-1	-----
Humano-2	-----
Humano-3	-----
Humano-4	-----
Humano-5	-----
Macaco	cctgtcagga-tgcctgtggtca---tgcttcagctccacctggcatgagaaggatcc
Rhesus	-----
Gorila	-----
Ch.pigmeo	-----
Chimpancé	-----
Mangabey	-----
Vaca	cctgtcgagg-gcc---tgtgg---ttcttcagctctgcctgcacaatacaggagcc
Ratón	ctaccatagaggcaatgtcatggccctctcagggtacaccccaggccctga--gtccc
Salmón	-----
	-----
Humano-1	-----
Humano-2	-----
Humano-3	-----
Humano-4	-----
Humano-5	-----
Macaco	tggcctctggcatattcatcaagtatgagttctgggatgagtcactgtaatgtgag
Rhesus	-----
Gorila	-----
Ch.pigmeo	-----
Chimpancé	-----
Mangabey	-----
Vaca	cgacttctggcctctccatcaagttggttctgggcttaggtcatcatgggtgtgg
Ratón	caagaaagtgagtctccctcagtgtctggggaggaatgaggcc-----tctgtg
Salmón	-----

**Anexo 4b.** continuación

Humano-1	-----
Humano-2	-----
Humano-3	-----
Humano-4	-----
Humano-5	-----
Macaco	caggaggaccccttgctccctgggcaccacccctttagagacttt-----cccacccaa--ctttgta
Rhesus	-----
Gorila	-----
Ch.pigmeo	-----
Chimpancé	-----
Mangabey	-----
Vaca	caggaaagtcttccttctggggcccaactcacagagagaactttccaccaggctttctgtt
Ratón	cacgggtctcatggggcatttcactgcttgatgttgagcatttaagcaac--ctgggtc
Salmón	-----

Humano-1	-----
Humano-2	-----
Humano-3	-----
Humano-4	-----
Humano-5	-----
Macaco	cctgccccaaagcttgtggcacatgggtgcatacaaactcacacacagacacacata
Rhesus	-----
Gorila	-----
Ch.pigmeo	-----
Chimpancé	-----
Mangabey	-----
Vaca	cctgccccgaagcttgtggcacatggacacatacaagctcacacgcccagacacaggga
Ratón	-aagggctcggtttgt---acttaaaaaaaaaaaaaaaaaaaaaaaaaaaaaaaa
Salmón	-----

**Anexo 4b.** continuación

Humano-1	-----
Humano-2	-----
Humano-3	-----
Humano-4	-----
Humano-5	-----
Macaco	tgtacagacgtgcactc-----tcacacacacaggcagtcataaaacgtttctcta
Rhesus	-----
Gorila	-----
Ch.pigmeo	-----
Chimpancé	-----
Mangabey	-----
Vaca	cacatacactggcacccctacgcacagacatacaggcatttcatgcacacattccctg
Ratón	aa-aaaaa-----
Salmón	-----
	-----
Humano-1	-----
Humano-2	-----
Humano-3	-----
Humano-4	-----
Humano-5	-----
Macaco	ggtagcgtcccaggaacagctaggtaggtggaaagtcccattggggagcctaaccatg
Rhesus	-----
Gorila	-----
Ch.pigmeo	-----
Chimpancé	-----
Mangabey	-----
Vaca	ggcacagctcccagaaaacagctgttaggata-gtcccaccacaaggggatcctaactctg
Ratón	-----
Salmón	-----
	-----
Humano-1	-----
Humano-2	-----
Humano-3	-----
Humano-4	-----
Humano-5	-----
Macaco	tccctgaacaaaattgggcactttgttattcctttctttgtgtccctactcattgaa
Rhesus	-----
Gorila	-----
Ch.pigmeo	-----
Chimpancé	-----
Mangabey	-----
Vaca	gaca-----acatgggaccctttgtct--tcttttctgtttctttactggg
Ratón	-----
Salmón	-----

**Anexo 4b.** continuación

Humano-1	-----
Humano-2	-----
Humano-3	-----
Humano-4	-----
Humano-5	-----
Macaco	accaaactctggaaaggaccagtgaactggtatttataacctctaattaa
Rhesus	gcaagcacagagag
Gorila	-----
Ch.pigmeo	-----
Chimpancé	-----
Mangabey	-----
Vaca	accagattctggaaaggaccactgtaccacatccatcgtgaagcgcagagca
Ratón	-----
Salmón	-----
	-----
Humano-1	-----
Humano-2	-----
Humano-3	-----
Humano-4	-----
Humano-5	-----
Macaco	aggagagctgcgttaaactcacacaacaatgaactacagacatagctgttctccctcct
Rhesus	-----
Gorila	-----
Ch.pigmeo	-----
Chimpancé	-----
Mangabey	-----
Vaca	aggaaaagagctgttgaactcacacaacaggttgctgcacagctgtttt-tctctcct
Ratón	-----
Salmón	-----
	-----
Humano-1	-----
Humano-2	-----
Humano-3	-----
Humano-4	-----
Humano-5	-----
Macaco	tcccagagtgattgtacgttactctcaagctgtcccccttaatattggg---aattt
Rhesus	-----
Gorila	-----
Ch.pigmeo	-----
Chimpancé	-----
Mangabey	-----
Vaca	cgggagagtttatgttctttcttcaccccttcaaggaggaatggcatggct
Ratón	-----
Salmón	-----

**Anexo 4b.** continuación

Humano-1	-----
Humano-2	-----
Humano-3	-----
Humano-4	-----
Humano-5	-----
Macaco	tagagcaatctc--aaga-----agcatttct---a--catatttgc
Rhesus	-----
Gorila	-----
Ch.pigmeo	-----
Chimpancé	-----
Mangabey	-----
Vaca	taggtctctgtcccaggatggagccaggaccctaaatctaaaagcaagtgtatgtttc
Ratón	-----
Salmón	-----
	-----
Humano-1	-----
Humano-2	-----
Humano-3	-----
Humano-4	-----
Humano-5	-----
Macaco	attataataattcaaagatatctgagaaaagcctatatggccattttct-----
Rhesus	-----
Gorila	-----
Ch.pigmeo	-----
Chimpancé	-----
Mangabey	-----
Vaca	tctgctgtgccttcagtgagggctggggcaaagcacccctcggtctcaggaggg
Ratón	-----
Salmón	-----
	-----
Humano-1	-----
Humano-2	-----
Humano-3	-----
Humano-4	-----
Humano-5	-----
Macaco	-----gtatcctggaatacatcctggcatcctgagtt-----
Rhesus	-----
Gorila	-----
Ch.pigmeo	-----
Chimpancé	-----
Mangabey	-----
Vaca	tcagaggccccactctgcctgattctcatggagcacttagtaccaggtgcctatcccct
Ratón	-----
Salmón	-----

**Anexo 4b.** continuación

Humano-1	-----
Humano-2	-----
Humano-3	-----
Humano-4	-----
Humano-5	-----
Macaco	atcataataaaaaattctacgtggaaaaaaaaaaaaa-----
Rhesus	-----
Gorila	-----
Ch.pigmeo	-----
Chimpancé	-----
Mangabey	-----
Vaca	ttgatactgggaatatttacaacaattcaaaaaggatatcttcaaacctgttttat
Ratón	-----
Salmón	-----

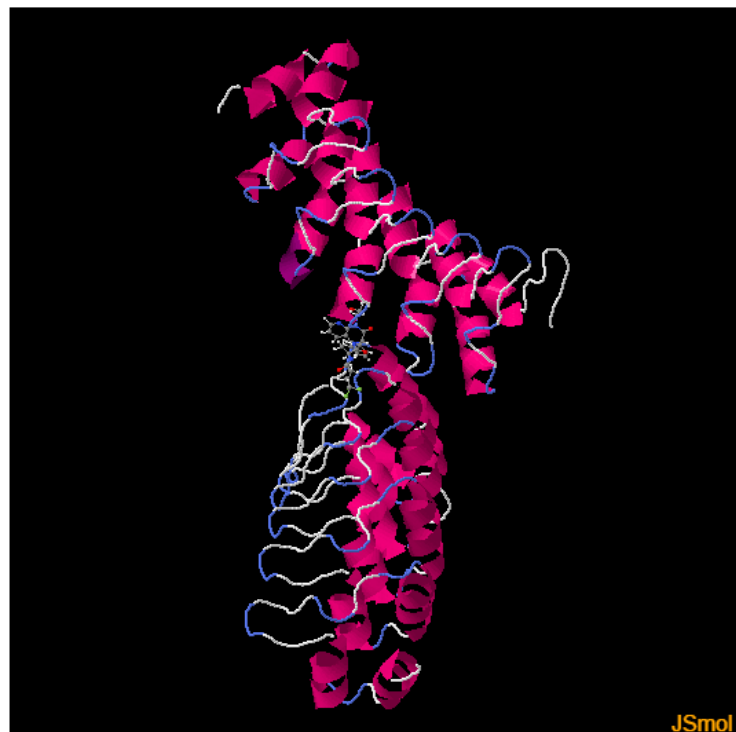
Humano-1	-----
Humano-2	-----
Humano-3	-----
Humano-4	-----
Humano-5	-----
Macaco	-----
Rhesus	-----
Gorila	-----
Ch.pigmeo	-----
Chimpancé	-----
Mangabey	-----
Vaca	ccattgtgagaaggtcaaagagagctgagaaaggcctctgttgtaattgcccccttctg
Ratón	-----
Salmón	-----

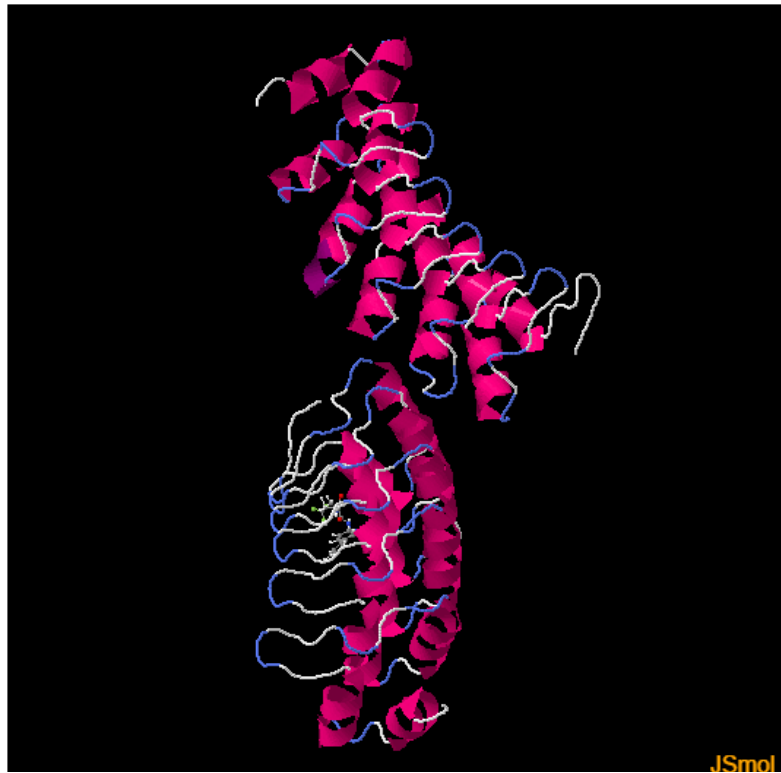
  

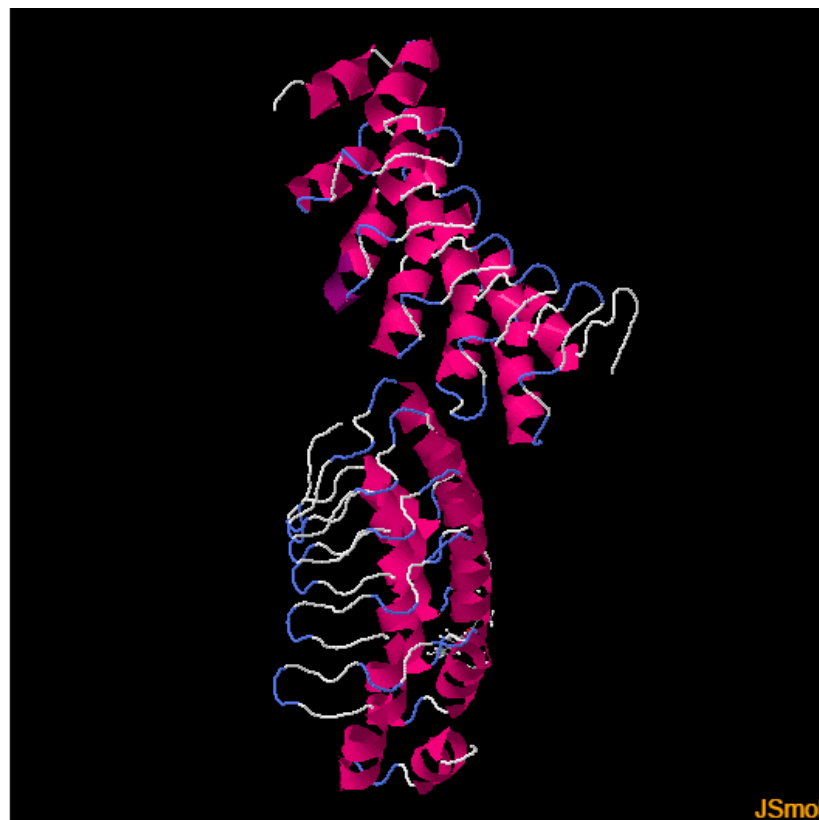
Humano-1	-----
Humano-2	-----
Humano-3	-----
Humano-4	-----
Humano-5	-----
Macaco	-----
Rhesus	-----
Gorila	-----
Ch.pigmeo	-----
Chimpancé	-----
Mangabey	-----
Vaca	tatcctaggttataataaagagtctctacttggaaaaaaaaaaaaa
Ratón	-----
Salmón	-----

**Anexo 5.** Localización de la interacción entre el ligando LY3039478 y la proteína NOTCH1

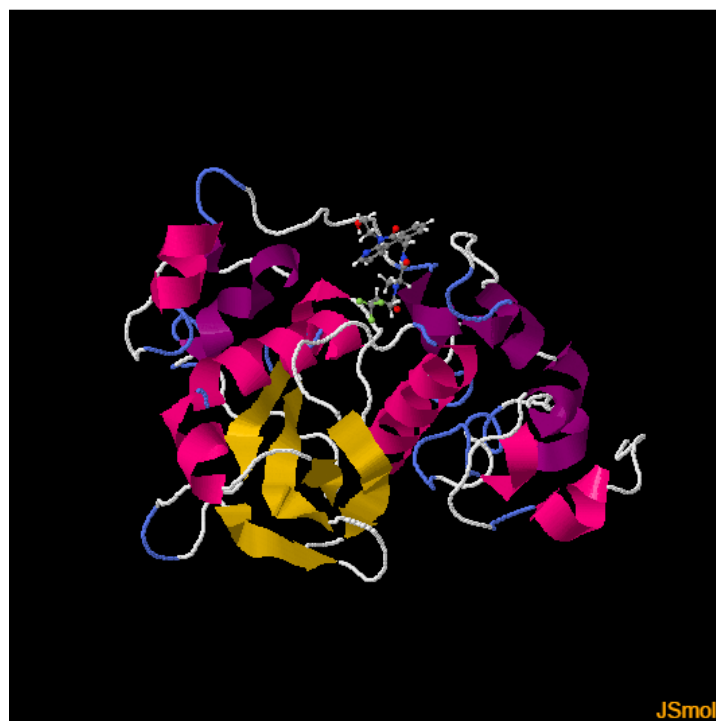
**3HEO:** 5 localizaciones

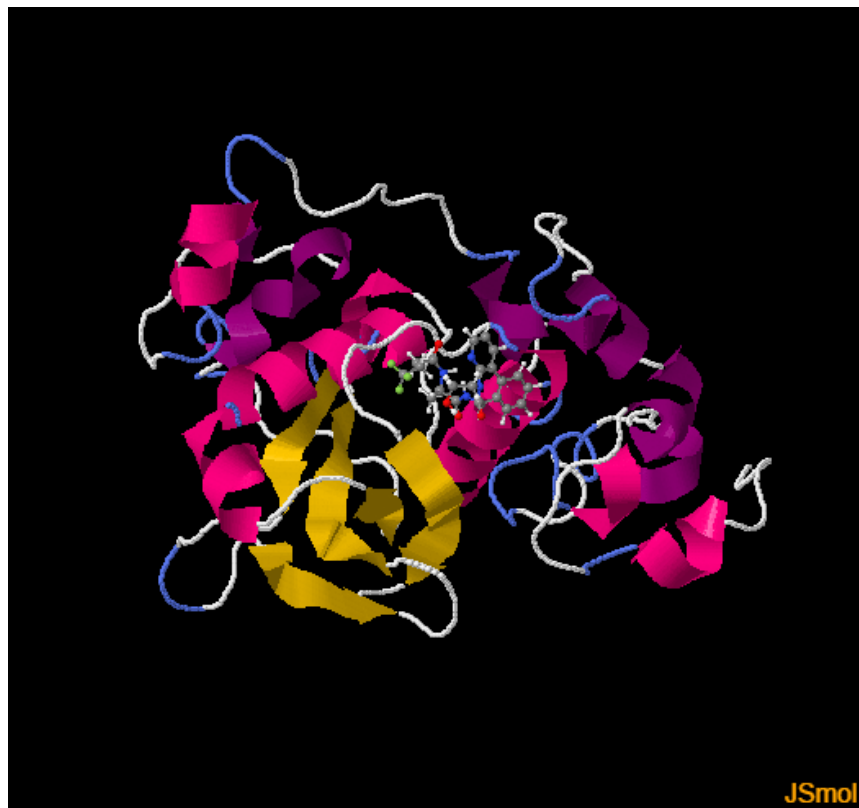






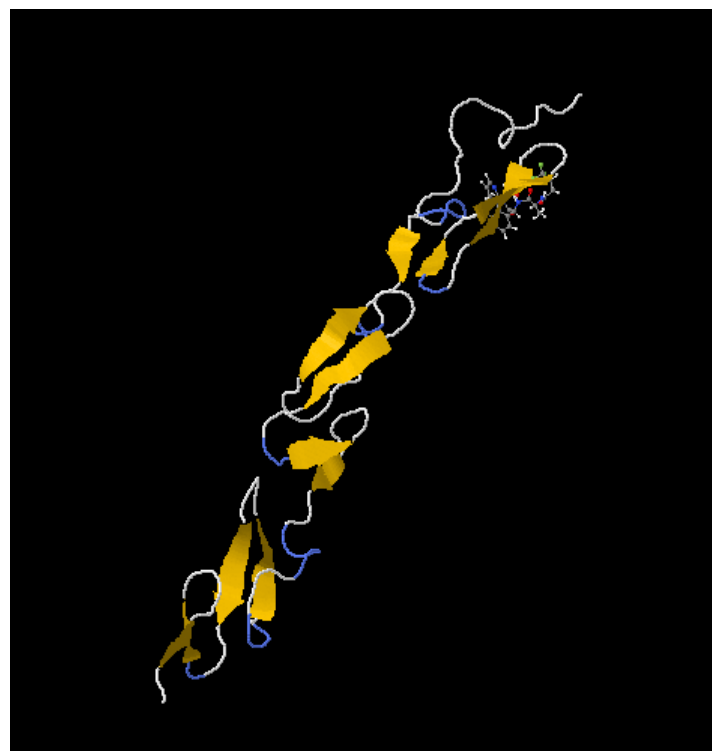
**3ETO:** 2 localizaciones

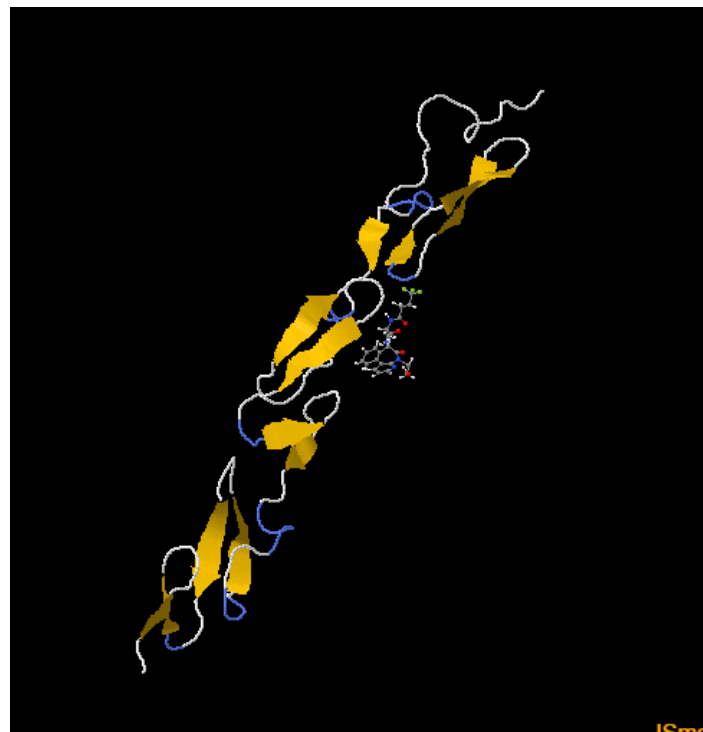




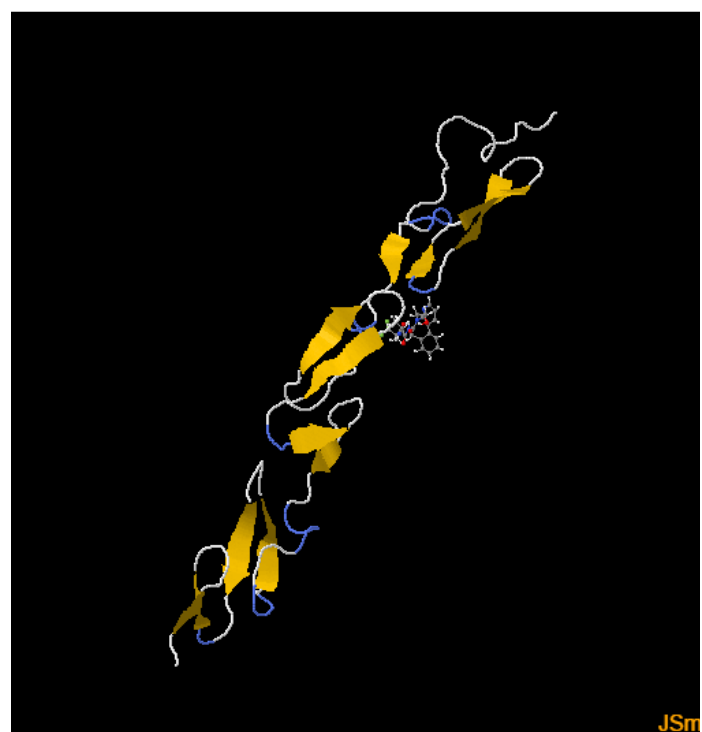
**2VJ3:** 5 localizaciones







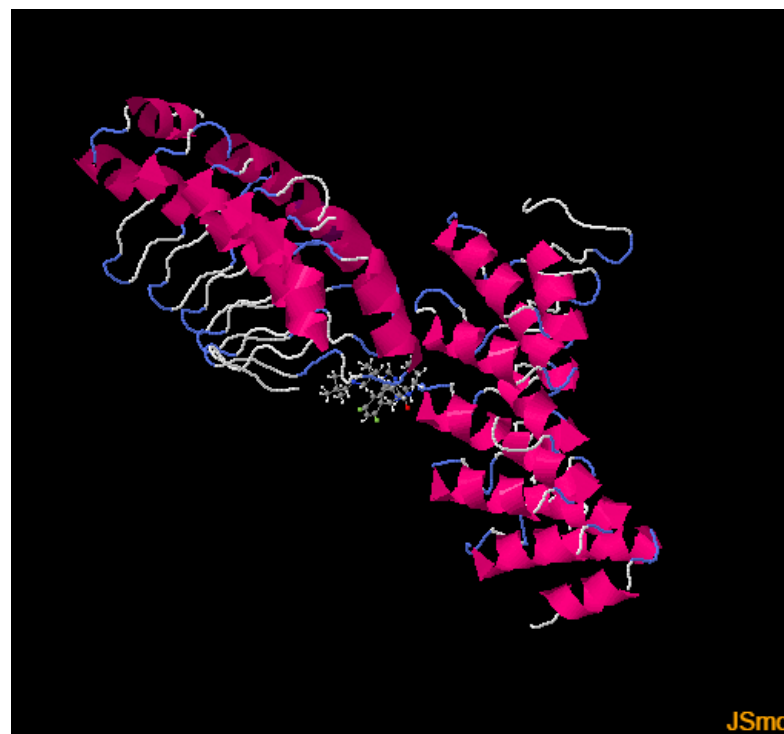
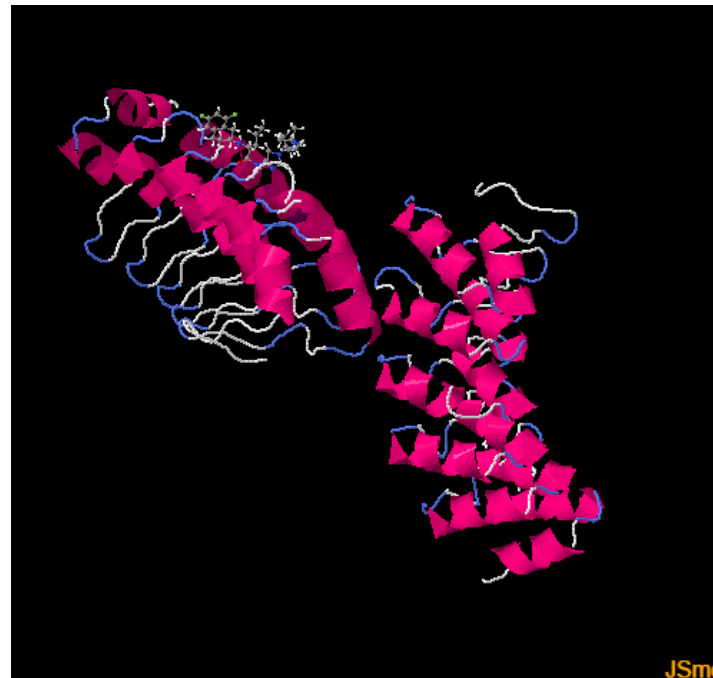
JSm



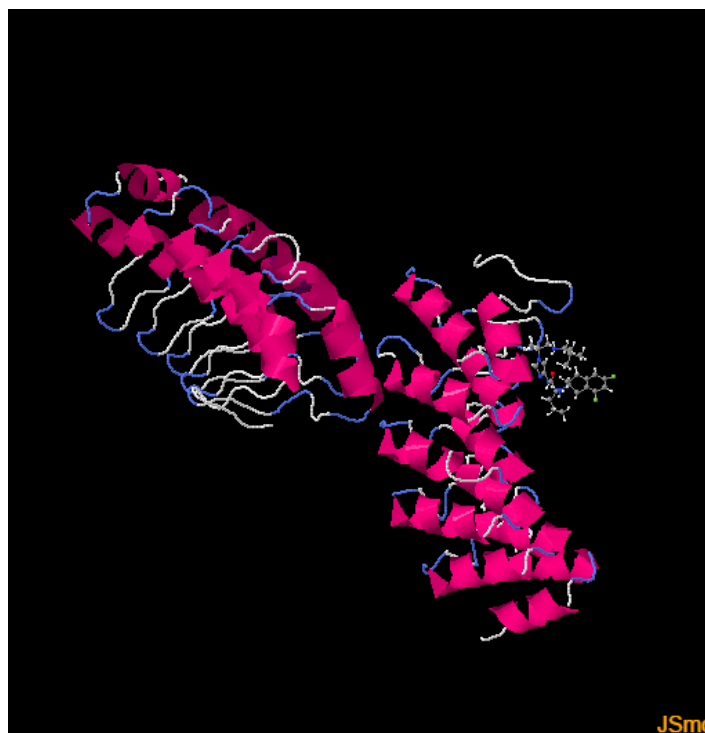
JSm

**Anexo 6.** Localización de la interaccion del ligando PF-03084014 con la proteína NOTCH1

**3HEO:** 5 localizaciones







JSmol

**3ETO:** 2 localizaciones



JSmol



JSmol

**3I08:** Una localización

